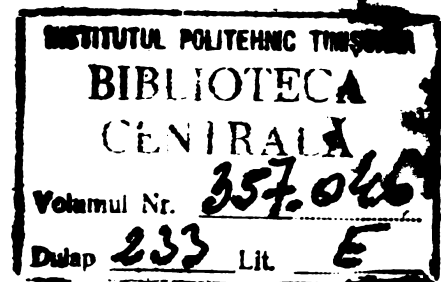


**INSTITUTUL POLITEHNIC „TRAIAN VUIA”
T I M I S O A R A
FACULTATEA DE CONSTRUCȚII**

Ing. FELICIA DOINA CIOMOCOS

**CONTRIBUTII LA CALCULUL PLACILOR ORTOTROPE CU
METODA ELEMENTELOR FINITE UTILIZATE LA PORTILE
DE ECLUZA.**

TEZA DE DOCTORAT



**BIBLIOTECA CENTRALĂ
UNIVERSITATEA "POLITEHNICA"
TIMIȘOARA**

**Conducător științific:
Acad. DAN KATEESCU**

P R E F A T A

Proiectarea structurilor de rezistență ale construcțiilor ingineresti, impune necesitatea studierii mai multor variante constructive, calculul structurilor cu metode teoretice moderne și verificări experimentale, în vederea alegerii soluției optime din punct de vedere tehnic și economic.

Calculul structurii de rezistență cu metode clasice analitice poate fi utilizat pentru structuri simple, idealizate liniar, rezultatele obținute fiind apropiate de cele reale.

În cazul structurilor complexe este necesară utilizarea unor metode de calcul care să reflecte comportarea reală spațială a ansamblului elementelor componente.

O metodă modernă de calcul care are capacitatea de a ține cont de conlucrarea spațială a structurii și permite utilizarea calculatoarelor electronice este metoda elementelor finite.

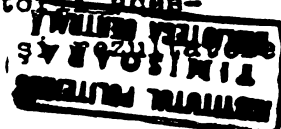
Prezenta lucrare cuprinde principiile de utilizare a acestei metode ținând cont de rezultatele obținute pe plan mondial, cu aplicații în țara noastră, particularizat pentru calculul porților buscate de ecluze.

În rezumat, trecând în revistă conținutul celor șapte capitole ale lucrării se pot reține următoarele:

Lucrarea de doctorat studiază porțile buscate de ecluză, deoarece din cercetările întreprinse s-a constatat că este tipul de poartă care are cele mai multe avantaje și care în consecință a fost utilizată pentru echiparea celui mai mare număr de ecluze construite în lume

Cercetările teoretice și experimentale sînt cuprinse în cele șapte capitole componente ale lucrării.

În CAP. I. după ce se face o apreciere succintă a metodelor utilizate în literatura de specialitate pentru calculul plăcilor ortotrope, se prezintă mai detaliat cercetările întreprinse asupra calculului porților plane de ecluze la Universitatea din Liege (Belgia), de către prof. M.N. Dehousse și colaboratorii săi, Deprez, Piraprez și C.Genin. Se scot în evidență, și



obținute în unica teză de doctorat elaborată la noi în țară pentru calculul construcțiilor metalice hidrotehnice (A. Beleş).

CAP. II. studiază încărcările care acționează asupra porților buscate de ecluză având în vedere cele două ipoteze de funcționare ale acestora.

a) Cazul când canatele porții sînt închise și se găsesc sub acțiunea presiunii hidrostatice.

b) Cazul când cele două canate ale porții se rotesc (manevrarea închiderii și deschiderii porții în vederea trecerii navelor).

În cuprinsul acestui capitol autorul își aduce contribuție la studiul eforturilor care apar la manevrarea porților buscate. În acest sens s-a întocmit un program de calcul care s-a aplicat în mod concret la studiul eforturilor care apar în timpul manevrării porților buscate de la ecluza SHEN - Porțile de Fier II care se va executa pe Dunăre la Gruia și s-au trasat diagrame ale acestor eforturi.

CAP. III. tratează calculul structurii de rezistență a porților de ecluză cu elemente finite dreptunghiulare. Se utilizează atât elemente finite dreptunghiulare de placă, cât și elemente finite dreptunghiulare în stare plană. Pentru alcătuirea matricii de rigiditate coeficienții ecuațiilor sînt prezentați tabelar ceea ce permite utilizarea lor direct la scrierea în limbajele de programare la calculatorul electronic.

Procedeul prezentat de autor are avantajul că se poate aplica pentru orice structură, obținându-se starea de tensiune și de deformare pe ansamblul structurii, ținînd cont de conlucrarea spațială a tuturor elementelor componente ale acesteia. De asemenea condițiile de rezemare pot fi luate în considerare în orice formă intervin.

CAP. IV. tratează calculul structurii de rezistență a porților de ecluză cu metoda rețelelor de grinzi. În această metodă structura se consideră o rețea de grinzi pe cele două direcții ortogonale, care se intersectează în noduri. Între două noduri consecutive grinzile se consideră elemente finite.

Autorul alcătuiește matricia de rigiditate pe aceleași principii ca și în Cap. III. Procedeul prezintă aceleași avantaje, se poate aplica pe orice tip de structură, se obține însă din

calcul starea de eforturi (nu de tensiune) și de deformare pe ansamblul structurii. Se poate aplica pentru diverse tipuri de rezemare.

În cele două capitole, autorul studiază structura spațială a porții de ecluză, considerînd-o alcătuită din elemente structurale idealizate, la care condițiile de echilibru și compatibilitate sînt satisfăcute. S-au utilizat pentru rezolvarea sistemelor procedee matriciale care să permită folosirea elementelor finite (dreptunghiulare și de bară) în metoda deplasărilor, la obținerea stării de tensiuni sau eforturi și deplasări pe ansamblul structurii. Se sistematizează de asemeni alcătuirea matricelor de rigiditate a structurii de rezistență discretizată în elemente finite, obținîndu-se un procedeu generalizat ușor de programat în limbajele algoritmice.

În CAP.V. sînt prezentate rezultatele obținute în urma aplicării concrete a calculelor expuse la Cap.III și IV pentru mai multe porți de ecluză. Rezultatele calculelor sînt prezentate în diagrame de tensiuni, de eforturi și deformații. Acestea sînt comentate și comparate cu rezultatele calculelor obținute cu metodele clasice utilizate actualmente în proiectare și cu alte metode utilizate în literatura de specialitate.

CAP. VI. conține încercările și studiile experimentale care s-au efectuat în două etape:

a) prima etapă a fost realizată de autor în anul 1973 cînd în baza unui contract al catedrei de construcții metalice cu CCPEH - Timișoara s-a pus problema studiului experimental al tensiunilor și deformațiilor la porțile de ecluză în exploatare la SHEN - Porțile de Fier I.

b) a doua etapă a fost realizată în 1978 cînd autorul tezei în baza unui contract de cercetare cu CCPEH - a efectuat studii experimentale tensometrice pe modelul porții buscate SHEN - Porțile de Fier II care urmează a se executa pe Dunăre la Gruia.

Rezultatele sînt prezentate în diagrame, comentate și comparate cu rezultatele obținute din calculul teoretic.

CAP. VII. - conține concluziile lucrării de doctorat

Anexele de la sfârșitul tezei prezintă câteva secvențe din programele de calcul electronic realizate pentru cele patru structuri de porți de ecluză luate în studiu.

C U P R I N S

C A P I T O L U L I.		pag.
STADIUL ACTUAL AL CALCULULUI PORȚILOR DE ECLUZĂ		
1. Prezentarea generală a porților de ecluză		1
1.1. Noțiuni generale despre ecluze		
1.2. Tipuri de porți de ecluze		2
1.3. Porți buscate		3
2. Calculul porților de ecluză cu metoda clasică		7
3. Metoda plăcilor ortotrope		
3.1. Metoda Huber		12
3.2. Metode care nu iau în considerare excentricitatea rigidizărilor		14
3.2.1. Metoda Y.Cuyon și C.Massonett		
3.2.2. Metoda H. Homberg		
3.2.3. Metoda Cornclius		
3.2.4. Metoda Pelikan Esslinger		
3.3. Metode care iau în considerare excentricitatea rigidizărilor		16
3.3.1. Metoda P. Fuger		
3.3.2. Metoda Trencs		
3.3.3. Metoda Gienke		17
3.3.4. Metoda Dehouse		22
3.4. Lucrări apărute la noi în țară, care studiază calculul plăcilor ortotrope		27
4. Bibliografie		30

C A P I T O L U L II.
INCARCĂRILE CARE ACȚIONEAZĂ ASUPRA
PORȚILOR DE ECLUZĂ BUSCATE .

1. Prezentarea încărcărilor și a ipotezelor de încărcare	34
1.1. Incărcarea din greutatea proprie	36
1.2. Incărcarea din presiunea apei	
1.3. Incărcarea din acțiunea valurilor	
1.4. Incărcarea din presiunea gheții	37
1.5. Incărcarea din presiunea vântului	38
1.6. Incărcarea rezultată din împingerea navelor	39
1.6.1. Considerații asupra acestei încărcări în instituttele de proiectări	
1.6.2. Studii teoretice și experimentale efectuate asupra încărcării din împingerea navelor	41
1.7. Incărcarea din variația de temperatură	46
1.8. Incărcarea din frecare la reazeme	
1.9. Incărcări seismice	
2. Studiul încărcărilor în cazul celor două situații de exploatare a porților de ecluză buscate	
2.1. Studiul încărcărilor în cazul când canatele porții sînt închise și se găsesc sub presiunea apei	49
2.2. Studiul încărcărilor în cazul manevrării (de deschidere și de închidere) a canatelor porții	51
2.2.1. Studiul forțelor rezistente mecanice	53
2.2.2. Studiul forțelor rezistente hidrodinamice	
2.2.3. Forțele datorită vîntului, gheții, nămolului	61
2.3. Aplicații ale studiului forțelor rezistente hidrodinamice rezultate în timpul manevrării, pentru cazul porții de ecluză SHER - Porțile de Fier II - Craia.	
3. Bibliografie	66

C A P I T O L U L III.

CALCULUL PORȚILOR DE ECLUZĂ CU METODA ELEMENTELOR FINITE

1. Introducere	68
2. Determinarea matricei de rigiditate a elementelor finite	69
2.1. Matricea de rigiditate a elementului finit dreptunghiular în stare plană de eforturi	70
2.2. Matricea de rigiditate îmbunătățită a elementului finit dreptunghiular în stare plană de eforturi	73
2.3. Matricea de rigiditate a elementului finit dreptunghiular ortotrop de placă	76
3. Determinarea matricei de rigiditate a structurii	78
4. Determinarea stării de eforturi în elementele finite	
5. Idealizări ale structurii de rezistență a porților de ecluză cu elemente finite	82
5.1. Utilizarea substructurilor la idealizarea structurii de rezistență a porților de ecluză cu elemente finite	
5.2. Calculul pe ansamblul structurii	85
6. Bibliografie	108

C A P I T O L U L IV.

CALCULUL PORTILOR DE ECLUZA CU METODA RETELILOR DE GRINZI UTILIZIND ELEMENTE FINITE DE BARĂ

1. Introducere	110
2. Determinarea matricii generale a elementului de bară (grindă)	110
3. Expunerea metodei rețelilor de grinzi cu utilizarea elementelor finite de bară (grindă)	119
4. Bibliografie	129

C A P I T O L U L V.

PREZENTAREA REZULTATELOR OBTINUTE DIN CALCULUL PORTILOR DE ECLUZA CU METODA ELEMENTELOR FINITE (DE BARA SI DREP- TUNGHILARE

1. Prezentarea rezultatelor obținute din calculul
cu metoda rețelelor de grinzi cu utilizarea
elementelor finite de bară
 - 1.1. Rezultatele pentru poarta de la
Lanaye - Belgia 131
 - 1.2. Rezultatele pentru poarta buscată
SHEN - Porțile de Fier I 136
 - 1.3. Rezultatele pentru poarta buscată
SHEN - Porțile de Fier II - Gruia - 141
 - 1.4. Rezultatele pentru modelul porții
de ecluză buscată - Porțile de Fier
II - Gruia - 144
2. Prezentarea rezultatelor obținute din calculul cu
metoda elementelor finite dreptunghiulare 148
3. Bibliografie 155

C A P I T O L U L VI.

STUDII EXPERIMENTALE

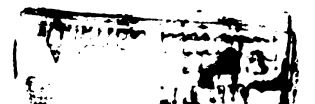
1. Studii experimentale efectuate pe structura de rezistență a porții de colună buscată - Porțile de Fier I
 - 1.1. Presentare
 - 1.2. Studiul experimental al deformațiilor 157
 - 1.3. Studiul experimental al tensiunilor 160
 - 1.4. Comparații între rezultatele studiilor teoretice și experimentale 164
2. Studii experimentale efectuate pe structura de rezistență a nodului porții buscate - SHEB Porțile de Fier II - Graia
 - 2.1. Presentarea 165
 - 2.2. Tehnologia încercării 167
 - 2.3. Rezultatele măsurătorilor tensometrice 168
 - 2.4. Comparații între rezultatele analitice și experimentale 172
3. Bibliografie 174

C A P I T O L U L VII

1. Concluzii 176

C A P I T O L U L
I.

STADIUL ACTUAL AL CALCULULUI
PORTILOR DE ECLUZA



1. PREZENTAREA GENERALA A PORTILOR DE ECLUZA

1.1. Noțiuni generale despre ecluze.

Amenajările hidrotehnice de utilizare complexă a apelor fluviilor și râurilor mari, trebuie să rezolve totdeauna și problema introducerii sau continuității navigației. De cele mai multe ori o amenajare hidrotehnică complexă cuprinde ca element de bază secționarea transversală a cursului de apă prin execuția unui baraj. Continuitatea în zona barării, adică trecerea navelor din bieful aval în bieful amonte și invers, se face prin ecluzare.

Ecluza este o construcție hidrotehnică, compusă din camera (sasul) ecluzei, delimitată superior de poarta amonte și inferior de poarta aval (fig.I.1). După intrarea navei în camera



Fig. I.1

ecluzei, prin manevrarea porților și ridicarea sau coborîrea nivelului apei în ecluză nava poate trece în amonte sau în aval de baraj.

În cazul diferențelor mari de nivel, între bieful aval și bieful amonte, ecluzele pot avea două sau mai multe camere succesive. Un trafic mare pe o cale navigabilă importantă poate determina o ecluză cu două camere paralele.

Mărimea camerei ecluzei este determinată de tonajul și traficul navigabil. Ecluzele moderne au lățime de 12, 15, 20, 25 și 40 m, iar lungimea de 60 pînă la 300 m.

Umplerea și golirea camerei ecluzei se face prin canale inferioare prevăzute în radier, canale laterale prevăzute în pereți sau orificii dispuse în porți. Mărimea (secțiunea) acestora se determină în funcție de timpul de ecluzare, care la rîndul său este dependent de traficul căii navigabile.

Manevrarea (închiderea sau deschiderea) porților ecluzei se face numai după ce nivelul apei, în amonte și aval de poartă este acelaș.

1.2 Tipuri de porți de ecluze.

Delimitarea (închiderea) sasului ecluzei în amonte și aval se face cu ajutorul porților ecluzei. Porțile ecluzei sînt construcții metalice hidrotehnice, care după schema statică de calcul și de lucru, modul de alcătuire și sistemul de manevră, pot fi de diferite tipuri.

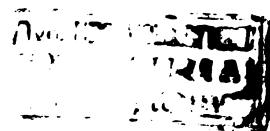
a). Poartă buscată (cu două canate).

Poarta buscată se compune din două canate care se rotesc în jurul axelor verticale prevăzute în zona culeelor. În poziția închisă, canatele porții reazemă unul de celălalt de-a lungul liniei verticale de închidere din axul ecluzei. La partea inferioară se găsește un prag în formă de V care poartă denumirea de busc.

Manevrarea porților (închiderea - deschiderea) se face mecanic, electromecanic sau hidrodinamic.

b). Poartă plană coborîtoare.

Poarta plană coborîtoare, este poarta care pentru deschiderea ecluzei coboară într-o nișă prevăzută în radier.



Obişnuit, acest tip de poartă se foloseşte la capul amonte.

c). Poartă plană ridicătoare.

Această este poarta care, pentru deschiderea ecluzei, se ridică deasupra nivelului apei pînă la gabaritul de trecere al navelor. Pentru reducerea înălţimii totale de ridicare, de obicei, poarta se execută din două părţi suprapuse.

d). Poartă segment.

Este poarta în formă de segment, care pentru deschiderea ecluzei coboară într-o nişă specială. Se amplasează la capul aval. Are marele avantaj că se poate manevra în caz de avarie şi în curent liber.

e). Poartă rulantă.

Este poarta care închide sau deschide ecluza prin glisare. La deschidere, poarta glisează într-o nişă laterală, iar în poziţie închisă poarta reazemă pe cele două culei. Se utilizează atît la capul amonte cît şi la cel aval.

1.3 Poartă buscată.

Primele ecluze construite au fost echipate cu porţi buscate. Treptat au apărut şi alte tipuri de porţi.

Cu toate acestea, porţile buscate (fig.I.2) rămân şi în prezent cele mai utilizate. Faţă de alte tipuri de porţi, poarta buscată, are marele avantaj că teoretic, nu este limitată ca înălţime (sarcină de lucru). Această însuşire deosebită o face utilizabilă cu precădere în bieful aval unde sarcina este mai mare.

Alte avantaje faţă de celelalte tipuri de porţi se pot aminti:

- închidere ideală, etanşitate bună;
- se pot înlocui uşor în exploatare;
- se montează uşor;
- uşurinţă şi siguranţă în manevrare.

Dintre ecluzele construite în lume care au fost echipate cu porți buscate se pot remarca:

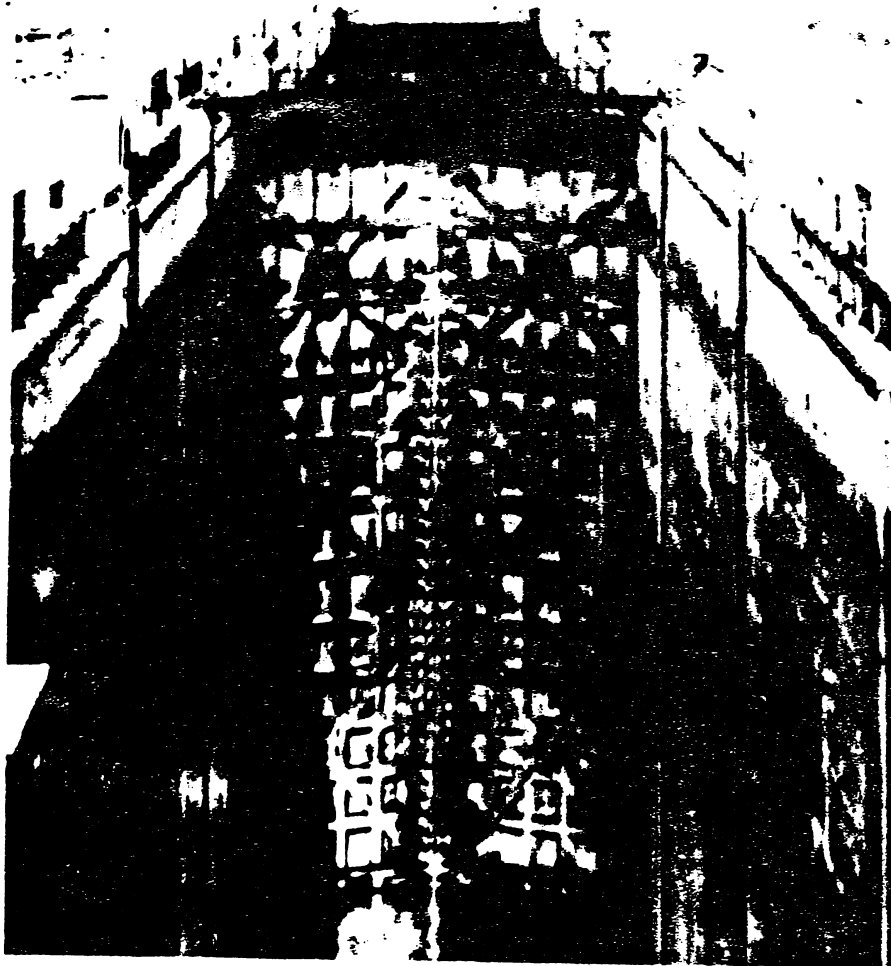


Fig. I. 2

- Jochenstein, Ybls - Persenburg, Asbach și Wallsee - Mitterhirchen /18/, /24/ din Austria, care au la capul aval porți buscate.

- In Franța și Olanda / 19/, /29/ capul aval al ecluzelor a fost echipat cu porți buscate.

- In S.U.A., majoritatea ecluzelor sînt echipate cu porți buscate /11/.

- In U.R.S.S., de asemenea porțile buscate au o foarte largă răspîndire /3/.

Tabelul I.1 pune în evidență cîteva din porțile buscate de ecluză, mai importante, construite în ultima

perioadă în lume /20/.

La acestea se mai pot adăuga porțile de ecluză de la noi din țară care concurează ca și dimensiuni cu porțile prezentate în tabelul următor:

Tabelul 1

Destinația	Anul intrării în funcțiune	Denivelarea maximă [m]	Înălțimea porții [m]	Lățimea porții [m]
New Wilson (Tennise U.S.A.)	1959	30,50	36,00	23,50
Saint - Pierre (Rhone ; France)	1966	29,00	30,50	12,10
Mac Mary (Columbia U.S.A)	1960	28,00	32,40	26,10
Chateauneuf (Rhone - France)	1966	21,80	23,20	12,10
Asbach (Danube - Anteiche) (doua ecluze)	1961 și 1963	17,85	23,40	24,00
D. Eisenhower (Saint - Laurent U.S.A)	1959	15,85	26,00	24,30
Zemst (Canal maritim Bruxelles - Anvers)	1970	9,50	18,50	13,50

- Porțile de ecluză de pe Dunăre - SHEN - Porțile de Fier I amplasate la capul aval, atât la ecluzele românești cât și la cele Jugoslave cu dimensiunile $H = 22,775$ m. $L = 19,228$ m, care au intrat în funcțiune în anul 1972 /33/.

- Porțile de ecluză SHEN - Porțile de Fier II (Gruia) cu dimensiunile de $H = 17,00$ m, $L = 19,686$ m, care sînt în fază de proiect și care se vor construi tot pe Dunăre./34/

357.046
233 E

Structura de rezistență a unei porți buscate este alcătuită din grinzile principale dispuse orizontal - 1, pe care reazemă antretoazele dispuse vertical - 2, pe acestea reazemă longeronii dispuși orizontal - 3, și tolă metalică, care are și rol de etanșare, prin intermediul ei tranmițându-se la restul elementelor încărcarea din presiunea apei. Pentru rigidizare în plan vertical sînt prevăzute legăturile diagonale - 6, Transmiterea sarcinilor la cele două reazeme laterale, verticale, se realizează prin montantul de rotire - 4 iar la articulația centrală prin montantul buscat - 5 (fig.I.3 a).

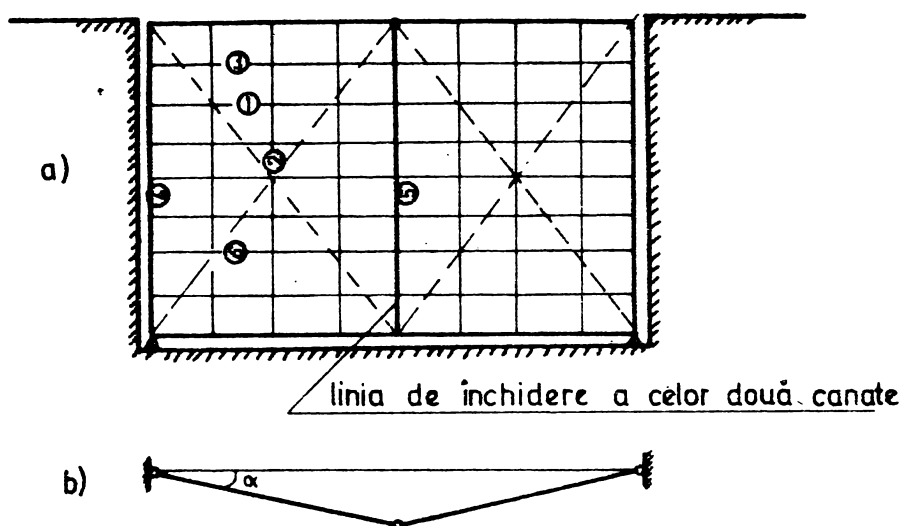


Fig . I. 3

Rotăția canatelor porții și rezemarea pe radier se realizează prin intermediul crapodinei, iar rezemarea pandulară prin intermediul colierului superior.

În poziția închisă, canatele porții se reazemă lateral în axele de rotire iar central se sprijină reciproc, formînd în secțiune orizontală, din punct de vedere static un sistem asimilat cu un *cadru* cu trei articulații. Canatele porții sînt înclinate față de axa transversală a ecluzei, spre bieful amonte cu un unghi $\alpha = 20^\circ$ (fig.I.3.b)

În cazul porților de ecluză buscate, avînd în vedere modul de alcătuire al structurii de rezistență, sistemul de

rezemare și condițiile de lucru în diferite etape de manevrare, determinarea exactă a solicitărilor duce la calcule complicate.

2. CALCULUL PORTILOR DE ECLUZA CU METODA CLASICA.

Metoda clasică este utilizată și în prezent la calculul construcțiilor metalice hidrotehnice, deci și la calculul porților de ecluză. Poarta de ecluză se consideră descompusă în elemente simple care se calculează fiecare independent.

a). Tola platelajului.

Tola pentru reținerea apei se consideră rezemată numai pe longeroni (fig.I.4.a), sau în funcție de raportul laturilor, pe longeroni și antretuaze, când tălpile celor două grinzi (longeroni și antretuaze) sînt în același plan și când dimensiunile laturilor panourilor sînt apropiate (raportul lungimii panourilor variind între 0,5 și 2,0) (fig.I.4.b).

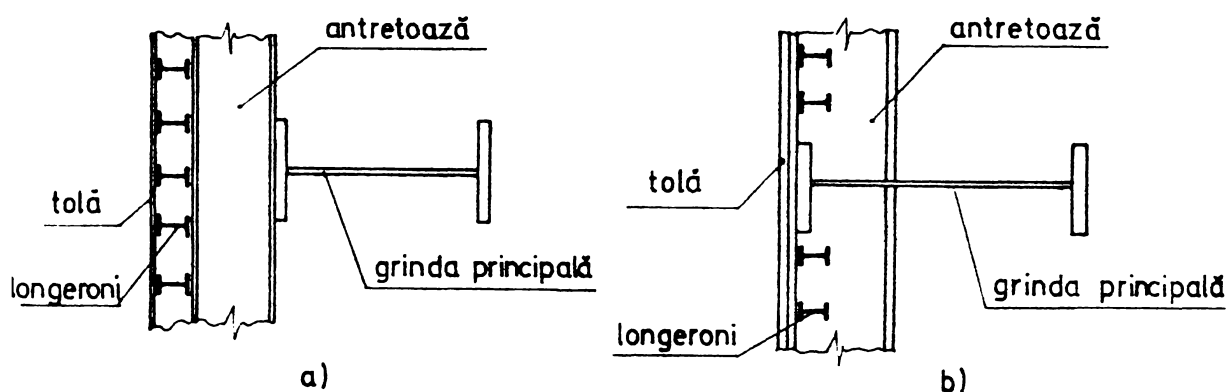


Fig. I.4

Plăcile plane (panourile de tola) solicitate la încovoiere rezultată din presiunea apei, se calculează [31], după teoria plăcilor plane, avînd la bază relația:

$$G = \frac{k}{100} \frac{p \cdot a^2}{\delta^2} \quad [\text{daN/amp}] \quad (\text{I.2.a})$$

unde:

p = presiunea apei în daN/amp (în centrul panoului)

a, b = dimensiunile plăcii (panoului) în cm (conf.fig.I.5.a)

a fiind dimensiunea mai scurtă.

δ = grosimea plăcii (tolei)

k = coeficientul care depinde de condițiile de rezemare ale plăcii.

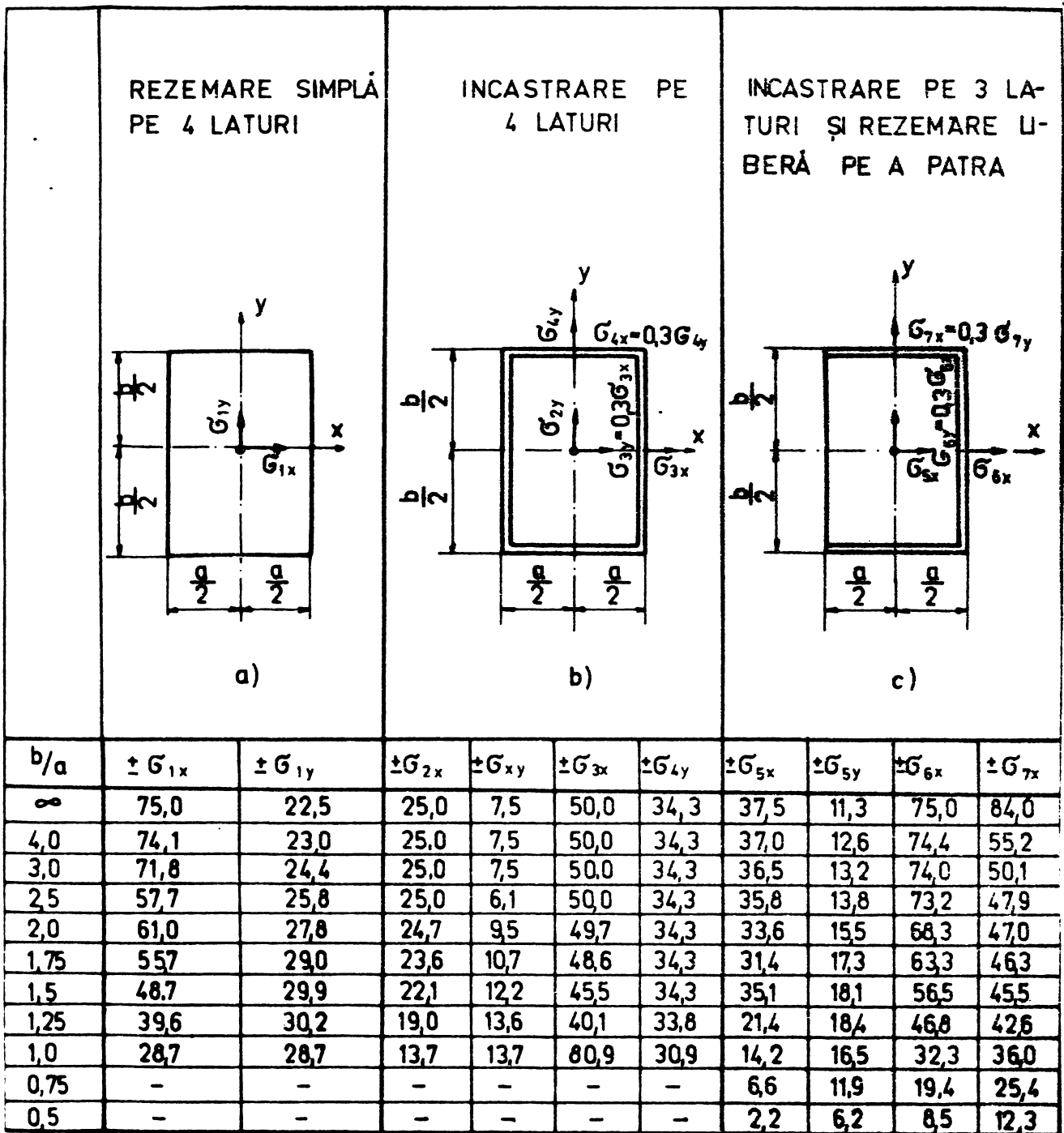


Fig. I.5

Pentru plăcile continue, tensiunile se calculează cu relația:

$$\sigma = \frac{k}{100} \frac{pa^2}{\delta^2} \varphi \quad [\text{daN/cm}^2] \quad (I.2 \text{ b})$$

φ = coeficientul de influență a continuității plăcii care se determină conf. fig. I.6 din momentele de rezemare pentru placa de deschidere a_i, b_i , conf. fig. I.5 b. după formulele:

a) Momentele de pe reazem ale plăcii de deschidere (a_i, b_i)

$$\varphi_i = \frac{\overline{M_{ik}}}{\overline{M_{ik}}} = 1 + \frac{\Delta M_i}{2 \overline{M_{ik}}}$$

respectiv :

$$\varphi_k = \frac{\overline{M_{ki}}}{\overline{M_{ki}}} = 1 + \frac{\Delta M_k}{2 \overline{M_{ki}}}$$

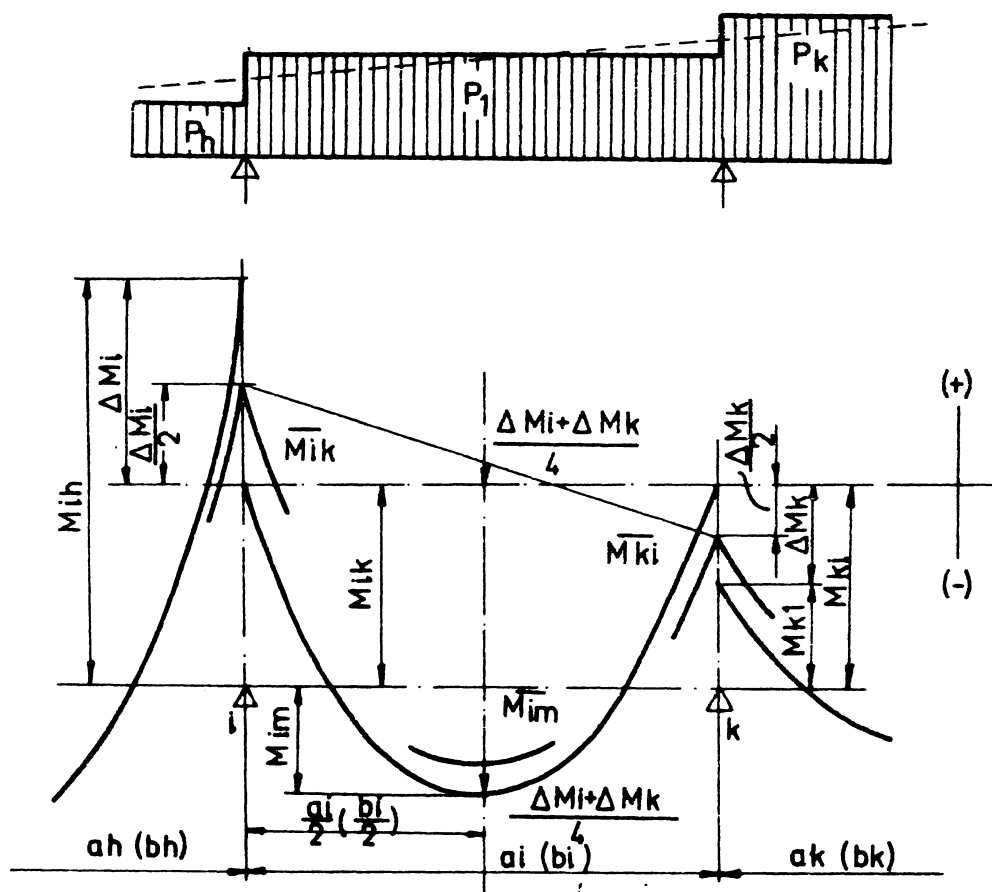


Fig. I.6

b) Momentele din câmp ale plăcii de deschidere a_i, b_i ,

$$\varphi_{im} = \frac{M_m}{M_m} = 1 - \frac{\Delta M_i + \Delta M_k}{4 M_m}$$

Momentele înconvoietoare M se introduc cu valorile lor absolute iar pentru semnul lui ΔM se ia orientarea conf. fig. I.6 .

Dacă se consideră că tola face parte și din secțiunea grinzilor (longeroni, antretoaze și grinzi principale) este necesară și verificarea corespunzătoare stării plane de tensiuni, calculîndu-se tensiunea echivalentă

$$\sigma_{ech.} = \sqrt{\sigma_x^2 + \sigma_y^2 - \sigma_x \sigma_y + 3\tau^2} = \mu \sigma_c \quad (I.3)$$

unde:

σ_c = limita de curgere a oțelului

μ = un coeficient subunitar, care ține seama de ipoteza de încărcare și are valori cuprinse între 0,75 - 0,90.

b). Longeroni.

Se calculează diferit după cum sînt executați: neîntrerupți sau întrerupți în dreptul antretoazelor.

- In cazul longeronilor executați neîntrerupt în dreptul antretoazelor, dacă tola se reazămă numai pe longeroni aceasta îi încarcă cu o sarcină uniform distribuită pe întreaga lungime. Longeronul neîntrerupt se calculează ca o grindă continuă solicitată de sarcina uniform distribuită. Dacă longeronii se execută neîntrerupt, dar la același nivel cu antretoazele, încărcarea longeronilor se determină după regula bisectoarei /25/. In acest caz longeronul se calculează ca o grindă continuă încărcată în fiecare deschidere cu o sarcină distribuită, după un triunghi sau trapez.

- In cazul longeronilor executați întrerupt în dreptul antretoazelor tola se reazămă și pe longeroni și pe antretoaze. Pentru calculul solicitărilor, longeronii se consideră grinzi simplu rezemate încărcate cu sarcină distribuită triunghiular sau trapezoidal.

Secțiunea transversală a longeronilor este alcătuită din profile laminate și o anumită porțiune din tola platelajului (ca talpă superioară a secțiunii) care conlucrează cu

profilul.

Lăţimea utilă a tolei se determină din două condiţii: condiţia de stabilitate a tolei şi condiţia de asigurare a conlucrării, pe această lăţime, a tolei cu longeronul. Lăţimea utilă este dată fie în funcţie de grosime t a tolei, fie funcţie de deschiderea longeronilor (norme sovietice sau normele DIN - 19704).

c) Antretoazele .

Se calculează de asemeni diferite după cum acestea sînt executate neîntrerupt sau întrerupt în dreptul grinzilor principale şi a longeronilor.

- În cazul antretoazelor executate neîntrerupt schema statică de calcul este o grindă continuă. Încărcarea se consideră diferit după cum tola reazemă numai pe longeroni sau şi pe longeroni şi pe antretoaze. Dacă tola reazemă numai pe longeroni încărcarea antretoazei se realizează doar din reacţiunile longeronilor, Dacă tola reazemă şi pe longeroni şi pe antretoaze încărcarea antretoazei se realizează şi din reacţiunile longeronilor şi din presiunea hidrostatică ce revine acesteia, după regula bisectoarei. /25/

- În cazul antretoazelor executate întrerupt schema statică de calcul este o grindă simplu rezemată încărcată cu sarcină distribuită triunghiular sau trapezoidal.

Soluţionările constructive ale secţiunilor transversale ale antretoazelor sînt similare cu ale longeronilor.

Dacă tola platelajului reazemă direct pe antretoaze, se consideră că o porţiune din tolă (ca şi la longeroni) face parte din secţiunea antretoazei.

d) Grinzile principale.

Solicităţile în grinzile principale se determină considerîndu-le simple rezemate, încărcate cu reacţiunile antretoazelor şi ale tolei platelajului dacă această tolă reazemă şi pe grinzile principale.

3. METODA PLACILOR ORTOTROPE.

3.1 Metoda Huber.

O placă ortotropă este definită ca o placă cu diferite rigidități de încovoiere în două direcții ortogonale x și y în planul plăcii. Aceasta poate să rezulte fie prin diferiți moduli de elasticitate E_x și E_y a materialului în două direcții perpendiculare - în cazul "ortotropiei de material", fie prin diferite momente de inerție I_x și I_y după cele două direcții în cazul "ortotropiei de structură".

Metoda Huber presupune înlocuirea tolei și rigidizărilor pe cele două direcții cu o placă echivalentă de grosimi constante pe cele două direcții avînd însă aceleași caracteristici de rigiditate.

Investigațiile teoretice și experimentale arată că aplicarea acestui mod de lucru este valabil pentru o spațiere mică între rigidizări.

Modul de aplicare al acestei metode (care mai poartă numele și de metoda echivalenței elastice) este ilustrat în fig. I.7 .

Rezolvarea plăcii ortotrope în încovoiere sub acțiunea sarcinilor exterioare presupune determinarea momentelor încovoietoare și a forțelor tăietoare ce acționează asupra plăcii.

Acestea se determină plecînd de la ecuația cu derivate parțiale care are forma (în metoda Huber):

$$D_x \frac{\partial^4 w}{\partial x^4} + 2 H \frac{\partial^4 w}{\partial x^2 \partial y^2} + D_y \frac{\partial^4 w}{\partial y^4} = p(x, y) \quad (I.4)$$

Cunoscînd condițiile de contur se pot determina deplasările w și solicitările unitare.

Riguroase investigații au arătat însă că metoda este corectă numai pentru cazul cînd rigidizările sînt dispuse

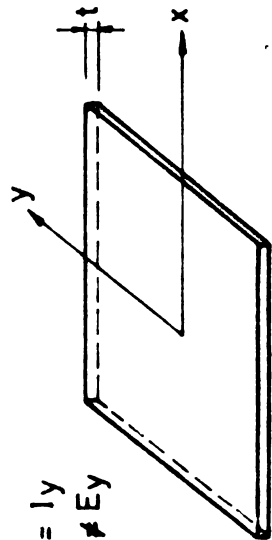
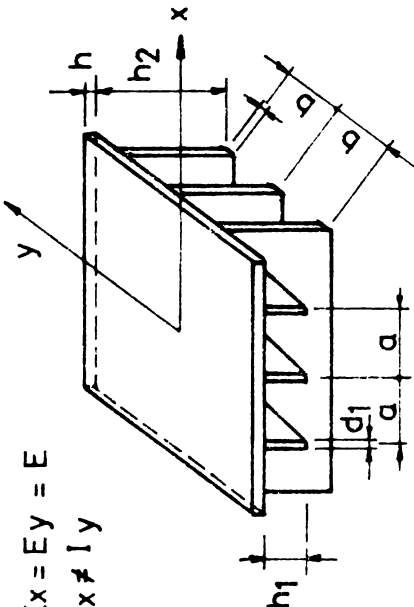
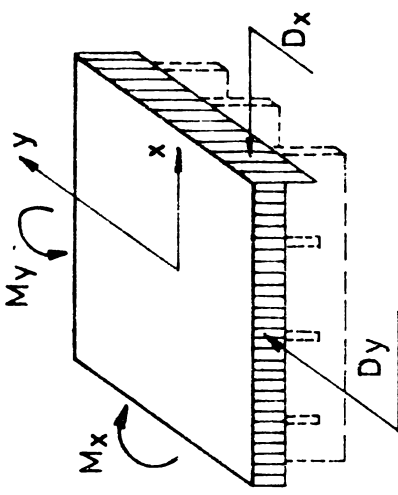
Ortotropie de material	Ortotropie geometrică	Placă ortotropă echivalentă
<p>$I_x = I_y$ $E_x \neq E_y$</p>  $D_x = \frac{E_x \cdot t^3}{12(1-\mu_x \mu_y)}$ $D_y = \frac{E_y \cdot t^3}{12(1-\mu_x \mu_y)}$ $D_{xy} = \frac{G_{xy} \cdot t^3}{12}$ $H = \frac{1}{4} (D_x \mu_y + D_y \mu_x + D_{xy})$	<p>Ecuatia diferencială a plăcii ortotrope</p> $D_x \frac{\partial^4 w}{\partial x^4} + 2H \frac{\partial^4 w}{\partial x^2 \partial y^2} + D_y \frac{\partial^4 w}{\partial y^4} = P(x, y)$ <p>$E_x = E_y = E$ $I_x \neq I_y$</p>  $D_x = \frac{E I_x}{b} ; D_y = \frac{E I_y}{a}$ $D_{xy} = \frac{G}{3} \left(\frac{h_1 d_1^3}{a} - \frac{h_2 d_2^3}{b} \right)$ $H = \frac{E h^3}{12(1-\mu^2)} + D_{xy}$	 $M_x = D_x \left(\frac{\partial^2 w}{\partial x^2} + \mu \frac{\partial^2 w}{\partial y^2} \right)$ $M_y = D_y \left(\frac{\partial^2 w}{\partial y^2} + \mu \frac{\partial^2 w}{\partial x^2} \right)$ $M_{xy} = -2 D_{xy} \frac{\partial^2 w}{\partial x \partial y}$

Fig. I.7.

simetric față de planul median al tolei, dând soluții aproximative, în cazul când rigidizările sînt de o singură parte.

Precizia de rezolvare a structurii depinde în principal de simplificările aduse.

3.2. Metode care nu iau în considerare excentricitatea rigidizărilor.

3.2.1. Metoda Y. Guyon și C. Mossonett.

Consideră placa ,echivalentă cu o rețea de grinzi idealizată, adică înlocuiește placa cu un sistem de bare interconectate dispuse longitudinal și transversal. Echivalența între rețeaua de grinzi și placa ortotropă se face în baza ecuației lui Huber unde w este săgeata normală la planul xoy și $p(x,y)$ este funcția de încărcare .

3.2.2. Metoda H.Homberg și I. Weinmoister.

Presupune placa idealizată tot printr-o rețea de grinzi considerînd grinzile în număr mare și foarte apropiate.

3.2.3. Metoda Cornelius.

Pornind de la ecuația lui Huber, Cornelius consideră placa ortotropă simplu rezemată pe grinzile principale pentru care se cunosc rigiditățile la încovoiere D_x , D_y , D_{xy} . Metoda nu permite a se calcula corect longeronii, deoarece consideră rigiditatea antretoazelor " uniformizată." dealungul plăcii.

3.2.4. Metoda Pelican - Esslinger.

Se bazează de asemenea pe ecuația lui Huber, neglijînd o serie de parametrii pentru rigiditățile plăcii ortotrope care au o importanță secundară.

INSTITUTUL NAȚIONAL DE RECHIZIȚII ȘI
TEHNOLOGIA CONSTRUCȚIILOR

Procedeul de calcul este împărțit în două etape:
(fig. I.8.).

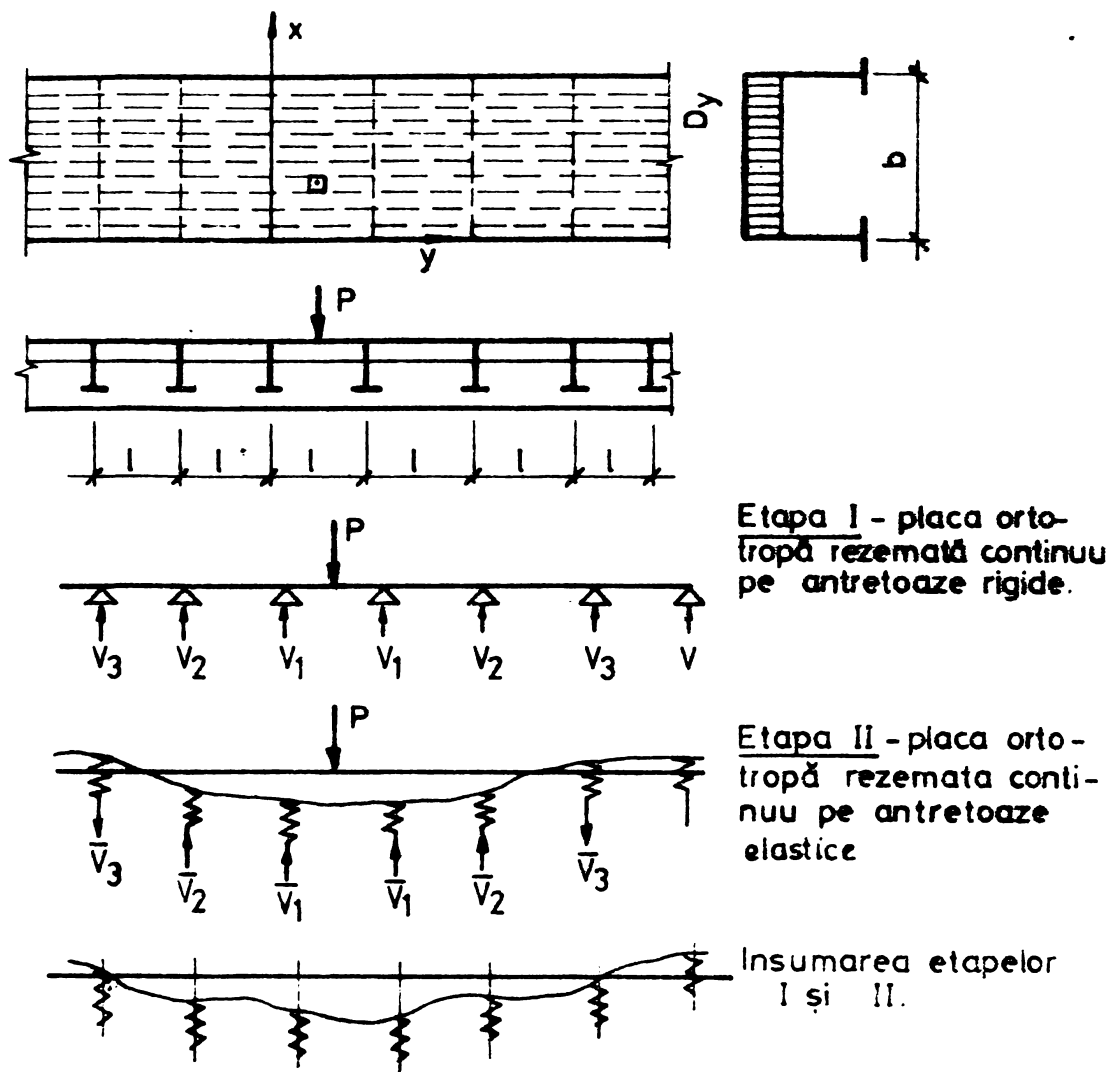


Fig. I.8

În prima etapă se determină eforturile presupunând infinit rigide grinzile principale și antretoazele. În a doua etapă se aduc corecții pentru aceste eforturi considerând că antretoazele sînt elastice.

La plăcile ortotrope cu longeroni elastici unde

rigiditățile D_x și H au valori mici față de D_y se neglijează aceste rigidități și ecuația lui Huber devine:

$$D_y \cdot \frac{\partial^4 w}{\partial y^4} = p. \quad (I.5.)$$

Relația (I.5) reprezintă de fapt deformația unei grinzi care în cazul plăcii ortotrope se idealizează prin niște fișii înguste alăturate continue pe direcția y .

În a doua etapă se evaluează influența elasticității antretoazei asupra eforturilor determinante în prima etapă.

Pentru plăci ortotrope cu longeroni rigizi este neglijată numai rigiditatea la încovoiere D_x , ecuația lui Huber, reducându-se la (I.6) :

$$2 H \cdot \frac{\partial^4 w}{\partial x^2 \partial y^2} + D_y \frac{\partial^4 w}{\partial y^4} = p. \quad (I.6.)$$

3.3. Metode care iau în considerare excentricitatea rigidizărilor.

Autorii metodelor enumerate anterior consideră că rigidizările sînt dispuse simetric față de planul median al tolei plăcii ortotrope fapt care introduce un anumit grad de aproximare.

În majoritatea construcțiilor hidrotehnice însă (ca și în cazul porților de ecluză) rigiditățile sînt dispuse doar de o parte a tolei. Apar deci o serie de probleme dificile referitoare la poziția suprafeței neutre la încovoierea plăcii cît și la determinarea rigidităților.

3.3.1. Metoda P. Flugler .

P. Flugler a fost primul care a atacat această problemă și a obținut pentru încovoierea plăcilor ortotrope un sistem de 3 ecuații diferențiale.

3.3.2. Metoda Trenks.

Trenks a transformat cele 3 ecuații ale lui Flugger într-o singură ecuație de ordinul opt (I.7):

$$D_1 \frac{\partial^8 w}{\partial x^8} + D_2 \frac{\partial^8 w}{\partial x^6 \partial y^2} + D_3 \frac{\partial^8 w}{\partial x^4 \partial y^4} + D_4 \frac{\partial^8 w}{\partial x^2 \partial y^6} + D_5 \frac{\partial^8 w}{\partial y^8} = p \quad (I.7)$$

unde $D_1 \dots D_5$ sînt caracteristicile geometrice și elastice ale tolei și longeronilor.

3.3.3. Metoda E.Gienke.

Așa cum remarcă însă și M.S. Troitsky /28/ soluția ecuației cu derivate parțiale (I.7) necesită calcule extrem de laborioase, care par a fi aproape imposibile. E.Gienke a indicat o metodă care prin anumite simplificări admisibile, reduce studiul problemei la o ecuație analogă cu ecuația tip Huber /13/.

Gienke ajunge la două ecuații cu derivate parțiale, fiecare de ordinul patru, relații care arată că efectul de saibă și de placă nu pot fi separate; deci problema este o problemă spațială.

Cele două ecuații au forma:

$$\frac{D}{D_y} w'''' + 2 \frac{D}{D} w'''' + \frac{D}{D_x} w'''' - (e_x \frac{D}{D_x} w'''' + e_y \frac{D}{D_y} w'''') + (e_x + e_y) w'''' = 0 \quad (I.8)$$

$$(D_x - \frac{\bar{\mu}^2}{1-\bar{\mu}} \cdot K_x \cdot e_x^2) w'''' + 2 (K + kxy + kyx + \frac{\mu}{1-\bar{\mu}})^2 k \cdot e_x \cdot e_y w'''' + (D_y - \frac{\bar{\mu}^2}{1-\bar{\mu}} K_y e_y^2) w'''' + \frac{\mu}{1-\bar{\mu}} w'''' = 0$$

$$\left(\frac{k}{k_y} e_x \phi'''' + \frac{k}{k_x} e_y \phi'''' \right) - \frac{e_x + e_y}{1 - \bar{\mu}} \phi'''' = p(x, y) \quad (\text{I.9})$$

unde: ϕ este funcția de eforturi definită prin:

$$\phi'' = N_y ; \quad \phi''' = N_x ; \quad - \phi'' = N_{xy} = N_{yx} \quad (\text{I.10})$$

- rigiditatea la întindere $k = \frac{Et}{1 - \mu} \cdot 2$

$$k_x = \frac{1}{b_x} \int E(z) \cdot d A_x \quad (\text{I.11})$$

$$k_y = \frac{1}{b_y} \int E(z) \cdot d A_y$$

- rigiditatea la lunecare $\bar{k} = \frac{1 - \mu}{1 - \mu \sigma} \cdot k$ unde $\sigma = \frac{k}{\sqrt{k_x + k_y}}$

(I.12)

- coeficientul de contracție transformat $\bar{\mu} = \mu \sigma$ (I.13)

- excentricitățile centrelor de greutate

$$e_x = \frac{1}{b_x \cdot k_x} \int E(z) \cdot Z \cdot d A_x \quad (\text{I.14})$$

$$e_y = \frac{1}{b_y \cdot k_y} \int E(z) \cdot Z \cdot d A_y$$

- rigiditățile la încovoiere : $D = \frac{Et^3}{12(1 - \mu)}$

$$D_x = \frac{1}{b_x} \int E(z) (Z - e_x)^2 \cdot d A_x$$

$$D_y = \frac{1}{b_y} \int E(z) (Z - e_y)^2 \cdot d A_y \quad (\text{I.15})$$

- rigiditatea la torsiune

a rigidizărilor :

$$D_{xy} = \frac{1}{3 b_x} \int G \cdot t^2 \cdot d A_x$$

$$D_{yx} = \frac{1}{3 b_y} \int G \cdot t^2 \cdot d A_y \quad (\text{I.16})$$

- rigiditatea la torsiunea

$$\text{plăcii:} \quad C = D + D_{xy} + D_{yx} \quad (\text{I.17})$$

Modulul de elasticitate al plăcii este $\frac{E}{1-\mu^2}$

După rezolvarea sistemului (I.8, I.9) se pot calcula expresiile solicitărilor în secțiunea plăcii cu relațiile:

$$N_x = k_x (\bar{\varepsilon}_x - e_x w'') + \mu k_x \bar{\varepsilon}_y$$

$$N_y = k_y (\bar{\varepsilon}_y - e_y w'') + k_x \bar{\varepsilon}_x$$

$$N_{xy} = N_{yx} = \frac{1-\mu}{2} \cdot k_x \gamma_{xy}$$

$$M_x = -D_x w'' - \mu D_y w'' + e_x k_x (\bar{\varepsilon}_x - e_x w'') \quad (\text{I.18})$$

$$M_y = -D_y w'' - \mu D_x w'' + e_y k_y (\bar{\varepsilon}_y - e_y w'')$$

$$M_{xy} = - \left[(1-\mu)D + 2 D_{xy} \right] \cdot w''$$

$$M_{yx} = - \left[(1-\mu)D + 2 D_{yx} \right] \cdot w''$$

În aceste expresii deformația specifică a unui punct al plăcii situat la distanța Z de la suprafața plăcii este:

$$\varepsilon_x = \bar{\varepsilon}_x - z w'' = u' - z \cdot w''$$

$$\varepsilon_y = \bar{\varepsilon}_y - z w'' = v' - z \cdot w'' \quad (\text{I.19})$$

$$\gamma_{xy} = \bar{\gamma}_{xy} - 2 z w'' = u' + v' - 2 z \cdot w''$$

iar relațiile dintre acestea și tensiuni sînt date de :

$$\varepsilon_x = \frac{1}{E} (\sigma_x - \mu \sigma_y)$$

$$\varepsilon_y = \frac{1}{E} (\sigma_y - \mu \sigma_x) \quad (\text{I.20})$$

$$\gamma_{xy} = \frac{1}{G} \tau_{xy} ; \left(G = \frac{E}{2(1+\mu)} \right)$$

Deducerea ecuațiilor (I.8, I.9) s-a făcut în baza următoarelor ipoteze:

- grosimea plăcii de la marginea superioară a tablei pînă la marginea inferioară a rigidizărilor este mică, în raport cu dimensiunile laturilor plăcii ;
- valabilitatea legii lui Hooke ;
- valabilitatea ipotezei lui Bernoulli ;
- lunecările sînt mici în raport cu grosimea plăcii;
- eforturile de lunecare sînt preluate numai de tola plăcii ortotrope;
- eforturile de valoare se neglijează.

Cele două ecuații fundamentale (I.8, I.9) se simplifică dacă se consideră infinite rigiditățile la întindere , D_x și D_y , ale plăcii și rezultă:

$$(e_x + e_y) w'''' + \frac{2 \phi''''}{(1-\mu)k} = 0 \quad (I.21)$$

$$D_x w'''' + 2(C + \mu \cdot e_x \cdot e_y k) w'''' + D_y \cdot w'''' - (e_x + e_y) \phi'''' = p(x,y) \quad (I.22)$$

Ecuațiile (I.21, I.22) se pot restrînge într-o singură ecuație:

$$D_x \frac{\partial^4 w}{\partial x^4} + 2 H^* \frac{\partial^4 w}{\partial x^2 \partial y^2} + D_y \frac{\partial^4 w}{\partial y^4} = p(x,y) \quad (I.23)$$

Ecuația are aceeași structură ca ecuația lui Huber, dacă se notează cu :

$$H^* = C \cdot \mu \cdot e_x \cdot e_y \cdot k + (e_x + e_y) \cdot \frac{1-\mu}{4} \cdot k \quad (I.24)$$

Formal s-a ajuns la o ecuație de tip Huber, dar fondul problemei este mult mai complex. Din analiza făcută pe structura reală a plăcii ortotrope rezultă forme de larvă

generalitate a ecuației încovierii plăcii ortotrope cu rigidități excentrice.

Ecuția lui Huber derivă din aceasta, pentru cazul particular al alcătuirii simetrice a rigidizărilor.

Rezultatul cel mai important al studiului este expresia dată rigidității echivalente la torsiune H^* (I.24). Fînă la Gienke această valoare era calculată sau acceptînd diferite relații pentru calcul sau se determina experimental.

De exemplu Cornelius rezolvă problema acceptînd pentru rigiditatea la torsiune următoarele trei expresii:

$$\begin{aligned} \text{a) } H &= \sqrt{D_x D_y} \quad , \quad \mu_x \cdot D_y = \mu_y \cdot D_x \\ \text{b) } 0 < H < \sqrt{D_x D_y} \quad , \quad \mu_x = \mu_y = 0 & \quad \quad \quad \text{(I.25)} \\ \text{c) } H &= 0 \quad , \quad \mu_x - \mu_y = 0 \end{aligned}$$

Unii autori au propus adoptarea unei expresii de forma $H = \chi \cdot \sqrt{D_x \cdot D_y}$. unde χ este coeficientul numeric, denumit coeficientul rigidității la torsiune sau parametru de torsiune.

Inițial s-a adoptat acestui coeficient valoarea $\chi = 1$.

Incercările experimentale au arătat însă că această valoare este mai mică ($\chi < 1$) variind între 0,3 și 0,5 și că rezultatele nu sînt acoperitoare.

Toate acestea își pierd însă sensul, în momentul în care H^* (I.24) a primit o fundamentare teoretică (ecuația tip Gienke).

Importanța metodei Gienke constă și în aceea că rezolvarea ecuației fundamentale permite determinarea solicitărilor inclusiv a forțelor axiale și de lunecare (N_x, N_y, N_{xy}, N_{yx}).

În toate metodele bazate pe teoria Huber, acestea erau neglijate. Experimentările însă au arătat o distribuție a tensiunilor pe secțiune ce demonstrează existența solicitărilor axiale.

Cu expresiile solicitărilor (I.18) teoria Gienke dă o imagine completă asupra comportării și calculului plăcilor ortotrope cu rigidizări excentrice.

Cu toate acestea în literatura de specialitate sînt foarte puține lucrări care tratează calculul porților de ecluză ca plăci ortotrope. Singurele în acest domeniu sînt lucrările lui M.N. Dehouse, J. Deprez, C. Genin și E. Piraprez apărute în Belgia.

În lucrările /6/, /7/, /8/, /9/ M.N. Dehouse pornește de la aceleași ipoteze ca și Gienke dar rezolvă pe o altă cale calculul plăcilor ortotrope.

3.3.4. Metoda M. Dehouse (metoda liniilor de sarcină)

Pentru rezolvarea problemei Dehouse folosește următoarele trei ecuații cu derivate parțiale ale plăcii ortotrope în funcție de deplasările u , v , w și de derivatele acestora:

$$(D + \Omega_x^r) u'' + (D \frac{1-\mu}{2} + S_y^r) u'' + D \frac{1+\mu}{2} v'' - H_x^r w''' + X = 0 \quad (I.26)$$

$$(D + \Omega_y^r) v'' + (D \frac{1-\mu}{2} + S_x^r) v'' + D \frac{1+\mu}{2} u'' - H_y^r w''' + Y = 0 \quad (I.27)$$

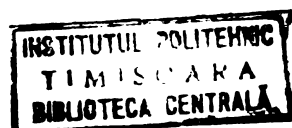
$$(K + R_x^r) w'''' + (K + R_y^r) w'''' + (2K + T_y^r + T_x^r) w'''' + L_y^r u''' - H_x^r u + L_x^r v''' = Z - M_x^o - M_y^o \quad (I.28)$$

unde pentru derivate în raport cu x și y s-au folosit notațiile:

$$\frac{\partial F}{\partial x} = F' \quad \text{și} \quad \frac{\partial F'}{\partial y} = F^o$$

iar:

$$\Omega_y^r = \Omega_y \frac{dy}{\varepsilon_y} = \frac{E \alpha y}{\varepsilon_y} \quad H_y^r = H_y \frac{dy}{\varepsilon_y} = \frac{E h_y}{\varepsilon_y}$$



$$\begin{aligned} \Omega_x^r &= \Omega_x \frac{dx}{\varepsilon_x} = \frac{E \omega_x}{\varepsilon_x} & H_x^r &= H_x \frac{dx}{\varepsilon_x} = \frac{E h_x}{\varepsilon_x} \\ R_y^r &= R_y \frac{dy}{\varepsilon_y} = \frac{EI_y}{\varepsilon_y} & R_x^r &= R_x \frac{dx}{\varepsilon_x} = \frac{EI_x}{\varepsilon_x} \\ S_x^r &= S_x \frac{dx}{x} = \frac{G}{x} & S_y^r &= S_y \frac{dy}{\varepsilon_y} = \frac{G \Omega'_y}{\varepsilon_y} \\ T_x^r &= T_x \frac{dx}{\varepsilon_x} = \frac{G(k_{2xy} + k_{3xy})}{\varepsilon_x} & L_x^r &= L_x \frac{dx}{\varepsilon_x} = G \frac{\lambda_x}{\varepsilon_x} \Omega'_x \\ T_y^r &= T_y \frac{dy}{\varepsilon_y} = \frac{G(k_{2yx} + k_{3yx})}{\varepsilon_y} & L_y^r &= L_y \frac{dy}{\varepsilon_y} = G \frac{\lambda_y}{\varepsilon_y} \Omega'_y \end{aligned}$$

unde:

- ω_x și ω_y sînt suprafețele rigidizărilor plăcii paralele respectiv cu axa O_x și O_y ;

- h_x și h_y sînt momentele statice ale suprafețelor ω_x și ω_y calculate în raport cu suprafața mediană a plăcii ;

- I_x și I_y sînt momentele de inerție ale acelorăși suprafețe ω_x și ω_y în raport cu suprafața mediană a plăcii.

Solicitările unitare se calculează cu relațiile:

$$N_x = D(u' + uv^0) + f(y) (\Omega_x \cdot U' - H_x \cdot W'') \quad (I.29)$$

$$N_y = D(v^0 + \mu u') + f(x) (\Omega_y \cdot v^0 - H_y \cdot W'') \quad (I.30)$$

$$N_{xy} = D \frac{1-\mu}{2} (u^0 + v') + f(y) S(x) \cdot v' \quad (I.31)$$

$$N_{yx} = D \frac{1-\mu}{2} (u' + v^0) + f(x) S_y \cdot v^0 \quad (I.32)$$

$$M_x = k(w'' + \mu w'') - f(y) (H_x U' - R_x W'') \quad (I.33)$$

$$M_y = k (w'' + \mu w''') - f(x) (H_y \cdot v^0 - R_y w''') \quad (I.34)$$

$$M_{xy} = k(1-\mu) w^{0'} + f(y) (T_x \cdot w^{0'} + L_x \cdot v^1) \quad (I.35)$$

$$M_{yx} = k(1-\mu) w^{10} + f(x) (T_y \cdot w^{10} + L_y \cdot u^0) \quad (I.36)$$

In expresiile solicitărilor unitare (I.30 ...I.37) efectul rigidizărilor se exprimă prin cel de al doilea termen care conține funcțiile $f(x)$ și $f(y)$. Aceste expresii arată că studiul plăcii rigidizate se poate reduce la cel al unei plăci cu grosime constantă cu condiția să acționeze pe de o parte încărcarea din presiunea apei, Z , iar pe de altă

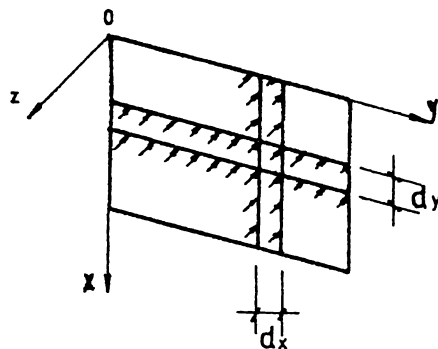


Fig. I.9

parte sarcinile date de rigidizări . Aceste sarcini sînt presiunile care acționează după fîșiiile de lățime dx , dy (fig.I.9) Expresiile lui $f(x)$ și $f(y)$ au fost introduse plecînd de la funcțiile Heaviside și Dirac.

Aplicînd aceste funcții plăcii studiate, după cele două direcții x și y (fig.I.10) rezultă următoarele expresii:

$$f(x) = \sum_{k=1}^m \left\{ H \left[x - \left(x_k - \frac{dy}{2} \right) \right] - H \cdot \left[x - x_k + \frac{dy}{2} \right] \right\} \quad (I.37)$$

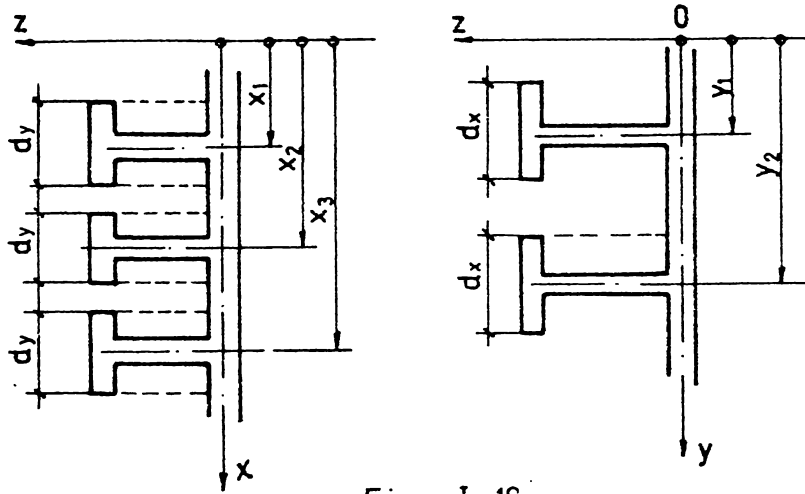


Fig. I. 10

$$f(y) = \sum_{j=1}^n \left\{ H \left[y - \left(y_j - \frac{dx}{2} \right) \right] - H \left[y - \left(y_j + \frac{dx}{2} \right) \right] \right\} \quad (I.38)$$

unde m respectiv n sînt num rul de rigidiz ri paralele cu axa y respectiv x .

Deoarece rigidiz rile sînt uniform distribuite  i foarte apropiate s-au  nlocuit f iurile de  nc rc ri de l t ime dx date de rigidiz ri printr-o intensitate repartizat  pe o l t ime ϵ_y de m rime $\frac{dy}{\epsilon_y}$ (fig. I.11).

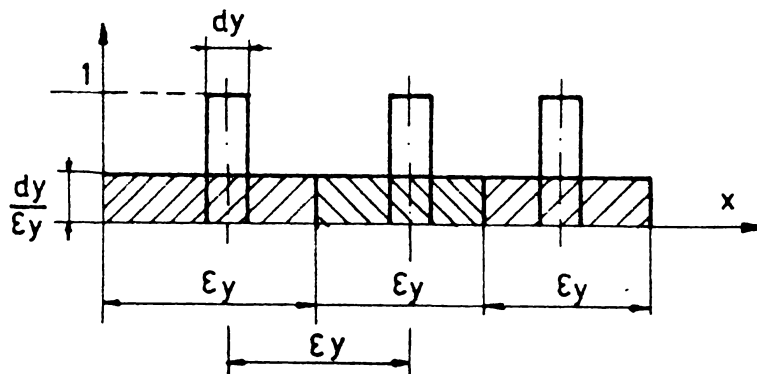


Fig. I. 11

Grinzile principale nu se mai consider  echidistante

și nici nu pot fi considerate repartizate. Ele se înlocuiesc prin linii de eforturi și momente. Pentru fiecare grindă principală se consideră că acționează pe placă câte trei linii de eforturi paralele respectiv cu axele Ox , Oy , Oz și o linie de momente paralelă cu axa Oy . (fig. I.12).

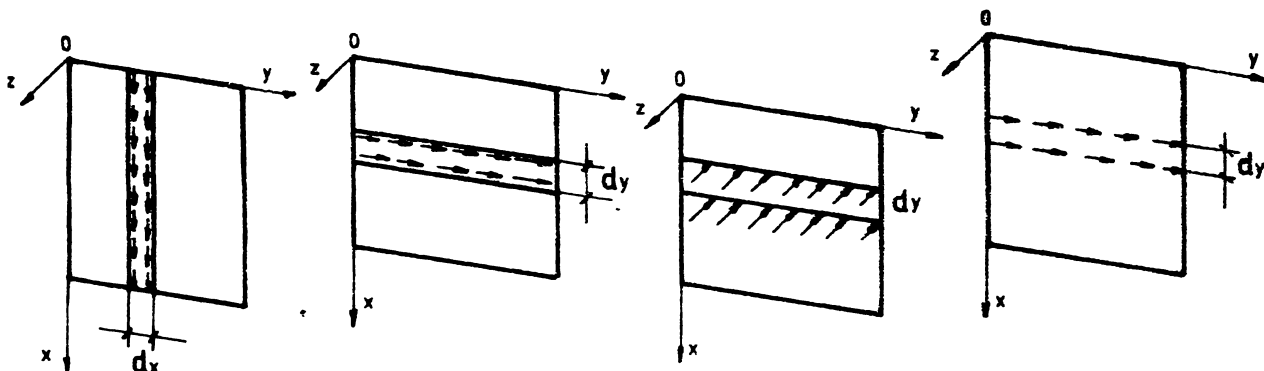


Fig. I.12

Calculul a fost aplicat la o poartă de ecluză plană care s-a executat în Belgia la Lanaye. Pentru această poartă de ecluză s-au calculat atât deformațiile cât și solicitările și tensiunile, folosind serii duble Fourier.

Calculul a fost verificat experimental pe macheta aceleiași porți executată la scara 1:10.

În lucrarea /10/ J. Deprez expune posibilitatea programării la calculatorul electronic a metodei de calcul.

C. Genin /16/ prezintă metoda lui M.N. Dehousse și calculează aceiași poartă de ecluză dar nu la acțiunea presiunii hidrostatice a apei ci la acțiunea unei sarcini concentrate provenită din acțiunea unui vas. Acest calcul îl verifică și experimental pe modelul aceleiași porți executat la scara 1:4. /17/.

3.4. Lucrări apărute în țară, care studiază calculul plăcilor ortotrope.

Lucrări deosebite privind calculul construcțiilor metalice ținând cont de conlucrarea spațială a elementelor componente au apărut și la noi în țară /1/, /4/, /22/. Dintre acestea, lucrările /4/ și /22/ studiază structurile de poduri metalice.

Deosebit de importantă prin contribuțiile personale valoroase care completează și generalizează rezolvarea plăcilor ortotrope prin metoda diferențelor finite și în special prin metoda de discretizare cu elemente finite este lucrarea autorului Gh. Oblemenco /22/.

Autorul concepe procedee matriciale, care să permită utilizarea atât a soluțiilor numerice a ecuațiilor diferențiale, cât și a elementelor finite în metoda deplasărilor, la obținerea stării de eforturi și deplasări pentru structuri. Aceste procedee care generalizează problema rezolvării ecuațiilor diferențiale cu derivate parțiale întâlnite curent în rezolvarea plăcilor izotrope prin definirea de către autor a unor matrici condiții contur permite a se lua în considerare toate condițiile de contur întâlnite la plăci plane raportate la o rețea rectangulară.

Prin discretizare cu elemente finite autorul sistematizează alcătuirea matricelor de rigiditate ale structurilor de rezistență și rezolvă cu această metodă numeroase probleme aplicative de specialitate.

În lucrare se fac de asemeni studii și comparații între rezultatele obținute din calculul cu cele două metode, pentru diferite structuri de poduri metalice.

Gh. Bucă în lucrarea /4/ studiază starea limită de deformație a platelajelor ortotrope ale podurilor metalice.

Singura lucrare în specialitatea construcții metalice hidrotehnice este /1/ a autorului I. Beleş, care studiază STAVILE metalice, Lucrarea tratează calculul unei stavile

metalice rigidizată cu nervuri dese pe o direcție (orizontală) și diafragme la distanță mai mare pe cealaltă direcție (verticală), fig. I.13. Baza teoretică de calcul este ecuația de tip Gienke. Se consideră că nervurile dese împreună cu tola formează placa ortotropă, iar diafragmele sînt elemente liniare legate articulat de placă. Efectul antretoazelor asupra plăcii

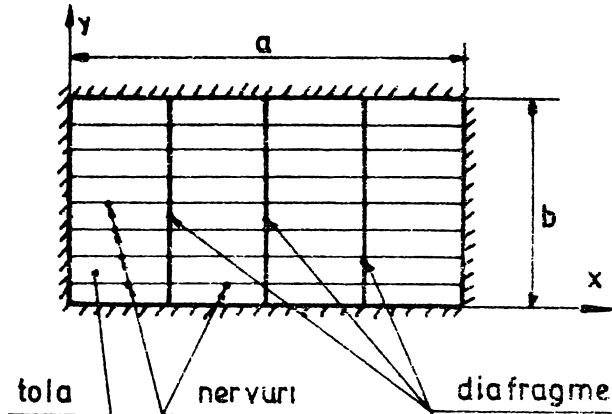


Fig. I. 13

ortotrope se exprimă sub forma unor încărcări Y . Acestea se determină tocmai din condiția de compatibilitate a săgeților plăcii ortotrope și a diafragmelor în secțiunile lor de contact:

$$W_{\text{placă}} = W_{\text{diafragmă}} \quad (\text{I.39})$$

Din această egalitate rezultă un sistem de ecuații cu un număr de necunoscute egal cu cel al diafragmelor. Rezolvînd acest sistem se pot calcula:

- încărcările Y_i în fiecare diafragmă în diferite puncte de coordonate y cu relația (I.40):

$$Y_i(y) = \sum_n Y_{in} \sin \frac{n\pi y}{b} = Y_{i1} \sin \frac{1\pi y}{b} + Y_{i2} \sin \frac{2\pi y}{b} + \dots + Y_{ik} \sin \frac{n\pi y}{b} \quad (\text{I.40})$$

unde:

i = numărul de diafragme

n = numărul de termeni ai seriei trigonometrice

Y_{in} = necunoscutele care rezultă din rezolvarea sistemului amintit anterior

Avînd aceste încărcări se pot calcula:

- săgețile și momentele în diafragme cu relațiile:

$$W_i(y) = - \frac{b^4}{\tilde{II} EI_i} \sum_n \frac{1}{n^4} y_{in} \sin \frac{n \tilde{II} y}{b} \quad (I.41)$$

$$M_i(y) = \frac{b^2}{\tilde{II}^2} \sum_n \frac{1}{n^2} y_{in} \sin \frac{n \tilde{II} y}{b} \quad (I.42)$$

Tot pe baza încărcărilor calculate anterior se pot determina săgețile și momentele în placa ortotropă, într-un număr de puncte stabilit, cu relațiile:

$$W(x,y) = \sum_m \sum_n W_{mn} \sin \frac{m \tilde{II} x}{a} \sin \frac{n \tilde{II} y}{b} \quad (I.43)$$

$$M_x(x,y) = \frac{Dx \tilde{II}^2}{a^2} \sum_m \sum_n (m^2 + \mu \rho \alpha^2 n^2) W_{mn} \sin \frac{m \tilde{II} x}{a} \sin \frac{n \tilde{II} y}{b} \quad (I.44)$$

$$M_y(x,y) = \frac{D \tilde{II}^2}{a^2} \sum_m \sum_n (\alpha^2 n^2 + \mu m^2) W_{mn} \sin \frac{m \tilde{II} x}{a} \sin \frac{n \tilde{II} y}{b} \quad (I.45)$$

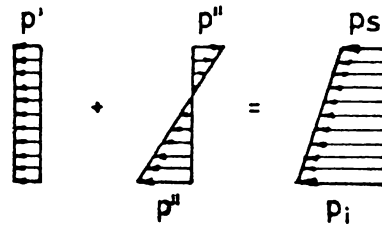


Fig. I. 14

Ca ipoteză de încărcare este studiată încărcarea uniform distribuită și încărcarea antisimetrică urmînd ca prin suprapunerea efectelor să se obțină rezultatele pentru o încărcare trapezoidală. (fig. I.14) ,

$$p' + p'' = ps$$

$$p' - p'' = pi$$

Ca rezemare s-a studiat ipoteza simplă rezemare pe toate 4 laturile.

B I B L I O G R A F I E

1. Beleş I.E. - Contribuții la calculul construcțiilor metalice hidrotehnice cu elemente de rigiditate din tablă și grinzi, ținând seama de efectul de conlucrare spațială. Teză de doctorat, Institutul de construcții București, 1972.
2. Beșchea N. - Rezistența materialelor. Editura didactică, 1971.
3. Бопучебур С. - Дысцьмбпрам Ме бопомы шлшзоб Моква - 1961.
4. Bucă I. Gh. - Contribuții la definirea stării limită de deformație a platelajelor ortotrope ale podurilor metalice. Teză doctorat, Institutul de construcții București, octombrie 1970.
5. Ciomocoș F.D. - Calculul porților buscate de ecluză. Referat prezentat în cadrul tezei de doctorat în colectivul de catedră din 10 febr. 1978.
6. Dehouse N.M. - Les bordages raidis en construction hydraulique. Memoire du C.E.R.E.S. (nouvelle serie) nr.1 sept. 1961.
7. Dehouse N.M. - Les bordages raidis en construction hydraulique ZÜRICH 1962.
8. Dehouse N.M. - Developpements recents de L'etude des portes planes d'ecluse. Application de la theorie des plaques orthotropes - 15 juin 1967.
9. Dehouse N.M., J. Deprez - Les bordages orthotropes plans Calcul d'une porte plane d'ecluse. Memoire du C.E.R.E.S. nr.22 juin, 1967.

10. Deprez J. - La dimensionnement optimum des bordages raidis plans. Application du calcul d'une porte d'ecluse. Collection des Publication nr.13.
11. Douma H., Davis P., Nelson M. - United States Practice in Lock Design - XXII Congrès International de Navigation, Paris 1969.
12. Gemachling C., Beslin N. - Les portes intermediaires busquées de toute hauteur des écluses de Saint - Pierre et de Chateauneuf sur le Rhône. Revue Travaux, Paris mars, 1967.
13. Giencke E. - Die Grundgleichungen für die orthotrope Plate mit exzentrischen Steifen. In : Der Stahlbau, 24,6, 1955 (pag. 128 - 129).
14. Giencke E. - Über die Berechnung regelmässiger Konstruktionen als kontinuum. Der Stahlbau 33.I.1964, 33.II.1964.
15. Giencke E. - Die Berechnung von durchlaufenden Fahrbahnplatten. In Der Stahlbau 27. IX.1958, 27.XI.1958, 27.XII.1958.
16. Genin C. - Les bordages orthotropes plans. Calcul d'une porte plane d'ecluse par la methode des lignes de charge. Application au cas de l'impact d'un bateau. 1975.
17. Genin C., Miraprez L. - Etude sur modele d'une porte metallique d'ecluse. 1976.
18. Hampel H., Jambor F., Kohler F. - Porte d'ecluse: calcul et etude comparative des différents types - XXII Congrès International de Navigation, Paris 1969.

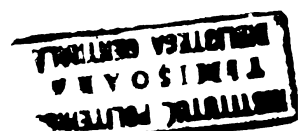
19. Leclercq R. - Rapport du XIII Congrès International de Navigation, Paris, 1969.
20. Lejeune A. - Etude des efforts de manoeuvre des portes busquées d'ecluses. Mémoires CERES. Nouvelle série nr.44 decembre 1963.
21. Massonnet Ch. - Plaques et coques cylindriques orthotropes à nervures dissymétriques. Association Internationale des Ponts et Charpentes, Memoires, 19 vol. Zürich 1959.
22. Oblemenco Gh. - Contribuții privind calculul static și de stabilitate a structurilor complex static nedeterminate cu aplicații directe la calculul plăcilor ortotrope, Teza de doctorat, I.C.P.T.T. București, 1975.
- Bopucebur C. II. - Дыямбопрамме бопома шлмзоб
Москва - 1961
24. Roehle W. - Utilization of Locks for the Discharge of Peak Floods some Characteristic Lock Gate Design, Mechanical Equipment and Filling Systems of Locks on the Danube. XIII Congrès International de Navigation, Paris 1969.
25. Roșu D. - Construcții metalice hidrotehnice partea II - Stavile 1966.
26. Timoshenko St.P.,
Woinowsky - Krieger - Teoria plăcilor plane și curbe.
Ed. 2-a (traducere din l. engleză)
București Ed. tehnică 1968.
27. Trenks K. - Beitrag zur Berechnung orthogonaler anisotroper Rechteckplatten. Der Bauingenieur 39. 1964.

28. Troitsky H.S. - "Orthotropic Bridges. Theory and Design" The James P. Lincoln Arc Welding Foundation, Cleveland, Ohio, 1968.
29. P.Volker, F.de Vos, P.Blokland - Navigation Lock Gates: Calculation au Comparative Studies of Various Types, includy Valves - XXII Congr s International de Navigation, Paris 1969.
30. G.Willems, N.M. Dehousse, V.Dubois, J.Seyvert. - Ecluses, vannes de sassement, portes.
31. D I N - 19704 - Principii de calcul pentru construc ii hidrotehnice din o el .
32. C C P E H - Timi oara - Condi ii tehnice de proiectare pentru echipamente hidromecanice norme interne - Timi oara 1975.
33. C C P E H - Timi oara - Ereviar de calcul pentru poarta buscat  SHEA - Por ile de Fier I.
34. C C P E H - Timi oara - Ereviar de calcul pentru poarta buscat  SHEA - Por ile de Fier II (Gruia).

C A P I T O L U L

II

INCARCARILE CARE ACTIONEAZA
ASUPRA
PORTILOR DE ECLUZA BUSCATE



1. PREZENTAREA INCARCARILOR SI A IPOTEZELOR DE INCARCARE

Pentru calculul structurii de rezistență a porților de ecluză se iau în considerare toate încărcările care pot interveni în exploatarea construcției propriu zise.

După proveniența lor încărcările pot fi:

- a) greutatea proprie a porții
- b) presiunea apei: statică, dinamică, datorită valurilor , etc
- c) presiunea gheții: statică, dinamică
- d) presiunea vântului
- e) încărcarea dată de împingerea vaselor
- f) variația de temperatură
- g) sarcini seismice : forțe masice și presiunea seismică a apei
- h) forțe datorită manevrării
- i) sarcini suplimentare datorită defecțiunilor: blocare prin înghețare, defecte la reazeme și la rolele de ghidaj , tasări neuniforme, deformații ale construcției de bază (infrastructură).

După modul de acționare asupra porții, încărcările pot fi:

- a) statice
- b) dinamice

Evaluarea acestor încărcări se poate face în general direct. În cazul în care încărcările dinamice nu pot fi evaluate , acțiunea dinamică a acestor încărcări se stabilește prin majorarea încărcărilor statice cu un coeficient dinamic. În funcție de tipul porții de ecluză și de natura încărcării coeficientul dinamic are valori cuprinse între $\psi = 1,1 - 1,5$.

După condițiile de acționare ,durată, frecvență, încărcările se împart în :

- a) încărcări fundamentale, care acționează permanent,

se repetă des în mod regulat, în condiții obișnuite de exploatare. Acestea sînt de fapt încărcările pentru care se execută poarta. Incărcările care se iau în considerare sînt:

- greutatea proprie ;
- presiunea hidrostatică și hidrodinamică, în cazul nivelului normal de reținere (ape normale, avînd nivelul cu circa 50 cm mai jos decît creasta dispozitivului), forțe de frecare la reazeme;
- variația de temperatură;
- presiunea vîntului ;
- gheața lipită de construcție.

b) Incărcări accidentale, care acționează temporar, cu frecvență mică :

- presiunea hidrostatică și hidrodinamică a apelor excepționale;
- presiunea gheții (greutate, presiune, șoc);
- lovirea de către un vas;
- valuri în caz de furtună;
- blocarea dispozitivului prin înghețare;
- defecte la reazeme și roțile de ghidare;
- depuneri de corpuri străine;
- distribuția neregulată a forțelor de frecare;
- variațiile deosebite de temperatură;
- tasări neuniforme sau deformări ale infrastructurii.

c) Incărcări excepționale care acționează foarte rar și au un caracter catastrofal:

- sarcini seismice;
- încărcări din transport, montaj, reparații.

Ipoteze de încărcare.

Pentru verificarea porților de ecluză, în situația cea mai defavorabilă este necesar a se determina solicitările maxime. Pentru aceasta se calculează încărcările, ținînd seama de următoarele ipoteze de încărcare :

- ipoteza I (încărcările fundamentale)
- ipoteza II (încărcări fundamentale și accidentale).
- ipoteza III (încărcări fundamentale, accidentale și extraordinare).

Pe baza solicitărilor obținute, din aceste ipoteze de încărcare se face verificarea elementelor de rezistență, evident pentru fiecare ipoteză admitându-se alți coeficienți de siguranță, adică alte rezistențe admisibile.

In continuare se vor detalia încărcările enumerate anterior:

1.1. Greutatea proprie se evaluează ținând seama de:

- greutatea construcției metalice
 - greutatea echipamentului
 - greutatea instalației de protecție - piesele din lemn
- cu $\gamma = 10 \text{ KN/mc}$.
- greutatea stratului de vopsea cu $\gamma = 3 \text{ daN/mp}$.

1.2.1. Presiunea hidrostatică a apei se calculează considerând greutatea volumetrică $\gamma = 10 \text{ KN/mc}$ - apă de râu fără suspensii

$$\gamma = 10 - 11 \text{ KN/mc} - \text{apa de râu cu suspensii}$$

$$\gamma = 10,4 \text{ KN/mc} - \text{apa de mare.}$$

1.2.2. Presiunea hidrodinamică apare în cazul manevrării porții de ecluză.

De obicei această presiune se apreciază în funcție de situațiile concrete ale ecluzei pentru care se proiectează poarta. Lucrarea /13/ recomandă stabilirea acestei presiuni pe model, iar /8/ studiază amănunțit și analitic și experimental această presiune. Rezultatele vor fi prezentate la paragraful 2.2.

1.3. Acțiunea valurilor este o presiune suplimentară

care se suprapune peste cea hidrostatică. Ea depinde de lungimea valului, de înălțimea sa și de adâncimea apei în fața porții. Determinarea presiunii dată de valuri cât și punctul de aplicație al acesteia se pot calcula conform indicațiilor date de lucrarea /7/ pag. 137.

Unele tratate de specialitate /13/ iau în considerare presiunea valurilor considerând o supraînălțare a presiunii apei cu 0,5 m.

1.4. Presiunea gheții se consideră că acționează în două moduri:

- statică
- dinamică.

Presiunea statică a gheții se consideră în calcule /13/ în felul următor:

- la ape cu formare puternică a gheții (grosimea stratului de gheață ≥ 30 cm) pe 3 m adâncime triunghiul de presiune se înlocuiește cu o presiune uniformă de 30 KN/mp (fig.II.1).

- la ape cu formare moderată a gheții (grosimea stratului de gheață < 30 cm) pe 2 m adâncime triunghiul de presiune se înlocuiește cu o presiune uniformă de 20 KN/mp.

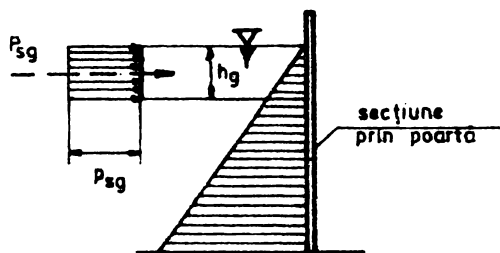


Fig. II.1

Pentru structura portantă principală se ia o încărcare liniară suplimentară de:

- a) 10 KN/m la apele cu formarea puternică a gheții;
- b) 0,7 KN/m la apele cu formare moderată a gheții.

Presiunea dinamică a gheții este exercitată de gheață în mișcare.

Se consideră că această presiune este preluată numai de construcția metalică a echipamentului /13/.

Conform normelor pentru standard -I.S.P.H-București, iulie 1977 /12/ :

Presiunea gheții se consideră în felul următor:

A. Presiunea dinamică a gheții (la lovirea sloiurilor care plutesc liber).

B. Presiunea statică a podului de gheață la dilatarea lui termică.

C. Presiunea statică din îngrămădirea cîmpului de gheață în plutire.

D. Acțiunea cîmpului de gheață prins de construcție.

Punctul de aplicație a încărcării din gheață se adoptă la 0,3 h gheață (m) sub nivelul de calcul al apei.

Aceste mărimi se dau prin relații și grafice funcție de grosimea geții, rezistența limită a gheții la strivire, rezistența limită a gheții la compresiune, temperatura inițială, medie pe întreaga grosime a gheții, temperatura aerului, lungimea podului de gheață, viteza curentului de apă.

1.5. Presiunea vîntului se consideră orizontală /13/ și egală cu:

$p_v = 100 \text{ daN/mp}$ pentru situația de repaus

$p_v = 50 \text{ daN/mp}$ pentru situația de mișcare a porțiilor.

Normele /12/ iau în considerare acțiunea vîntului asupra construcțiilor hidrotehnice în modul următor:

- în mod direct ca forță exterioară distribuită (presiuni și secțiuni);

- în mod indirect ca presiune hidrostatică și hidrodinamică suplimentară datorită valurilor provocate de vînt în lacuri, bazine.

Efectele acțiunii vîntului, respectiv forțele și elementele de calcul ale valurilor se determină pe baza datelor rezultate din studiile și cercetările de teren, sau pe baza studiilor și cercetărilor din laborator.

Presiunea dinamică de bază a vîntului

$$s_v = \frac{\rho v_{\text{cal.}}^2}{2} \quad (\text{II.1})$$

ρ = densitatea aerului (t/mc)

$v_{\text{cal.}}$ = viteza de calcul rezultată din studii și cercetări de teren.

$$q = 1,225 \times 10.3 \text{ t/mc}$$

Forțele datorită acțiunii directe a vântului aplicate normal pe suprafețele expuse ale construcției considerate uniform distribuite

$$P_n = (\beta \cdot C_n \cdot q_v) \quad (\text{II.2})$$

q_v = pres.dinamică la înălțimea respectivă

β = coeficient dinamic

C_n = coef. componenteii normale a acțiunii vântului.

Coeficienții din rel. (II.1) și (II.2) sînt dați în tabele și grafice.

1.6. Incărcarea rezultată din împingerea navelor.

1.6.1. Considerații asupra acestei încărcări în Institutetele de proiectare.

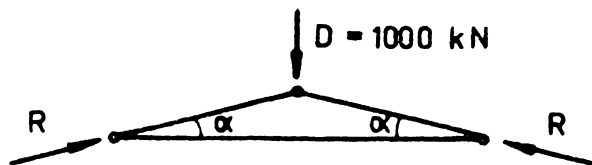
Conform normelor /13/ încărcarea se consideră în calcule în modul următor:

1000 KN pentru ecluze de primă importanță ;

500 KN pentru ecluze de importanță secundară.

Forța se consideră că acționează în două variante:

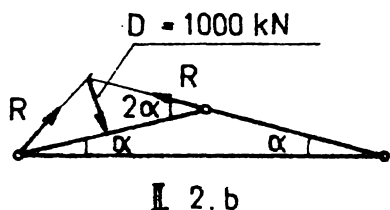
a) forța aplicată pe linia de închidere a celor 2 canate (fig. II.2a)



$$R = \frac{D}{2 \sin \alpha} = 1460 \text{ kN} \quad (\text{II.3})$$

I. 2. a.

b) forța aplicată la mijlocul canatului (fig. II. 2. b)



$$R = \frac{D}{2 \sin (2\alpha)} = 780 \text{ kN} \quad (\text{II. 4})$$

Fig. II. 2

Pentru porțile de ecluză de la Complexul hidroenergetic SHEN Porțile de Fier I și II (Gruia) această forță s-a considerat de 1000KN (fig.II.2) acționînd dinspre amonte, la nivelul axei grinzii principale superioare.

Din experiență rezultă că această forță nu produce tensiuni care să depășească valoarea admisă ; avînd în vedere că la partea superioară diagrama presiunii hidrotehnice este aproape nulă, iar secțiunile transversale ^{ale} tuturor grinzilor principale sînt aproximativ egale. De asemenea se consideră că la preluarea acestei încărcări lucrează împreună toate cele trei grinzi principale superioare ale porții.

Impactul datorită vaselor se poate determina //13/ luînd în considerare energia cinetică $E_c = 0,002 G \text{ KN. m}$ unde G (KN) este greutatea celei mai mari nave care trece în mod repetat prin ecluză, încărcată la capacitatea maximă.

Energia cinctică nu trebuie să ducă la depășirea limitei de curgere în structura de rezistență a porții:

$$E_c \leq L_i(\text{curgere}) \quad (\text{II.5})$$

Din condiția (II.5) se poate impune o anumită viteză limită pentru orice vas care trece prin ecluză:

$$\frac{1}{2} mv^2 < F \Delta l_{\text{curgere}} \quad (\text{II.5}') .$$

de unde:

$$v = \sqrt{\frac{2F \Delta l_c}{m}} \quad (\text{II.6})$$

După normele //12/ această viteză se dă sub forma (II.7):

$$V_a = \sqrt{\frac{2 \cdot g \cdot E_i}{\gamma \cdot D_v}} \quad (\text{II.7})$$

unde:

E_i = energia de îngrămădire a navelor pentru cazul forței minime admise asupra construcției de acostare. (Se dă prin diferite diagrame sau grafice).

γ = coeficient dat în tabele (valoarea lui aproximativă fiind 0,45)

D_v = capacitatea de calcul a vasului (t)

De obicei v se impune funcție de D_v după cum urmează

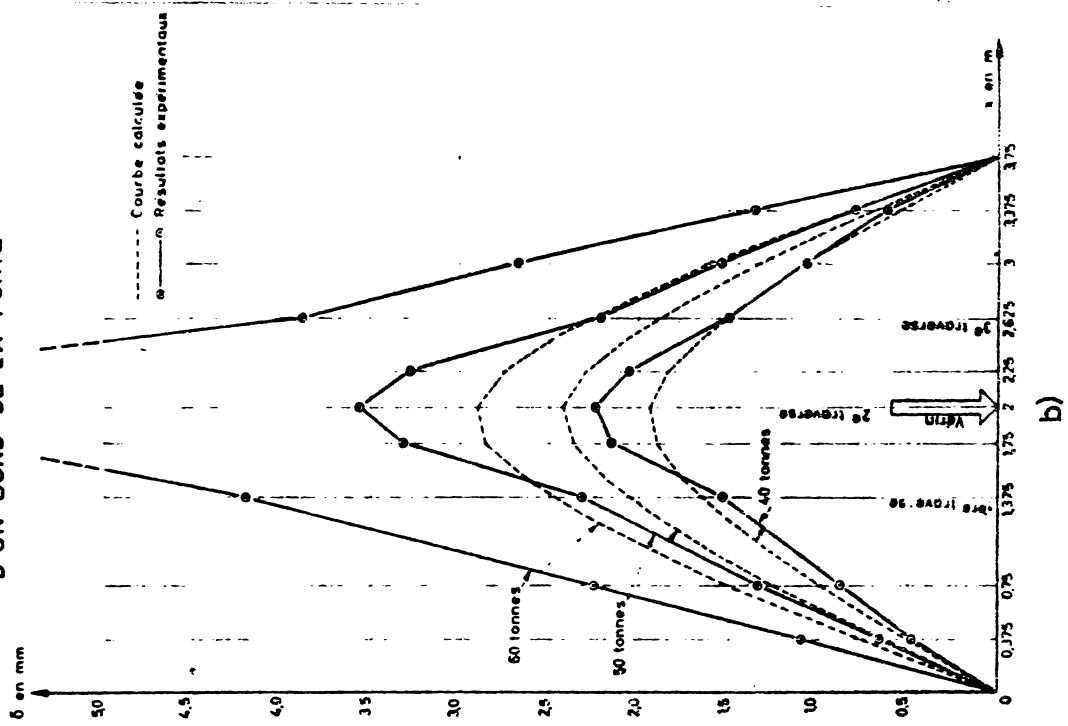
D_v (mii tone)	2	5	10
v (m/s)	0,2	0,15	0,1

1.6.2. Studii teoretice și experimentale efectuate asupra încărcării din împingerea navelor,

În Belgia, la Universitatea din Liege, pe poarta de ecluză asupra căruia s-au efectuat studii teoretice și experimentale ale tensiunilor și deformațiilor rezultate din presiunea hidrostatică a apei (Cap.I.3.2.4) C.Genin a studiat și efectul dat de împingerea navelor //5/, //6/.

Încercările experimentale au fost executate pentru diferite poziții și viteze de acționare ale acestora. În paralel s-au calculat și analitic tensiunile și deformațiile din aceste încărcări.

DEFORMEES DE L' AIGUILLE SITUEE A $y = 1,90\text{ m}$
D'UN BORD DE LA PORTE



DEFORMEES DE L' AIGUILLE SITUEE A $y = 1,90\text{ m}$
D'UN BORD DE LA PORTE

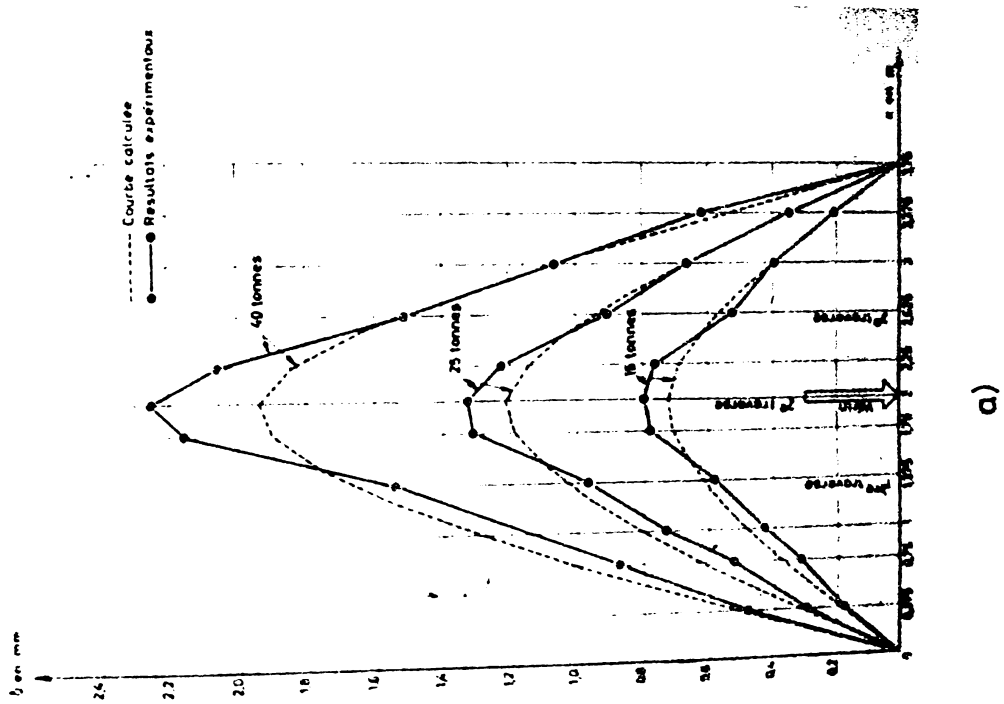


Fig. II-3

Din studiul comparativ efectuat rezultă următoarele:

Pentru cazul acțiunii statice:

- în privința deformațiilor:

În domeniul elastic (pentru valoarea forței < 400 KN) deformațiile calculate corespund foarte bine cu cele măsurate (eroarea maximă fiind aproximativ 5%), cu excepția deformațiilor locale importante care se produc în timpul încărcării și care bineînțeles nu se pot calcula (fig.II.3.a).

Pentru forțe mai mari de 400 KN apar deformații plastice importante (fig.II.3.b).

- în privința tensiunilor:

Tensiunile, atât cele calculate cât și cele măsurate sînt foarte mici (fig.II.4). Din acest motiv precizia relativă a tensiunilor măsurate nu este satisfăcătoare și între tensiunile măsurate și cele calculate există abateri destul de mari. Ordinul de mărime, însă al acestora este același. Pentru forța la limita domeniului elastic, tensiunea maximă măsurată a fost de 1400 daN/cmp, deci mai mică decît σ_a .

σ_y BORD AU POINT: $x=2,875m$
 $y=1,900m$
EN FONCTION DE LA CHARGE

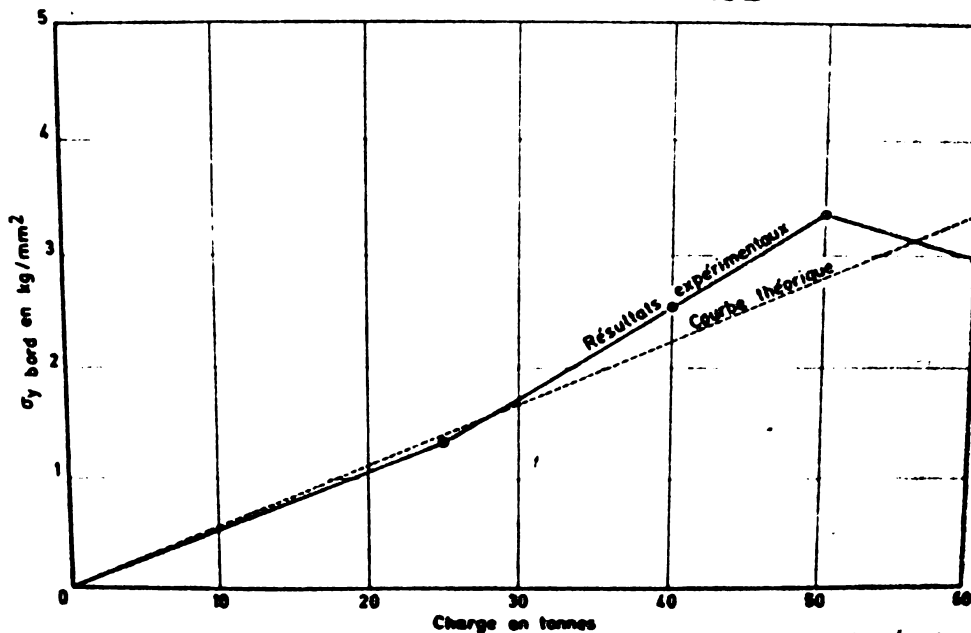


Fig. II.4

Pentru cazul acțiunii dinamice (impactul dat de vase),

s-au considerat două situații:

- Când vasul lovește poarta dinspre amonte la nivelul primei grinzi principale, între două antretoaze: primele deformații plastice au apărut la impactul de 175 kN, ceea ce corespunde unui vas cu masa $m = 1350$ t care se deplasează cu o viteză de 0,415 km/oră. Acest șoc provoacă deteriorări numai la grinda principală fără să se afecteze etanșeitățile porții. În grindă apar deformații plastice importante.

- Când vasul lovește poarta la nivelul unei grinzi principale dar în dreptul antretoazei: primele deformații plastice apar la 400 kN, ceea ce corespunde unui vas cu masa $m = 1350$ t și viteza $v = 0,945$ km/oră. Aceste deformații nu se produc decât sub punctul de aplicație al forței.

Ruperea tolei s-a produs pentru o forță de 600 kN, corespunzător unui vas cu masa $m = 1350$ t și viteza $v = 1,536$ km/oră.

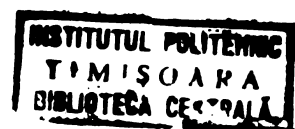
Fig.II.5 redă deformațiile tolei, a grinzilor principale și antretoazelor în două din fazele încercării.

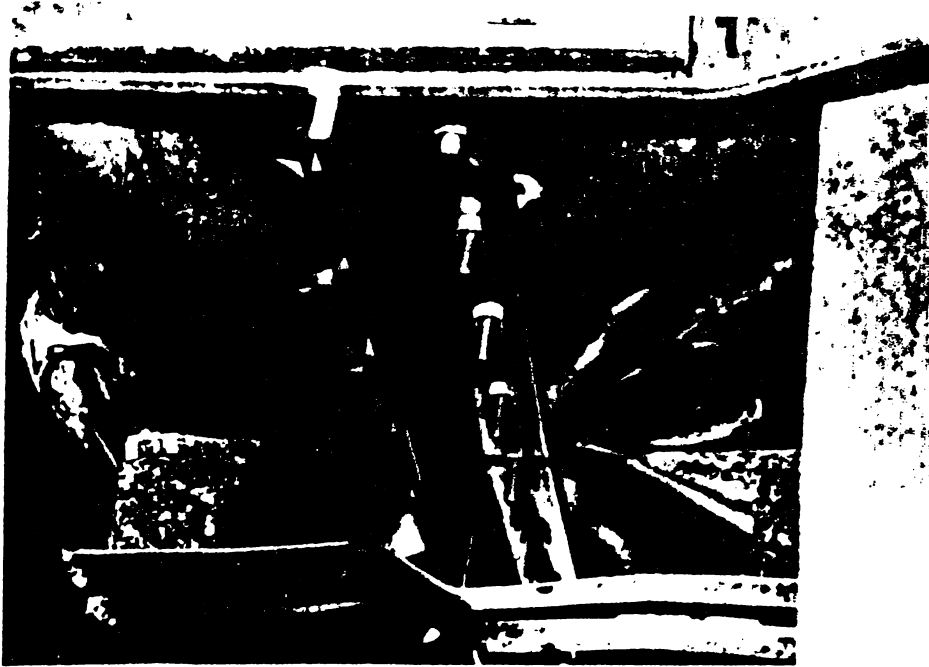
Din studiul teoretic și experimental efectuat pentru acest tip de încărcare C. Genin ajunge la următoarele constatări:

- Teoria arată că efectele cauzate de presiunea hidrostatică și de forța concentrată sînt liniar dependente. De aceea dimensionarea porții de ecluză să se facă la încărcarea din presiunea hidrostatică și după dimensionare să se facă o verificare și la efectul loviturii cauzate de vas.

- La dimensionare să se adopte un coeficient de siguranță care să țină cont de efectul local al impactului produs de vas. (nu se precizează însă valoarea acestui coeficient de siguranță).

- Toate elementele componente ale porții contribuie la preluarea încărcării.





a)



b)

Fig. 11.5

1.7. Incărcarea din variația de temperatură.

Normele /13/ consideră influența temperaturii separat pentru variațiile de temperatură față de o temperatură de montaj acceptată la $+10^{\circ}\text{C}$ și separat pentru acțiunea ei inegală asupra construcției.

- Ca variații de temperatură față de temperatura de montaj de $+10^{\circ}\text{C}$ se apreciază:

a) $\pm 35^{\circ}\text{C}$ pentru construcții care stau permanent deasupra apei sau care temporar sînt scoase din apă în întregime sau în cea mai mare parte.

b) $\pm 20^{\circ}\text{C}$ pentru construcții care în permanență sau temporar au numai o mică parte ieșită din apă, sau sînt apărate împotriva variațiilor mari de temperatură.

▼ Variația de temperatură în masa construcției se ia $\pm 15^{\circ}\text{C}$ numai pentru cazul "a".

Dacă condițiile climaterice locale impun alte valori decît cele de mai sus, ele vor fi luate în considerare în calcule.

1.8. Incărcarea din frecare la reazeme.

Apare în cazul manevrării porților de ecluză și se calculează cu relația:

$$F = f \cdot P \quad (\text{II.8})$$

f= coeficient de frecare în funcție de materialul care se găsește în contact

P= presiunea totală

1.9. Incărcări seismice.

Apar în cazul oscilațiilor elastice ale scoarței pămîntești, produse de cutremure. Se manifestă subdouă forme:

a) Forțe seismice^{care} apar în construcții sub influența

oscilațiilor seismice ale terenului. Calculul se face presupunând că acestea acționează static, dar pot avea orice direcție în spațiu. Sarcina seismică se consideră aplicată în centrul de greutate al construcției și se determină cu relația:

$$P_s = G \cdot K_s \quad (\text{II.9})$$

G = greutatea construcției

K_s = coef. funcție de intensitatea seismică

b) Presiunea seismică a apei se calculează cu relația:

$$P_{sa} = K_s \cdot \gamma \cdot y \quad (\text{II.10})$$

unde:

P_{sa} = pres. suplimentară a apei în KN/mp. la adâncimea y .

K_s = coef. seismic de calcul

γ = greutatea volumetrică a apei [KN/mc]

y = adâncimea apei în punctul considerat.

Normele /12/ consideră valorile de calcul ale încărcărilor seismice după cum urmează:

A. Forțe care acționează masa construcției.

a) Incărcări seismice orizontale care se calculează cu relația :

$$S_h = a_h \frac{Q}{g} \left[1 + (\beta - 1) \frac{h}{H} \right] \quad (\text{II.11})$$

unde:

S_h = încărcarea seismică orizontală la înălțimea h de la cota de fundare

Q = sarcina gravitațională (G)

H = înălțime totală a construcției

β = coef. dinamic al acțiunii seismice funcție de perioadele și amplitudinile de oscilație
 β variază între 1 și 2 . Se dau grafice pentru β funcție de perioada de vibrație, tipul construcției

a_h = accelerația de calcul orizontală care se dă funcție de gradul de intensitate seismică în (m/s²) variază între (0,03 g 0,2 g)
 grad VI grad IX

b) Incărcări seismice verticale; se calculează cu relația :

$$S_v = a_v \frac{Q}{g} \beta_v \quad (\text{II.12})$$

unde:

a_v = accelerația seismică verticală pentru care se adoptă valori egale cu 50% din valorile normate pentru direcție orizontală

β_v = coeficient dinamic pentru acțiunile verticale ale cutremurului

$$\beta_v = 1,0 \dots 5,0$$

B. Presiunea apei în timpul cutremurului.

Acțiunea cutremurului se exercită sub 2 forme:

a) Variația nivelului de retenție. Nivelul de calcul se stabilește de regulă adăugînd la nivelele din alineatul precedent, jumătate din vadul rezultat din cutremur: $0,5 \Delta h$

unde:

$$\Delta h = 0,5 a_h \cdot T \sqrt{\frac{h}{g}} \quad (\text{II.13})$$

h = adîncimea apei lîngă construcție

T = perioada de vibrație a terenului (0,5 s)

b) Presiunea suplimentară a apei pe paramenții verticali se calculează cu formulele:

$$p_y = k_c a_c \gamma \sqrt{H \cdot y} \quad (\text{II.14})$$

unde:

p_y = presiunea unitară la adîncimea y sub nivelul apei

k_c = coeficient = $\frac{0,816}{1-7,75 \left(\frac{H}{1000T}\right)^2}$ se dă în diagrame

γ = gr. specifică a apei [kN/mc].

a_c = accelerația seismică orizontală în punctul considerat ($a_c = \beta_y \cdot a_h$)

H = adîncimea maximă a apei

T = perioada vibrațiilor seismice în fundație
 $T \approx 1$ sec.

$$P_y = \frac{2}{3} y \cdot p_y \quad (\text{II.15})$$

unde:

P_y = presiunea totală pe parament pe înălțimea y sub nivelul apei, aplicată la adâncimea $3/5 y$ sub nivelul apei.

2. STUDIUL ÎNCĂRCĂRILOR ÎN CAZUL CELOR DOUA SITUAȚII DE EXPLOATARE A PORTILOR DE ECLUZĂ BUSCATE.

În cazul porților buscate de ecluză stabilirea ipotezelor de încărcare se face pentru următoarele două situații de exploatare ale porților:

2.1. Studiul încărcărilor în cazul când canatele porții sînt închise și se găsesc sub presiunea apei.

În acest caz încărcarea fundamentală asupra porții este diferența de presiune a apei care acționează din cele două biefuri (amonte - aval) la care se pot adăuga toate încărcările amintite anterior (fig.II.6).

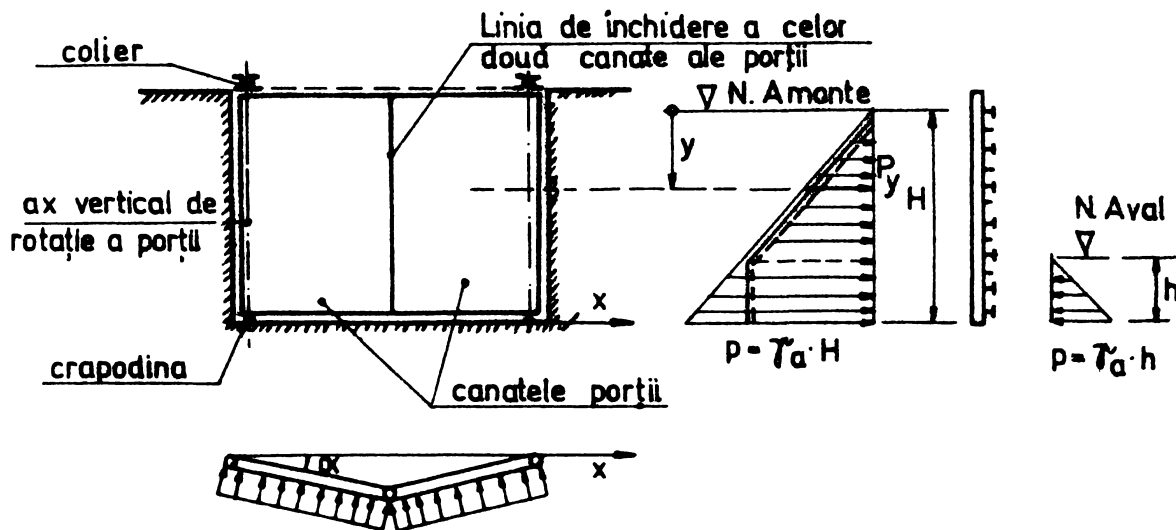


FIG. II. 6

Dimensionarea porților de ecluză se face în această situație de exploatare, deci din încărcarea fundamentală care este presiunea hidrostatică a apei. După dimensionare se face verificarea și pentru celelalte încărcări.

În prezenta lucrare toate metodele aplicate pentru studiul stării de deformare și de tensiune în structura de rezistență a porților de ecluză s-au ^{considerat} în ipoteza fundamentală I și numai din presiunea hidrostatică a apei.

Presiunea apei asupra canatului se poate schematiza sub forma unei rezultante Q (fig.II.7) . Cunoscând direcția și locul rezultantei presiunii apei Q și avînd în vedere că reacțiunile H_A a articulației de mijloc (A) a arcului cu trei articulații au direcție orizontală, se poate determina direcția și mărimea reacțiunii canatului (H_O) în punctul de rotație (O), pe baza condiției de echilibru a canatului./1/.

Se poate observa din fig. (II.7) că atunci cînd secțiunea în plan a celor două canate lucrează ca grinzi între articulațiile Q și A ale canatului cu trei articulații presiunea

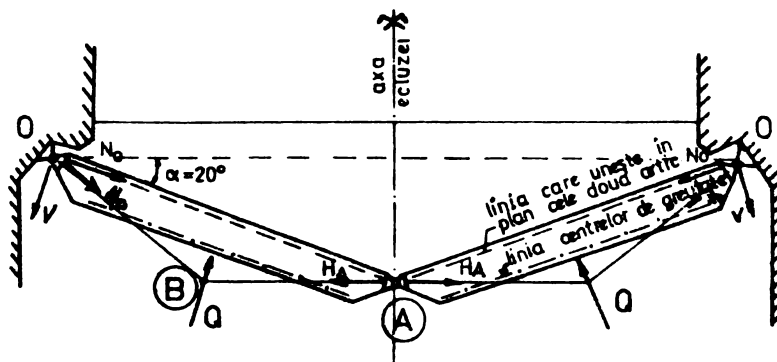


Fig. II.7

hidrostatică a apei Q dă un moment încovoietor M_1 care produce întinderi în fibrele dinspre bieful aval al ecluzei. Forma în plan a canatului porții cu deplasarea centrelor de greutate spre tola de etanșare au creat condițiile ca forțele (N_O) care comprimă poarta să producă în aceasta un moment de încovoiere (M_{N_O}) de sens invers momentului încovoietor (M_1). Crearea momentului de sens invers în construcția porții buscate reprezintă un mare avantaj, deoarece ,sub acțiunea lui, poarta se descarcă în mod considerabil de acțiunea momentului direct(M_1).

La acțiunea momentului de sens invers dat de N_0 se mai adăugă și momentul dat de componenta presiunii laterale a apei (N_g).

Schema statică de calcul și diagramele de eforturi rezultate într-o secțiune în plan a canatului porții buscate din acțiunea presiunii hidrostatice a apei este redată în fig. II.8.

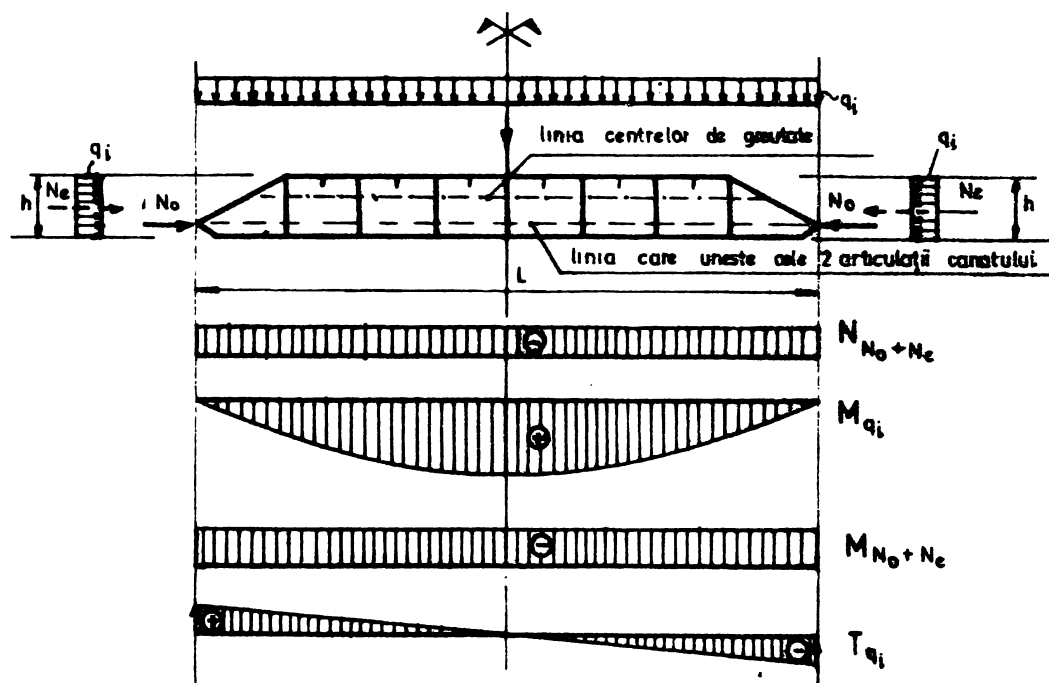


Fig. II.8

2.2. Studiul încărcărilor în cazul manevrării (de deschidere și de închidere) a canatelor porții.

În acest caz asupra porții acționează greutatea proprie, presiunea apei și a vântului.

- Presiunea apei asupra canatului aflat în rotație este cauzată de valuri și de diferența între nivelul biefului aval și a celui amonte datorită deplasării canatelor în apă. Normele sovietice apreciază că această presiune se poate echivala aproximativ cu o supraînălțare a diagramei din presiune hidrostatică cu $0,5$ m.

- Presiunea vîntului se consideră conform normelor DIN 19704 egală cu 50 daN/cmp în cazul dispozitivelor aflate în mișcare.

Dacă se notează cu Q rezultanta forțelor date de presiunea apei și a vîntului la rotirea canatului, valoarea reacțiilor de reazem ce apar în crapodină (C) colir (P) și tirant (T), fig.II.9, se pot determina din următoarele ecuații de echilibru:

$$\begin{aligned} C_x + P_x + T_x &= 0 \\ C_y - P_y + T_y - Q &= 0 \\ Q \cdot h + T_y \cdot H + P_y \cdot H &= 0 \\ P_x \cdot H - T_x \cdot H &= 0 \\ T \cdot l - Q \cdot L &= 0 \end{aligned} \quad (II.16)$$

Din rezolvarea sistemului rezultă necunoscutele din reazem corespunzătoare forței Q .

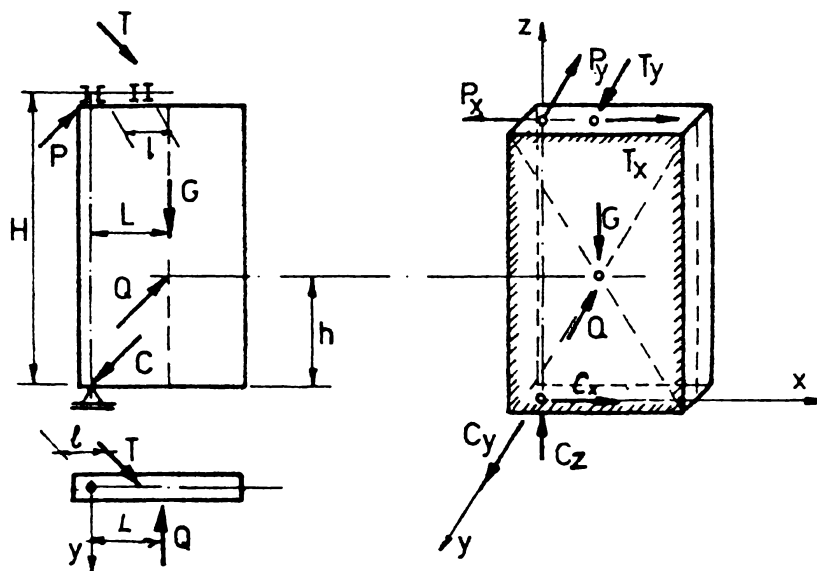


Fig. II 9

Lucrul canatului în timpul rotației reprezintă lucrul unei cutii rigide, care are reazeme articulate în C, P, T și este acționat de greutatea canatului G, rezultanta Q, și reacțiunile de reazem C, P, T. (fig.II.9).

Din acțiunea acestor forțe se calculează corespunzător

crapodina (C), colierul (P), dispozitivul de tracțiune (T), mecanismul care deservește canatul și legăturile diagonale ale canatului porții.

O lucrare foarte interesantă în privința calculului eforturilor care apar în timpul manevrării unei porți buscate de ecluză este lucrarea /8/.

Ea face un studiu amănunțit al acestor eforturi atât din punct de vedere teoretic cât și experimental luând în considerare toți factorii hidraulici care intervin.

Forțele rezistente care acționează o poartă buscată de ecluză se pot împărți /8/ în trei categorii:

- forțele rezistente mecanice ;
- forțele rezistente hidrodinamice;
- forțele rezistente datorită vântului, gheții, valurilor, suspensiilor, nămolului.

2.2.1. Studiul forțelor rezistente mecanice.

Pentru forțele rezistente mecanice sînt indicate relațiile:

a) pentru cuplul forțelor rezistente din crapodină

$$M_c = 0,5 f_c \cdot d_c \cdot C \quad (II.17)$$

b) pentru cuplul forțelor rezistente din pivot (colier):

$$M_p = f_p \cdot R_p \cdot \frac{d_p}{6} \quad (II.18)$$

unde:

f_c, f_p = coeficienți de frecare

d_c, d_p = diametrul crapodinei, respectiv diametrul pivotului

C, R_p = reacțiunile din crapodină, respectiv din pivot.

2.2.2. Studiul forțelor rezistente hidrodinamice.

Forțele rezistente hidrodinamice se pot împărți în două grupe:

a) forțe care rezultă din diferența de nivel între cele două cote (amonte, aval) ale apei, care acționează pe poartă în timpul manevrării. (fig.II.10).

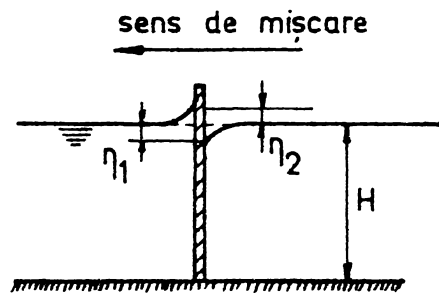


Fig. II. 10

Aceste forțe se calculează cu relația:

$$F_{\eta} = \gamma \cdot L \cdot H \cdot \eta \quad (\text{II.19})$$

iar cuplul acestor forțe:

$$M_{\eta} = \gamma \cdot H \cdot \eta \cdot \frac{L^2}{2} \quad (\text{II.20})$$

unde:

pentru $\eta_1 = \eta_2 = \eta$

H_{η} = înălțimea coloanei de apă

L = lungimea porții

γ = greutatea specifică a apei.

b) forțe care rezultă în timpul mișcării, componentă în care sînt incluse toate forțele de rezistență la rotație ale porții.

Aceste forțe se calculează cu relația:

$$F_e = \frac{H}{2g} \cdot \gamma \cdot R \cdot \omega^2 \cdot \frac{L^3}{3} \quad (\text{II.21})$$

iar cuplul forțelor :

$$M_e = \frac{H \cdot \gamma \cdot R \cdot \omega^2 \cdot L^4}{8g} \quad (\text{II.22})$$

unde:

R = coeficient de rezistență la rotație al porții

ω = viteza unghiulară a porții în timpul rotației

g = accelerația gravitațională.

Aceste forțe necesită un calcul hidraulic foarte complex. În acest scop se definesc doi parametri caracteristici D și R.

$$D = \frac{M_n}{\gamma \cdot L^4} \quad (\text{II.23})$$

$$R = \frac{\delta \cdot M_e \cdot \varepsilon}{\gamma \cdot H \cdot \omega \cdot L^4} \quad (\text{II.24})$$

Acești parametri depind de două mărimi folosite curent în hidraulică : numărul Reynolds (Re) și numărul Froude (Fr), precum și de caracteristicile porții(L,H) și de unghiul θ pe care îl face poarta în timpul manevrării cu peretele ecluzei.

Pornind de la ecuațiile fundamentale ale hidrodinamicii(II.25), (II.26), (II.27) în regim bidimensional de scurgere:

$$\frac{\partial U_1}{\partial x_1} + \frac{\partial U_2}{\partial x_2} = 0 \quad (\text{II.25})$$

$$\rho \frac{\partial U_1}{\partial t} + \rho \left(U_1 \frac{\partial U_1}{\partial x_1} + U_2 \frac{\partial U_1}{\partial x_2} \right) = - \frac{\partial P}{\partial x_1} + \mu \cdot \left(\frac{\partial^2 U_1}{\partial x_1^2} + \frac{\partial^2 U_1}{\partial x_2^2} \right) \quad (\text{II.26})$$

$$\rho \frac{\partial U_2}{\partial t} + \rho \left(U_1 \frac{\partial U_2}{\partial x_1} + U_2 \frac{\partial U_2}{\partial x_2} \right) = - \frac{\partial P}{\partial x_2} + \mu \cdot \left(\frac{\partial^2 U_2}{\partial x_1^2} + \frac{\partial^2 U_2}{\partial x_2^2} \right) \quad (\text{II.27})$$

care se transpun în coordonate polare (II.28), (II.29), (II.30) conform modelului matematic din fig.II.11.

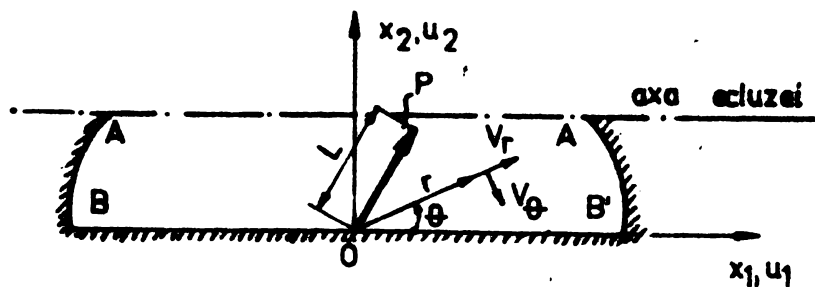


Fig. II.11

$$\frac{1}{r} \frac{\partial(r \cdot v_r)}{\partial r} + \frac{1}{r} \frac{\partial v_\theta}{\partial \theta} = 0 \quad (\text{II.28})$$

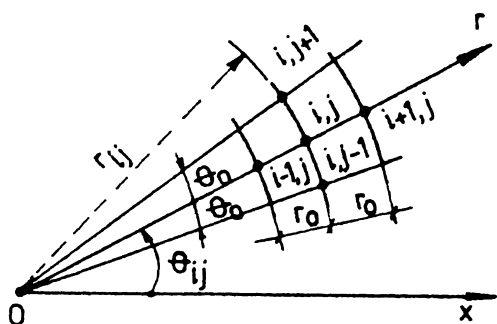
$$\rho \left(\frac{\partial v_r}{\partial t} + v_r \frac{\partial v_r}{\partial r} + \frac{v_\theta}{r} \frac{\partial v_r}{\partial \theta} - \frac{v_\theta^2}{r} \right) =$$

$$- \frac{\partial p}{\partial r} + \mu \left(\frac{1}{r} \frac{\partial}{\partial r} (r \frac{\partial v_r}{\partial r}) + \frac{1}{r^2} \frac{\partial^2 v_r}{\partial \theta^2} - \frac{v_r}{r^2} - \frac{2}{r^2} \frac{\partial v_\theta}{\partial \theta} \right) \quad (\text{II.29})$$

$$\rho \left(\frac{\partial v_\theta}{\partial t} + v_r \frac{\partial v_\theta}{\partial r} + \frac{v_\theta}{r} \frac{\partial v_\theta}{\partial \theta} + \frac{v_\theta v_r}{r} \right) =$$

$$- \frac{1}{r} \frac{\partial p}{\partial \theta} + \mu \left[\frac{1}{r} \frac{\partial}{\partial r} (r \frac{\partial v_\theta}{\partial r}) + \frac{1}{r^2} \frac{\partial^2 v_\theta}{\partial \theta^2} - \frac{v_\theta}{r^2} + \frac{2}{r^2} \frac{\partial v_r}{\partial \theta} \right] \quad (\text{II.30})$$

Calculul se poate conduce numeric cu metoda diferențelor finite considerînd sistemul de coordonate și rețeaua definită în fig.II.12, rețea care trebuie să îndeplinească condiții:



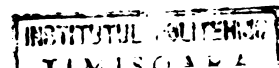
$$r_0 \leq \frac{L}{Re} \quad (\text{II.31})$$

$$\theta_0 \cdot r_{i,j} \leq \frac{L}{Re} \quad (\text{II.32})$$

Fig . II.12

Calculul numeric programat la calculator dă posibilitatea să se determine:

- funcția de curent în fiecare nod al rețelei, cu relația:



$$\psi_{i,j}^{n+1} = \frac{1}{2\left(\frac{1}{r_0} + \frac{1}{r_{i,j} \cdot \theta_0}\right)^2} \left[\xi_{i,j}^{n+1} + \frac{r_{i+\frac{1}{2}} \cdot \psi_{i+\frac{1}{2},j}^{n+1}}{r_{i,j} \cdot r_0^2} - \frac{r_{i-\frac{1}{2}} \cdot \psi_{i-\frac{1}{2},j}^{n+1}}{r_{i,j} \cdot r_0^2} - \frac{1}{(r_{i,j} \cdot \theta_0)^2} (\psi_{i,j+1}^{n+1} + \psi_{i,j-1}^{n+1}) \right] \quad (\text{II.33})$$

- vitezele în toate punctele interioare cu relațiile:

$$V_{r,i,j} = 0,5 \left(V_{r,i,j+\frac{1}{2}} + V_{r,i,j-\frac{1}{2}} \right) \quad (\text{II.34})$$

$$V_{\theta,i,j} = 0,5 \left(V_{\theta,i+\frac{1}{2},j} + V_{\theta,i-\frac{1}{2},j} \right) \quad (\text{II.35})$$

- presiunea hidrostatică în fiecare nod al rețelei cu relațiile:

$$\begin{aligned} p_{i+\frac{1}{2},j}^{n+1} = & p_{i+\frac{1}{2},j}^{n+1} + p \cdot r_0 \left(\frac{V_{r,i,j}^{n+1} - V_{r,i,j}^n}{dt} + V_{r,i,j}^{n+1} \frac{V_{r,i+\frac{1}{2},j}^{n+1} - V_{r,i-\frac{1}{2},j}^{n+1}}{r_0} + \right. \\ & \left. + V_{\theta,i,j} \frac{V_{r,i,j+\frac{1}{2}}^{n+1} - V_{r,i,j-\frac{1}{2}}^{n+1}}{r_{i,j} \theta_0} - \frac{(V_{\theta,i,j})^2}{r_{i,j}} \right) + \frac{\mu}{r} \left(\frac{\xi_{i,j+1} - \xi_{i,j-1}}{2\theta_0} \right) \end{aligned} \quad (\text{II.36})$$

$$\begin{aligned} p_{i,j+\frac{1}{2}}^{n+1} = & p_{i,j+\frac{1}{2}}^{n+1} - p \cdot r_{i,j} \cdot \theta_0 \left(\frac{V_{\theta,i,j}^{n+1} - V_{\theta,i,j}^n}{dt} + V_{r,i,j}^{n+1} \frac{V_{\theta,i+\frac{1}{2},j}^{n+1} - V_{\theta,i-\frac{1}{2},j}^{n+1}}{r_0} + \right. \\ & \left. + V_{\theta,i,j} \frac{V_{\theta,i,j+\frac{1}{2}}^{n+1} - V_{\theta,i,j-\frac{1}{2}}^{n+1}}{r_{i,j} \cdot \theta_0} + \frac{(V_{\theta} \cdot V_r)_{i,j}^{n+1}}{r_{i,j}} \right) + \frac{\mu}{2r_0} (\xi_{i+1,j} - \xi_{i-1,j}) \end{aligned} \quad (\text{II.37})$$

- momentele rezistente la rotație M_e :

$$M_e = M_1 - M_2 \quad (\text{II.38})$$

unde:

$$M_1 = \int_0^L r_{i,j}(r) p_{i,j}(r) S_{i,j}(r) \cdot dr + C \quad (\text{II.39})$$

$$M_2 = \int_0^L r_{i,j}(r) p_{i,j}(r) S_{i,j}(r) dr + C \quad (\text{II.40})$$

- coeficientul de rezistență la rotație R cu relația (II.24) .

Rezultatele obținute din calcul au fost comparate cu rezultatele obținute pe modelul unei porți buscate de ecluză (ecluza de la Duffel, pe canalul Néthe - Belgia).

S-a constatat o foarte bună concordanță între calculele teoretice și între rezultatele experimentale.

Aceste rezultate sînt ilustrate în fig.II.13 ...II.16 unde sînt redade comparativ liniile de curent rezultate pentru trei poziții distincte ale porții în timpul manevrării, atît din încercarea experimentală, cît și din calculul la calculator.

În urma acestui studiu hidraulic s-au stabilit următoarele relații de calcul pentru parametrii caracteristici R și D :-pentru o manevrare de deschidere a porții:

$$D = \frac{1}{F_r^{-3/2} R_e^{1/2} (L/H)^{3/4}} (2,404 - 0,09538 \theta + 0,14479 \cdot 10^{-2} \theta^2 + 0,4572 \cdot 10^{-3} \theta^3 - 59,69 \cdot 10^{-8} \theta^4) \quad (II.41)$$

$$R = 19,84 + 0,559 \theta + 1,984 \cdot 10^{-2} \theta^2 - 20,71 \cdot 10^{-4} \theta^3 + 0,389 \cdot 10^{-4} \theta^4 - 0,02107 \cdot 10^{-5} \theta^5 \quad (II.42)$$

-pentru o manevrare de închidere a porții:

$$D = \frac{1}{F_r^{-3/2} R_e^{1/2} (L/H)^{3/4}} (4,3003 - 1,5078 \cdot 10^{-1} \theta + 0,07697 \cdot 10^{-2} \theta^2 + 0,011093 \cdot 10^{-3} \theta^3 + 7,1795 \cdot 10^{-8} \cdot \theta^4) \quad (II.43)$$

$$R = 28,01 + 0,084 \theta - 0,03187 \theta^2 + 8,443 \cdot 10^{-4} \theta^3 - 0,5796 \cdot \theta \quad (II.44)$$

În aceste relații R_e și F_r sînt numerele lui Reynolds, respectiv al lui Froude ; L și H sînt caracteristicile porții iar θ este unghiul pe care îl face poarta, în timpul manevrării, cu peretele ecluzei.

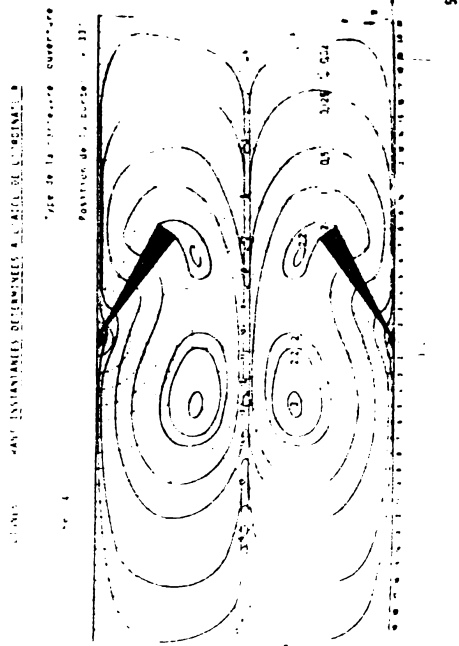
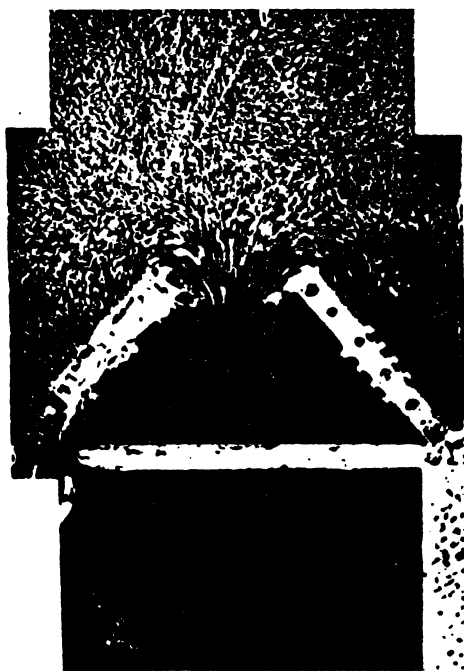
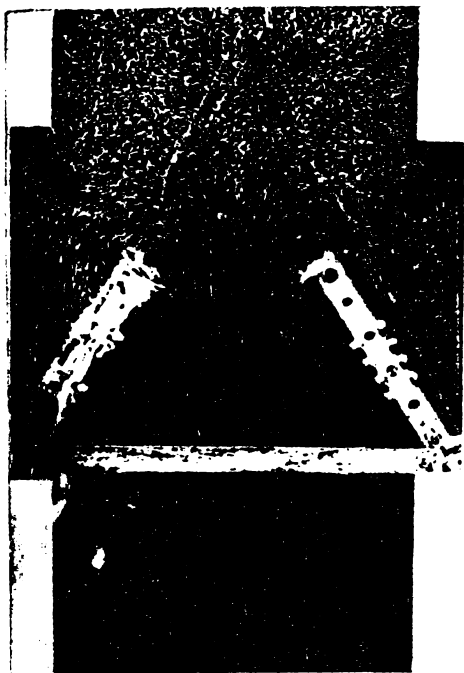


Fig. II. 14

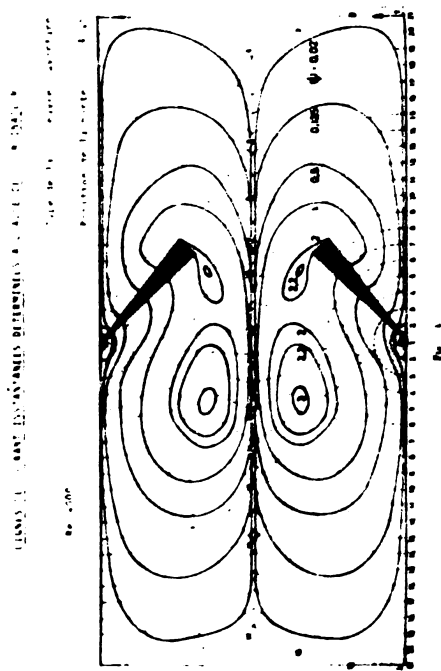


Fig. II. 13

43

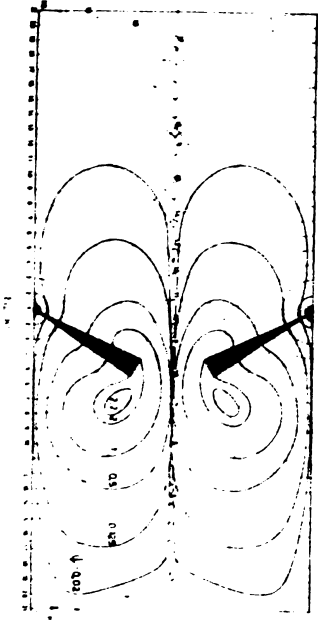


FIGURE 10. STREAMLINE DISTRIBUTION AROUND WING
 (a) WING
 (b) WING



44

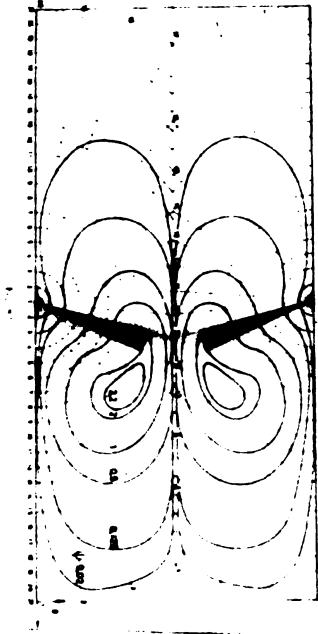


FIGURE 11. STREAMLINE DISTRIBUTION AROUND WING
 (a) WING
 (b) WING



2.2.3. Forțele datorită vântului, gheții, nămolului.

Pentru forțele rezistente din această categorie se propun de către diferiți autori /8/ valori rezultate dintr-o anumită experiență de proiectare, având în vedere că un calcul exact al acestor eforturi este complicat de realizat.

Astfel:

- acțiunea valurilor se consideră echivalentă unei denivelări a diagramei de presiune a apei cu 0,3 m;

- acțiunea vântului se consideră de 100 daN/mp pe partea defavorabilă a canatelor porții;

- acțiunea nămolului se consideră că acționează la partea inferioară a porții pe înălțimea de 0,1 m.

2.3. Aplicații ale studiului forțelor rezistente hidrodinamice rezultate în timpul manevrării, pentru cazul porții de ecluză SHEN - Porțile de Fier II - Gruia.

Pornind de la relațiile (II.41 ... II.44) s-a întocmit pentru poarta buscată SHEN - Porțile de Fier II - Gruia, un program de calcul automat. Programul calculează parametrii R și D, momentele M_e , M_η și M_T funcție de diferite poziții ale porții, în timpul manevrării de închidere și deschidere.

Momentul M_e se calculează în baza relației (II.22) iar momentele M_η și M_T în baza relațiilor (II.45) și (II.46) :

$$M_\eta = D \cdot L^4 \quad (II.45)$$

$$M_T = M_e + M_\eta \quad (II.46)$$

Fig.(II.17) redă organigrama de calcul.

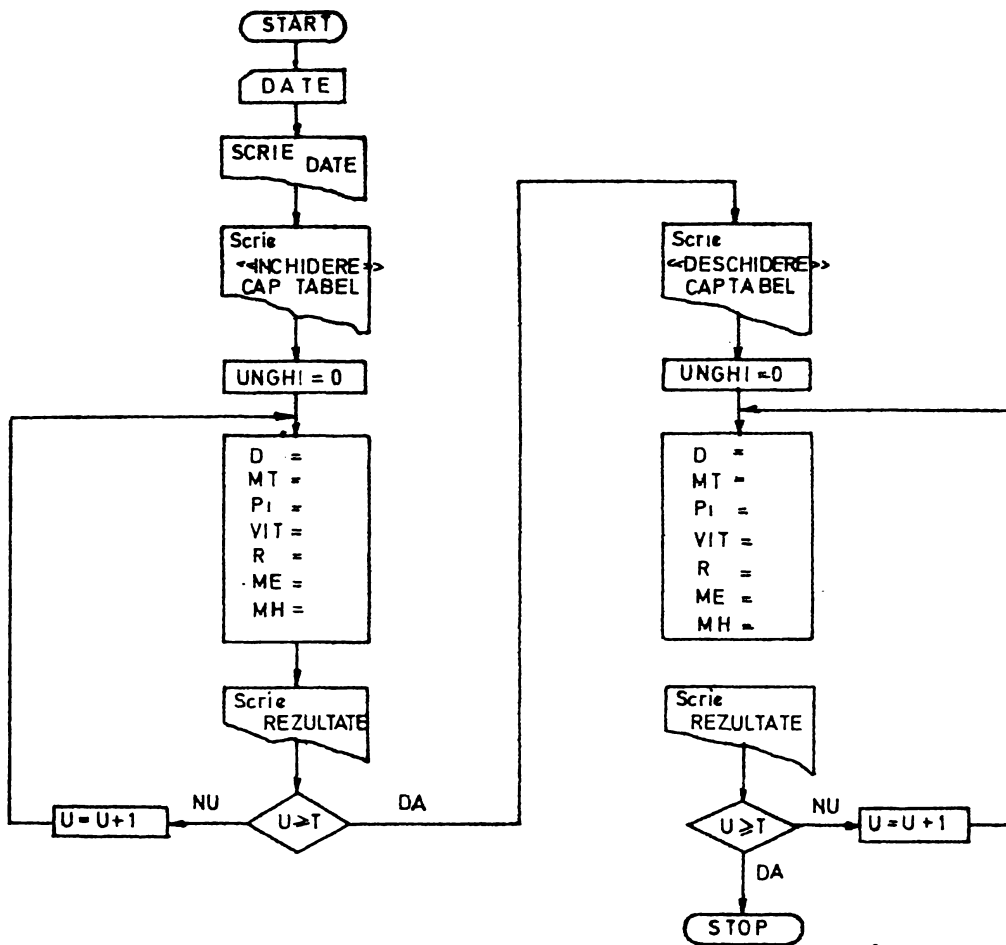


Fig. II. 17

In urma calculului efectuat s-au trasat diagramele din fig.(II.18 ... II.22).

Din graficale trasate rezultă următoarele:

- valoarea maximă a momentului M_{η} (fig.II.21) apare în momentul deschiderii și este $M_{\eta \max} = 104,80 \text{ KN.m}$

- valoarea maximă a momentului M_e (fig.II.20) apare tot la manevrarea la deschidere și este pentru $\theta = 0$, $M_{e \max} = 123,46 \text{ KN.m}$.

VARIAȚIA COEFICIENTULUI

-R-

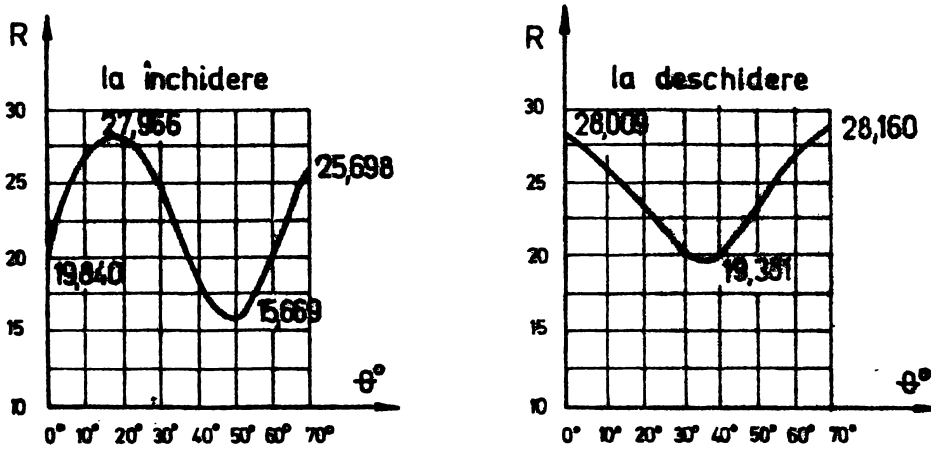


Fig. II. 18.

VARIAȚIA COEFICIENTULUI

-D-

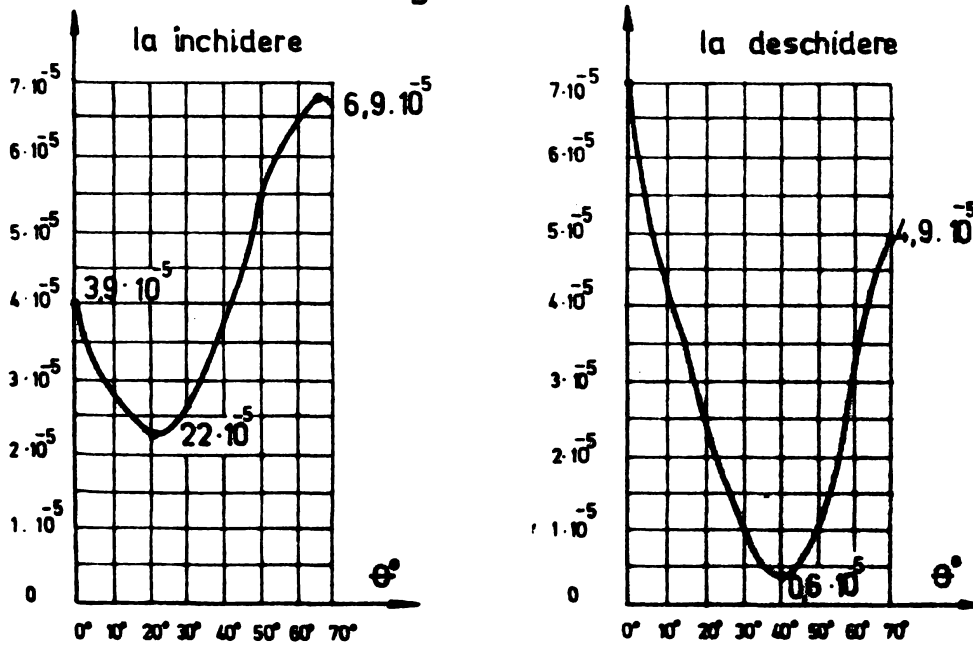


Fig. I. 19

VARIATIA MOMENTULUI M_n DAT DE
DIFERENTA DE NIVEL DINTRE COTA AMONTE SI AVAL A
APEI

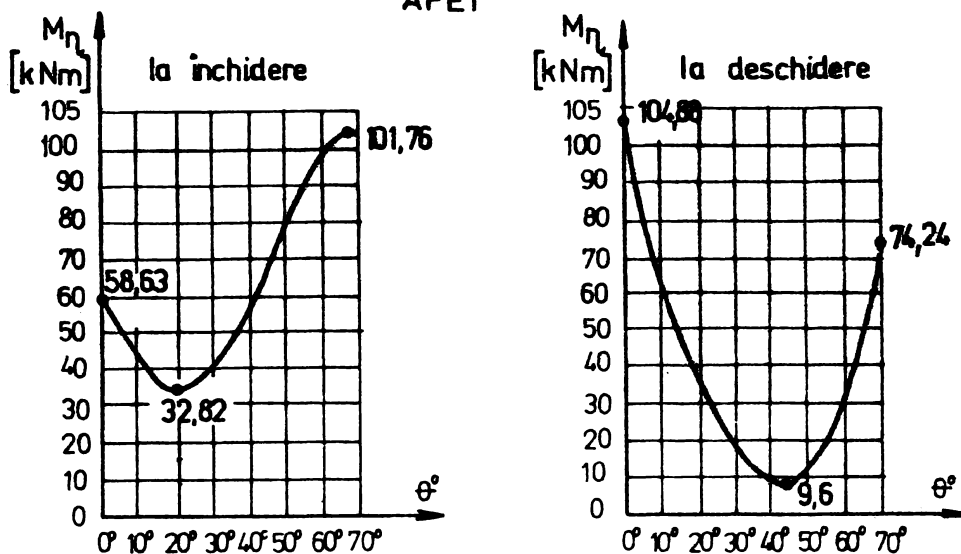


Fig. II. 21

VARIATIA MOMENTULUI M_e REZULTAT DIN
INERTIA APEI LA MANEVRAREA PORTII

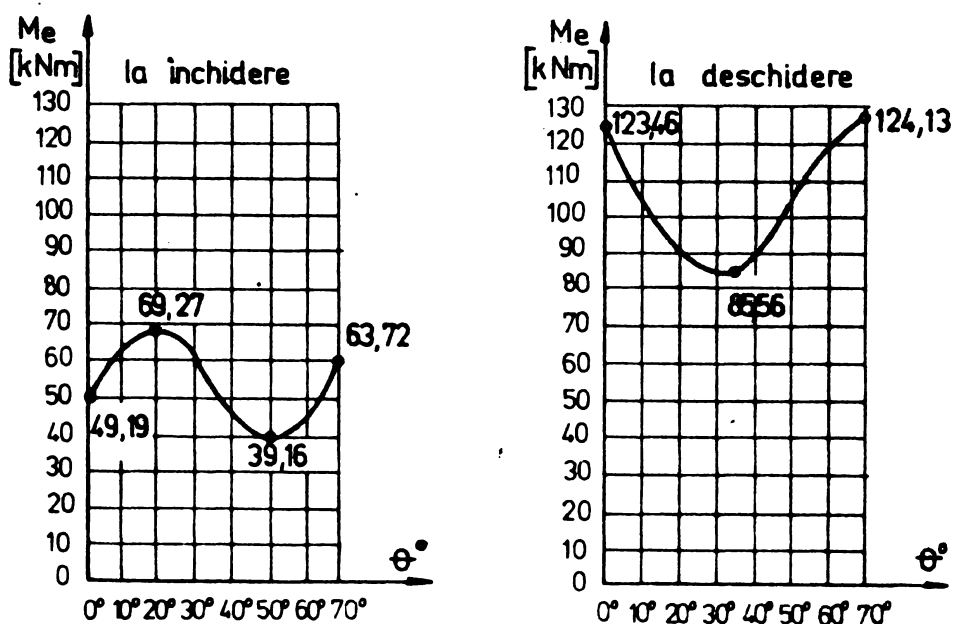


FIG. I. 20

- valoarea maximă a momentului total rezultat din acțiunea hidrodinamică a apei M_T (fig. II.22) apare în momentul deschiderii și este $M_{T \max} = 228,34 \text{ KN.m}$.

VARIATIA MOMENTULUI TOTAL M_T
DIN ACTIUNEA HIDRODINAMICA A APEI

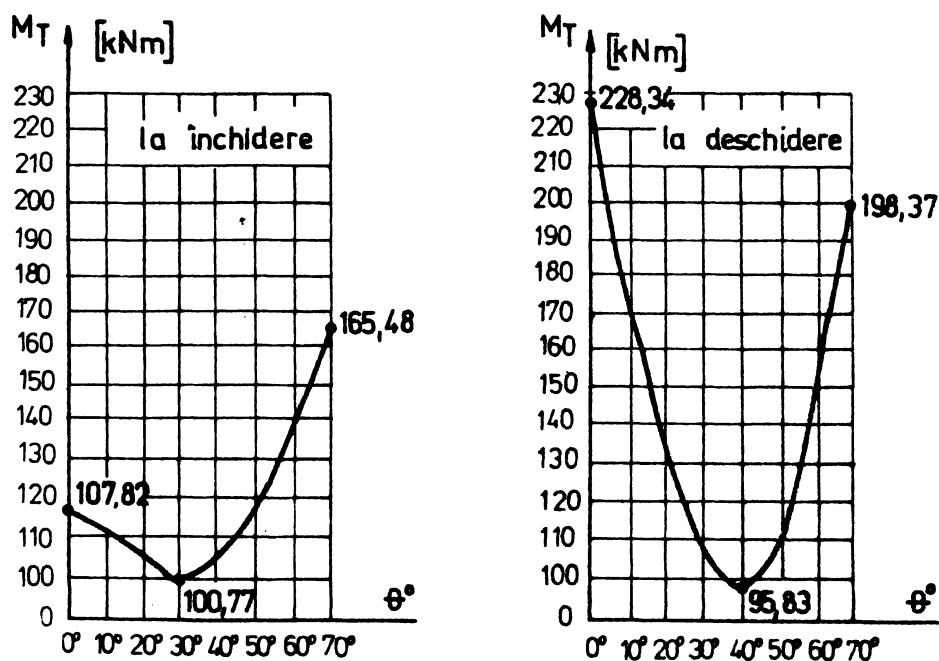


Fig. II.23

In institutul de proiectări al acestor construcții metalice hidrotehnice - C.C.P.E.H. - Timișoara calculul acestor eforturi rezultante se face după normele sovietice (expus la începutul paragrafului 2.2.).

B I B L I O G R A F I E

1. Borucebur C. П. - Dbycmbopрам Me бopомa шлщзob
Mockba - 1961
2. Ciomocoş F.D. - Incărcările care acţionează asupra
porţilor buscate de ecluză. Refcrat
la teza de doctorat prezentat în
colectivul de catedră -17 martie
1978.
3. Ciomocoş F.D. - Consideraţii asupra eforturilor re-
zultate la manevrarea unei porţi
buscate de ecluză. Buletinul I.P.T.
- iunie 1978 -
4. Ciomocoş F.D. - Studiul eforturilor rezultate din
actiunea hidrodinamică a apei la
manevrarea unei porţi buscate de
ecluză. Sesiunea Jubiliară I.P.C.
Cluj Napoca - octombrie 1978.
5. C.Genin - Les bordages orthotropes plans.
Calcul d'une porte plane d'ecluse
par la methode des lignes de charge.
Application au cas de l'impact
d'un bateau. 1975.
6. C.Genin, B.
Firaprez - Etude sur modeles d'une porte meta-
llique d'ecluse. M.T.111 janvier
1976.
7. M.Crigin - Constructii hidrotehnice E.T. -
Bucureşti 1959.
8. A.Lejeune - Etude des efforts de manœuvre des
portes busquées d'ecluses. Memoi-
res CDRS. Nouvelle serie nr.44
decembre 1973.
9. D.Mateescu - Constructii metalice speciale .
Editura tehnică. Bucureşti - 1962.

- 10.D. Roşu - Construcţii metalice hidrotehnice - partea II - Stavile. Institutul politehnic Timişoara, 1966
- 11.G. Wickert, G. Schmauber - Stahlwasserbau - Theorie Konstruktive Lösungen Spezielle Probleme. Springer - Verlag Berlin. Heidelberg New York 1971.
- 12.I.S.P.H. - Construcţii hidrotehnice supraterrane. Acţiuni. Prescripţii pentru evaluarea încărcărilor. Proiect de standard. Bucureşti, iulie 1977.
- 13.C.C.P.F.H. Timişoara - Condiţii tehnice de proiectare pentru echipamente hidromecanice. Norme interne, Timişoara 1975.
- 14.C.C.P.F.H. - Timişoara - Proiect de execuţie al porţii de ecluză buscată - Porţile de Fier I - .
- 15.C.C.P.F.H. Timişoara - Proiect de execuţie al porţii de ecluză buscată - Porţile de Fier II - Gruia.

CAPITOLUL

III

CALCULUL PORTILOR DE ECLUZA

CU

METODA ELEMENTELOR FINITE (DREPTUNGIULAR)

1. INTRODUCERE

Metodele moderne de analiză a structurilor au la bază procedeul discretizării, adică folosirea unui model prin care este idealizată structura reală. Modelul ales trebuie să îndeplinească următoarele două condiții:

- să aproximeze cât mai exact proprietățile geometrice și elastice ale structurii reale,

- să permită într-o cât mai mare măsură, eliminarea dificultăților matematice pe care le comportă metodele analitice.

În cazul metodei elementelor finite procedeul discretizării comportă împărțirea structurii continue într-un număr arbitrar dar finit de elemente, denumite elemente finite care pot avea diverse forme geometrice, iar proprietățile elastice pot fi diferite de la element la element. Forma geometrică și numărul elementelor finite depind atât de cadrul problemei, care poate fi spațială sau plană cât și de gradul de precizie urmărit.

Față de metoda diferențelor finite are capacitatea de a ține seama de neliniaritățile elastice, de neomogeneităților structurii ceea ce pentru o metodă de analiză a structurii continue constituie un avantaj cu totul remarcabil.

Dimensiunile elementelor finite fiind cu totul arbitrare, cercetătorul are posibilitatea de a concepe o rețea de elemente finite adaptabilă structurii cu cele mai complexe configurații geometrice. Acesta este un alt avantaj major al metodei elementelor finite, deoarece elimină unul din neajunsurile cronice ale metodei analitice clasice de analiză a structurilor: incapacitatea de a se adapta unor forme geometrice cât de cât complicate.

Pentru calculul unei structuri cu metoda elementelor finite se pot stabili următoarele etape:

- alegerea tipului și a formei geometrice a elementului finit cu care se va lucra;

- stabilirea câmpului de deplasări al elementului finit ales astfel ca să fie conformabil;

- calculul matricii de rigiditate $[k]$ pentru fiecare element în parte;

- calculul matricii forțelor nodale echivalente $[F]$ pentru fiecare element finit în parte;

- formarea matricii de rigiditate a structurii $[K]$ prin

asamblarea matricii de rigiditate a tuturor elementelor finite;

- formarea matricii deplasărilor nodale $[u]$ a întregii structuri prin asamblarea matricii deplasărilor nodale ale tuturor elementelor finite;

- inversarea matricii de rigiditate a structurii;

- calculul deplasărilor nodale ale structurii prin efectuarea produsului matricial;

- determinarea stării de eforturi în elementele finite.

2. DETERMINAREA MATRICII DE RIGIDITATE $[k]$ A ELEMENTELOR FINITE

Se știe că ecuația fundamentală a metodei elementelor finite modelul deplasării pure, pentru un singur element finit are forma:

$$[k] \cdot \{u\} = \{F\} \quad (\text{III.1})$$

unde $[k]$ = matricea de rigiditate a elementului finit, ale cărei caracteristici geometrice și elastice le conține;

$\{u\}$ = matricea deplasărilor la noduri ale elementului finit (matricea deplasărilor nodale)

$\{F\}$ = matricea încărcărilor care solă cită elementul finit (matricea forțelor nodale)

Pentru determinarea matricii de rigiditate $[k]$ a elementelor finite se propune o funcție de deplasări sau mai multe funcții de deplasări:

$$\{u(x,y)\} = \{\varphi(x,y)\} \{\alpha\}$$

unde:

$\{u(x,y)\}$ = matricea deplasărilor unui punct al elementului finit (matrice coloană)

$\{\varphi(x,y)\}$ = matricea variabilelor câmpului de deplasări (matrice dreptunghiulară de ordinul $3n$), n fiind numărul de noduri ale elementului finit.

Se scriu funcțiile de deplasări pentru fiecare dintre nodurile elementului finit și se obține următoarea ecuație matricială:

$$\{u\} = [A]^{-1} \{\alpha\} \quad (\text{III.2})$$

unde:

$\{u\}$ = matricea deplasărilor nodale ale elementului finit;

$[A]$ = matricea caracteristicilor geometrice ale elementului finit care conține coordonatele tuturor nodurilor.

$\{\alpha\}$ = matricea parametrilor $\{\alpha_i\}$ ai funcțiilor de deplasări.

Rezolvând ecuația matricială (III.2) se poate scrie:

$$\{\alpha\} = [A] \cdot \{u\} \quad (\text{III.3})$$

Din acestea se pot defini și deformațiile specifice $\epsilon_{xx}, \epsilon_{yy}, \epsilon_{xy}$

$$\{\epsilon\} = [N] \cdot \{\alpha\} \quad (\text{III.4})$$

unde $[N]$ este matricea derivatelor parțiale ale funcțiilor de deplasări ale elementului finit, are dimensiuni $3 \times n$ unde n este necesarul de deplasări generalizate ale elementului finit.

Dacă se înlocuiește (III.3) în (III.4) se obține:

$$\{\epsilon\} = [N] \cdot [A]^{-1} \cdot \{u\} \quad (\text{III.5})$$

Dacă se introduce notația:

$$[B] = [N] \cdot [A]^{-1} \quad (\text{III.6})$$

rezultă:

$$\{\epsilon\} = [B] \cdot \{u\} \quad (\text{III.7})$$

Această relație exprimă deformațiile elementului finit în funcție de deplasările nodurilor sale.

Cunoscând și relația dintre σ și ϵ :

$$[\sigma] = [D] \cdot \{\epsilon\} \quad (\text{III.8})$$

și aplicând relației (III.7) principiul lucrului mecanic virtual rezultă:

$$[k] = \int [B]^T \cdot [D] \cdot [B] \, dv \quad (\text{III.9})$$

Relația (III.9) este expresia generală a matricei de rigiditate a unui element finit, expresie utilizată pentru elementele finite studiate în lucrare.

Având în vedere forma structurii de rezistență a porților de ecluză în lucrare se utilizează elemente finite dreptunghiulare atât în stare plană de eforturi cât și în încovoiere.

Se prezintă în continuare matricea de rigiditate utilizată la aceste elemente finite.

2.1. Matricea de rigiditate a elementului finit dreptunghiular în stare plană de eforturi.

În stare plană de eforturi se presupune variații liniare pentru deplasările de-a lungul laturilor elementului finit. Pentru satisfacerea acestor condiții se consideră următoarele funcții de deplasări:

$$U_x = \alpha_1 + \alpha_2 x + \alpha_3 y + \alpha_4 xy \quad (\text{III.10})$$

$$U_y = \alpha_5 + \alpha_6 x + \alpha_7 y + \alpha_8 xy$$

Ordinea și direcțiile pozitive ale deplasărilor $(u_1 \dots u_8)$ se pot vedea în fig.(III.1).

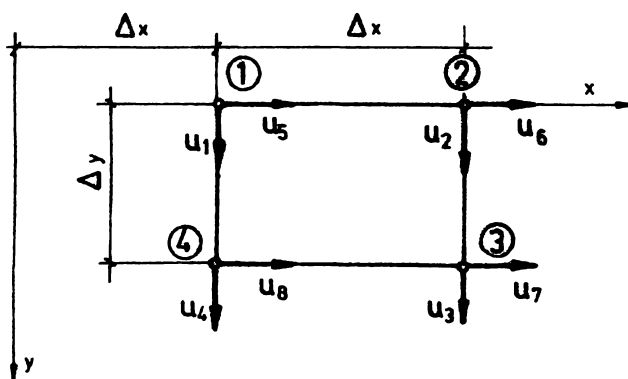


Fig. III.1

După cum se vede elementul finit este amplasat la distanța Δx de originea sistemului de axe. Această amplasare permite a se obține mai ușor inversa matricii A și folosirea relației (III.9) la determinarea matricii de rigiditate.

Ecuațiile (III.10) se pot scrie sub formă matricială:

$$\begin{Bmatrix} u_1 \\ u_2 \\ u_3 \\ u_4 \\ u_5 \\ u_6 \\ u_7 \\ u_8 \end{Bmatrix} = \begin{bmatrix} 1 & x_1 & y_1 & x_1 \cdot y_1 & 0 & 0 & 0 & 0 \\ 1 & x_2 & y_2 & x_2 \cdot y_2 & 0 & 0 & 0 & 0 \\ 1 & x_3 & y_3 & x_3 \cdot y_3 & 0 & 0 & 0 & 0 \\ 1 & x_4 & y_4 & x_4 \cdot y_4 & 0 & 0 & 0 & 0 \\ 0 & 0 & 0 & 0 & 1 & x_5 & y_5 & x_5 \cdot y_5 \\ 0 & 0 & 0 & 0 & 1 & x_6 & y_6 & x_6 \cdot y_6 \\ 0 & 0 & 0 & 0 & 1 & x_7 & y_7 & x_7 \cdot y_7 \\ 0 & 0 & 0 & 0 & 1 & x_8 & y_8 & x_8 \cdot y_8 \end{bmatrix} \cdot \begin{Bmatrix} \alpha_1 \\ \alpha_2 \\ \alpha_3 \\ \alpha_4 \\ \alpha_5 \\ \alpha_6 \\ \alpha_7 \\ \alpha_8 \end{Bmatrix} \quad (III.11)$$

1:

$$\{u\} = [A] \{\alpha\} \quad (III.11')$$

Pentru poziția elementului finit din fig.(III.1) matricea $[A]$ are forma:

$$[A] = \begin{bmatrix} 1 & \Delta x & 0 & 0 & 0 & 0 & 0 & 0 \\ 1 & 2\Delta x & 0 & 0 & 0 & 0 & 0 & 0 \\ 1 & 2\Delta x & \Delta y & 2\Delta x \Delta y & 0 & 0 & 0 & 0 \\ 1 & \Delta x & \Delta y & \Delta x \Delta y & 0 & 0 & 0 & 0 \\ 0 & 0 & 0 & 0 & 1 & \Delta x & 0 & 0 \\ 0 & 0 & 0 & 0 & 1 & 2\Delta x & 0 & 0 \\ 0 & 0 & 0 & 0 & 1 & 2\Delta x & \Delta y & 2\Delta x \Delta y \\ 0 & 0 & 0 & 0 & 1 & \Delta x & \Delta y & \Delta x \Delta y \end{bmatrix} \quad (III.12)$$

Cunoscînd relațiile dintre deformațiile specifice și funcțiile de deplasări rezultă:

$$\begin{aligned} \varepsilon_{xx} &= \frac{\partial U_x}{\partial x} = \alpha_2 + \alpha_4 y \\ \varepsilon_{yy} &= \frac{\partial U_y}{\partial y} = \alpha_7 + \alpha_8 y \\ \varepsilon_{xy} &= \frac{\partial U_x}{\partial y} + \frac{\partial U_y}{\partial x} = \alpha_3 + \alpha_4 x + \alpha_6 + \alpha_8 y \end{aligned} \quad (\text{III.13})$$

sau sub formă matricială:

$$\begin{Bmatrix} \varepsilon_{xx} \\ \varepsilon_{yy} \\ \varepsilon_{xy} \end{Bmatrix} = \begin{bmatrix} 0 & 1 & 0 & y & 0 & 0 & 0 & 0 \\ 0 & 0 & 0 & 0 & 0 & 0 & 1 & x \\ 0 & 0 & 1 & x & 0 & 1 & 0 & y \end{bmatrix} \cdot \begin{Bmatrix} \alpha_1 \\ \alpha_2 \\ \alpha_3 \\ \alpha_4 \\ \alpha_5 \\ \alpha_6 \\ \alpha_7 \\ \alpha_8 \end{Bmatrix} \quad (\text{III.14})$$

$$\text{sau } \{\varepsilon\} = [N] \cdot \{\alpha\} \quad (\text{III.14})$$

Cunoscînd matricea $[N]$ se poate calcula matricea $[N]^T$ apoi produsul $[N]^T \cdot [D] \cdot [N]$ obținîndu-se matricea $[N]^*$:

$$[N]^* = [N]^T \cdot [D] \cdot [N] \quad (\text{III.15})$$

sau dezvoltat :

$$[N]^* = \frac{E}{1-\mu^2} \cdot \begin{bmatrix} 0 & 0 & 0 & 0 & 0 & 0 & 0 & 0 \\ 0 & 1 & 0 & y & 0 & 0 & \mu & \mu \cdot x \\ \frac{1-\mu}{2} & \frac{1-\mu}{2} \cdot x & 0 & \frac{1-\mu}{2} & 0 & \frac{1-\mu}{2} & 0 & \frac{1-\mu}{2} \cdot y \\ \frac{1-\mu}{2} & \frac{1-\mu}{2} \cdot x & y^2 + \frac{1-\mu}{2} \cdot x^2 & 0 & \frac{1-\mu}{2} \cdot x & \mu \cdot y & \frac{n \cdot y \cdot \mu + n \cdot y \cdot \frac{1-\mu}{2}}{2} & \frac{1-\mu}{2} \cdot y \\ 0 & 0 & 0 & 0 & 0 & 0 & 0 & 0 \\ \frac{1-\mu}{2} & 0 & 0 & \frac{1-\mu}{2} & 0 & 0 & 0 & \frac{1-\mu}{2} \cdot y \\ 0 & 0 & 0 & 0 & 0 & 0 & 0 & x \\ 0 & 0 & 0 & 0 & 0 & 0 & 0 & x^2 + y^2 \cdot \frac{1-\mu}{2} \end{bmatrix}$$

s i m e t r i c

$$(\text{III.15})$$

unde $[D]$ este matricea de elasticitate în starea plană de eforturi și are forma:

$$[D] = \frac{E}{1-\mu^2} \begin{bmatrix} 1 & \mu & 0 \\ \mu & 1 & 0 \\ 0 & 0 & \frac{1-\mu^2}{2} \end{bmatrix} \quad (\text{III.16})$$

În continuare pentru determinarea matricei de rigiditate a elementului finit se calculează:

$$\int_V [N]^T \cdot [D] \cdot [N] \, dv = \int_V [N]^* \, dv = \frac{E \cdot t}{1-\mu^2} \int_A [N]^* \, dA \quad (\text{III.17})$$

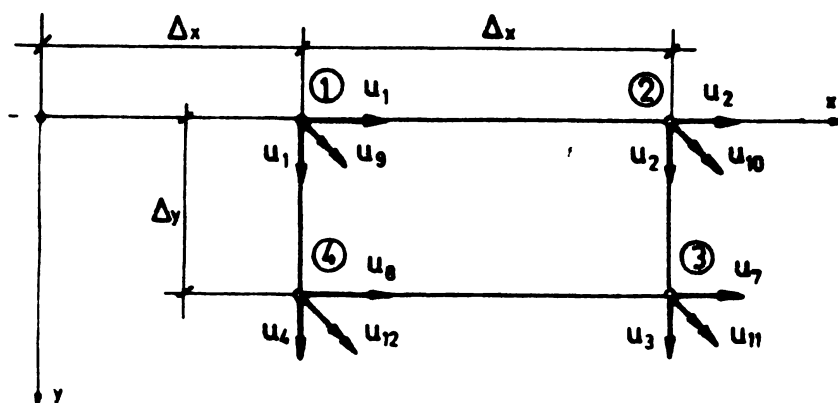
Această înscamnă să se efectueze integrala matricei $[N]^*$ pe domeniul elementului finit din fig.(III.1)

După efectuarea acestor integrale se poate determina matricea de rigiditate a elementului finit cu relația:

$$[K] = [A]^T \cdot \int_V [N]^T \cdot [D] \cdot [N] \, dv \cdot [A] \quad (\text{III.18})$$

2.2. Matricea de rigiditate îmbunătățită a elementului finit dreptunghiular în starea plană de eforturi.

Pentru discretizarea cu elemente finite a elementelor plane de elasticitate care intervin în lucrare, la discretizările cu elemente finite a inimilor antretorurilor și grinzilor principale ale porții de ecluză, se utilizează elementul finit dreptunghiular îmbunătățit (la care se mai adaugă în noduri și rotațiile în raport cu axa normală la planul elementului finit) (fig.III.2)



(fig.III.2)

Fig. III. 2 .

Se vor considera următoarele funcții de deplasări:

$$U_x = -\alpha_1 - \alpha_2 x - \alpha_3 y - \alpha_4 xy + \alpha_5 y - \alpha_{11} \frac{y^2}{2} \quad (\text{III.19})$$

$$U_y = \alpha_5 + \alpha_6 x + \alpha_7 y + \alpha_8 xy + \alpha_9 x - \alpha_{10} \frac{x^2}{2}$$

$$\theta = \alpha_9 - \alpha_{10} x - \alpha_{11} y - \alpha_{12} xy$$

Matricea de rigiditate $[k]$ a elementului finit se determină urmînd acelaș mod ca și în cazul precedent:

$$\begin{bmatrix} U_1 \\ U_2 \\ U_3 \\ U_4 \\ U_5 \\ U_6 \\ U_7 \\ U_8 \\ U_9 \\ U_{10} \\ U_{11} \\ U_{12} \end{bmatrix} = \begin{bmatrix} -1 & -x_1 & -y_1 & -x_1 y_1 & 0 & 0 & 0 & 0 & x_1 & 0 & -\frac{y_1^2}{2} & 0 \\ -1 & -x_2 & -y_2 & -x_2 y_2 & 0 & 0 & 0 & 0 & y_2 & 0 & -\frac{y_2^2}{2} & 0 \\ -1 & -x_3 & -y_3 & -x_3 y_3 & 0 & 0 & 0 & 0 & y_3 & 0 & -\frac{y_3^2}{2} & 0 \\ -1 & -x_4 & -y_4 & -x_4 y_4 & 0 & 0 & 0 & 0 & y_4 & 0 & -\frac{y_4^2}{2} & 0 \\ 0 & 0 & 0 & 0 & 1 & x_5 & y_5 & x_5 y_5 & x_5 & -\frac{x_5^2}{2} & 0 & 0 \\ 0 & 0 & 0 & 0 & 1 & x_6 & y_6 & x_6 y_6 & x_6 & -\frac{x_6^2}{2} & 0 & 0 \\ 0 & 0 & 0 & 0 & 1 & x_7 & y_7 & x_7 y_7 & x_7 & -\frac{x_7^2}{2} & 0 & 0 \\ 0 & 0 & 0 & 0 & 1 & x_8 & y_8 & x_8 y_8 & x_8 & -\frac{x_8^2}{2} & 0 & 0 \\ 0 & 0 & 0 & 0 & 0 & 0 & 0 & 0 & 0 & 1 & -x_9 & -y_9 & -x_9 y_9 \\ 0 & 0 & 0 & 0 & 0 & 0 & 0 & 0 & 0 & 1 & -x_{10} & -y_{10} & -x_{10} y_{10} \\ 0 & 0 & 0 & 0 & 0 & 0 & 0 & 0 & 0 & 1 & -x_{11} & -y_{11} & -x_{11} y_{11} \\ 0 & 0 & 0 & 0 & 0 & 0 & 0 & 0 & 0 & 1 & -x_{12} & -y_{12} & -x_{12} y_{12} \end{bmatrix} \begin{bmatrix} \alpha_1 \\ \alpha_2 \\ \alpha_3 \\ \alpha_4 \\ \alpha_5 \\ \alpha_6 \\ \alpha_7 \\ \alpha_8 \\ \alpha_9 \\ \alpha_{10} \\ \alpha_{11} \\ \alpha_{12} \end{bmatrix}$$

(III.20)

sau sub formă restrînsă:

$$\{u\} = [A] \cdot \{\alpha\} \quad (\text{III.20'})$$

Pentru poziția elementului finit din fig.III.2.matricea[A] are forma:

$$\begin{bmatrix}
 -1 & -\Delta x & 0 & 0 & 0 & 0 & 0 & 0 & 0 & 0 & 0 & 0 \\
 -1 & -2\Delta x & 0 & 0 & 0 & 0 & 0 & 0 & 0 & 0 & 0 & 0 \\
 -1 & -2\Delta x & -\Delta y & -2\Delta x \Delta y & 0 & 0 & 0 & 0 & \Delta y & 0 & -\Delta y^2/2 & 0 \\
 -1 & -\Delta x & -\Delta y & -\Delta x \Delta y & 0 & 0 & 0 & 0 & \Delta y & 0 & -\Delta y^2/2 & 0 \\
 0 & 0 & 0 & 0 & 1 & \Delta x & 0 & 0 & \Delta x & -\Delta x^2/2 & 0 & 0 \\
 0 & 0 & 0 & 0 & 1 & 2\Delta x & 0 & 0 & 2\Delta x & -2\Delta x^2 & 0 & 0 \\
 0 & 0 & 0 & 0 & 1 & 2\Delta x & \Delta y & 2\Delta x \Delta y & -2\Delta x & -2\Delta x^2 & 0 & 0 \\
 0 & 0 & 0 & 0 & 1 & \Delta x & \Delta y & \Delta x \Delta y & \Delta x & -\Delta x^2/2 & 0 & 0 \\
 0 & 0 & 0 & 0 & 0 & 0 & 0 & 0 & 1 & -\Delta x & 0 & 0 \\
 0 & 0 & 0 & 0 & 0 & 0 & 0 & 0 & 1 & -2\Delta x & 0 & 0 \\
 0 & 0 & 0 & 0 & 0 & 0 & 0 & 0 & 1 & -2\Delta x & -\Delta y & -2\Delta x \Delta y \\
 0 & 0 & 0 & 0 & 0 & 0 & 0 & 0 & 1 & -\Delta x & -\Delta y & -\Delta x \Delta y
 \end{bmatrix}$$

(III.21)

$$\epsilon_{xx} = \frac{\partial u_x}{\partial x} = \alpha_2 - \alpha_4 y$$

$$\epsilon_{yy} = \frac{\partial u_y}{\partial y} = \alpha_7 + \alpha_9 y \tag{III.22}$$

$$\epsilon_{xy} = \frac{\partial u_x}{\partial y} - \frac{\partial u_y}{\partial x} = -\alpha_3 - \alpha_4 x + \alpha_6 + \alpha_8 x + 2\alpha_9 - \alpha_{10} x - \alpha_{11} y$$

$$\begin{Bmatrix} \epsilon_{xx} \\ \epsilon_{yy} \\ \epsilon_{xy} \end{Bmatrix} = \begin{bmatrix} 0 & -1 & 0 & -y & 0 & 0 & 0 & 0 & 0 & 0 & 0 & 0 \\ 0 & 0 & 0 & 0 & 0 & 0 & 1 & y & 0 & 0 & 0 & 0 \\ 0 & 0 & -1 & -x & 0 & 1 & 0 & x & 2 & -x & -y & 0 \end{bmatrix} \begin{Bmatrix} \alpha_1 \\ \alpha_2 \\ \alpha_3 \\ \alpha_4 \\ \alpha_5 \\ \alpha_6 \\ \alpha_7 \\ \alpha_8 \\ \alpha_9 \\ \alpha_{10} \\ \alpha_{11} \\ \alpha_{12} \end{Bmatrix} \tag{III.23}$$

$$\text{sau } \{\epsilon\} = [N] \cdot \{\alpha\} \tag{III.23'}$$

Urmînd calculele la fel ca și pentru elementul finit precedent rezultă matricea de rigiditate îmbunătățită pentru elementul finit dreptunghiular în stare plană de eforturi.

2.3. Matricea de rigiditate a elementului finit dreptunghiular ortotrop de placă.

La determinarea matricei de rigiditate a elementului finit dreptunghiular ortotrop de placă se iau în considerare numai deplasările normale pe planul plăcii (de la colțurile elementului finit $u_1 \dots u_4$) și rotirile pe direcțiile celor două axe ($u_5 \dots u_{12}$) deoarece se știe că în teoria plăcilor plane supuse la încovoiere având deformații mici nu se iau în considerare deplasările din planul plăcii (fig III.3) Funcția de deplasări normală pe planul plăcii se consideră de forma: (III.24)

$$U_z = \alpha_1 + \alpha_2 x + \alpha_3 y + \alpha_4 x^2 + \alpha_5 xy + \alpha_6 y^2 + \alpha_7 x^3 + \alpha_8 x^2 y + \alpha_9 xy^2 + \alpha_{10} y^3 + \alpha_{11} x^3 y + \alpha_{12} x y^3$$

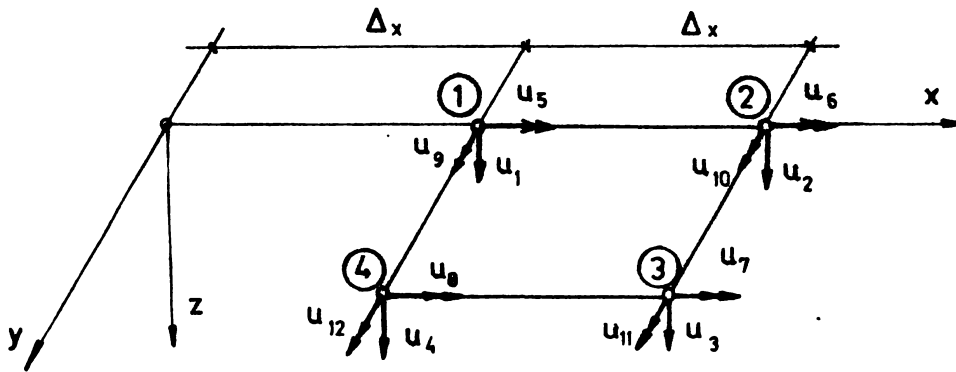


fig. III. 3

La fel ca și la elementul finit dreptunghiular în stare plană se determină:

$$\begin{Bmatrix} U_1 \\ U_2 \\ U_3 \\ U_4 \\ U_5 \\ U_6 \\ U_7 \\ U_8 \\ U_9 \\ U_{10} \\ U_{11} \\ U_{12} \end{Bmatrix} = \begin{bmatrix} 1 & x_1 & 0 & x_1^2 & 0 & 0 & x_1^3 & 0 & 0 & 0 & 0 & 0 \\ 1 & 2x_2 & 0 & 4x_2^2 & 0 & 0 & 8x_2^3 & 0 & 0 & 0 & 0 & 0 \\ 1 & 2x_3 & y_3 & 4x_3^2 & 2x_3y_3 & y_3^2 & 8x_3^3 & 4x_3^2y_3 & 2x_3y_3^2 & y_3^3 & 8x_3^3y_3 & 2x_3y_3^3 \\ 0 & x_4 & y_4 & x_4^2 & x_4y_4 & y_4^2 & x_4^3 & x_4^2y_4 & x_4y_4^2 & y_4^3 & x_4^3y_4 & x_4y_4^3 \\ 0 & 0 & 1 & 0 & x_5 & 0 & 0 & x_5^2 & 0 & 0 & x_5^3 & 0 \\ 0 & 0 & 1 & 0 & 2x_6 & 0 & 0 & 4x_6^2 & 0 & 0 & 8x_6^3 & 0 \\ 0 & 0 & 1 & 0 & 2x_7 & 2y_7 & 0 & 4x_7^2 & 4x_7y_7 & 3y_7^2 & 8x_7^3 & 6x_7y_7^2 \\ 0 & 0 & 1 & 0 & x_8 & 2y_8 & 0 & x_8^2 & 2x_8y_8 & 3y_8^2 & x_8^3 & 3x_8y_8^2 \\ 0 & 1 & 0 & 2x_9 & 0 & 0 & 3x_9^2 & 0 & 0 & 0 & 0 & 0 \\ 0 & 1 & 0 & 4x_{10} & 0 & 0 & 12x_{10}^2 & 0 & 0 & 0 & 0 & 0 \\ 0 & 1 & 0 & 4x_{11} & y_{11} & 0 & 12x_{11}^2 & 4x_{11}y_{11} & y_{11}^2 & 0 & 12x_{11}^2y_{11} & y_{11}^3 \\ 0 & 1 & 0 & 2x_{12} & y_{12} & 0 & 3x_{12}^2 & 2x_{12}y_{12} & x_{12}^2 & 0 & 3x_{12}^2y_{12} & y_{12}^3 \end{bmatrix} \begin{Bmatrix} \alpha_1 \\ \alpha_2 \\ \alpha_3 \\ \alpha_4 \\ \alpha_5 \\ \alpha_6 \\ \alpha_7 \\ \alpha_8 \\ \alpha_9 \\ \alpha_{10} \\ \alpha_{11} \\ \alpha_{12} \end{Bmatrix}$$

(III.25)

sau $\{U\} = [A] \cdot \{\alpha\}$ (III.25')

Pentru poziția elementului finit din fig.III.3 rezultă matricia [A]

$$\begin{bmatrix}
 1 & \Delta x & 0 & \Delta x & 0 & 0 & \Delta x^3 & 0 & 0 & 0 & 0 & 0 \\
 1 & 2\Delta x & 0 & 4\Delta x^2 & 0 & 0 & 8\Delta x^3 & 0 & 0 & 0 & 0 & 0 \\
 1 & 2\Delta x & \Delta y & 4\Delta x^2 & 2\Delta x\Delta y & \Delta y^2 & \Delta x^3 & 4\Delta x^2\Delta y & 2\Delta x\Delta y^2 & \Delta y^3 & 8\Delta x^3\Delta y & 2\Delta x\Delta y^3 \\
 1 & \Delta x & \Delta y & \Delta x^2 & \Delta x\Delta y & \Delta y^2 & 0 & \Delta x^2\Delta y & \Delta x\Delta y^2 & \Delta y^3 & \Delta x^3\Delta y & \Delta x\Delta y^3 \\
 0 & 0 & 1 & 0 & \Delta x & 0 & 0 & \Delta x^2 & 0 & 0 & \Delta x^3 & 0 \\
 0 & 0 & 1 & 0 & 2\Delta x & 0 & 0 & 4\Delta x^2 & 0 & 0 & 8\Delta x^3 & 0 \\
 0 & 0 & 1 & 0 & 2\Delta x & 2\Delta y & 0 & 4\Delta x^2 & 4\Delta x\Delta y & 3\Delta y^2 & 8\Delta x^3 & 6\Delta x\Delta y^2 \\
 0 & 0 & 1 & 0 & \Delta x & 2\Delta y & 3\Delta x^2 & \Delta x^2 & 2\Delta x\Delta y & 3\Delta y^2 & \Delta x^3 & 3\Delta x\Delta y^2 \\
 0 & 1 & 0 & 2\Delta x & 0 & 0 & 12\Delta x^2 & 0 & 0 & 0 & 0 & 0 \\
 0 & 1 & 0 & 4\Delta x & 0 & 0 & 12\Delta x^2 & 0 & 0 & 0 & 0 & 0 \\
 0 & 1 & 0 & 4\Delta x & \Delta y & 0 & 12\Delta x^2 & 4\Delta x\Delta y & \Delta y^2 & 0 & 12\Delta x^2\Delta y & \Delta y^3 \\
 0 & 1 & 0 & 2\Delta x & \Delta y & 0 & 3\Delta x^2 & 2\Delta x\Delta y & \Delta y^2 & 0 & 3\Delta x^2\Delta y & \Delta y^3
 \end{bmatrix} \quad (III.26)$$

Deformațiile specifici sînt:

$$\epsilon_{xx} = -z \frac{\partial^2 u_z}{\partial x^2} = -z (2\alpha_4 + 6\alpha_7 x + 2\alpha_8 y + 6\alpha_{11} x \cdot y) \quad (III.27)$$

$$\epsilon_{yy} = -z \frac{\partial^2 u_z}{\partial y^2} = -z (2\alpha_6 + 2\alpha_9 x + 6\alpha_{10} y + 6\alpha_{12} x y)$$

$$\epsilon_{xy} = -2z \frac{\partial^2 u_z}{\partial x \partial y} = -2z (\alpha_5 + 2\alpha_8 x + 2\alpha_9 y + 3\alpha_{11} x^2 + 3\alpha_{12} y^2)$$

sau matricial :

$$\begin{Bmatrix} \epsilon_{xx} \\ \epsilon_{yy} \\ \epsilon_{xy} \end{Bmatrix} = -z \begin{bmatrix} 0 & 0 & 0 & 2 & 0 & 0 & 6x & 2y & 0 & 0 & 6xy & 0 \\ 0 & 0 & 0 & 0 & 0 & 2 & 0 & 0 & 2x & 6y & 0 & 6xy \\ 0 & 0 & 0 & 0 & 2 & 0 & 0 & 4x & 4y & 0 & 6x^2 & 6y^2 \end{bmatrix} \begin{Bmatrix} \alpha_1 \\ \alpha_2 \\ \alpha_3 \\ \alpha_4 \\ \alpha_5 \\ \alpha_6 \\ \alpha_7 \\ \alpha_8 \\ \alpha_9 \\ \alpha_{10} \\ \alpha_{11} \\ \alpha_{12} \end{Bmatrix} \quad (III.28)$$

$$\{\epsilon\} = [N] \cdot \{\alpha\} \quad (III.28')$$

3. DETERMINAREA MATRICEI DE RIGIDITATE A STRUCTURII

Determinarea matricei de rigiditate a structurii presupune cunoașterea matricelor de rigiditate ale tuturor elementelor finite raportate la sistemul general de referință. Prin "însumarea" matricelor de rigiditate ale tuturor elementelor finite ce compun structura se obține matricea generală de rigiditate a structurii, termenii acesteia fiind coeficienții necunoscuților din metoda deplasărilor.

Ordinea coeficienților în matricea generală de rigiditate a structurii este stabilită funcție de numerotare adoptată pentru nodurile structurii și de ordinea prestabilită a deplasărilor generalizate la noduri.

Pentru rezolvarea acestei probleme se propune // două modalități de alcătuire a matricei generale de rigiditate:

- a) În cazul unui număr relativ mic de necunoscute, în program se declară dimensiunea matricei generale, iar construcția ei se face prin explorarea elementelor idealizate, adică explorarea matricelor de rigiditate ale elementelor idealizate și "însumarea" lor în matricea generală de rigiditate pe submatrici.

- b) În cazul unui număr mare de necunoscute este necesar a se construi matricea de rigiditate explorând nodurile structurii. Aceasta permite alcătuirea matricei generale de rigiditate pe linii sau coloane, ori pe grupe de linii sau coloane (componente ale matricei generale de rigiditate) care, pe măsura alcătuirii lor pot fi înregistrate în memoria auxiliară a calculatorului în vederea prelucrărilor ulterioare.

4. DETERMINAREA STĂRII DE EFORTURI ÎN ELEMENTELE FINITE

Pentru calculul eforturilor în elementele finite se pornește de la relația:

$$[G] = [D] \{ \epsilon \} \quad (\text{III.29})$$

care se mai poate scrie:

$$[G] = [D] [N] \{ \alpha \} \quad (\text{III.30})$$

unde $\{ \alpha \}$ a fost definit conform relației (III.3)

Expresia relației matriciale (III.29) care exprimă starea de tensiune într-un element finit primește forma:

$$[\sigma] = [D] \cdot [N] \cdot [A]^{-1} \cdot \{u\} \quad (\text{III.31})$$

Pentru determinarea solicitărilor unitare M_{xx}, M_{yy}, M_{xy} și a tensiunilor $\sigma_{xx}, \sigma_{yy}, \sigma_{xy}$ pentru elementele finite izotrope sau ortotrope în încovoiere se folosește relația:

$$[M] = \int_{\Delta} [\sigma] \cdot z \cdot dA \quad (\text{III.32})$$

Inlocuind (III.31) în (III.32) și ținând seama că integrarea se face pe secțiuni avînd $b_x = b_y = 1$ (pe unitate de lungime de placă, în planul plăcii), unde $dA = 1 \cdot dz$, relația (III.32) devine:

$$[M] = \int [D] \cdot [N] \cdot z \cdot dz \cdot [A]^{-1} \cdot \{u\} \quad (\text{III.33})$$

Deoarece, în cazul elementelor finite în încovoiere matricea $[N]$ conține variabila z (III.28) se face notația:

$$[N] = z [N'] \quad (\text{III.34})$$

iar relația (III.33) se poate scrie sub forma:

$$[M] = \left[\int z^2 \cdot [D] \cdot dz \right] \cdot [D'] \cdot [A]^{-1} \cdot \{u\} \quad (\text{III.35})$$

unde:

$$\int z^2 \cdot [D] \cdot dz = \begin{bmatrix} D_x & D_4 & 0 \\ D_4 & D_y & 0 \\ 0 & 0 & D_{xy} \end{bmatrix} \quad (\text{III.36})$$

Valorile rigidităților din (III.36) sînt:

- în cazul izotropiei:

$$D_x = D_y = \frac{E \cdot t^3}{12(1-\mu^2)} \quad ; \quad D_4 = \mu \cdot D_x \quad ; \quad D_{xy} = \frac{E \cdot t^3}{12(1+\mu)} \quad (\text{III.37})$$

- în cazul ortotropiei aceste valori se pot lua conform celor stabilite de Huber (fig.I.4) sau Gienke (I.15)

Dacă se notează:

$$\int z^2 [D] dz = [D^*] \quad (\text{III.38})$$

relația (III.35) devine:

$$[M] = [D^*] \cdot [N] \cdot [u] \quad (\text{III.39})$$

Considerînd $[N]$ definit de (III.28) și (III.28') iar $[D]$ de (III.38) se poate determina:

$$M_{xx} = 2 D_x \alpha_4 + 2 D_1 \alpha_6 + 6 x D_x \alpha_7 + 2 y D_x \alpha_8 + 2 x D_1 \alpha_9 + 6 y D_1 \alpha_{10} + 6 x y D_x \alpha_{11} + 6 x y D_1 \alpha_{12} \quad (\text{III.40})$$

$$M_{yy} = 2 D_1 \alpha_4 + 2 D_y \alpha_6 + 6 x D_1 \alpha_7 + 2 y D_1 \alpha_8 + 2 x D_y \alpha_9 + 6 y D_y \alpha_{10} + 6 x y D_1 \alpha_{11} + 6 x y D_y \alpha_{12} \quad (\text{III.41})$$

$$M_{xy} = 2 D_{xy} \alpha_6 + 4 x D_{xy} \alpha_8 + 4 y D_{xy} \alpha_9 + 6 x^2 D_{xy} \alpha_{11} + 6 y^2 D_{xy} \alpha_{12} \quad (\text{III.42})$$

Cu relațiile (III.41...III.43) se pot determina solicitările unitare în orice punct al elementelor finite, avînd coordonatele x, y date în raport cu sistemele de referință locale.

Tensiunile $\sigma_{xx}, \sigma_{yy}, \sigma_{xy}$ se pot deasemeni determina ținînd cont de relațiile (III.41...III.43) și de caracteristcele geometrice ale secțiunilor plăcii.

Valorilor solicitărilor unitare (M_{xx}, M_{yy}, M_{xy}) și a tensiunilor ($\sigma_{xx}, \sigma_{yy}, \sigma_{xy}$) se calculează efectuîndu-se media pentru cele 4 elemente finite dreptunghiulare, adiacente nodului respectiv.

Pentru elementul finit dreptunghiular îmbunătățit în starea plană de eforturi, solicitările unitare (N_{xx}, N_{yy}, N_{xy}) și tensiunile ($\sigma_{xx}, \sigma_{yy}, \sigma_{xy}$) se determină similar ca și pentru elementul finit dreptunghiular ortotrop de placă, plecînd de la relația de definiție a solicitării unitare:

$$[N_{..}] = \int_A [G] dA \quad (\text{III.44})$$

înlocuind (III.31) în (III.44) se obține:

$$[N_{..}] = \left[\int [D] \cdot dz \right] \cdot [N] \cdot [A]^T \cdot [u] \quad (\text{III.45})$$

unde integrarea se efectuează pe secțiuni avînd $b_x = b_y = 1$ iar $dA = 1 \cdot dz$.

Matricea $[N]$ nu mai este funcție de z astfel încît se poate defini:

$$\int [D] dz = \begin{bmatrix} k_x & k_y & 0 \\ k_1 & k_2 & 0 \\ 0 & 0 & k_{xy} \end{bmatrix} \quad (\text{III.46})$$

Valorile rigidităților din (III.46) sînt:

- în cazul izotropiei:

$$k_x = k_y = \frac{E \cdot t}{1 - \mu^2}; \quad k_1 = \mu k; \quad k_{xy} = \frac{E \cdot t}{2(1 + \mu)} \quad (\text{III.47})$$

- în cazul ortotropiei:

conform celor stabilite de Gienke (I.11) dacă se notează:

$$[D^{**}] = \int [D] \cdot dz \quad (\text{III.48})$$

relația se poate scrie sub forma:

$$[N_{**}] = [D^{**}] \cdot [N] \cdot \{\alpha\} \quad (\text{III.49})$$

Considerînd $[N]$ definit de (III.23) și (III.23') și $[D^{**}]$ definit de (III.48) se poate determina:

$$N_{xx} = k_x \alpha_2 + y k_x \alpha_4 + k_1 \alpha_7 + x k_1 \alpha_8 \quad (\text{III.50})$$

$$N_{yy} = k_1 \alpha_2 + y k_1 \alpha_4 + k_y \alpha_7 + x k_y \alpha_8 \quad (\text{III.51})$$

$$N_{xy} = k_{xy} \alpha_3 + x k_{xy} \alpha_4 + k_{xy} \alpha_6 + y k_{xy} \alpha_8 + k_{xy} \alpha_9 + x k_{xy} \alpha_{10} + y k_{xy} \alpha_{11} + x y k_{xy} \alpha_{12} \quad (\text{III.52})$$

Cu relațiile (III.50....III.52) se pot determina solicitările unitare în orice punct al elementelor finite, avînd coordonatele x, y , date în raport cu sistemele de referință locale.

Tensiunile se obțin prin împărțirea relațiilor (III.50....III.52) cu grosimea plăcii (t) în cazul izotropiei sau cu grosimile echivalente, în cazul ortotropiei.

5. IDEALIZARI ALE STRUCTURII DE REZISTENTA A PORTILOR DE ECLUZA CU ELEMENTE FINITE.

Calculul structurilor de rezistență complexe, așa cum sînt structurile de rezistență ale porților de ecluză, cu ajutorul metodei elementelor finite, conduce în general la matrici de rigiditate de dimensiuni mari care necesită rezolvarea unor sisteme de ecuații cu mii de necunoscute. Aceasta ridică probleme dificile în programare. Pentru reducerea numărului de sisteme de ecuații se pot recurge la:

- 1)- împărțirea structurii complexe în substructuri.
- 2)- folosirea diferitelor procedee în vederea reducerii dimensiunii matricii generale de rigiditate pe ansamblul structurii.

5.1. Utilizarea substructurilor la idealizarea structurii de rezistența a porților de ecluză cu elemente finite.

Împărțirea structurii complexe în substructuri duce la rezolvarea unor sisteme de ecuații cu un număr mai mic de necunoscute decît în cazul rezolvării structurii pe ansamblu.

În procesul de programare aceasta duce la probleme mai laborioase, dar dacă se aleg substructurile de așa natură încît să rezulte pe ansamblul structurii doar 1 - 2 tipuri de substructuri, se obțin mari economii de timp la prelucrarea datelor la calculator. Pentru structurile de rezistență ale porților de ecluză autorul propune următoarele variante de substructuri, avînd în vedere rezemarea plăcii ortotrope (alcătuită din tolă și longeroni) pe antretoaze și pe grinzile principale.

- a) Dacă placa ortotropă rezemă numai pe o direcție (pe antretoaze) autorul propune împărțirea pe substructuri din fig. III.4

Dpă cum rezultă din fig.III.4 substructură reprezintă placa ortotropă alcătuită din tolă și longeronii plăcii ortotrope (rezemată pe antretoaze care la rîndul lor sînt rezemate pe grinzile principale).

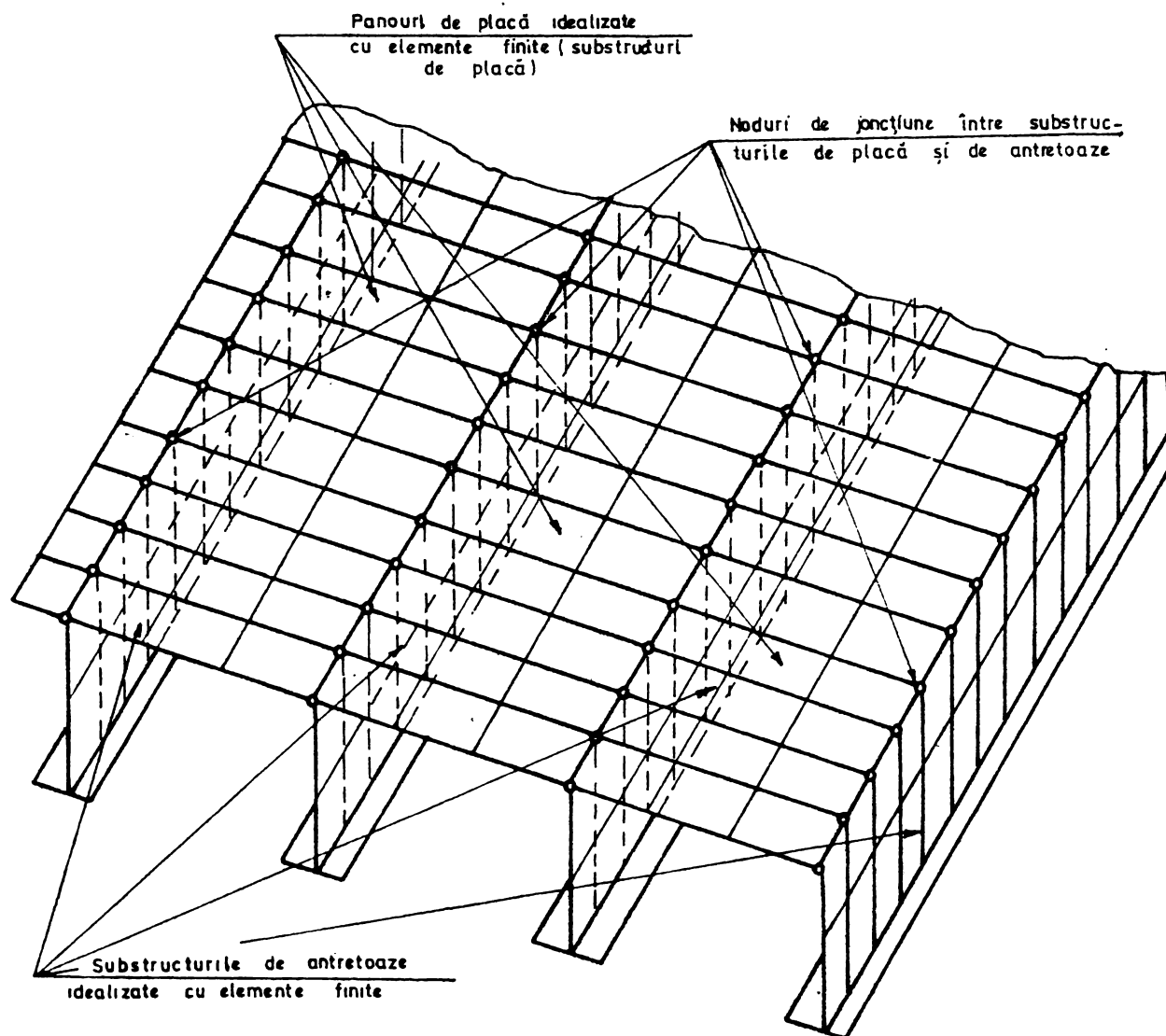


Fig. III 4

O altă substructură o reprezintă antretoazele care sînt alcătuite din inimă și talpă inferioară.

Substructura care idealizează placa ortotropă se discretizează cu elemente finite dreptunghiulare în încovoiere ^{și stare plană} (cap.III.23) pentru care caracteristicile de rigiditate (D_x, D_y, D_t, D_{xy}) se obțin prin uniformizare. Substructura care idealizează antretoaza se discretizează cu elemente finite și anume:

- inima antretoazei se discretizează cu elemente finite dreptunghiulare în stare plană de eforturi:

- talpa antretoazei se discretizează cu elemente finite de bară.

Asamblarea matricelor de rigiditate a celor două substructuri menționate se face în dreptul nodurilor de joncțiune (fig.III.4)

b) Dacă placa ortotropă reazemă pe antretoaze, pe o direcție, și pe grinzile principale, pe cealaltă direcție (fig.III.5) autorul propune următoarea împărțire pe substructuri:

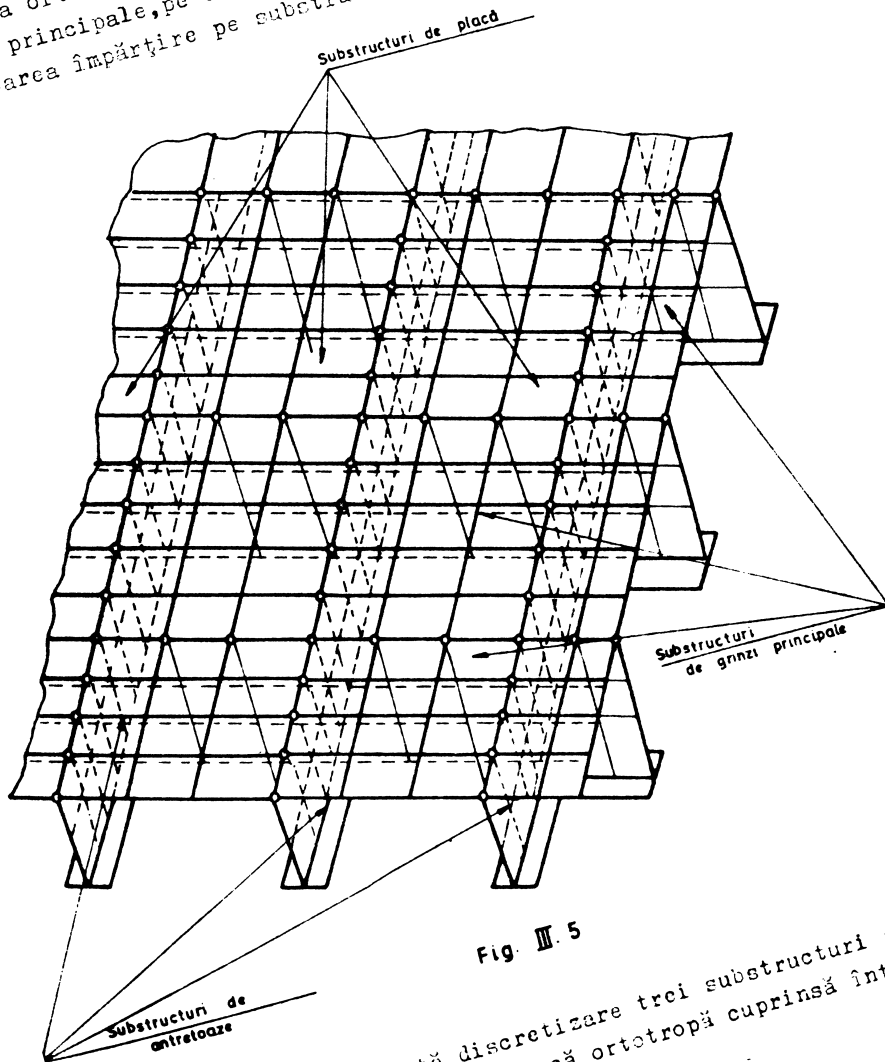


Fig. III. 5

Se vor folosi la această discretizare trei substructuri de bază: una reprezintă porțiunea de placă ortotropă cuprinsă între două antretoaze și două grinzi principale;

antretoaza cea de-a doua substructură; iar grinda principală cea de-a treia substructură. In acest caz substructura de placă ortotropă se discretizează la fel ca la paragraful precedent (5.1.a); substructura care reprezintă antretoaza și grinda principală se consideră la fel ca și substructura de antretoază de la (5.1.a).

Asamblarea matricilor de rigiditate ale substructurilor se face prin nodurile de joncțiune dintre panourile de plăci, antretoaze și grinzi principale.

5.2. Calculul pe ansamblul structurii.

S-a arătat că rezolvarea structurii complexe cu metoda elementelor finite necesită rezolvarea unor sisteme de ecuații avînd mii de necunoscute, ceea ce impune utilizarea unor calculatoare mari ce au memorii operative de peste 500 kb.

Dat fiind posibilitățile din ce în ce mai mari pe care le pune la dispoziție tehnica de calcul pentru rezolvarea structurilor complexe se prezintă în continuare modul de asamblare a matricii de rigiditate a unei structurii de placă ortotropă. Placa ortotropă se consideră rezemată pe antretoaze și grinzile principale (fig.III.6), discretizată cu elemente finite dreptunghiulare pentru care se cunosc caracteristicile fizice și geometrice.

Placa ortotropă se discretizează cu elemente finite dreptunghiulare în încovoiere avînd cîte 5 deplasări generalizate la noduri (care conțin inclusiv și luarea în considerare a stării plane de eforturi din placă, prin cele două deplasări generalizate în planul elementului finit); inima antretoazelor și a grinzilor principale se discretizează cu elemente finite dreptunghiulare (îmbunătățite) în stare plană de eforturi avînd cîte trei deplasări generalizate la noduri (luîndu-se în considerare și rotirea generalizată de-a lungul axei ox , respectiv de-a lungul axei oy (fig.III.6 și fig.III.7)).

Tălpile grinzilor principale și ale antretoazelor se discretizează cu elemente finite de bară, avînd cîte o deplasare generalizată la noduri.

Pentru caracteristicile de rigiditate ale elementelor finite de placă se presupune că ortotropia geometrică a tolei și longeronilor este echivalentă cu o ortotropie de material, unde caracteristicile de rigiditate pe cele două direcții se

consideră "uniformizate" (distribuite).

Pe ansamblul structurii de rezistență (fig.III.6) nodurile sînt de mai multe tipuri:

- noduri în care concură patru elemente finite de placă;

- noduri în care concură patru elemente finite de placă și două elemente finite în stare plană provenite din discretizarea inimii antretoazelor;

- noduri în care concură patru elemente finite de placă și două elemente finite în stare plană provenite din discretizarea inimii grinzilor principale;

- noduri în care concură patru elemente finite de placă și patru elemente finite în stare plană, provenite: două din discretizarea inimii antretoazelor și două din discretizarea inimii grinzilor principale.

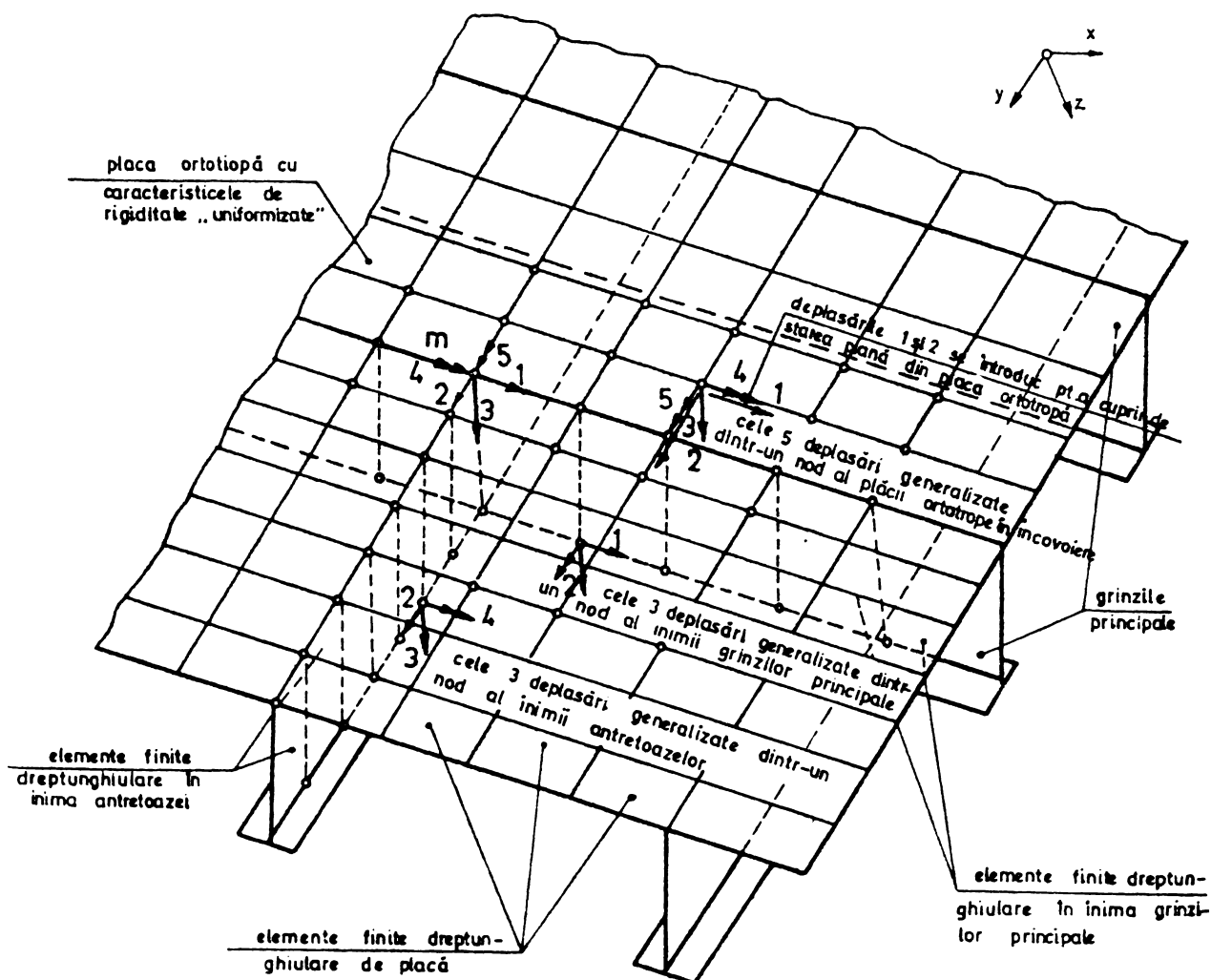


Fig. III. 6.

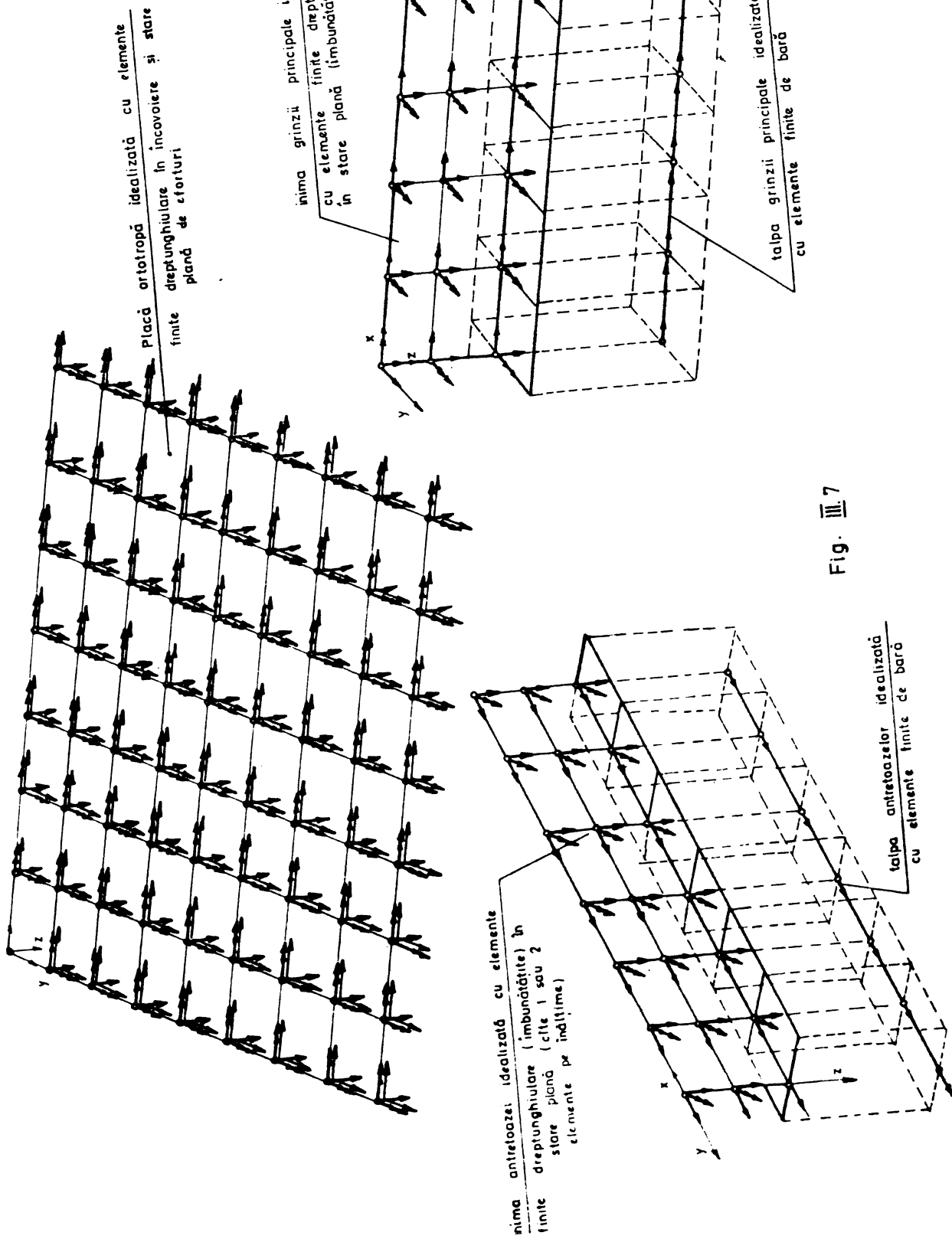
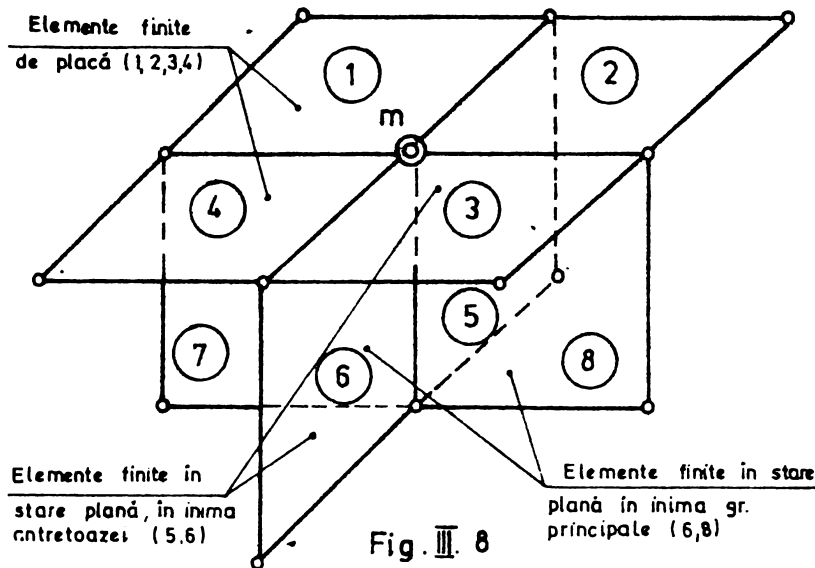


Fig. III.7

Pentru prezentarea modului de alcătuire a matricii generale de rigiditate se va studia nodul m (fig.III.8) în care concură opt elemente finite. Într-un nod m de joncțiune dintre placă, antretoaze și grinzi principale intervin opt elemente finite: patru elemente finite de placă : 1,2,3,4 ; două elemente finite în stare plană, provenite din discretizarea inimii antretoazei: 5,6 ; și două elemente finite în stare plană provenite din discretizarea inimii grinzilor principale: 7, 8, (fig.III.8).



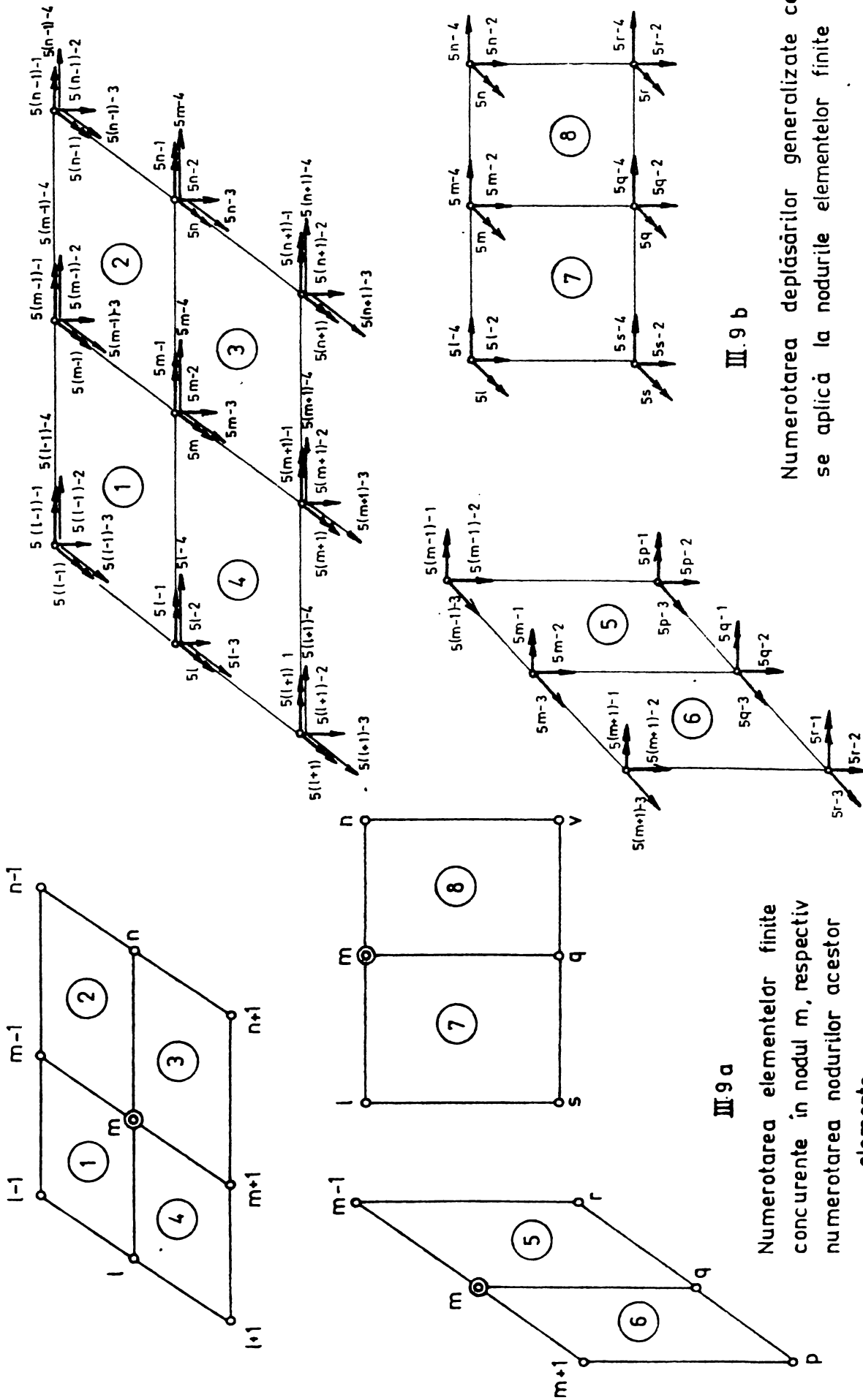
În vederea sistematizării deplasărilor după natura lor, primele patru linii ale matricii de rigiditate sînt deplasările după axa ox ; apoi urmează patru linii pentru deplasările după axa oy ; și o linie pentru deplasările elementelor fini-

te în stare plană; patru linii pentru rotirile după axa ox ; patru linii pentru rotirile după axa oy ; și o linie după axa oz pentru deplasarea elementelor finite din încovoiere. Această numerotare se prezintă în fig.III.9.

Cunoscînd nodul m oarecare cu toate elementele finite adiacente nodului, se pot determina coeficienții de rigiditate ai tuturor ecuațiilor în metoda deplasărilor.

Dacă se urmărește determinarea, spre exemplu a ecuației (liniei) $5m-2$ (conform fig.III.9 a+b) se presupun toate nodurile blocate (pe direcția celor 5 deplasări generalizate adoptate (fig.III.9 b) în afară de cîte una din direcții, pentru care se aplică o deplasare unitară. Rezultă efortul care se produce după direcția $5m-2$.

În acest fel se pot calcula toți coeficienții care alcătuiesc o ecuație (linie) în matricia de rigiditate.



III.9 a

III.9 b

Numerotarea elementelor finite concurente in nodul m, respectiv numerotarea nodurilor acestor elemente

Numerotarea deplășărilor generalizate ce se aplică la nodurile elementelor finite

Fig. III. 9

Presupunând matricea generală de rigiditate:

$$k_{ij} \begin{cases} i = 1, \dots, 12 \\ j = 1, \dots, 12 \end{cases} \quad (\text{III.53})$$

a elementului finit raportată la numărătoarea deplasărilor din fig.III.10 se poate defini un mod de lucru similar cu cel al operatorului central în diferențe finite.

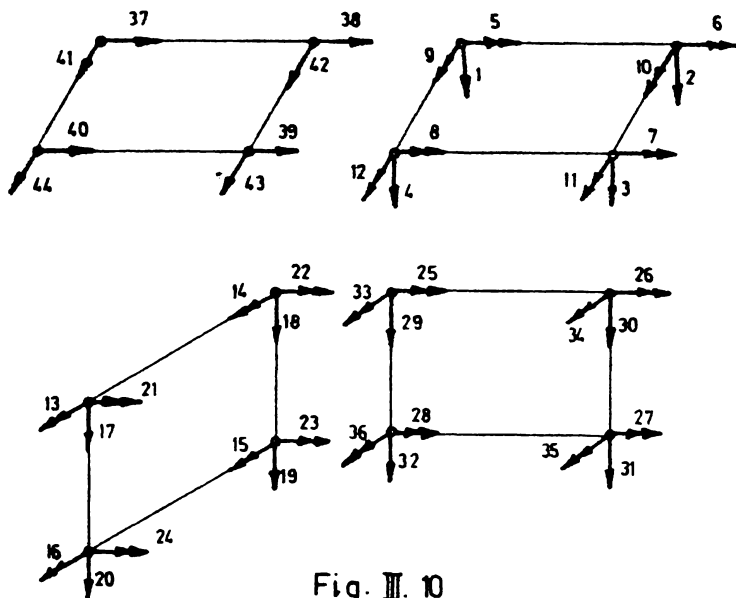


Fig. III. 10

În acest scop se alcătuiește un tablou sub forma unui "operator" în care sînt arătați coeficienții ce provin din deplasările unitare menționate mai sus și care nu reprezintă altceva decît eforturile ce se produc pe direcția 5m-2. Acești coeficienți se deduc foarte sim-

plu din coeficienții matricei k iar pozițiile lor în ecuație sînt indicate de numărul pe care-l au conform fig.III.9 b. Spre exemplu dacă se dă o deplasare unitară pe direcția 5 (l-1)- 2 a elementului de placă 1, cu toate celelalte direcții blocate va apărea în nodul m pe direcția 5m-2 un efort $k_{3,4}$ (conform fig.III.10) adică $k_{5m-2, 5(l-1)-2}$ (conform fig.III.9.b).

Similar dînd o deplasare unitară pe direcția 5 (l-2), cu toate celelalte direcții blocate va apărea pe direcția 5m-2 un efort $k_{3,4}$ de la elementul finit 1, $k_{2,1}$ de la elementul finit 2 și $k_{30,29}$ de la elementul finit 7. Deci pe direcția 5m-2 datorită deplasării unitare pe direcția 5(l-2), vor proveni de la cele trei elemente finite 1, 2, 7, trei coeficienți, care însumați vor constitui coeficientul din matricea generală:

$$k_{5m-2, 5(l-2)} = k_{3,4} + k_{2,1} + k_{30,29} \quad (\text{III.54})$$

Coeficientul necunoscutei principale va avea forma:

$$k_{5m-2, 5m-2} = k_{3,3} + k_{4,4} + k_{1,1} + k_{2,2} + k_{17,17} + k_{18,18} + k_{30,30} + k_{29,29} \quad (\text{III.55})$$

asa cum rezultă și din tabelul centralizator din fig.III.12. In mod similar se poate proceda și cu celelalte direcții și se obțin tablourile din fig.III.17 ... III.20.

Din acest tabel precum și din tablourile operatorilor din fig.III.11 a și III.11 b se poate vedea că după această direcție (5m-2) din toate elementele finite, atât cele de placă cât și cele în stare plană rezultă coeficienții $k_{i,j}$.

După celelalte direcții însă, nu se obțin coeficienți din toate elementele și din toate nodurile:

- după direcția 5m-4, numai elementele finite în stare plană (7,8,1,2,3 și 4) provenite din inima grinzilor principale și din tola superioară (placă), dau coeficienții $k_{i,j}$ (fig.III.13 a , III.13 b și III.14);

- după direcțiile 5m-3, numai elementele finite în stare plană (5,6,1,2,3 și 4) provenite din inima antretoazelor și din tola superioară (placă), dau coeficienții $k_{i,j}$ (fig.III.15.a, III.15.b și III.14);

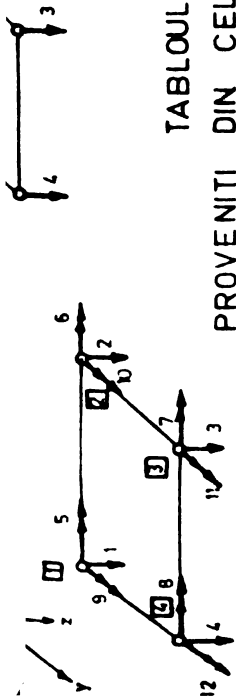
- după direcțiile 5m-1, numai elementele finite de placă (1,2,3 și 4) și elementele finite în stare plană provenite de la antretoaze (5 și 6), dau coeficienții $k_{i,j}$ (fig. III.17.a, b și fig.III.18);

- după direcțiile 5 m numai elementele finite de placă (1,2,3, și 4) și elemente finite în stare plană (7 și 8) provenite din grinzile principale dau coeficienții $k_{i,j}$ (fig. III.19.a,b și fig.III.20);

Modul de alcătuire al ecuațiilor prezentat în tablourile ce urmează permit utilizarea acestora direct la scrierea lor în limbajele de programare automată.

Procedeu expus are marele avantaj că se prezintă compact în programare, obținându-se starea de tensiuni și de deformație pe ansamblul structurii, ținându-se cont de conlucrarea spațială a tuturor elementelor componente ale acesteia, lucru extrem de important deoarece este cunoscut că aceasta nu este posibil în orice metodă de calcul.

Condițiile de rezemare, de asemenea, pot fi luate în considerare, în orice formă s-ar pune, prin eliminarea ecuațiilor (liniilor și coloanelor) pentru care, pe direcția necunoscută principale, deplasarea este zero, datorită rezemării.



TABLOUL COEFICIENTILOR ECUATIEI $5m-2$
 PROVENIȚI DIN CELE 4 ELEMENTE FINITE DE PLACĂ, CONCURRENTE ÎN NODUL m .

A	B	C	A	B	C
1	$5(1-1)-2$	$k_{3,1}$	2	$5(m-1)-2$	$k_{3,2}$
5	$5(1-1)-1$	$k_{3,5}$	6	$5(m-1)-1$	$k_{3,6}$
9	$5(1-1)$	$k_{3,9}$	10	$5(m-1)$	$k_{3,10}$

Element

A	B	C
4	$51-2$	$k_{3,4}$
8	$51-1$	$k_{3,8}$
12	51	$k_{3,12}$

(1)

A	B	C	A	B	C
1	$5(m-1)-2$	$k_{4,1}$	2	$5(n-1)-2$	$k_{4,2}$
5	$5(m-1)-1$	$k_{4,5}$	6	$5(n-1)-1$	$k_{4,6}$
9	$5(m-1)$	$k_{4,9}$	10	$5(n-1)$	$k_{4,10}$

Element

A	B	C
4	$5m-2$	$k_{4,4}$
8	$5m-1$	$k_{4,8}$
12	$5m$	$k_{4,12}$

(2)

NODUL
 m

A	B	C	A	B	C
1	$51-2$	$k_{2,1}$	2	$5m-2$	$k_{2,2}$
5	$51-1$	$k_{2,5}$	6	$5m-1$	$k_{2,6}$
9	51	$k_{2,9}$	10	$5m$	$k_{2,10}$

Element

A	B	C
4	$5(1-1)-2$	$k_{2,4}$
8	$5(1-1)-1$	$k_{2,8}$
12	$5(1-1)$	$k_{2,12}$

(4)

A	B	C	A	B	C
1	$5m-2$	$k_{1,1}$	2	$5n-2$	$k_{1,2}$
5	$5m-1$	$k_{1,5}$	6	$5n-1$	$k_{1,6}$
9	$5m$	$k_{1,9}$	10	$5n$	$k_{1,10}$

Element

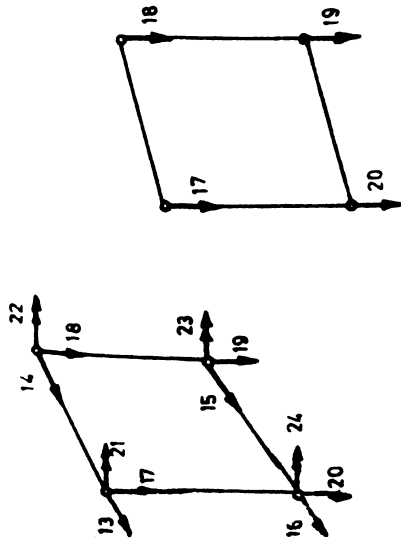
A	B	C
4	$5(m+1)-2$	$k_{1,4}$
8	$5(m+1)-1$	$k_{1,8}$
12	$5(m+1)$	$k_{1,12}$

(3)

- OBS. A) Direcția după care se dau deplasări unitare (raportată la numerotarea din fig.)
 B) Numărul coloanei din matricea de rigiditate unde se amplasează coeficientul
 C) Coeficientul de rigiditate care se transmite

Fig. III. 11.a.

TABLOUL COEFICIENTILOR ECUATIEI 5m-2
 PROVENITI DIN CELE 4 ELEMENTE FINITE IN STARE PLANA, CONCURRENTE IN
 NODUL m



A	B	C
13	5m-3	k _{17,13}
17	5m-2	k _{17,17}
21	5m-1	k _{17,21}

A	B	C
14	5(m-1)-3	k _{17,14}
18	5(m-1)-2	k _{17,18}
22	5(m-1)-1	k _{17,22}

A	B	C
16	5q-3	k _{17,16}
20	5q-2	k _{17,20}
24	5q-1	k _{17,24}

Element (5)

A	B	C
25	5l-4	k _{30,25}
29	5l-2	k _{30,29}
33	5l	k _{30,33}

A	B	C
26	5m-4	k _{30,26}
30	5m-2	k _{30,30}
34	5m	k _{30,34}

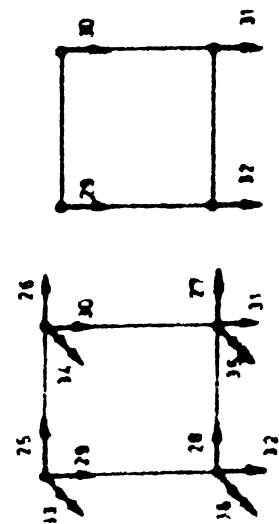
A	B	C
25	5m-4	k _{29,25}
29	5m-2	k _{29,29}
33	5m	k _{29,33}

A	B	C
27	5q-4	k _{29,27}
31	5q-2	k _{29,31}
35	5q	k _{29,35}

Element (8)

Element (7)

Element (6)



A	B	C
13	5(m+1)-3	k _{18,13}
17	5(m+1)-2	k _{18,17}
21	5(m+1)-1	k _{18,21}

A	B	C
14	5m-3	k _{18,14}
18	5m-2	k _{18,18}
22	5m-1	k _{18,22}

A	B	C
16	5r-3	k _{18,16}
20	5r-2	k _{18,20}
24	5r	k _{18,24}

Fig. 11. n.b

TABELUL CENTRALIZATOR AL COEFICIENȚILOR ECUAȚIEI 5m-2
 PROVENITI DIN CELE 8 ELEMENTE FINITE CONCURRENTE ÎN NODUL m.

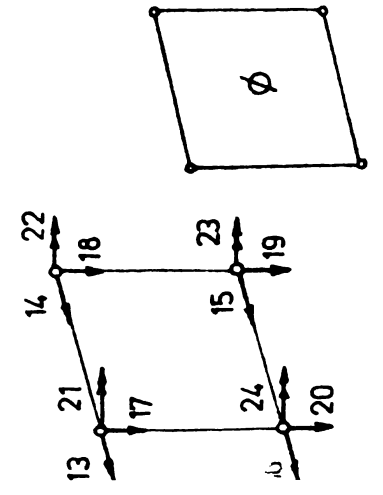
Nod	Indici coef.	Componenta coeficientului	Nod	Indici coef.	Componenta coeficientului
l-1	5m-2	5(l-1)-4	q	5q-4	k 30,27 + k 29,28
	5m-2	5(l-1)-3		5q-3	k 17,16 + k 18,15
	5m-2	5(l-1)-2		5q-2	k 17,20 + k 18,19 + k 30,31 + k 29,32
	5m-2	5(l-1)-1		5q-1	k 17,24 + k 18,23
	5m-2	5(l-1)		5q	k 30,35 + k 29,36
l	5m-2	5l-4	r	5r-4	
	5m-2	5l-3		5r-3	k 18,16
	5m-2	5l-2		5r-2	k 18,20
	5m-2	5l-1		5r-1	k 18,24
	5m-2	5l		5r	
:	5m-2	5s-4	m+1	5(m+1)-4	
	5m-2	5s-3		5(m+1)-3	k 18,13
	5m-2	5s-2		5(m+1)-2	k 14,4 + k 2,3 + k 18,17
	5m-2	5s-1		5(m+1)-1	k 18 + k 8,7 + k 18,21
	5m-2	5s		5(m+1)	k 1,12 + k 2,11
l+1	5m-2	5(l+1)-4	n-1	5(n-1)-4	
	5m-2	5(l+1)-3		5(n-1)-3	
	5m-2	5(l+1)-2		5(n-1)-2	k 4,2
	5m-2	5(l+1)-1		5(n-1)-1	k 4,6
	5m-2	5(l+1)		5(n-1)	k 4,10
m-1	5m-2	5(m-1)-4	v	5v-4	k 29,27
	5m-2	5(m-1)-3		5v-3	
	5m-2	5(m-1)-2		5v-2	k 29,31
	5m-2	5(m-1)-1		5v-1	
	5m-2	5(m-1)		5v	k 29,35
p	5m-2	5p-4	n	5n-4	k 29,26
	5m-2	5p-3		5n-3	
	5m-2	5p-2		5n-2	k 4,3 + k 1,2 +
	5m-2	5p-1		5n-1	k 4,7 + k 1,6 +
	5m-2	5p		5n	k 4,11 + k 1,10
m	5m-2	5m-4	n+1	5(n+1)-4	
	5m-2	5m-3		5(n+1)-3	
	5m-2	5m-2		5(n+1)-2	k 1,3
	5m-2	5m-1		5(n+1)-1	k 1,7
	5m-2	5m		5(n+1)	k 1,11

Fig. III. 12

TABELUL COEFICIENTILOR ECUAȚIEI $5m-4$
 PROVENIȚI DIN CELE 4 ELEMENTE FINITE IN STARE PLANĂ, CONCURRENTE IN NODUL m

A			B			C		
A			B			C		

Element (5)



A			B			C		
25	5m-4	k _{25,25}	26	5m-4	k _{25,25}	27	5r-4	k _{25,27}
29	5m-2	k _{25,29}	30	5m-2	k _{25,29}	31	5r-2	k _{25,31}
33	5m	k _{25,33}	34	5m	k _{25,34}	35	5r	k _{25,35}

Element (8)

A			B			C		
26	5m-4	k _{26,26}	27	5q-4	k _{26,27}	28	5q-4	k _{26,28}
30	5m-2	k _{26,30}	31	5q-2	k _{26,31}	32	5q-2	k _{26,32}
34	5m	k _{26,34}	35	5q	k _{26,35}	36	5q	k _{26,36}

Element (7)

A			B			C		
A			B			C		

Element (6)

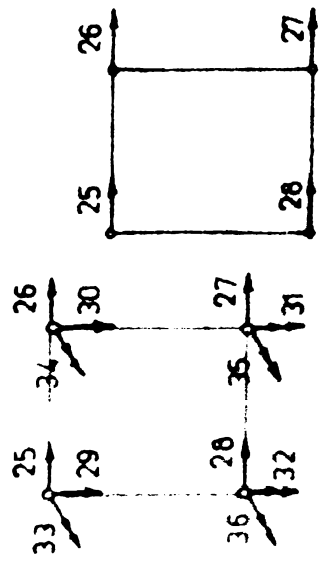
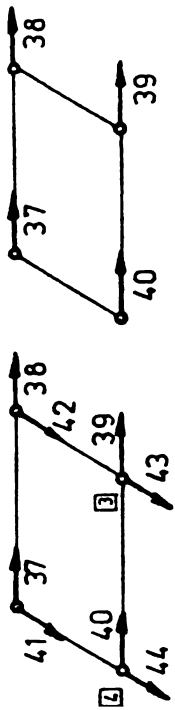


Fig III 13-a



TABLOUL COEFICIENTILOR ECUATIEI 5 m-4
 PROVENITI DIN STAREA PLANA DIN CELE PATRU ELEMENTE FINITE DE PLACĂ, CONCURENTE
 ÎN NODUL m.

A	B	C	A	B	C
37	5(1-1)-4	K _{39,37}	38	5(m-1)-4	K _{39,38}
41	5(1-1)-3	K _{39,41}	42	5(m-1)-3	K _{39,42}
—	—	—	—	—	—

Element ①

A	B	C
40	51-4	K _{39,40}
44	51-3	K _{39,44}
—	—	—

A	B	C	A	B	C
37	5(1+1)-4	K _{40,37}	38	5(m-1)-4	K _{40,38}
41	5(1-1)-3	K _{40,41}	42	5(m-1)-3	K _{40,42}
—	—	—	—	—	—

Element ②

A	B	C
40	5m-4	K _{40,40}
44	5m-4	K _{40,44}
—	—	—

NODUL (m)

A	B	C	A	B	C
37	51-4	K _{38,37}	38	5m-4	K _{38,38}
41	51-3	K _{38,41}	42	5m-3	K _{38,42}
—	—	—	—	—	—

Element ③

A	B	C
40	5(1+1)-4	K _{38,40}
44	5(1+1)-3	K _{38,44}
—	—	—

A	B	C	A	B	C
37	5m-4	K _{37,37}	38	5n-4	K _{37,38}
41	5m-4	K _{37,41}	42	5n-3	K _{37,42}
—	—	—	—	—	—

Element ④

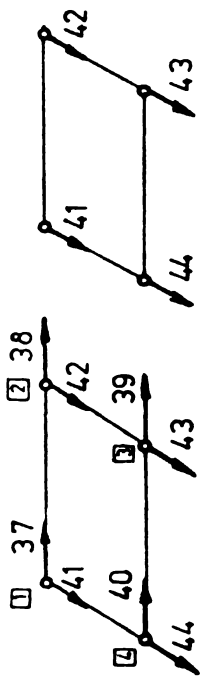
A	B	C
40	5(1+1)-4	K _{37,40}
44	5(1+1)-3	K _{37,44}
—	—	—

Fig. IV. 13. b

TABELUL COEFICIENTILOR ECUATIEI 5m-4
 PROVENIȚI DIN CELE 8 ELEMENTE FINITE , CONCURRENTE IN NODUL m .

Nod	Indici coefic.	Componenta coeficienților	Nod	Indici coefic.	Componenta coeficienților
l-1	5m-4	k 39,37 • k 40,37	q	5m-4	k 26,27 + k 25,28
	5m-4	k 39,41 • k 40,41		5m-4	k 26,31 + k 25,32
	5m-4			5m-4	
	5m-4			5m-4	
	5m-4			5m-4	
l	5m-4	k 39,40 • k 38,37	r	5m-4	
	5m-4	k 39,44 • k 38,41		5m-4	
	5m-4			5m-4	
	5m-4			5m-4	
	5m-4			5m-4	
s	5m-4	k 26,33	m+1	5m-4	k 38,39 • k 37,40
	5m-4	k 26,28		5m-4	k 38,43 • k 37,44
	5m-4			5m-4	
	5m-4			5m-4	
	5m-4			5m-4	
l+1	5m-4	k 38,40*	n-1	5m-4	
	5m-4	k 38,44*		5m-4	
	5m-4			5m-4	
	5m-4			5m-4	
	5m-4			5m-4	
m-1	5m-4	k 39,38 • k 40,38	v	5m-4	k 25,27
	5m-4	k 39,42 • k 40,42		5m-4	k 25,31
	5m-4			5m-4	
	5m-4			5m-4	
	5m-4			5m-4	
p	5m-4		n	5m-4	k 40,39 • k 37,38*
	5m-4			5m-4	k 40,43 • k 37,42*
	5m-4			5m-4	
	5m-4			5m-4	
	5m-4			5m-4	
m	5m-4	k 39,39* k 38,36 + k 40,40 • k 37,37 + k 26,26 • k 25,25	n+1	5m-4	k 37,39
	5m-4	k 39,43 • k 38,42 • k 40,44 • k 37,41		5m-4	k 37,43
	5m-4			5m-4	
	5m-4			5m-4	
	5m-4			5m-4	

Fig. III. 14



TABLOUL COEFICIENTILOR ECUATIEI $5m-3$
 PROVENITI DIN STAREA PLANA, DIN CELE PATRU ELEMENTE FINITE DE PLACĂ
 CONCURRENTE IN NODUL m .

Element ①		
A	B	C
37	$5(1-1)-4$	$k_{43,37}$
41	$5(1-1)-3$	$k_{43,41}$
—	—	—
Element ②		
A	B	C
38	$5(m-1)-4$	$k_{43,38}$
42	$5(m-1)-3$	$k_{43,42}$
—	—	—
Element ③		
A	B	C
39	$5m-4$	$k_{43,39}$
43	$5m-3$	$k_{43,43}$
—	—	—

Element ④		
A	B	C
37	$5(m-1)-4$	$k_{44,37}$
41	$5(m-1)-3$	$k_{44,41}$
—	—	—
Element ⑤		
A	B	C
38	$5(n-1)-4$	$k_{44,38}$
42	$5(n-1)-3$	$k_{44,42}$
—	—	—
Element ⑥		
A	B	C
39	$5n-4$	$k_{44,39}$
43	$5n-3$	$k_{44,43}$
—	—	—

NODUL m

Element ①		
A	B	C
37	$5(1-1)-4$	$k_{42,37}$
41	$5(1-1)-3$	$k_{42,41}$
—	—	—
Element ②		
A	B	C
38	$5m-4$	$k_{42,38}$
42	$5m-3$	$k_{42,42}$
—	—	—
Element ③		
A	B	C
39	$5(m+1)-4$	$k_{42,39}$
43	$5(m+1)-3$	$k_{42,43}$
—	—	—

Element ④		
A	B	C
37	$5(m-1)-4$	$k_{41,37}$
41	$5m-3$	$k_{41,41}$
—	—	—
Element ⑤		
A	B	C
38	$5n-4$	$k_{41,38}$
42	$5n-3$	$k_{41,42}$
—	—	—
Element ⑥		
A	B	C
39	$5(n+1)-4$	$k_{41,39}$
43	$5(n+1)-3$	$k_{41,43}$
—	—	—

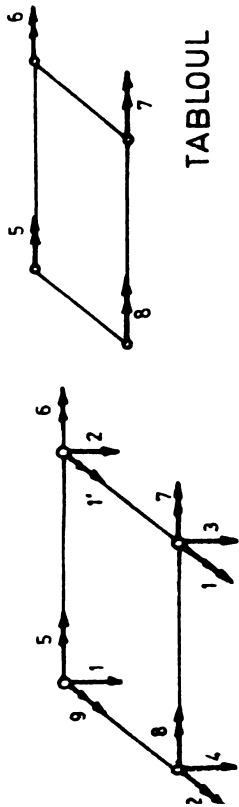
INSTITUTUL POLITEHNIC
 TIMISOARA
 BIBLIOTECA CENTRALA

Fig. III.15 . b.

TABELUL COEFICIENTILOR ECUAȚIEI 5m-3
 PROVENIȚI DIN CELE 8 ELEMENTE FINITE, CONCURRENTE ÎN NODUL

Nod	Indici coefic.	Componenta coeficientului	Nod	Indici coefic.	Componenta coeficientului
l-1	5m-3	k 43,37	q	5q-4	
	5m-3	k 43,31		5q-3	k 13,16 + k 14,15
	5m-3			5q-2	k 13,20 + k 14,19
	5m-3			5q-1	k 13,24 + k 14,23
	5m-3			5q	
l	5m-3	k 43,40 + k 42,37	r	5r-4	
	5m-3	k 43,44 + k 42,41		5r-3	k 14,16
	5m-3			5r-2	k 14,20
	5m-3			5r-1	k 14,24
	5m-3			5r	
s	5m-3		m+1	5(m+1)-4	k 42,39 + k 41,40
	5m-3			5(m+1)-3	k 42,43 + k 41,44
	5m-3			5(m+1)-2	k 14,17
	5m-3			5(m+1)-1	k 14,21
	5m-3			5(m+1)	
l+1	5m-3	k 42,40	n-1	5(n-1)-4	k 44,38
	5m-3	k 42,44		5(n-1)-3	k 44,42
	5m-3			5(n-1)-2	
	5m-3			5(n-1)-1	
	5m-3			5(n-1)	
m-1	5m-3	k 43,38 + k 44,37	v	5v-4	
	5m-3	k 43,42 + k 44,41, k 13,14		5v-3	
	5m-3	k 13,18		5v-2	
	5m-3	k 13,22		5v-1	
	5m-3			5v	
p	5m-3		n	5n-4	k 44,38 + k 41,38
	5m-3			5n-3	k 44,43 k 41,42
	5m-3			5n-2	
	5m-3			5n-1	
	5m-3			5n	
m	5m-3	k 43,39 + k 42,38 + k 44,40 + k 41,37	n+1	5(n+1)-4	k 41,39
	5m-3	k 43,43 + k 42,42 + k 44,44 + k 41,41		5(n+1)-3	k 41,43
	5m-3	k 13,17 + k 14,18		5(n+1)-2	
	5m-3	k 13,21 + k 14,22		5(n+1)-1	
	5m-3			5(n+1)	

Fig. III. 16



TABLOUL COEFICIENTILOR ECUAȚIEI $5m-1$
 PROVENIȚI DIN CELE 4 ELEMENTE FINITE DE PLACA, CONCURRENTE IN NODUL m .

A	B	C	A	B	C
1	$5(l-1)-2$	$k_{7,1}$	2	$5(m-1)-2$	$k_{7,2}$
5	$5(l-1)-1$	$k_{7,5}$	6	$5(m-1)-1$	$k_{7,6}$
9	$5(l-1)$	$k_{7,9}$	10	$5(m-1)$	$k_{7,10}$

Element (1)

A	B	C	A	B	C
4	$5l-2$	$k_{7,4}$	3	$5m-2$	$k_{7,3}$
8	$5l-1$	$k_{7,8}$	7	$5m-1$	$k_{7,7}$
12	$5l$	$k_{7,12}$	11	$5m$	$k_{7,11}$

A	B	C	A	B	C
1	$5(m-1)-2$	$k_{8,1}$	2	$5(n-1)-2$	$k_{8,2}$
5	$5(m-1)-1$	$k_{8,5}$	6	$5(n-1)-1$	$k_{8,6}$
9	$5(m-1)$	$k_{8,9}$	10	$5(n-1)$	$k_{8,10}$

Element (2)

A	B	C	A	B	C
4	$5m-2$	$k_{8,4}$	3	$5n-2$	$k_{8,3}$
8	$5m-1$	$k_{8,8}$	7	$5n-1$	$k_{8,7}$
12	$5m$	$k_{8,12}$	11	$5n$	$k_{8,11}$

NODUL

(m)

A	B	C	A	B	C
1	$5l-2$	$k_{6,1}$	2	$5m-2$	$k_{6,2}$
5	$5l-1$	$k_{6,5}$	6	$5m-1$	$k_{6,6}$
9	$5l$	$k_{6,9}$	10	$5m$	$k_{6,10}$

Element (4)

A	B	C	A	B	C
4	$5(l+1)-2$	$k_{6,4}$	3	$5(m+1)-2$	$k_{6,3}$
8	$5(l+1)-1$	$k_{6,8}$	7	$5(m+1)-1$	$k_{6,7}$
12	$5(l+1)$	$k_{6,12}$	11	$5(m+1)$	$k_{6,11}$

A	B	C	A	B	C
1	$5m-2$	$k_{5,1}$	2	$5n-2$	$k_{5,2}$
5	$5m-1$	$k_{5,5}$	6	$5n-1$	$k_{5,6}$
9	$5m$	$k_{5,9}$	10	$5n$	$k_{5,10}$

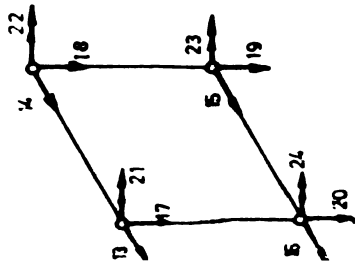
Element (3)

A	B	C	A	B	C
4	$5(m+1)-2$	$k_{5,4}$	3	$5(n+1)-2$	$k_{5,3}$
8	$5(m+1)-1$	$k_{5,8}$	7	$5(n+1)-1$	$k_{5,7}$
12	$5(m+1)$	$k_{5,12}$	11	$5(n+1)$	$k_{5,11}$

Fig. 17. a

TABLOUL COEFICIENTILOR ECUAȚIEI 5m-1

PROVENITI DIN CELE 4 ELEMENTE FINITE IN STARE PLANĂ, CONCURRENTE IN NODUL m.



A	B	C	A	B	C
13	5m-3	k _{21,13}	14	5(m-1)-3	k _{21,14}
17	5m-2	k _{21,17}	18	5(m-1)-2	k _{21,18}
21	5m-1	k _{21,21}	22	5(m-1)-1	k _{21,22}

Element (5)

A	B	C
15	5p-3	k _{21,15}
19	5p-2	k _{21,19}
23	5p-1	k _{21,23}

A	B	C

Element (7)

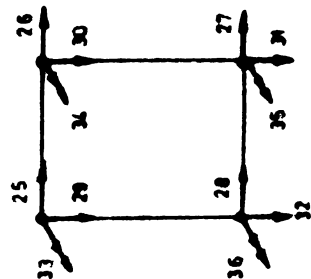
A	B	C

A	B	C

Element (8)

A	B	C

NODUL m



A	B	C	A	B	C
13	5(m+1)-3	k _{22,13}	14	5m-3	k _{22,14}
17	5(m+1)-2	k _{22,17}	18	5m-2	k _{22,18}
21	5(m+1)	k _{22,21}	22	5m-1	k _{22,22}

Element (6)

A	B	C
15	5q-3	k _{22,15}
19	5q-2	k _{22,19}
23	5q-1	k _{22,23}

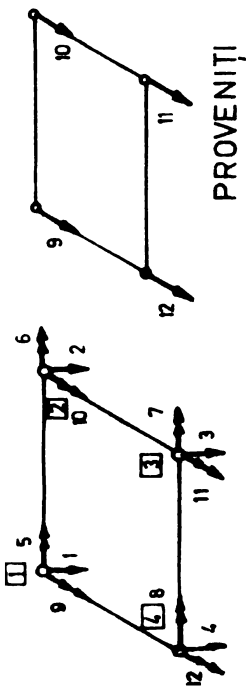
Fig. 17.b

TABELUL COEFICIENTILOR ECUAȚIEI 5m-1
 PROVENIȚI DIN CELE 8 ELEMENTE FINITE, CONCURRENTE ÎN NODUL m

Nod	Indici coef.	Componenta coeficientilor	Nod	Indici coef.	Componenta coeficientilor
l-1	5m-1	5(l-1)-4	q	5q-4	
	5m-1	5(l-1)-3		5q-3	k 21,16 + k 22,15
	5m-1	5(l-1)-2		5q-2	k 21,20 + k 22,19
	5m-1	5(l-1)-1		5q-1	k 21,24 + k 21,23
	5m-1	5(l-1)		5q	
l	5m-1	5l-4	r	5r-4	
	5m-1	5l-3		5r-3	k 22,16
	5m-1	5l-2		5r-2	k 22,20
	5m-1	5l-1		5r-1	k 22,24
	5m-1	5l		5r	
	5m-1	5s-4		5(m+1)-4	
	5m-1	5s-3		5(m+1)-3	k 22,13
	5m-1	5s-2		5(m+1)-2	k 5,4 + k 6,3 + k 22,17
	5m-1	5s-1		5(m+1)-1	k 5,8 + k 6,7 + k 22,21
	5m-1	5s		5(m+1)	k 5,12 + k 6,11
l+1	5m-1	5(l+1)-4	n-1	5(n-1)-4	
	5m-1	5(l+1)-3		5(n-1)-3	
	5m-1	5(l+1)-2		5(n-1)-2	k 8,2
	5m-1	5(l+1)-1		5(n-1)-1	k 8,6
	5m-1	5(l+1)		5(n-1)	k 8,10
	5m-1	5(n-1)-4		5v-4	
	5m-1	5(n-1)-3		5v-3	
	5m-1	5(n-1)-2		5v-2	
m-1	5m-1	5(n-1)-1	v	5v-1	
	5m-1	5(n-1)		5v	
	5m-1	5p-4		5n-4	
	5m-1	5p-3		5n-3	
	5m-1	5p-2		5n-2	k 8,3 + k 5,2
	5m-1	5p-1		5n-1	k 8,7 + k 5,6
p	5m-1	5p	n	5n	k 8,11 + k 5,10
	5m-1	5p-4		5(n+1)-4	
	5m-1	5p-3		5(n+1)-3	
	5m-1	5p-2		5(n+1)-2	k 5,3
	5m-1	5p-1		5(n+1)-1	k 5,7
m	5m-1	5m	n+1	5(n+1)	k 5,11
	5m-1	5m-4			
	5m-1	5m-3			
	5m-1	5m-2		k 21,13 + k 22,14	
	5m-1	5m-1		k 7,3 + k 8,4 + k 5,1 + k 6,2 + k 21,17 + k 22,18	
	5m-1	5m		k 7,7 + k 8,8 + k 5,5 + k 6,6 + k 21,21 + k 22,22	
	5m-1	5m		k 7,11 + k 8,12 + k 5,9 + k 6,10	

OBS: Din elemente finite în stare plană din înțimă gr. principale nu intervin coef. pe direcția 5m-1

Fig. II. 18.



TABELUL COEFICIENȚILOR ECUAȚIEI 5m
PROVENIȚI DIN CELE 4 ELEMENTE DE PLACĂ, CONCURRENTE ÎN NODUL m.

A	B	C	A	B	C
1	$5(1-1)-2$	$k_{11,1}$	2	$5(m-1)-2$	$k_{11,2}$
5	$5(1-1)-1$	$k_{11,5}$	6	$5(m-1)-1$	$k_{11,6}$
9	$5(1-1)$	$k_{11,9}$	10	$5(m-1)$	$k_{11,10}$
Element ①					
A	B	C	A	B	C
4	$51-2$	$k_{11,4}$	3	$5m-2$	$k_{11,3}$
8	$51-1$	$k_{11,8}$	7	$5m-2$	$k_{11,7}$
12	51	$k_{11,12}$	11	$5m$	$k_{11,11}$

A	B	C	A	B	C
1	$5(m-1)-2$	$k_{12,1}$	2	$5(n-1)-2$	$k_{12,2}$
5	$5(m-1)-1$	$k_{12,5}$	6	$5(n-1)-1$	$k_{12,6}$
9	$5(m-1)$	$k_{12,9}$	10	$5(n-1)$	$k_{12,10}$
Element ②					
A	B	C	A	B	C
4	$5m-2$	$k_{12,4}$	3	$5n-2$	$k_{12,3}$
8	$5m-1$	$k_{12,8}$	7	$5n-1$	$k_{12,7}$
12	$5m$	$k_{12,12}$	11	$5n$	$k_{12,11}$

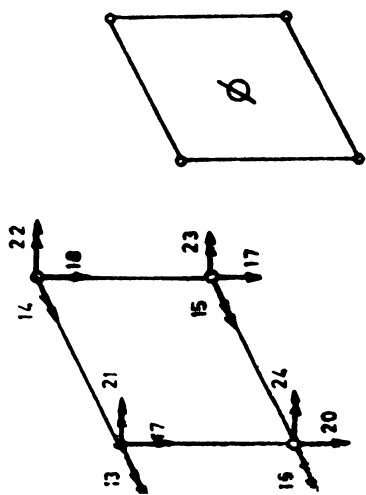
NODUL
m

A	B	C	A	B	C
1	$5(1-1)-2$	$k_{10,1}$	2	$5m-2$	$k_{10,2}$
5	$5(1-1)-1$	$k_{10,5}$	6	$5m-1$	$k_{10,6}$
9	$5(1-1)$	$k_{10,9}$	10	$5m$	$k_{10,10}$
Element ④					
A	B	C	A	B	C
4	$5(1+1)-2$	$k_{10,4}$	3	$5(m+1)-2$	$k_{10,3}$
8	$5(1+1)-1$	$k_{10,8}$	7	$5(m+1)-1$	$k_{10,7}$
12	$5(1+1)$	$k_{10,12}$	11	$5(m+1)$	$k_{10,11}$

A	B	C	A	B	C
1	$5m-2$	$k_{9,1}$	2	$5n-2$	$k_{9,2}$
5	$5m-1$	$k_{9,5}$	6	$5n-1$	$k_{9,6}$
9	$5m$	$k_{9,9}$	10	$5n$	$k_{9,10}$
Element ③					
A	B	C	A	B	C
4	$5(m+1)-2$	$k_{9,4}$	3	$5(n+1)-2$	$k_{9,3}$
8	$5(m+1)-1$	$k_{9,8}$	7	$5(n+1)-1$	$k_{9,7}$
12	$5(m+1)$	$k_{9,12}$	11	$5(n+1)$	$k_{9,11}$

Fig. III. 19.a

TABLOUL COEFICIENTILOR ECUAȚIEI SM
 PROVENITI DIN CELE 4 ELEMENTE FINITE IN STARE PLANĂ, CONCURRENTE
 IN NODUL m.



Elementul (5)		
A	B	C

Elementul (7)			Elementul (8)		
A	B	C	A	B	C
25	5l-4	k _{34,35}	25	5m-4	k _{33,25}
29	5l-2	k _{34,29}	29	5m-2	k _{33,29}
33	5l	k _{34,33}	33	5m	k _{33,33}
28	5s-4	k _{34,28}	28	5q-4	k _{33,28}
32	5s-2	k _{34,32}	32	5q-2	k _{33,32}
36	5s	k _{34,36}	36	5q	k _{33,36}

Elementul (6)		
A	B	C

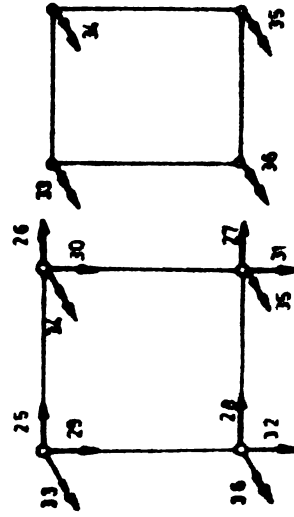


Fig. III. 19.b

TABELUL COEFICIENTILOR ECUATIEI 5m.
 PROVENITI DIN CELE 8 ELEMENTE FINITE CONCURRENTE IN NODUL m.

Nod.	Indici coefic	Componenta coeficientului	Nod	Indici coefic.	Componenta coeficientului
-1	5m		q	5q-4	k 34,27 + k 33,28
	5m			5q-3	
	5m	k 11,1		5q-2	k 34,31 + k 33,32
	5m	k 11,5		5q-1	
	5m	k 11,9		5q	k 34,35 + k 33,36
l	5m	k 34,25	r	5r-4	
	5m			5r-3	
	5m	k 11,4 + k 10,1		5r-2	
	5m	k 11,8 + k 10,5		5r-1	
	5m	k 11,12 + k 10,9		5r	
	5m			5(m+1)-4	
	5m			5(m+1)-3	
	5m			5(m+1)-2	k 9,4 + k 10,3
	5m			5(m+1)-1	k 9,8 + k 10,7
	5m			5(m+1)	k 9,12 + k 10,11
+1	5m		m+1	5(m-1)-4	
	5m			5(m-1)-3	
	5m			5(m-1)-2	k 12,2
	5m	k 10,4		5(m-1)-1	k 12,6
	5m	k 10,8		5(m-1)	k 12,10
	5m			5v-4	
	5m			5v-3	
	5m	k 11,2 + k 12,1		5v-2	k 33,31
	5m	k 11,6 + k 12,5		5v-1	
	5m	k 11,10 + k 12,9		5v	k 33,35
m-1	5m		v	5v-4	k 33,27
	5m			5v-3	
	5m			5v-2	
	5m			5v-1	
	5m			5v	
	5m			5n-4	
	5m			5n-3	
	5m			5n-2	k 12,3 + k 9,2
	5m			5n-1	k 12,7 + k 9,6
	5m			5n	k 12,11 + k 9,10
p	5m		n	5(n+1)-4	
	5m			5(n+1)-3	
	5m			5(n+1)-2	k 9,3
	5m			5(n+1)-1	k 9,7
	5m			5(n+1)	k 9,11
	5m			5m	
	5m			5m-4	
	5m			5m-3	
	5m			5m-2	
	5m			5m-1	
m	5m		n+1	5(n+1)	
	5m			5(n+1)-4	
	5m			5(n+1)-3	
	5m			5(n+1)-2	
	5m			5(n+1)-1	
	5m			5n	
	5m			5(m-1)-4	
	5m			5(m-1)-3	
	5m			5(m-1)-2	
	5m			5(m-1)-1	

Fig. II. 20 OBS: Din elemente finite in stare plana din inima antretoazelor nu intervin coef. pe directia 5m

Autorul a aplicat acest procedeu pentru studiul stării de tensiune și de deformație a structurii de rezistență a porții de ecluză bascată, SISM - Porțile de Fier II - Gruia și a modelului acestei porți (executat și încercat în laboratorul de încercări al C.C.P.B.H. - Timișoara).

Rezultatele calculelor sînt expuse la Cap. V.

B I B L I O G R A F I E

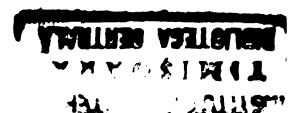
1. Ciomocoș F.D. - Calculul structurii de rezistență a porților de ecluză cu metoda elementelor finite. Simpozionul colectivului catedrei construcții metalice - I.P.Timisoara - 23 iunie 1978.
2. Ciomocoș F.D. - Discretizarea structurii de rezistență a porților de ecluză cu elemente finite identice. Sesiunea jubiliară I.P.Cluj - Lapoca 22-29 octombrie 1976.
3. Gheorghiu A.I. - Concepții moderne în calculul structurilor. Editura tehnică, București 1975.
4. Gunhard - Aestius Oraves - Reformation of Ring Girdes Stiffening thin shells of Rotation. Memoires Abhandlungen Publication, 1954.
5. Hiroshi Ayanoto, - Application of the finite element method to the mechanics of fracture. Journal of the Faculty of Engineering the University of Tokyo. sept. 1974.
6. Haung - Han Chu - Secondary Moments, and Rotations, Inflection Points and Elastic Buckling Loads of Arched Members. Memoires Abhandlungen Publications, 1959.
7. Masao Murakami - On the analysis of a skew girder bridge by the theory of orthotropic parallelogram plates. Memoires Abhandlungen Publications, 1953.
8. Masconnet Ch. - Plaque et coque cylindriques orthotropes a nervures dissymétriques. Memoires Abhandlungen Publication, 1953.

9. Massonnet Gh.,
Deprez G. - Calculul structurilor la calculatoare electronice (traducere din limba engleză). Editura tehnică, 1972.
10. Oblemenco Gh. - Considerații privind alcătuirea matricei generale de rigiditate a unei structuri de rezistență din elemente structurale idealizate. Revista construcțiilor, 1973.
11. Oblomeno Gh. - Contribuții privind calculul static și de stabilitate a structurilor complex static nedeterminate cu aplicații directe la calculul plăcilor ortotrope. Teza de doctorat, I.C.P.T.T. București, 1975.
12. Pelikan W. - Die Stahlfahrbahn. Berechnung und Konstruktion. M.A.N. Forschungsheft nr. 7/1957.
13. Ping - Chung - Wang - Metode numerice și materiale în mecanica construcțiilor (traducere din limba engleză). Editura tehnică, București 1970.
14. Frezemieniecki J.S. - Theory of matrix structural analysis Mc. Graw - Hill Book Company.

CAPITOLUL

IV

CALCULUL PORTILOR DE ECLUZA CU
METODA RETELOR DE GRINZI UTILIZAND ELEMENTELE
FINITE DE BARA



1. INTRODUCERE

Metoda rețelelor de grinzi a fost utilizată în lucrare la calculul eforturilor în structura de rezistență a unui număr de patru porți de ecluză:

- Poarta buscată de la ecluzele Porțile de Fier I.
- Poarta buscată de la ecluzele Porțile de Fier II Gruia.
- Poarta plană de la ecluzele Lanaye Belgia.
- Modelul porții buscate - Porțile de Fier II -Gruia

În calculele cu această metodă structura de rezistență se consideră ca o rețea de bare pe cele două direcții (ve rețelele de grinzi prezentate la cap. V.):

- pe direcția orizontală-grinzile principale;
- pe direcție verticală-antretoazele.

Fiecare bară se consideră ca un element finit de grindă. În alcătuirea secțiunilor transversale ale acestor elemente de grindă s-a luat în considerare și o porțiune din tola metalică. Lățimea de conlucrare a tolei s-a considerat aceeași ca și în proiectele de execuție ale porților de ecluze amintit aceasta pentru a putea realiza și comparația între rezultatele obținute cu această metodă și rezultatele cu calculele actuale din proiectare.

Calculul fiind matricial, se determină matricea de rigiditate $[k]$ pentru elementele de grindă, iar apoi matricea de rigiditate a structurii, pe aceleași principii ca și la Cap. III.

2. DETERMINAREA MATRICEI DE RIGIDITATE A ELEMENTULUI DE GRINDA.

Se consideră elementul finit de grindă din fig. IV.1, asupra căruia acționează cele 12 forțe generalizate:

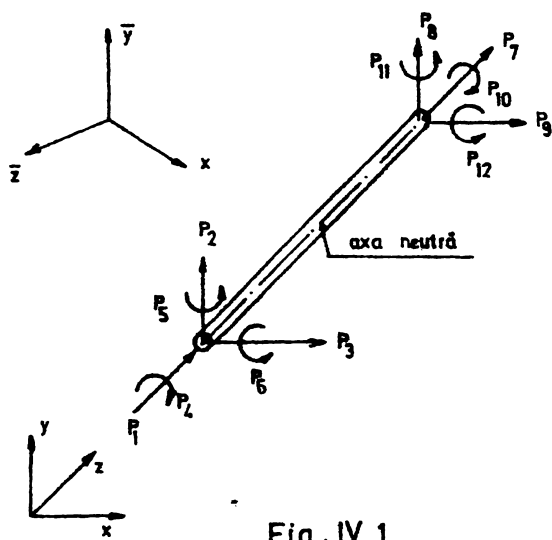


Fig. IV.1

P_1, P_7 - forțele axiale
 P_2, P_3, P_8, P_9 - forțele tăietoare
 P_5, P_6, P_{11}, P_{12} - momentele încovoietoare
 P_4, P_{10} - momentele de torziune.

Deplasările corespunzătoare sînt $u_1 \dots u_{12}$.

Acestea sînt pozitive dacă se produc în sensul pozitiv al forțelor generalizate.

Pentru determinarea relațiilor dintre forță - deformare, caracteristicile de rigiditate ale unui element de grindă rezultă direct din ecuațiile diferențiale ale deformațiilor grinzii utilizate în teoria inginerescă.

Deoarece se presupune că planele de încovoiere xoy și xoz coincid cu axele principale ale secțiunii transversale și că axa O_x coincide cu axa grinzii, cele 12 forțe se pot separa în 6 grupe, care se consideră independent.

Forțele axiale P_1 și P_7 .

Ecuația diferențială pentru deplasarea axială "u" a unei grinzi acționată de forțele P_1 și P_7 (fig. IV.3) este:

$$P_1 = - EA \frac{du}{dx} \quad (IV.1)$$

Ecuația (IV.2) se poate integra direct și rezultă:

$$P_{1x} = - uEA + C \quad (IV.2)$$

unde C_1 este o constantă de integrare care se determină din condiții de margine (conf. fig.

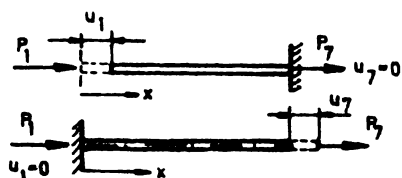


Fig. IV.2

$$C_1 = P_1 \cdot l \quad (\text{IV.3})$$

Folosind ecuația (IV.2) și (IV.3) pentru $x = 0$ se obține:

$$P_1 = \frac{EA}{l} u_1 \quad (\text{IV.4})$$

De asemeni din ecuația de echilibru după axa x rezultă:

$$P_1 = - P_7 \quad (\text{IV.5})$$

Interpretarea algebrică a relației forță deplasare $P = k u$ poate fi folosită pentru definiția individuală a coeficienților de rigiditate K_{ij} . De exemplu, K_{ij} reprezintă efortul pe direcția forței P_i datorită deplasării unitare pe direcția j (u_j) când toate celelalte deplasări sînt zero.

Deci:

$$K_{11} = \frac{P_1}{u_1} = \frac{EA}{l} \quad (\text{IV.6})$$

și

$$K_{71} = \frac{P_7}{u_1} = - \frac{EA}{l} \quad (\text{IV.7})$$

Similar dacă $u_1 = 0$ și $u_7 \neq 0$ rezultă:

$$K_{77} = \frac{EA}{l} \quad (\text{IV.8})$$

Momentele de răsucire P_4 și P_{10} .

Ecuația diferențială a unghiului de răsucire θ a unei grinzi acționată de momentele de răsucire P_4 și P_{10} (fig.IV.3) este:

$$P_4 = - G J \frac{d\theta}{dx} \quad (\text{IV.9})$$

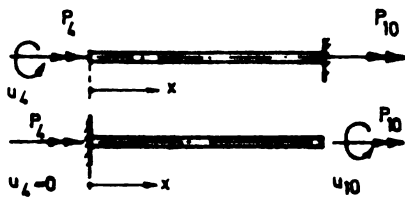


Fig. IV.3

Integrînd ecuația (IV.9) se obține:

$$P_4 \cdot x = - G J \theta + C_1 \quad (\text{IV.10})$$

și folosind condiția de margine $\theta = 0$ la $x = l$ rezultă:

$$C_1 = P_4 \cdot l \quad (\text{IV.11})$$

Din $\theta = u_4$ la $x = 0$ și din (IV.10) și (IV.11) rezultă:

$$P_4 = \frac{GJ}{\ell} u_4 \quad (IV.12)$$

Folosind ecuația de echilibru a momentelor de răsucire din fig. IV.3 se obține:

$$P_{10} = - P_4 \quad (IV.12)'$$

Deci:

$$K_{44} = \frac{P_4}{u_4} = \frac{GJ}{\ell} \quad (IV.13)$$

$$K_{10\ 4} = \frac{P_{10}}{u_4} = \frac{-GJ}{\ell} \quad (IV.14)$$

Similar dacă $u_4 = 0$ se poate arăta că :

$$K_{10\ 10} = \frac{GJ}{\ell} \quad (IV.15)$$

Forțele tăietoare P_2 și P_6 .

Deformația laterală V a unei grinzi supusă la acțiunea forțelor tăietoare cu momentele (fig.IV.4) este dată de :

$$V = V_b + V_3 \quad (IV.16)$$

unde V_b este deformația laterală dată de efortul de încovoiere iar V_3 este deformația suplimentară dată de eforturile de tăiere.

$$\frac{dV_3}{dx} = \frac{-P_2}{GA_B} \quad (IV.17)$$

unde A_B reprezintă aria efectivă a secțiunii transversale la tăiere.

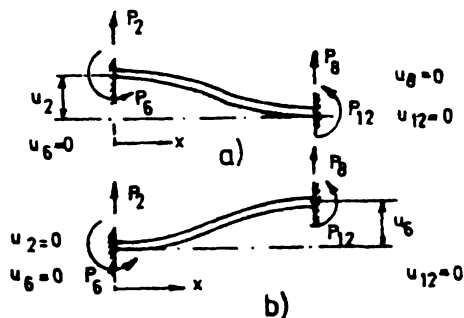


Fig. IV. 4.

Deformația din încovoiere pentru grinda din fig.IV.5 a este dată de ecuația diferențiată :

$$EI_z \frac{d^2 V_b}{dx^2} = P_2 \cdot x - P_6 \quad (IV.18)$$

Prin integrarea ecuației (IV.27) și (IV.28) rezultă:

$$EI_z \cdot v = \frac{P_2 x^3}{6} - \frac{P_6 x^2}{2} + \left(C_1 - \frac{P_2 EI_z}{GA_s} \right) x + C_2 \quad (IV.19)$$

unde C_1 și C_2 sînt constante de integrare care se determină din condițiile de margine:

$$\frac{dv}{dx} = \frac{dv_s}{dx} = \frac{-P_2}{GA_s} \quad \text{la } x = 0, \quad x = l \quad (IV.20)$$

$$v = 0 \quad \text{la } x = l \quad (IV.21)$$

Ecuația (IV.19) devine :

$$EI_z v = \frac{P_2 \cdot x^3}{6} - \frac{P_6 \cdot x^2}{2} - \frac{P_2 \cdot \vartheta \cdot x \cdot l^2}{12} + (l + \vartheta) \frac{l^3 \cdot P_2}{12} \quad (IV.22)$$

unde:

$$P_6 = \frac{P_2 \cdot l}{2} \quad (IV.23)$$

$$\text{și } \vartheta = \frac{12 \cdot EI_z}{GA_s l^2} \quad (IV.24)$$

Din ecuațiile de echilibru rezultă :

$$P_8 = -P_2 \quad (IV.25)$$

$$\text{și } P_{12} = -P_6 + P_2 l \quad (IV.26)$$

Se știe că la $x = 0$ $v = u_2$ și de aici ec. (IV.22)

devine:

$$u_2 = (1 + \vartheta) \frac{l^3 P_2}{12 EI_z} \quad (IV.27)$$

Înlocuind relația (IV.23) și (IV.25) în (IV.27) se

obține:

$$K_2 = \frac{P_2}{u_2} = \frac{12 EI_z}{(1 + \vartheta) l^3} \quad (IV.28)$$

$$K_6 = \frac{P_6}{u_2} = \frac{P_2 \cdot l}{2u_2} = \frac{6 EI_z}{(1 + \vartheta) l^2} \quad (IV.29)$$

$$K_8 = \frac{P_8}{u_2} = \frac{-12 EI_z}{(1 + \vartheta) l^3} \quad (IV.30)$$

$$K_{12 \ 2} = \frac{P_{12}}{u_2} = \frac{(-P_6 + P_2 \cdot l)}{u_2} = \frac{6 EI_z}{(1 + \phi) l^2} \quad (IV.31)$$

Procedind similar cu grinda din fig. IV. 4 b se obține:

$$K_{9 \ 3} = K_{2 \ 2} = \frac{12 EI_z}{(1 + \phi) l^3} \quad (IV.32)$$

$$K_{12 \ 3} = -K_{6 \ 2} = \frac{-6 EI_z}{(1 + \phi) l^2} \quad (IV.33)$$

Momentele încovoietoare P_6 și P_{12} .

Pentru determinarea coeficienților de rigiditate asociați rotațiilor u_6 și u_{12} , grinda este solicitată de momente încovoietoare asociate cu tăierea așa cum se vede în fig. IV.5. Deformațiile se pot determina din ecuația (IV.22) unde constantele de integrare C_1 și C_2 se vor calcula conform fig. IV.5

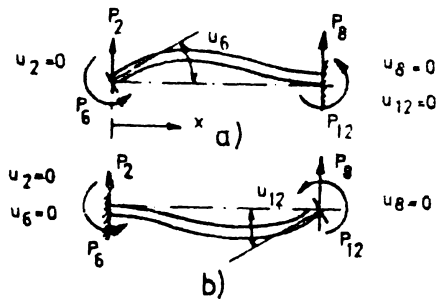


Fig. IV.5

Folosind condițiile de margine din fig. IV.5.a :

$$v = 0 \text{ la } x = 0 \text{ și } x = l \quad (IV.34)$$

$$\text{și } \frac{dv}{dx} = \frac{dv_s}{dx} = -\frac{P_2}{GA_s} \text{ la } x = l \quad (IV.35)$$

relația (IV.22) devine:

$$EI_z v = \frac{P_2}{6} (x^3 - l^2 x) + \frac{P_6}{2} (l x - x^2) \quad (IV.36)$$

și

$$P_2 = \frac{6 P_6}{(4 + \phi) l} \quad (IV.37)$$

pentru $x = 0$ $\frac{dv_6}{dx} = \frac{dv}{dx} - \frac{dv_s}{dx} = u_6 \quad (IV.38)$

sau

$$u_6 = \frac{P_6}{EI_z} \frac{(1 + \phi) l}{(4 + \phi)} \quad (IV.39)$$

Resultă din relațiile (IV.25), (IV.36), (IV.27) și (IV.29) :

$$K_{6,6} = \frac{P_6}{u_6} = \frac{(4 + \nu) EI_z}{(1 + \nu) l} \quad (\text{IV.40})$$

$$K_{8,6} = \frac{P_8}{u_6} = \frac{-P_2}{u_6} = -\frac{6 EI_z}{(1 + \nu) l^2} \quad (\text{IV.41})$$

$$K_{12,6} = \frac{P_{12}}{u_6} = \frac{-P_6 + P_2}{u_6} = \frac{(2 - \nu) EI_z}{(1 + \nu) l} \quad (\text{IV.42})$$

Procedînd identic în fig. IV.5 b rezultă :

$$K_{12,12} = K_{6,6} = \frac{(4 + \nu) EI_z}{(1 + \nu) l} \quad (\text{IV.43})$$

Forțele tăietoare P_2 și P_9 .

Coeficienții de rigiditate asociați deplasărilor u_3 și u_9 pot fi transmiși direct din rezultatele precedente.

$$K_{3,3} = K_{2,2} \quad (\text{IV.44})$$

$$K_{5,3} = -K_{6,2} \quad (\text{IV.45})$$

$$K_{9,3} = K_{8,2} \quad (\text{IV.46})$$

$$K_{11,3} = -K_{12,2} \quad (\text{IV.47})$$

$$K_{9,9} = K_{8,8} \quad (\text{IV.48})$$

$$K_{11,9} = -K_{12,8} \quad (\text{IV.49})$$

Momentele încovoietoare P_5 și P_{11} .

Si coeficienții de rigiditate asociați deformațiilor u_5 și u_{11} se pot scrie direct din rezultatele precedente :

$$K_{5,5} = K_{6,6} \quad (\text{IV.50})$$

$$K_{9,5} = -K_{8,6} \quad (\text{IV.51})$$

$$K_{11,5} = K_{12,6} \quad (\text{IV.52})$$

Rezultatele obținute pot fi asamblate într-o ecuație matricială de forma : (IV.53)

Dacă se neglijează efectul forței tăietoare ($\theta_y = 0$) matricea de rigiditate din relația IV.56 devine:

$$[k] = \frac{EI_z}{l^3} \begin{bmatrix} \frac{Al^2}{I_z} & & & & & & \\ 0 & 12 & & & & & \\ 0 & 6l & 4l^2 & & & & \\ -\frac{Al^2}{I_z} & 0 & 0 & \frac{Al^2}{I_z} & & & \\ 0 & -12 & -6l & 0 & 12 & & \\ 0 & 6l & 2l^2 & 0 & -6l & 4l^2 & \end{bmatrix} \quad \text{S I M E T R I C} \quad (IV.57)$$

3. Expunerea metodei rețelelor de grinzi cu utilizarea elementelor finite de grindă (bară).

În această metodă autorul a împărțit structura complexă într-un sistem de rețele de bare orizontale și verticale. Barele orizontale (1 și 2) discretizează grinzile principale ale structurii de rezistență a porții de ecluză, iar barele verticale (3 și 4) discretizează antretoazele acesteia. Aceste bare sînt legate între ele în noduri. (Fig. IV.7).

Pentru prezentarea modului de alcătuire al matricii generale de rigiditate a structurii se studiază un nod oarecare, m (fig. IV.7). În acest nod concură 4 elemente finite de bază. Considerînd acest nod cu toate elementele finite adiacente nodului, se pot determina coeficienții de rigiditate ai tuturor ecuațiilor (liniilor) în metoda deplasărilor prin același procedeu care a fost utilizat și la Cap. III.5.2.

Spre exemplu, dacă se urmărește determinarea ecuației (liniei) $3m-2$ (conform fig. IV.7.b) se presupun toate nodurile blocate, pe direcția celor 3 deplasări generalizate (adoptate conform fig. IV.7.b) în afară de cîte una din direcții, pentru care se aplică o deplasare unitară. Rezultă în acest fel efortul care se produce după direcția $3m-2$. În acest mod

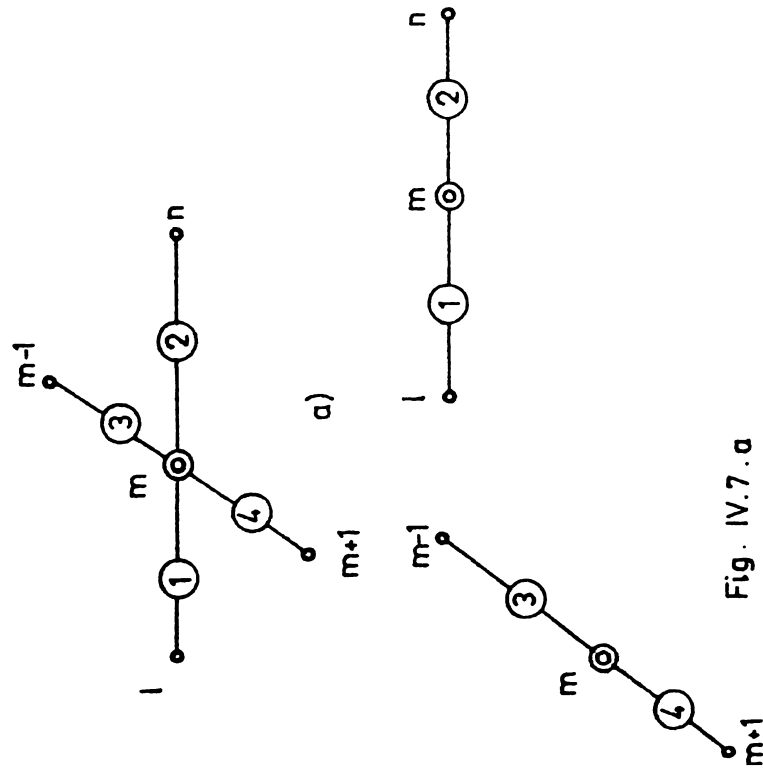
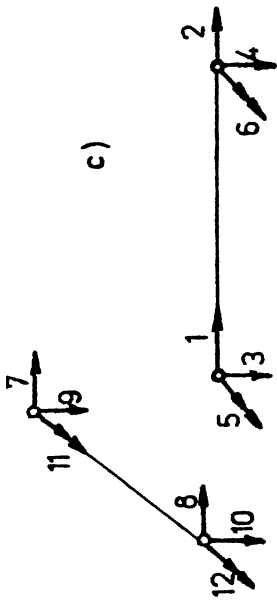
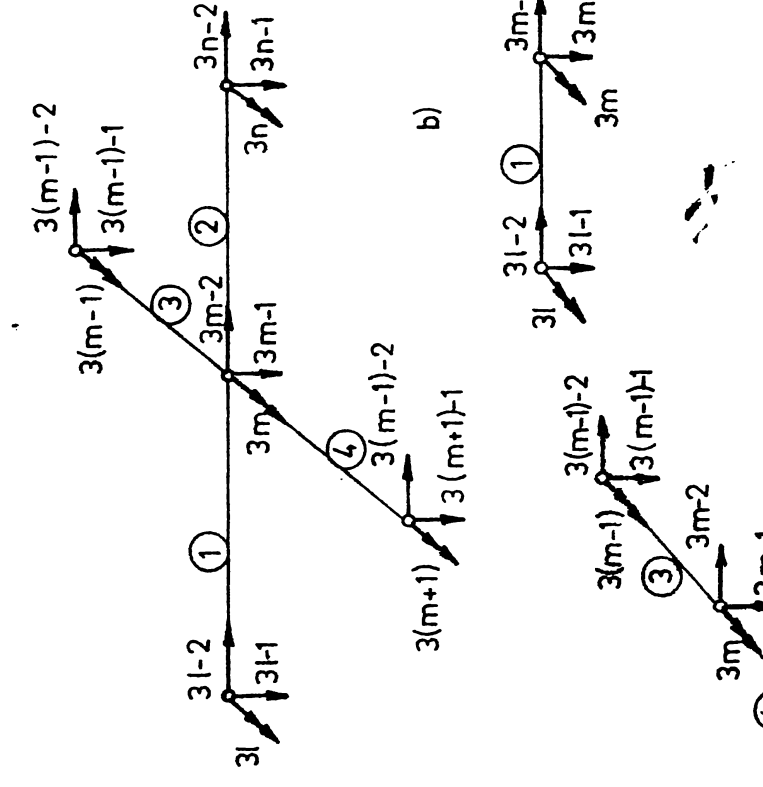


Fig. IV.7. a

Numerotarea elementelor finite de bară concurente în nodul m , respectiv numerotarea nodurilor acestor elemente.



b)

Fig. IV.7. b. c.

Numerotarea deplasărilor generalizate ce se aplică la nodurile elementelor finite

Fig. IV.7.

se pot calcula toți coeficienții care alcătuiesc o ecuație (linie) în matricea de rigiditate.

Presupunând matricea generală de rigiditate:

$$k_{i,j} \begin{cases} i = 1, \dots, 6 \\ j = 1, \dots, 6 \end{cases}$$

a elementului finit raportată la numărătoarea deplasărilor generalizate adoptată în fig. IV.7.c. se poate defini un mod de lucru similar cu cel al operatorului central cu diferențe finite. Se alcătuiește un tabel sub forma unui "operator" în care sînt prezentați coeficienții care provin din deplasările unitare menționate mai sus, și care nu reprezintă altceva decît eforturile ce se produc pe direcția $3m-2$.

Acești coeficienți se deduc foarte simplu din coeficienții matricei $[k]$ iar pozițiile lor în ecuație sînt indicate de numărul pe care-l au conform fig. IV.7.b. Dacă se dă, spre exemplu, o deplasare unitară pe direcția $3l-2$ a elementului de bară 1, cu toate celelalte direcții blocate, va apare în nodul m pe direcția $3m-2$ un efort $k_{2,7}$ (conform fig. IV.7.c.) adică $k_{3m-2, 3l-2}$ (conform fig. IV.58.b). Similar dînd o deplasare unitară pe direcția $3n-1$ va apare pe direcția $3m-2$, efortul $k_{3,4}$, de la elementul finit 2.

Coeficientul necunoscutei principale pe direcția $3m-2$ va avea forma:

$$k_{3m-2, 3m-2} = k_{2,2} + k_{1,1} + k_{8,8} + k_{7,7}$$

provenit după cum urmează:

$k_{2,2}$ - de la elementul finit de bară 1

$k_{1,1}$ - de la elementul finit de bară 2

$k_{8,8}$ - de la elementul finit de bară 3

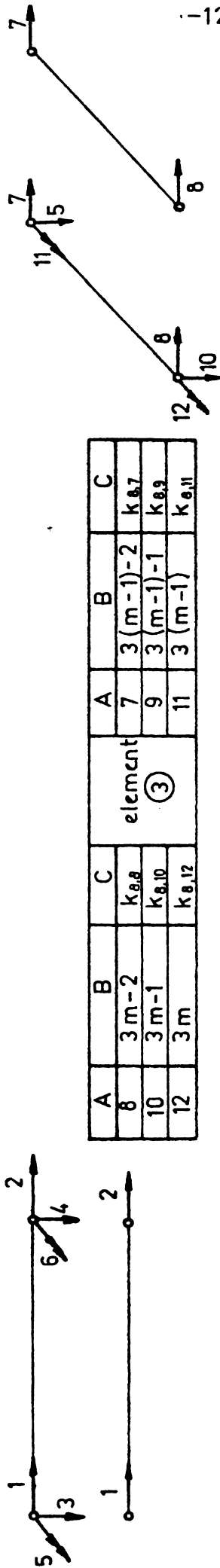
$k_{7,7}$ - de la elementul finit de bară 4

asa cum sînt prezentate și în tabloul coeficienților ecuației $3m-2$ (fig. IV.8) și în tabelul centralizator al coeficienților ecuației $3m-2$ (fig. IV.9).

În mod similar s-a procedat și după celelalte direcții obținînd tabelele din fig. IV.10, 11, 12, 13.

Modul de alcătuire al ecuațiilor prezentate în aceste tabele permite utilizarea lor, direct, la scrierea în limbajele de programare automată.

TABLOUL COEFICIENTILOR ECUATIEI $3m-2$
 PROVENITI DIN CELE PATRU ELEMENTE FINITE DE BARA, CONCURRENTE IN DODUL m



A	B	C	A	B	C
8	$3m-2$	$k_{8,8}$	7	$3(m-1)-2$	$k_{8,7}$
10	$3m-1$	$k_{8,10}$	9	$3(m-1)-1$	$k_{8,9}$
12	$3m$	$k_{8,12}$	11	$3(m-1)$	$k_{8,11}$

element ③

A	B	C	A	B	C
1	$3l-2$	$k_{2,1}$	2	$3m-2$	$k_{2,2}$
3	$3l-1$	$k_{2,3}$	4	$3m-1$	$k_{2,4}$
5	$3l$	$k_{2,5}$	6	$3m$	$k_{2,6}$

element ①

A	B	C	A	B	C
1	$3m-2$	$k_{1,1}$	2	$3n-2$	$k_{1,2}$
3	$3m-1$	$k_{1,3}$	4	$3n-1$	$k_{1,4}$
5	$3m$	$k_{1,5}$	6	$3n$	$k_{1,6}$

element ②

A	B	C	A	B	C
7	$3m-2$	$k_{7,7}$	8	$3(m+1)-2$	$k_{7,8}$
9	$3m-1$	$k_{7,9}$	10	$3(m+1)-1$	$k_{7,10}$
11	$3m$	$k_{7,11}$	12	$3(m+1)$	$k_{7,12}$

element ④

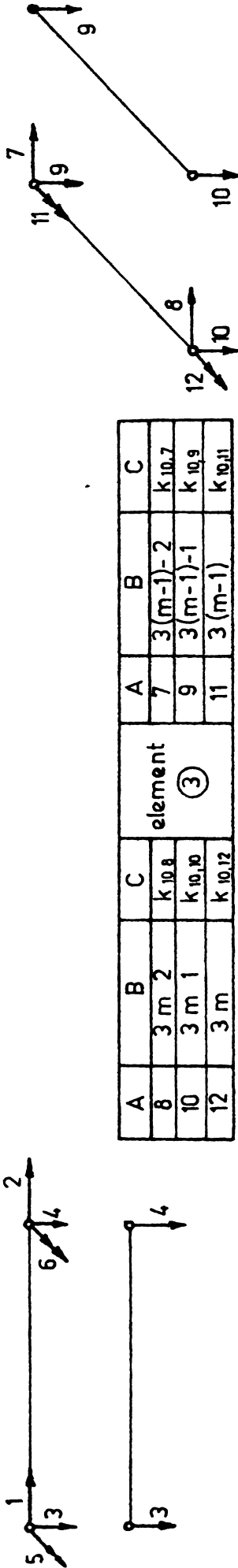
Fig. IV. 8

TABELUL CENTRALIZATOR AL COEFICIENTILOR ECUATIEI
 3_{m-2} PROVENITI DIN CELE 4 ELEMENTE FINITE DE
 BARA CONCURENTE IN NODUL „m”

Nod	Indici coeficienți		Componența coeficienților
1	3_{m-2}	3_{1-2}	$k_{2,1}$
	3_{m-2}	3_{1-1}	$k_{2,3}$
	3_{m-2}	3_1	$k_{2,5}$
m-1	3_{m-2}	$3_{(m-1)-2}$	$k_{8,7}$
	3_{m-2}	$3_{(m-1)-1}$	$k_{8,9}$
	3_{m-2}	$3_{(m-1)}$	$k_{8,11}$
m	3_{m-2}	3_{m-2}	$k_{2,2} + k_{1,1} + k_{8,8} + k_{7,7}$
	3_{m-2}	3_{m-1}	$k_{2,4} + k_{1,3} + k_{8,10} + k_{7,9}$
	3_{m-2}	3_m	$k_{2,6} + k_{1,5} + k_{8,12} + k_{7,11}$
m+1	3_{m-2}	$3_{(m+1)-2}$	$k_{7,8}$
	3_{m-2}	$3_{(m+1)-1}$	$k_{7,10}$
	3_{m-2}	$3_{(m+1)}$	$k_{7,12}$
n	3_{m-2}	3_{n-2}	$k_{1,2}$
	3_{m-2}	3_{n-1}	$k_{1,4}$
	3_{m-2}	3_n	$k_{1,6}$

Fig. IV. 9.

TABLOUL COEFICIENTILOR ECUATIEI $3m-1$,
 PROVENITI DIN CELE PATRU ELEMENTE FINITE DE BARA, CONCURENTE IN NODUL m .



A	B	C	element	A	B	C
8	$3m-2$	$k_{10,8}$	③	7	$3(m-1)-2$	$k_{10,7}$
10	$3m-1$	$k_{10,10}$		9	$3(m-1)-1$	$k_{10,9}$
12	$3m$	$k_{10,12}$		11	$3(m-1)$	$k_{10,11}$

A	B	C	element	A	B	C
1	$3l-2$	$k_{4,1}$	①	2	$3m-2$	$k_{4,2}$
3	$3l-1$	$k_{4,3}$		4	$3m-1$	$k_{4,4}$
5	$3l$	$k_{4,5}$		6	$3m$	$k_{4,6}$

A	B	C	element	A	B	C
1	$3m-2$	$k_{3,1}$	②	2	$3n-2$	$k_{3,2}$
3	$3m-1$	$k_{3,3}$		4	$3n-1$	$k_{3,4}$
5	$3m$	$k_{3,5}$		6	$3n$	$k_{3,6}$

NODUL m

A	B	C	element	A	B	C
7	$3m-2$	$k_{9,7}$	④	8	$3(m+1)-2$	$k_{9,8}$
9	$3m-1$	$k_{9,9}$		10	$3(m+1)-1$	$k_{9,10}$
11	$3m$	$k_{9,11}$		12	$3(m+1)$	$k_{9,12}$

INSTITUTUL POLITEHNIC
 TIMIȘOARA
 BIBLIOTECA CENTRALĂ

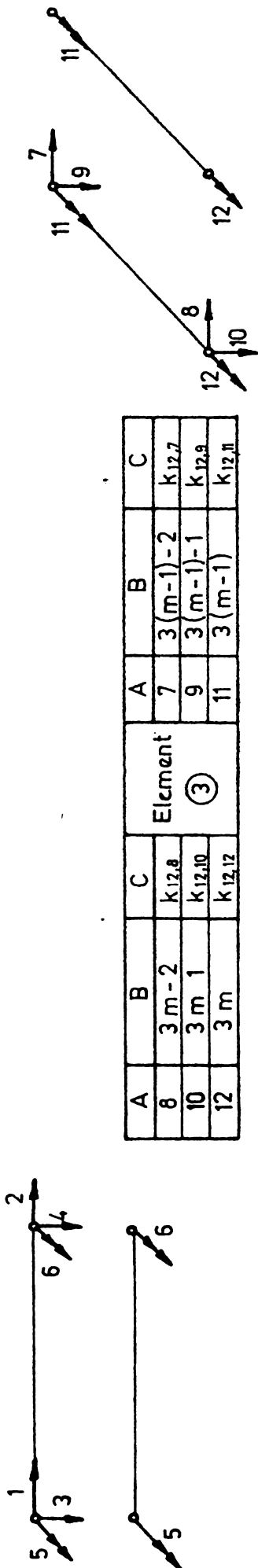
Fig. IV. 10.

TABELUL CENTRALIZATOR AL COEFICIENTILOR ECUATIEI $3m-1$ PROVENITI DIN CELE 4 ELEMENTE FINITE DE BARA CONCURENTE IN NODUL „m”

Nod	Indici coeficienți		Componența coeficienților
1	3_{m-1}	3_{1-2}	$k_{4,1}$
	3_{m-1}	3_{1-1}	$k_{4,3}$
	3_{m-1}	3_1	$k_{4,5}$
m-1	3_{m-1}	$3_{(m-1)-2}$	$k_{10,7}$
	3_{m-1}	$3_{(m-1)-1}$	$k_{10,9}$
	3_{m-1}	$3_{(m-1)}$	$k_{10,11}$
m	3_{m-1}	3_{m-2}	$k_{4,2} + k_{3,1} + k_{10,8} + k_{9,7}$
	3_{m-1}	3_{m-1}	$k_{4,4} + k_{3,3} + k_{10,10} + k_{9,9}$
	3_{m-1}	3_m	$k_{4,6} + k_{3,5} + k_{10,12} + k_{9,11}$
m+1	3_{m-1}	$3_{(m-1)-2}$	$k_{9,8}$
	3_{m-1}	$3_{(m-1)-1}$	$k_{9,10}$
	3_{m-1}	$3_{(m-1)}$	$k_{9,12}$
n	3_{m-1}	3_{n-2}	$k_{3,2}$
	3_{m-1}	3_{n-1}	$k_{3,4}$
	3_{m-1}	3_n	$k_{3,6}$

Fig. IV. 11.

TABLOUL COEFICIENTILOR ECUATIEI $3m$
 PROVENITI DIN CELE PATRU ELEMENTE FINITE DE BARĂ, CONCURRENTĂ IN NODUL m .



Element ③		Element ④	
A	B	C	C
6	$3m-2$	$k_{12,8}$	$k_{12,7}$
10	$3m-1$	$k_{12,10}$	$k_{12,9}$
12	$3m$	$k_{12,12}$	$k_{12,11}$

Element ①		Element ②	
A	B	C	C
1	$3l-2$	$k_{6,1}$	$k_{6,2}$
3	$3l-1$	$k_{6,3}$	$k_{6,4}$
5	$3l$	$k_{6,5}$	$k_{6,6}$

Element ②		Element ③	
A	B	C	C
1	$3m-2$	$k_{5,1}$	$k_{5,2}$
3	$3m-1$	$k_{5,3}$	$k_{5,4}$
5	$3m$	$k_{5,5}$	$k_{5,6}$

Element ④		Element ⑤	
A	B	C	C
4	$3(m+1)-2$	$k_{11,7}$	$k_{11,8}$
9	$3(m+1)-1$	$k_{11,9}$	$k_{11,10}$
11	$3(m+1)$	$k_{11,11}$	$k_{11,12}$

Fig. IV. 12.

TABELUL CENTRALIZATOR AL COEFICIENTILOR ECUATIEI
 3_m PROVENITI DIN CELE 4 ELEMENTE FINITE DE
 BARA CONCURENTE IN NODUL „ m ”

Nod	Indici coeficienți		Componența coeficienților
l	3 m	3_{l-2}	$k_{6,1}$
	3 m	3_{l-1}	$k_{6,3}$
	3 m	3_l	$k_{6,5}$
m-1	3 m	$3_{(m-1)-2}$	$k_{12,7}$
	3 m	$3_{(m-1)-1}$	$k_{19,9}$
	3 m	$3_{(m-1)}$	$k_{12,11}$
m	3 m	3_{m-2}	$k_{6,2} + k_{5,1} + k_{12,8} + k_{11,7}$
	3 m	3_{m-1}	$k_{6,4} + k_{5,3} + k_{12,10} + k_{11,9}$
	3 m	3_m	$k_{6,6} + k_{5,5} + k_{12,12} + k_{11,11}$
m+1	3 m	$3_{(m+1)-2}$	$k_{11,2}$
	3 m	$3_{(m+1)-1}$	$k_{11,10}$
	3 m	$3_{(m+1)}$	$k_{11,12}$
n	3 m	3_{n-2}	$k_{5,2}$
	3 m	3_{n-1}	$k_{5,4}$
	3 m	3_n	$k_{5,6}$

Fig. IV. 13.

Procedeul expus are marele avantaj că se prezintă compact în programare, obținându-se starea de eforturi și de deformație pe ansamblul structurii, ținând cont de conlușurarea spațială a tuturor elementelor componente ale structurii.

Condițiile de rezemare, de asemeni pot fi luate în considerare în orice formă s-ar pune, prin eliminarea ecuațiilor (liniilor și coloanelor) pentru care, pe direcția necunoscută principală, deplasarea este zero, datorită rezemării.

Autorul a aplicat această metodă pentru studiul stării de tensiuni și de deformații la mai multe porți de ecluză:

- poarta de ecluză plană executată în Belgia la Lanaye;
- poarta de ecluză buscată - SHEN - Porțile de Fier I;
- poarta de ecluză buscată - SHEN - Porțile de Fier II - Gruia;
- modelul porții de ecluză buscată - SHEN - Porțile de Fier II - Gruia.

Rezultatele calculului sînt prezentate în Cap.V.

B I B L I O G R A F I E

1. Avram N.C. - Grinzi continui. Editura tehnică, București, 1965.
2. Asplund S.O. - Theory of Trusses. Memoires Abhandlungen Publication, 1959.
3. Bota V. - Poduri cu mai multe grinzi. Editura I.P.Timișoara 1968.
4. Bucur C.M. - Metode numerice. Editura Facla - Timișoara, 1973.
5. Ciomocoș F.D. - Calculul porților de ecluză buscate cu metoda rețelelor de grinzi. Sesiunea de comunicări tehnico - științifice, C.C.P.C.H. Timișoara 10-11 noiembrie 1978.
6. Ciomocoș F.D. - Considerații asupra calculului plăcilor ortotrope folosite la clapetele despărțitoare. Sesiunea de comunicări științifice. Academia militară - București 16 - 17 noiembrie 1978.
7. Dima P. - Programare în Fortran. Editura Did. și Ped., București, 1971.
8. Gheorghiu Al. - Concepții moderne în calculul structurilor. Editura tehnică, București, 1975.
9. Massonnet Ch., ș.a. - Calculul structurilor la calculatoare electronice (traducere din limba franceză), Editura tehnică, București, 1974.
10. Mazilu I. - Statica construcțiilor vol.II. Sisteme static nedeterminate. Editura tehnică, București, 1959.
11. Munteanu I. - Calculul static al structurilor. Editura Facla - Timișoara - 1976.

12. Oblemenco Gh. - Utilizarea elementelor finite la calculul plăcilor ortotrope. Buletinul sesiunii de comunicări a I.C.F.T.T. București, 26 - 27 iunie, 1975.
13. Ping - Chung Wang - Metode numerice și matricială în Mecanica construcțiilor (traducere din limba engleză), Editura tehnică, București, 1970.
14. Prezemieniecki J.S. - Theory of matrix structural analysis. Mc. Graw - Hill Book Company.

1. PREZENTAREA REZULTATELOR OBTINUTE DIN
CALCULUL CU OROA ROTINDĂ ȘI GRINZI
UTILIZIND ELEMENTE FINITE DE LAMA (GRINDA)

Capitolul IV prezintă în detaliu bază teoretică de calcul a acestei metode. Practic se procedează în modul următor:

- Se împarte structura de rezistență a porții de ecluză într-un sistem de rețele de grinzi orizontale și verticale.
- Se numerează nodurile și barele rețelei.
- Se calculează caracteristicile geometrice ale fiecărei bare.

- Se introduc în cartelele de date pentru programul la calculatorul electronic:

- lungimea fiecărei bare;
- aria secțiunii transversale a barelor;
- momentele de inerție axiale și polar ale fiecărei secțiuni transversale a barelor;
- modulele de rezistență I_x și I_y .

Programul calculează pentru fiecare bară și pentru fiecare nod al acesteia:

- momentele încovoietoare;
- forțele tăietoare;
- momentele de răsucire;
- deplasările și rotațiile.

În continuare se vor analiza aceste rezultate pentru fiecare poartă de ecluză studiată.

1.1. Rezultatele obținute pentru poarta de ecluză de la Lanage - Belgia.

În scopul unei comparații între rezultatele obținute cu metoda rețelelor de grinzi și cu o altă metodă utilizată în literatura de specialitate și verificată și experimental, autorul a aplicat metoda rețelelor de grinzi, în primul rând, pentru poarta de ecluză de la Lanage - Belgia.

Caracteristicile geometrice ale porții sînt prezentate în fig. 4.1; rețeaua considerată în calcul în fig. 4.2; iar rezultatele referitoare la săgșile w și la tensiunile σ în fig. 4.3.

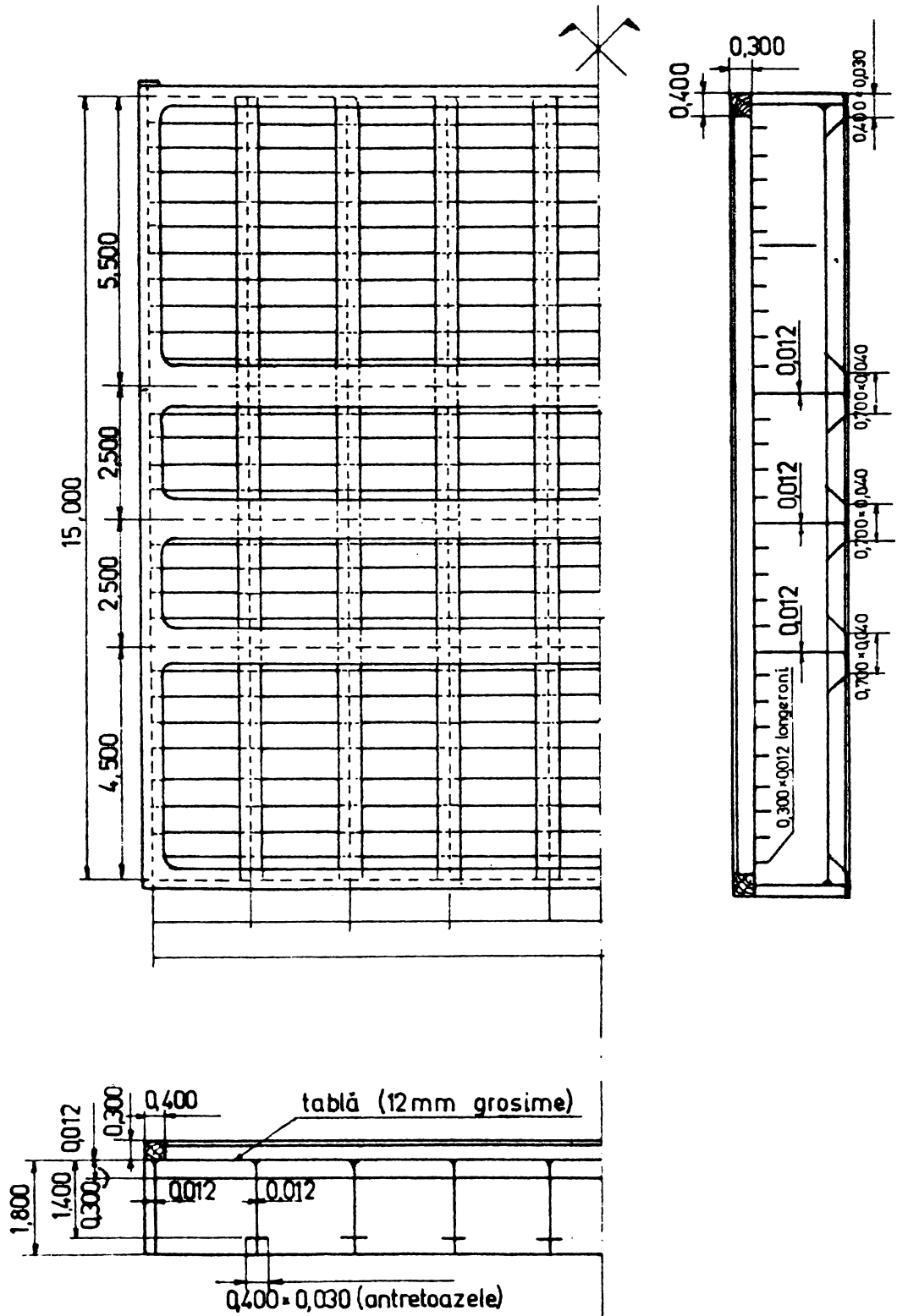


Fig. V. 1.

SCHEMA RETELEI PENTRU CALCULUL CU
METODA REJELELOR DE GRINZI

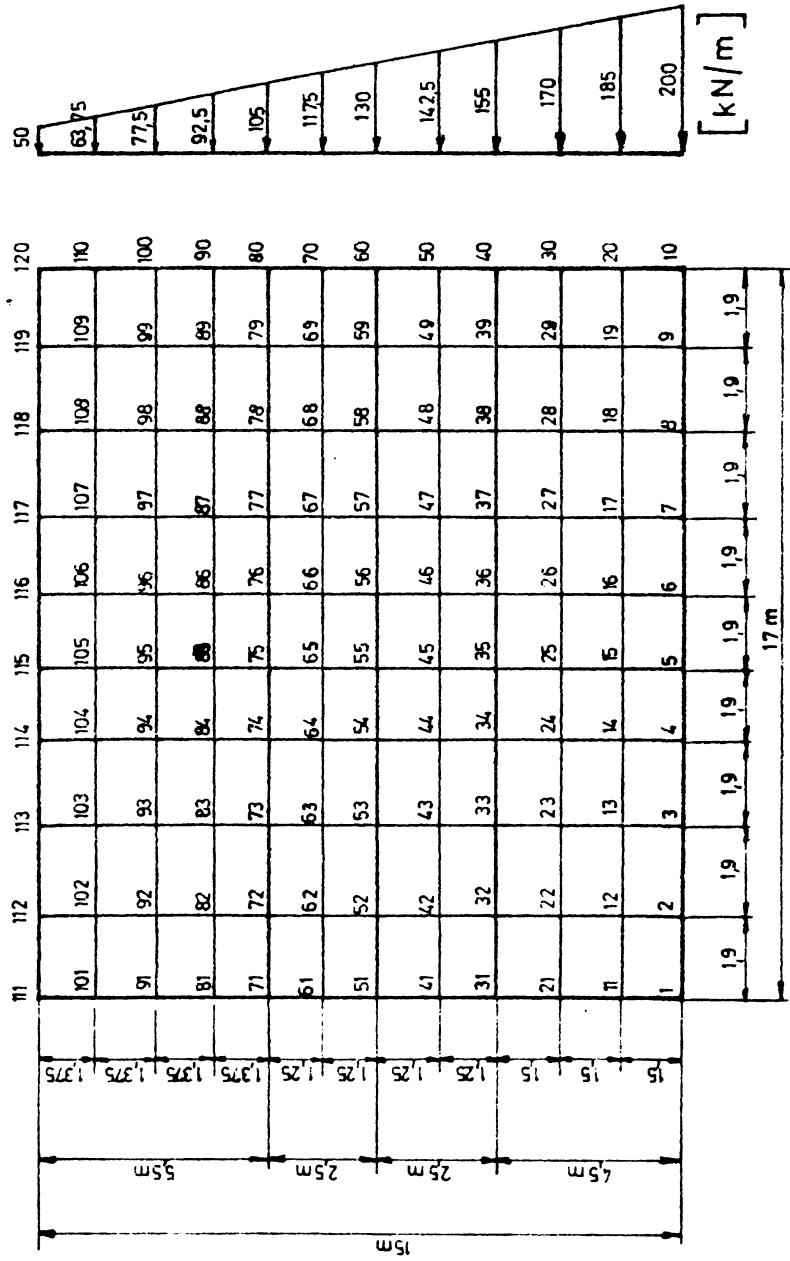
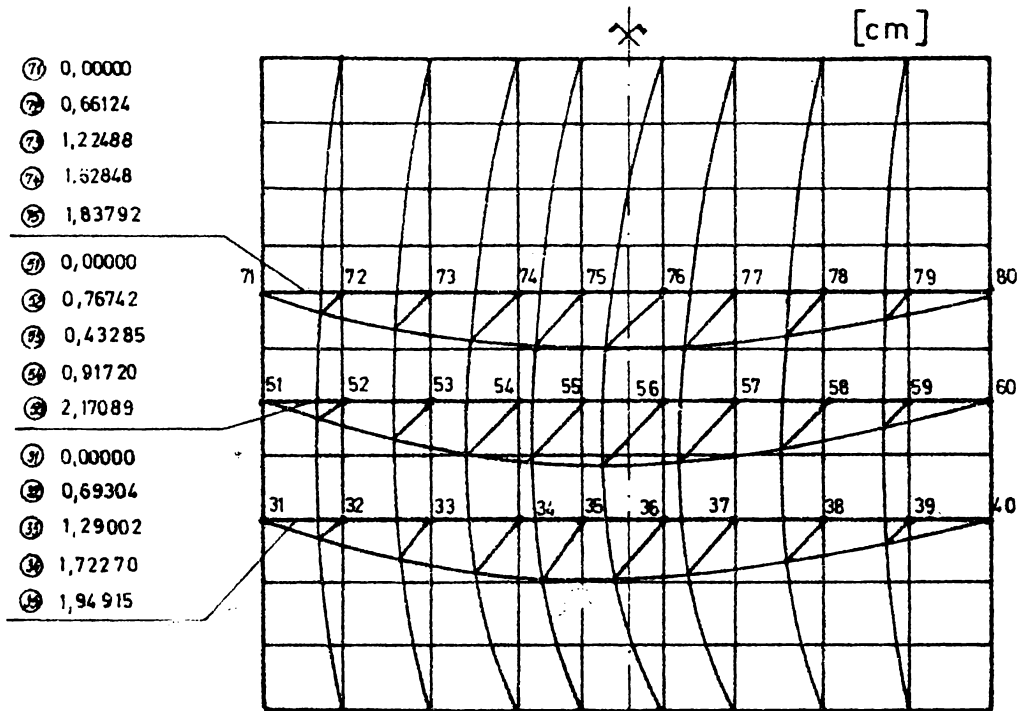


Fig. V. 2

VARIAȚIA SAGEȚILOR „W” ALE STRUCTURII DE
 REZISTENȚĂ A PORȚII DE ECLUZĂ CALCULATE
 CU METODA REȚELELOR DE GRINZI



VARIAȚIA TENSIUNILOR NORMALE σ_x ALE STRUCTURII
 DE REZISTENȚĂ A PORȚII DE ECLUZĂ CALCULATE
 CU METODA REȚELELOR DE GRINZI

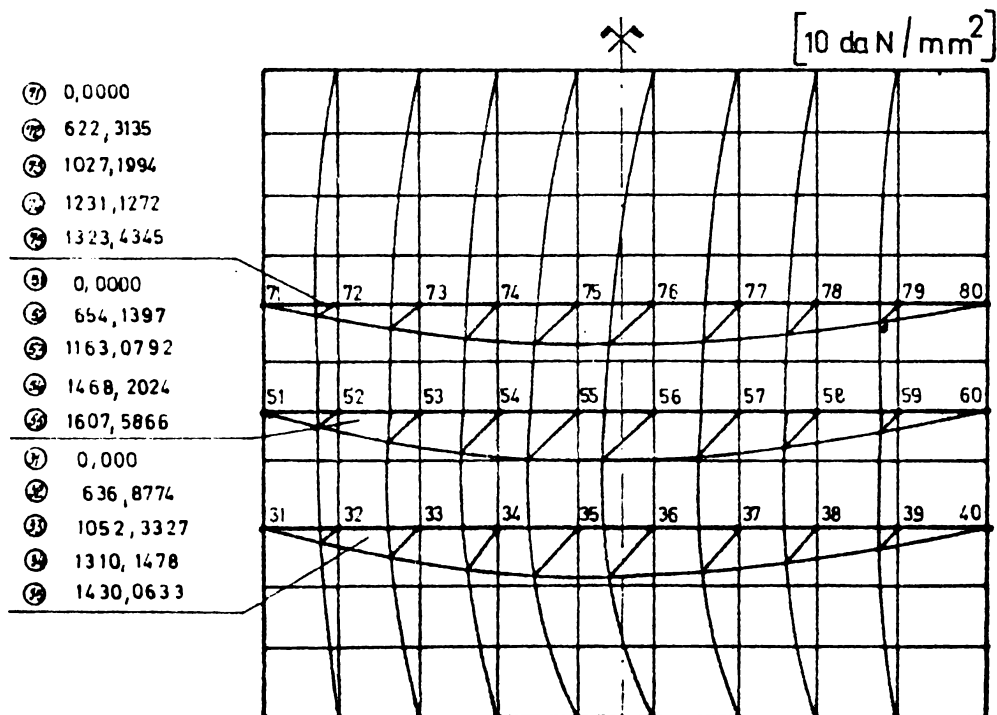


Fig. V. 3.

În capitolul I.3.2.4. s-a prezentat metoda liniilor de sarcină utilizată în Belgia și elaborată de M. Dehoue. Metoda a fost aplicată pentru calculul acestei porți. Din verificările experimentale a rezultat că această metodă care ține cont și de conlucrarea spațială a tuturor elementelor componente dă rezultate foarte bune.

Comparând valorile obținute cu metoda rețelelor de grinzi și metoda liniilor de sarcină rezultă următoarele:

- în privința deformațiilor diferențele sînt foarte mici (2%);
- în privința tensiunilor diferențele sînt de ordinul 10% - 12%. În fig. V.4 sînt prezentate comparativ rezultatele referitoare la tensiunile normale σ_{max} obținute cu cele două metode.

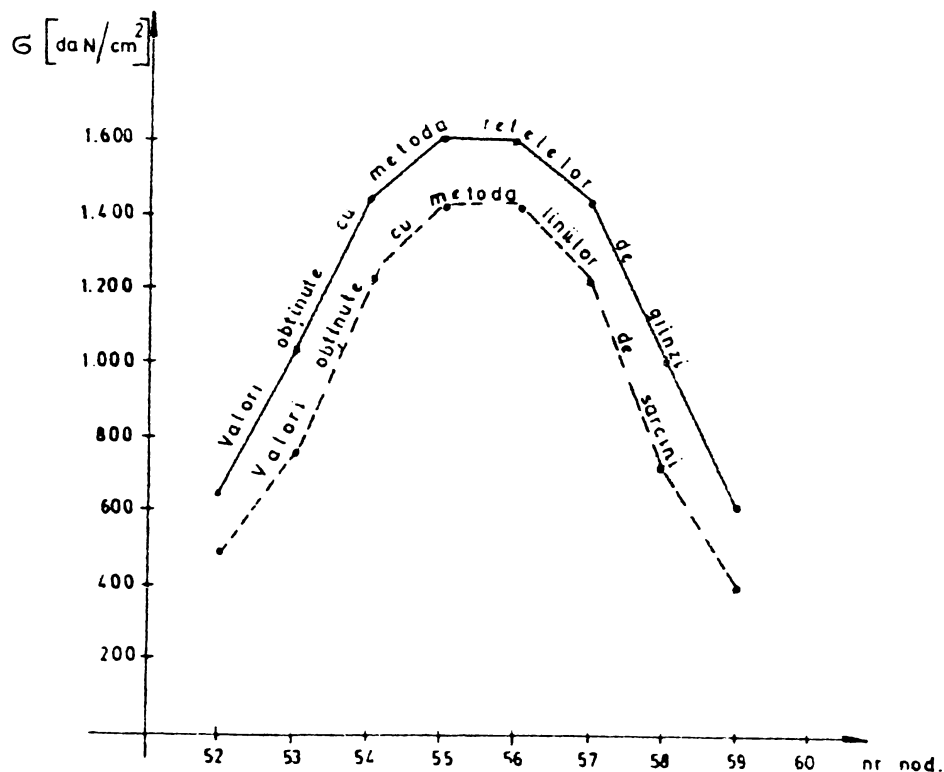


Fig.V.4.

1.2. Rezultatele obținute pentru poarta de ecluză
MHA - forțele de M.r I.

Pentru această poartă calculul cu metoda rețelelor de grinzi s-a efectuat în două variante..

a) în prima variantă rețeaua de grinzi considerată este o rețea plană (fig.V.5.) în care barele marginale ale rețelei se consideră simplu rezemate în nodurile: 1, 6, 11, 16, 21, 26, 31, 36, 41, 46, 51, 56, 61, 66.

b) în cea de a doua variantă pentru structura porții s-a considerat o rețea spațială de bare. Numerotarea barelor și a nodurilor acestei rețele a rămas aceeași ca în fig.V.5. dar barele marginale au devenit înclinate cu un unghi de 20° și articulate în nodurile 1, 6, 11, 16, 21, 26, 31, 36, 41, 46, 51, 56, 61, 66.

În ambele variante s-a ținut cont de simetria de structură și de încălzire, calculul efectuându-se numai pe jumătate din structură.

După ce, de la calculul torului electronic, se obțin eforturile pentru fiecare bară și pentru fiecare nod există posibilitatea calculului tensiunilor în orice punct de pe poartă. La acest calcul se ține cont de schema statică prezentată în Cap.II, fig.II.8.

Dacă de exemplu se urmărește determinarea tensiunilor maxime σ în bara 16 care face parte din grinda principală - G 5 se extrage, din rezultatele de la calculator, momentul înconvoictor în nodul 26 (cel mai solicitat) $M_{26} = 8882,166 \text{ K.m.}$ (a se vedea și diagrama din fig.V.6.) și forța tăietoare în nodul 16 $T_{16} = 1657 \text{ K.}$ Dacă se proiectează aceasta după linia de închidere a celor două canate se obține σ_g :

$$\frac{1657}{0,364} = 4550, 2 \text{ K.}$$

Secțiunile transversale ale barelor s-au luat în calcul în mod identic cu cele din proiect, tocmai, pentru a realiza o comparație între rezultatele calculului. În acest fel secțiunea barei 16 este cea din fig. V. 7.a., pentru care caracteristicile

SCHEMA REȚELEI PENTRU CALCULUL CU METODA REȚELELOR DE GRINZI

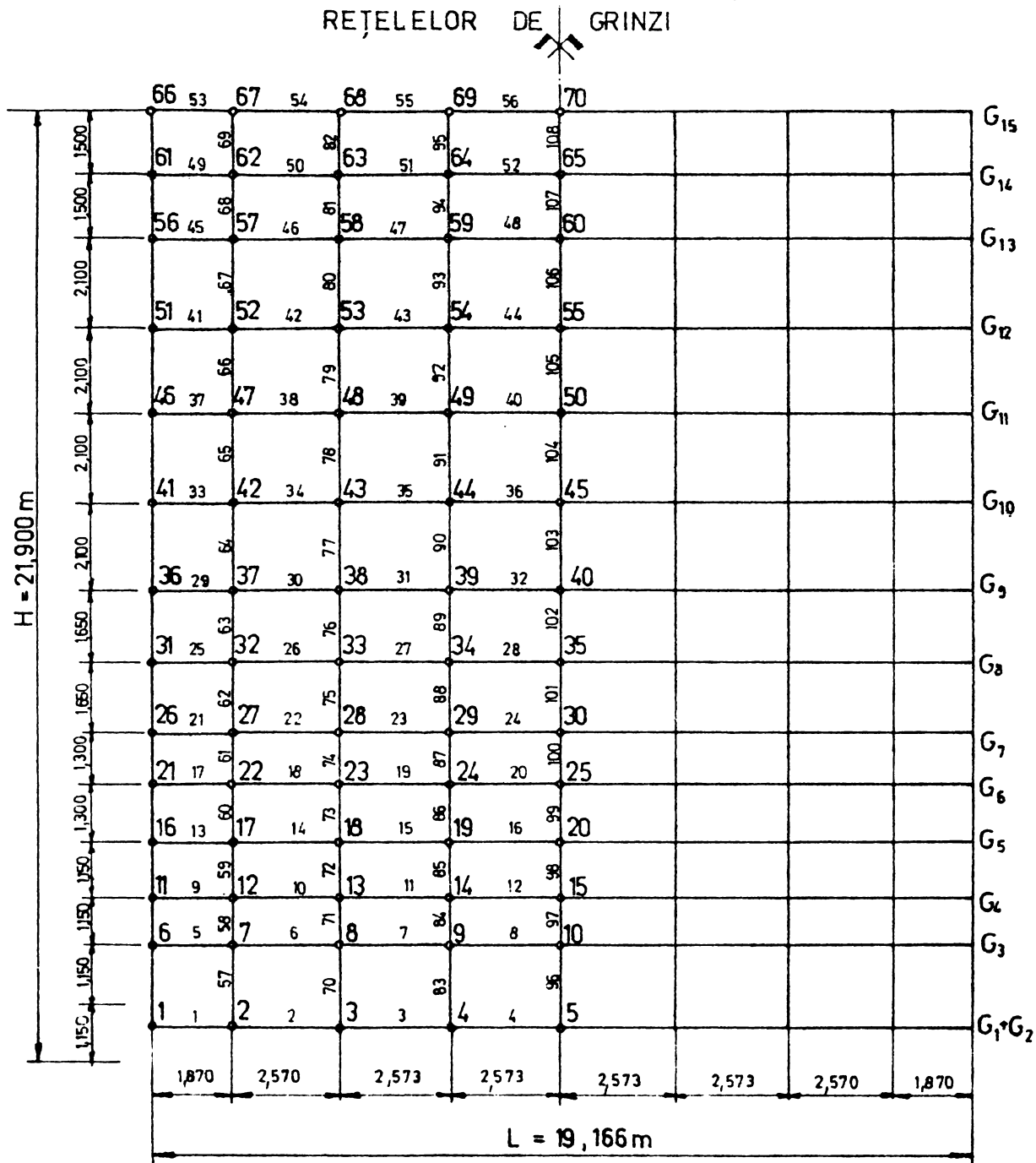
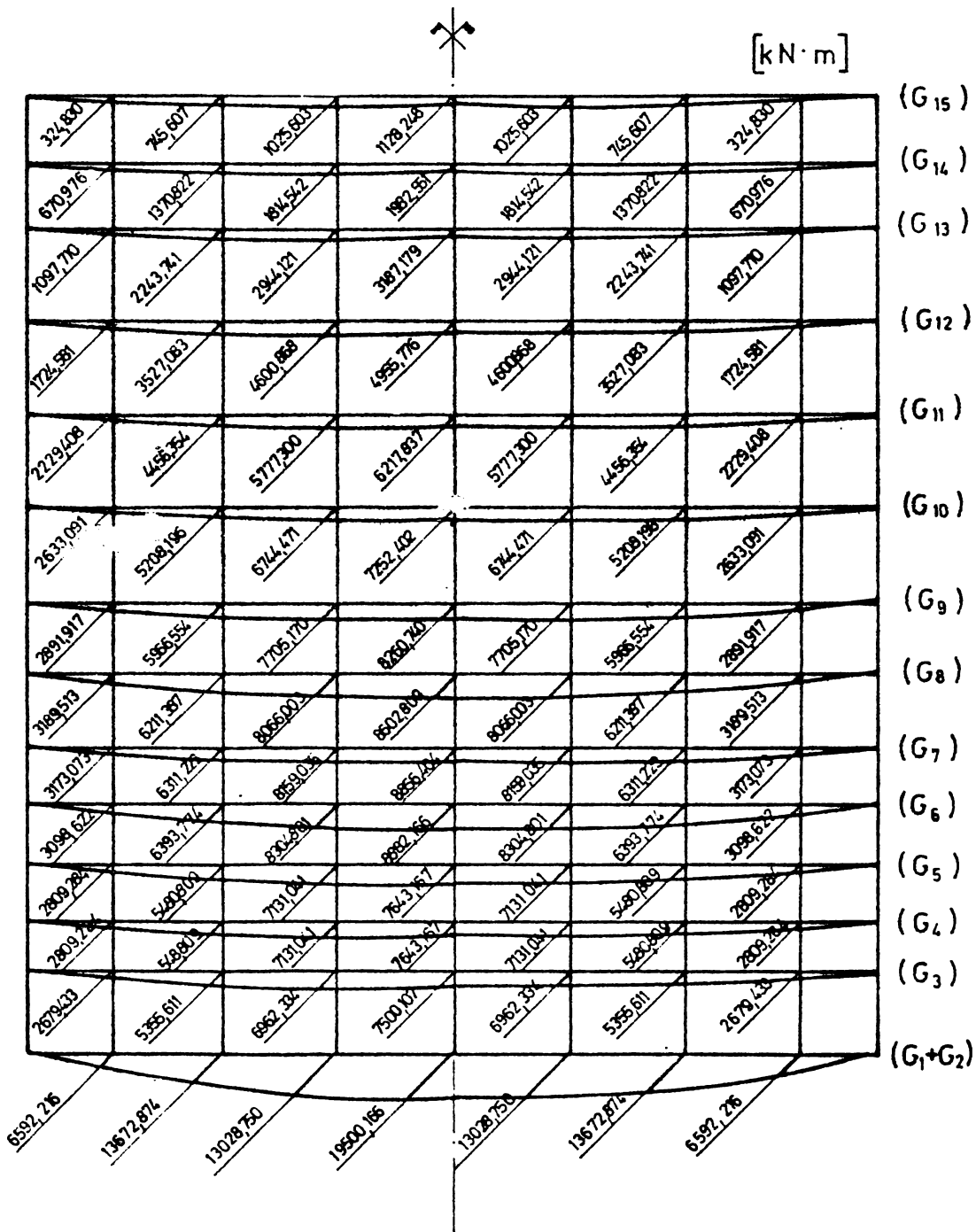


Fig. V.5

DIAGRAMA DE VARIATIE A MOMENTELOR M_i
CALCULATE CU METODA RETELELOR DE GRINZI



OBS: valorile mari ale momentele M_i din nodurile 2,3,4,5 se datoresc faptului că în alcătuirea barelor 1,2,3,4 s-a luat în considerare conlucrarea ambelor grinzi inferioare ($G_1 + G_2$)

Fig. V. 6.

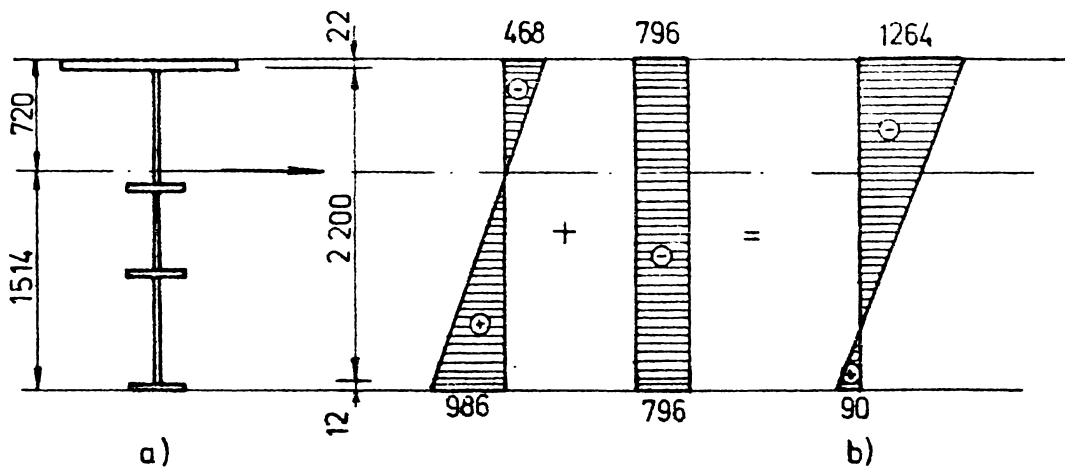


Fig. V. 7

geometrice sînt:

$A = 634,8 \text{ cm}^2$
 $I_{X-X} = 3951800 \text{ cm}^4$
 $I_{Y-Y} = 55000 \text{ cm}^4$
 $W_{X-X} = 26100 \text{ cm}^3$

Incentricitățile forțelor axiale N_0 și N_e sînt :

$$e_{N_0} = 1,234 \text{ m}$$

$$e_{N_e} = 0,48 \text{ m}$$

Momentul celor două forțe axiale excentrice este:

$$M_{N_0} + M_{N_e} = -(4552,2 \times 1,234 - 493,8 \times 0,48) = -6309,6588 \text{ KM.m.}$$

Acosta se scade din momentul încovoiator M_{120} și rezultă momentul de calcul :

$$= 8832,166 - 6309,6588 = 2572,5072 \text{ KM.m.}$$

Forța axială totală este suma lui N_0 și N_e :

$$-(4552,2 + 493,8) = -5056 \text{ KN.}$$

Se pot calcula acum tensiunile normale σ pe secțiunea transversală a barei 16 :

$$\sigma_{\text{sup}} = \frac{N}{A} + \frac{M}{W_{\text{sup}}} = -\frac{505600}{634,8} + \frac{25725072}{-26100} = -1264 \text{ daN/cm}^2$$

$$\sigma_{\text{inf}} = \frac{N}{A} - \frac{M}{W_{\text{inf}}} = -\frac{505600}{634,8} + \frac{25725072}{26100} = 90 \text{ daN/cm}^2$$

Din acest calcul rezultă diagrama din fig.7.7.b.

Dacă se compară valoarea maximă a lui $\bar{\sigma}$ rezultată din calculul în această variantă ($\bar{\sigma}_i = -1264$ daN/cm²), cu valoarea maximă a lui $\bar{\sigma}$ calculată în proiect cu metoda clasică ($\bar{\sigma}_s = -1290$ daN/cm²) rezultă o diferență procentuală de 9%.

În cea de a doua variantă de la calculator rezultă ca eforturi pe lângă momentul încovoietor, forța tăietoare și momentul de torsiune și forța axială.

În vederea calculului tensiunilor normale $\bar{\sigma}$ pentru aceeași bară (16) se extrag din listingul de la calculator valorile eforturilor:

$$M = 4790,9 \text{ KK.m.}$$

$$T = 3435 \text{ KK.}$$

Din aceste eforturi tensiunea $\bar{\sigma}$ în fibra superioară rezultă :

$$\bar{\sigma}_s = \frac{M}{W_s} + \frac{T}{I_p} = \frac{47909000}{-20000} + \frac{343500}{4,0} = -1411 \text{ daN/cm}^2$$

La acest se mai adaugă și tensiunea dată de presiunea laterală a apei ($\bar{\sigma}_e$) care este $\bar{\sigma}_e = 43$ daN/cm²

Deci tensiunea totală este:

$$\bar{\sigma}_s = \bar{\sigma}_s + \bar{\sigma}_e = -1368 \text{ daN/cm}^2$$

În această variantă valorile tensiunilor au rezultat cu 7% mai mari decât în varianta precedentă.

1.3. Rezultatele obținute pentru poarta de ecluză:
SNA - Forțile de Pier II - Gruia

Pentru această poartă calculul cu metoda rețelelor de grinzi s-a efectuat pe întreaga structură. Numerotarea nodurilor și a barelor rețelei este prezentată în fig.V.8.

În figura V.9. se prezintă diagrama săgeților și a momentelor încovoietoare rezultate de la calculator.

Cu rezultatele de la calculator se pot determina tensiunile, în același mod ca și pentru poarta precedentă.

Rezultatele obținute din calculul cu această metodă au fost comparate cu rezultatele obținute din calculele cu metoda clasică din proiect. Diagrama de comparație pentru valorile tensiunilor normale σ_x este prezentată în fig. V.10.

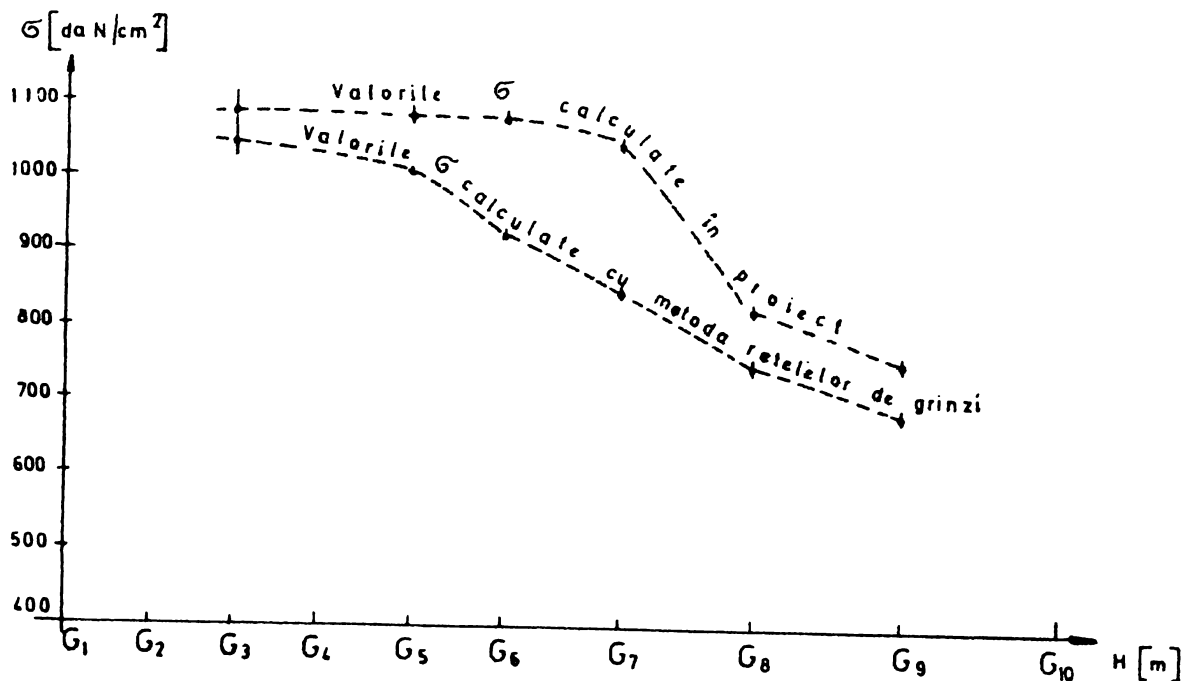
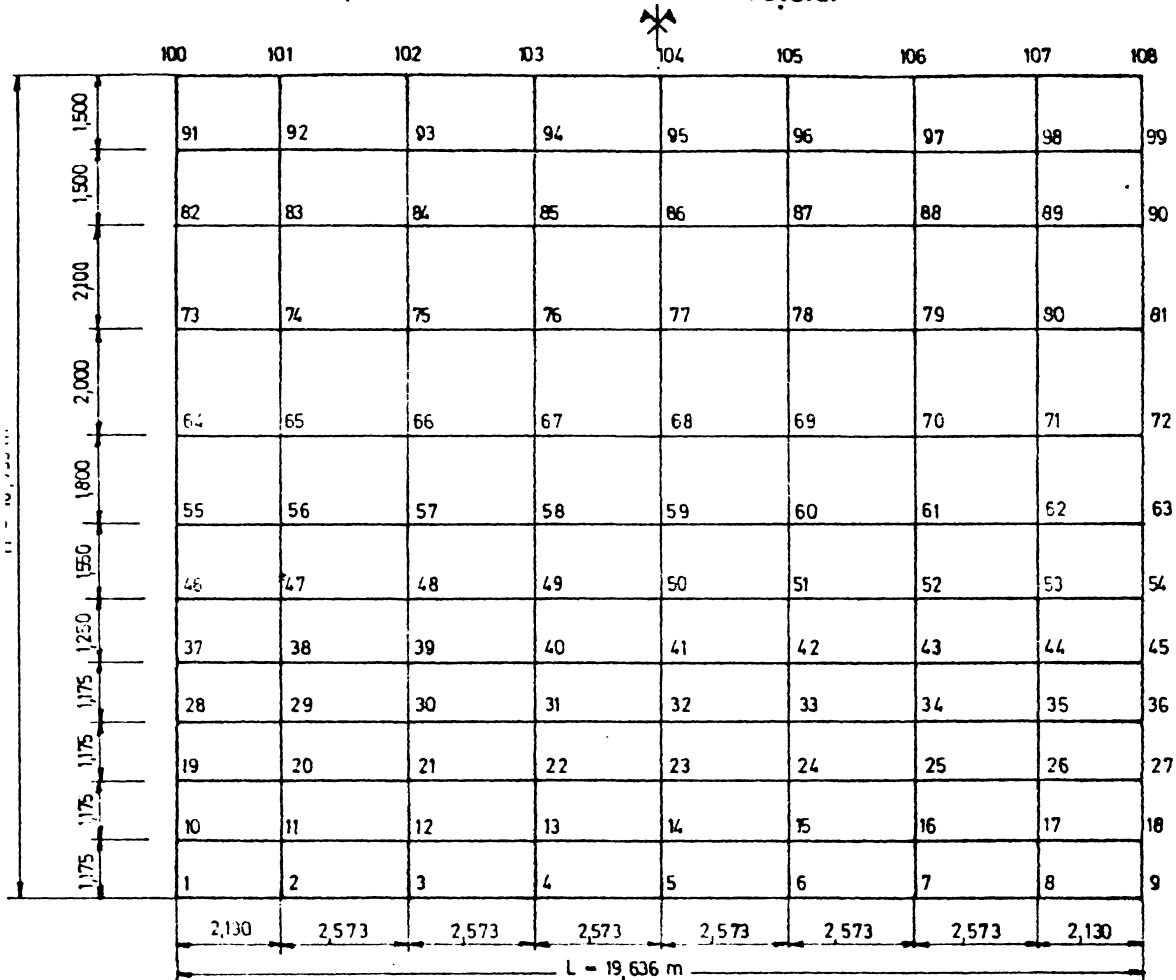


Fig. V. 10.

SCHEMA REȚELEI PENTRU CALCULUL CU
METODA REȚELOR DE GRINZI

a) numerotarea nodurilor rețelei



b) numerotarea barelor rețelei

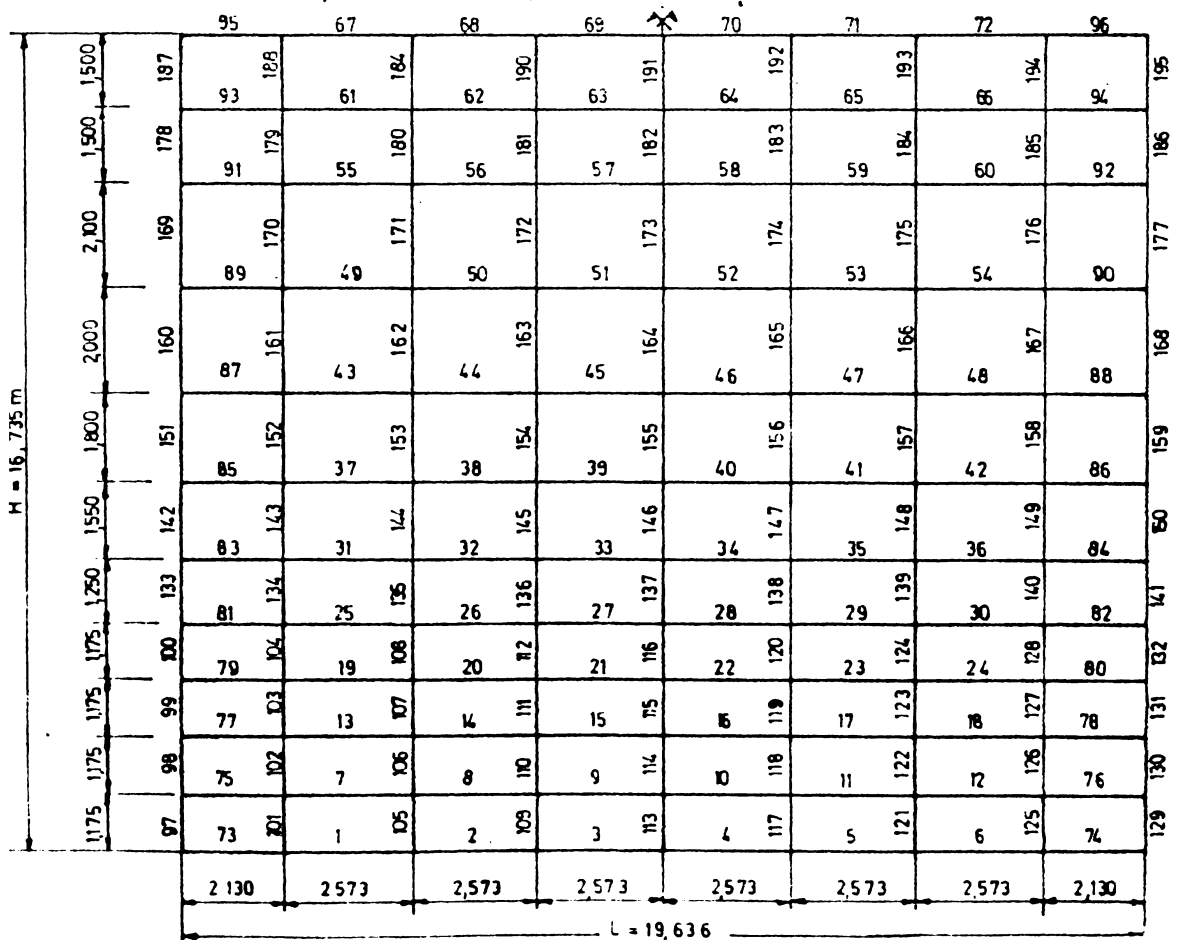


Fig. V. 8.

DIAGRAMA DE VARIATIE A SAGETILOR „W” REZULTATE
DIN CALCULUL CU METODA RETELELOR DE GRINZI

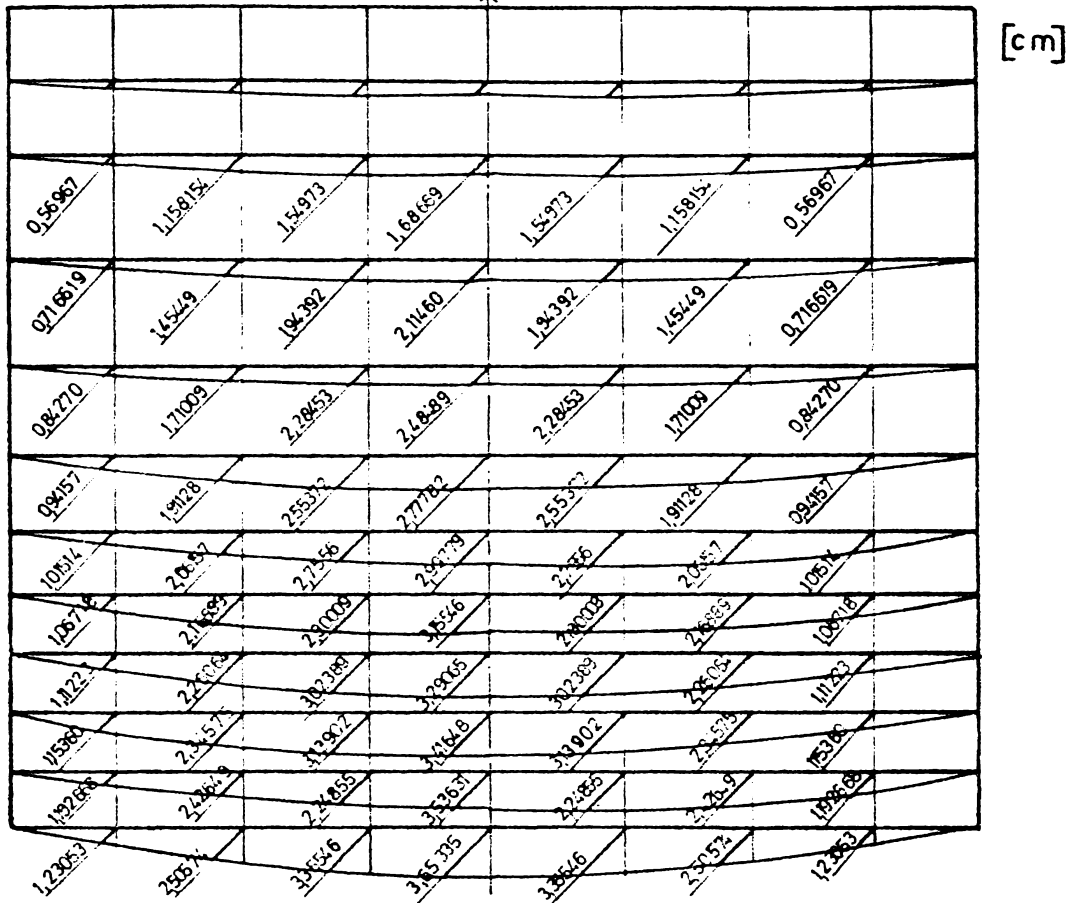


DIAGRAMA DE VARIATIE A MOMENTELOR INCOVOIE-
TOARE M_i REZULTATE DIN CALCULUL CU MET. RETEL. DE GRINZI

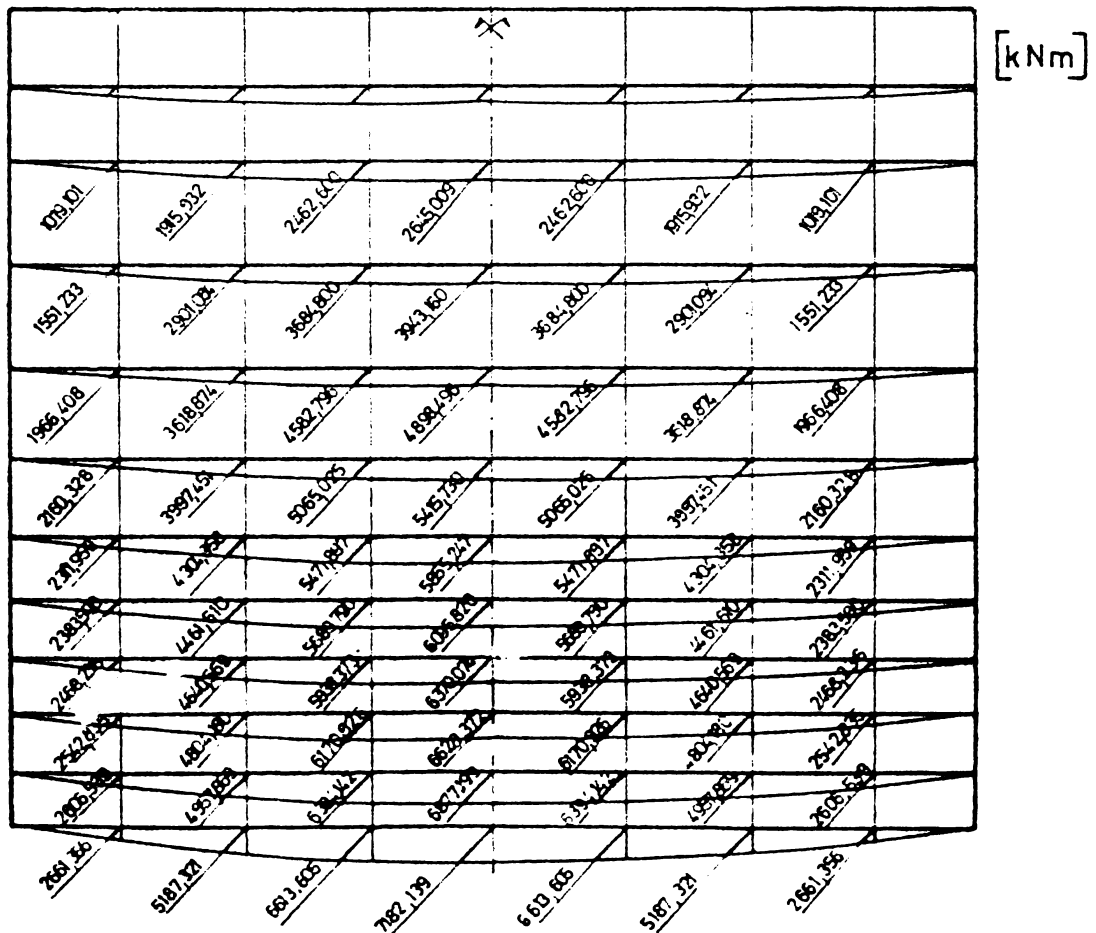


Fig. V. 9.

1.4. Rezultatele obținute pentru modelul porții
de ecluză SHM - Porțile de Fier II - Gruia.

Pentru modelul porții calculul s-a efectuat pe jumătatea structurii având în vedere simetria de structură și încărcare. Rețeaua care discretizează structura s-a considerat plană iar barele marginale simplu rezemate în nodurile : 1, 6 , 11, 16, 21, 26, 31, 36, 41, 46, 51, (fig. V.11.)

În alcătuirea secțiunilor transversale ale barelor rețelei care discretizează structura s-a considerat și tola platelajului. În acest fel pentru întreaga structură s-au luat în calcul 11 tipuri de secțiuni transversale.

Cu valorile eforturilor rezultate de la calculator se pot determina tensiunile. La calculul tensiunilor normale σ , spre deosebire de calculul la cele două porți buscate prezentate, nu intervine aportul forței axiale laterale N_e provenită din presiunea laterală a apei. Vor interveni în calcule numai cei doi termeni: cel din momentul încovoietor și cel din forța axială. Forța axială N_0 este dată tot de proiecția forței tăietoare pe direcția de închidere a celor două cambe ale porții.

Deci pentru determinarea tensiunilor normale σ se extrag din listele de la calculator momentul încovoietor (M_1) și forța tăietoare (T).

$$\text{De calculat } N_0 = T \cdot \tan \alpha$$

$$\text{Având } N_0 \text{ se poate calcula } M_{N_0} = N_0 \cdot e_{N_0}$$

Momentul total este dat de suma celor două momente:

$$M = M_1 + M_{N_0}$$

Tensiunile normale σ se calculează cu relația:

$$\sigma = \frac{M_1}{I} + \frac{N}{A}$$

Diagramele momentelor încovoietoare rezultate de la calculator sînt date în fig.V.12. iar diagramele săgeților în fig. V.13.

-145-
 RETEAUA CONSIDERATA IN CALCULELE
 CU
 METODA RETELELOR DE GRINZI

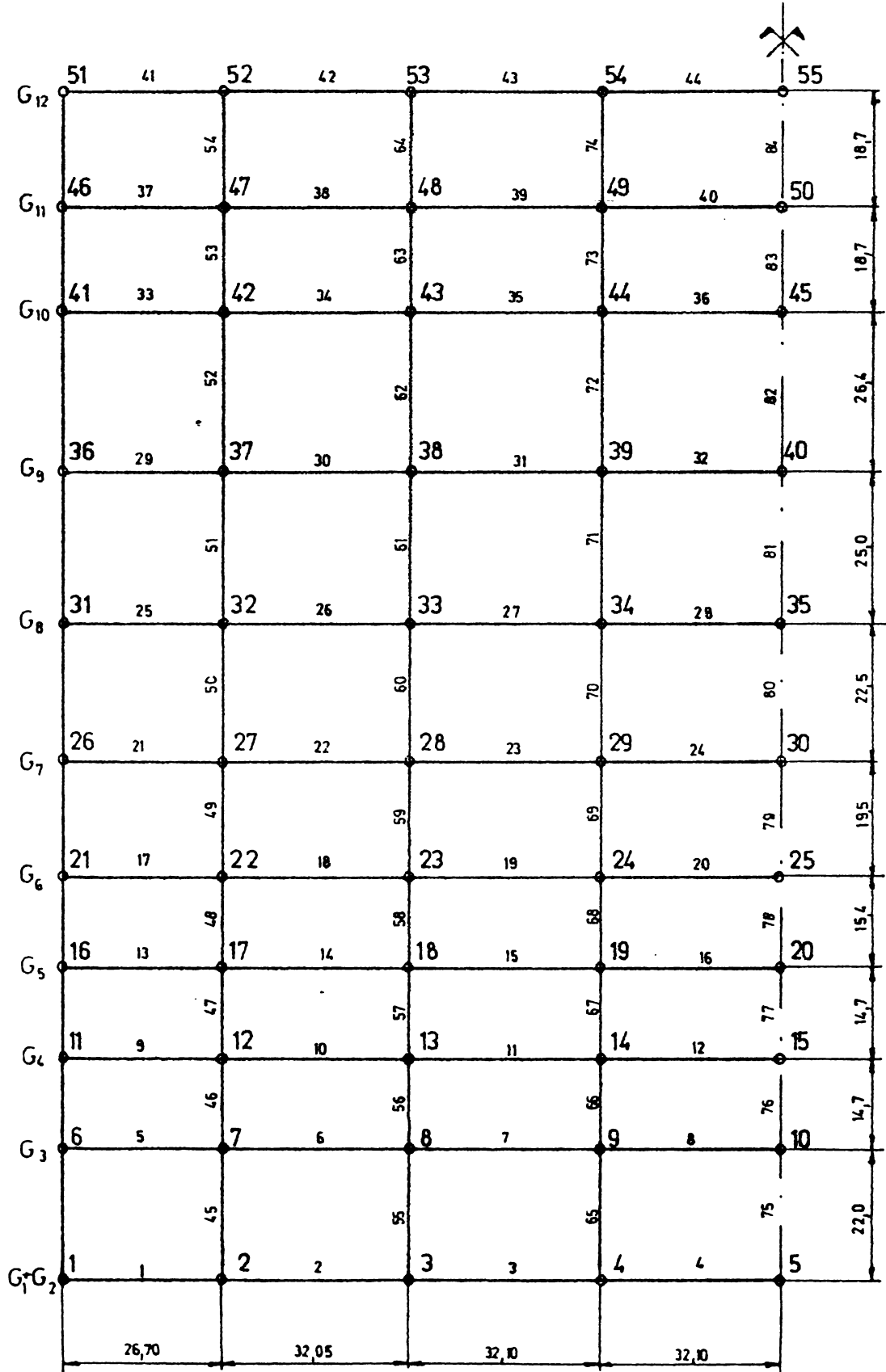
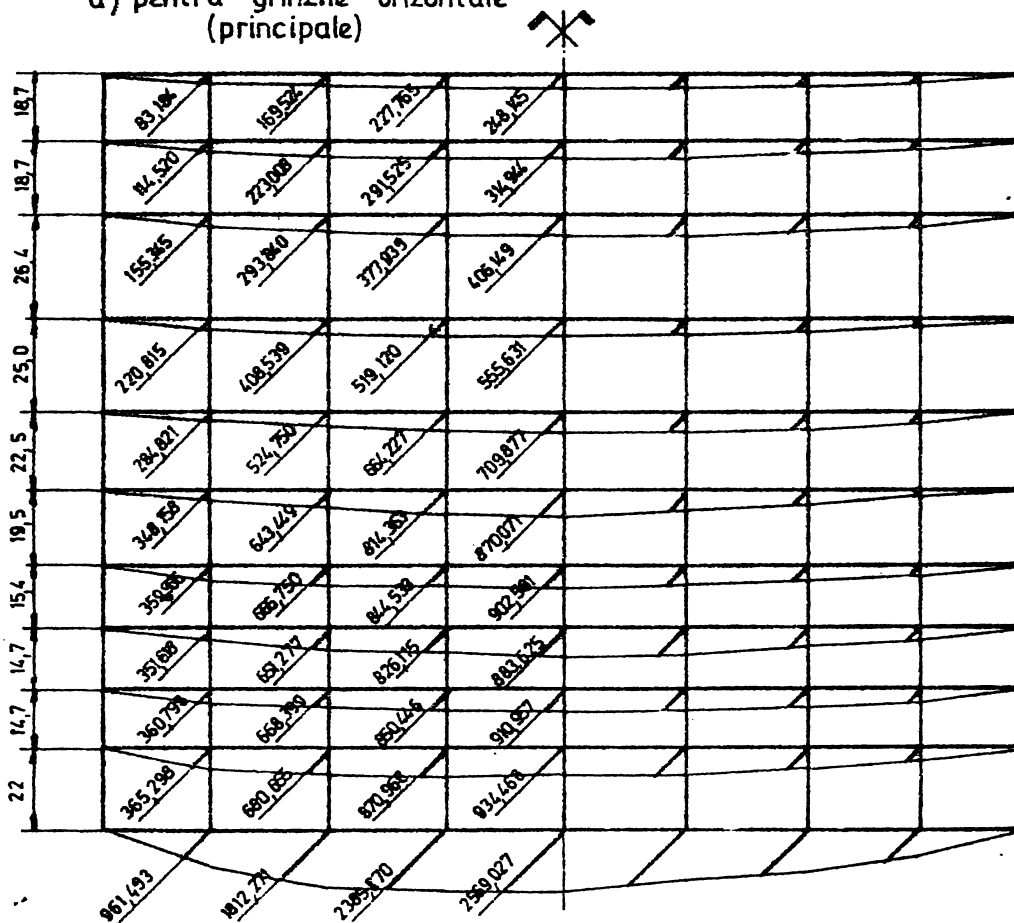


Fig. V. 11

INSTITUTUL POLITEHNIC
 TIMIȘOARA
 BIBLIOTECA CENTRALĂ

DIAGRAMA DE VARIATIE A MOMENTELOR „M_i” REZUTATE
 DIN CALCULUL CU METODA REȚELOR DE GRINZI
 a) pentru grinzile orizontale
 (principale)



b) pentru grinzile verticale (antretoaze)

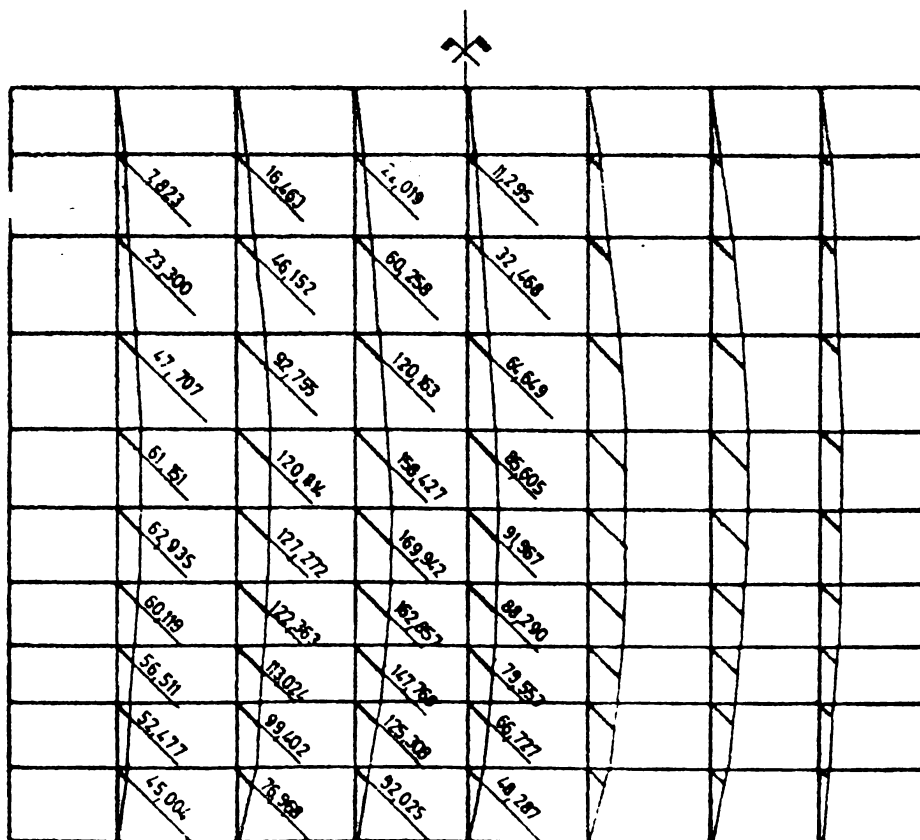


Fig.V. 12

DIAGRAMA DE VARIATIE A SAGETILOR „W” REZULTATE
DIN CALCULUL CU METODA RETELELOR DE GRINZI

a) pentru grinzi horizontale
(principale)



b) pentru grinzi verticale
(antracloaze)

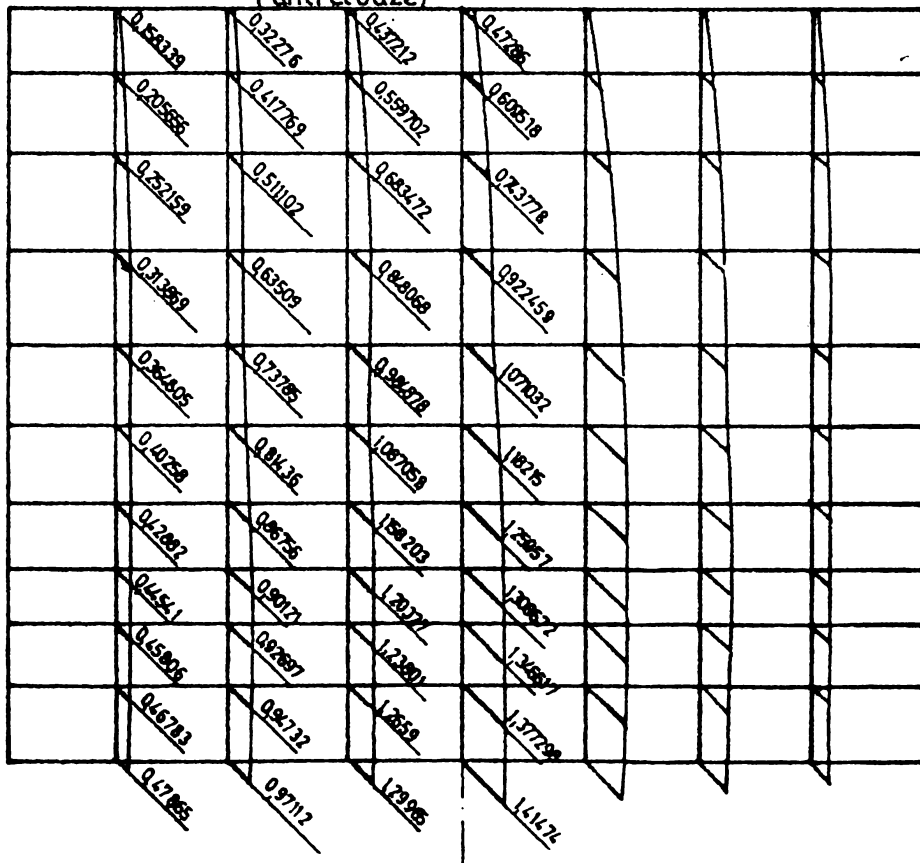


Fig. V. 13.

2. Rezultatele obținute din calculul cu metoda
elementelor finite dreptunghiulare

CAPITOLUL III. prezintă în detaliu baza teoretică de
calcul a acestei metode. Practic se procedează în modul urmă-
tor:

- Se împarte structura în elemente finite.
- Se numerează nodurile și elementele finite care dis-
cretizează structura ținând cont de tipul acestora.
- Se introduce în cartelele de date pentru programul la
calculatorul electronic:
 - dimensiunile elementelor finite (a și b)
după cele două direcții;
 - grosimea elementelor finite;
 - caracteristicile elastice ale materialu-
lui din care este alcătuită structura;
 - tipul elementului finit;
 - încălzirea în nodurile fiecărui element
finit.

Programul calculează pentru fiecare element finit și
pentru fiecare nod:

- tensiunile normale după axa X ;
- tensiunile normale după axa Y ;
- tensiunile tangențiale ;
- deplasările și retririle după cele trei
axe.

În continuare se vor analiza aceste rezultate pentru
modelul porții de ecluză.

1.1. Rezultatele obținute pentru modelul porții de
ecluză SA. - Porțile de silr II - Gruia.

Având în vedere structura complexă a modelului s-au
utilizat 3 tipuri de elemente finite (Fig.V.14.)

- elemente finite dreptunghiulare de placă cu câte 5
deplasări generalizate în fiecare nod (3 dintre deplasări s-au
introdus pentru starea de încovoieră din elementele finite de
placă și 2 deplasări pentru starea plană din aceste elemente),
care discretizează tola;

- elemente finite dreptunghiulare (îmbunătățite) pentru discretizarea inimii grinzilor principale și ale antretoazelor;
- elemente finite de bară pentru discretizarea tălpilor grinzilor principale și ale antretoazelor;

Avînd în vedere simetria de structură și încărcare calculul s-a efectuat pe jumătatea structurii. Au rezultat în acest fel 228 de elemente finite :

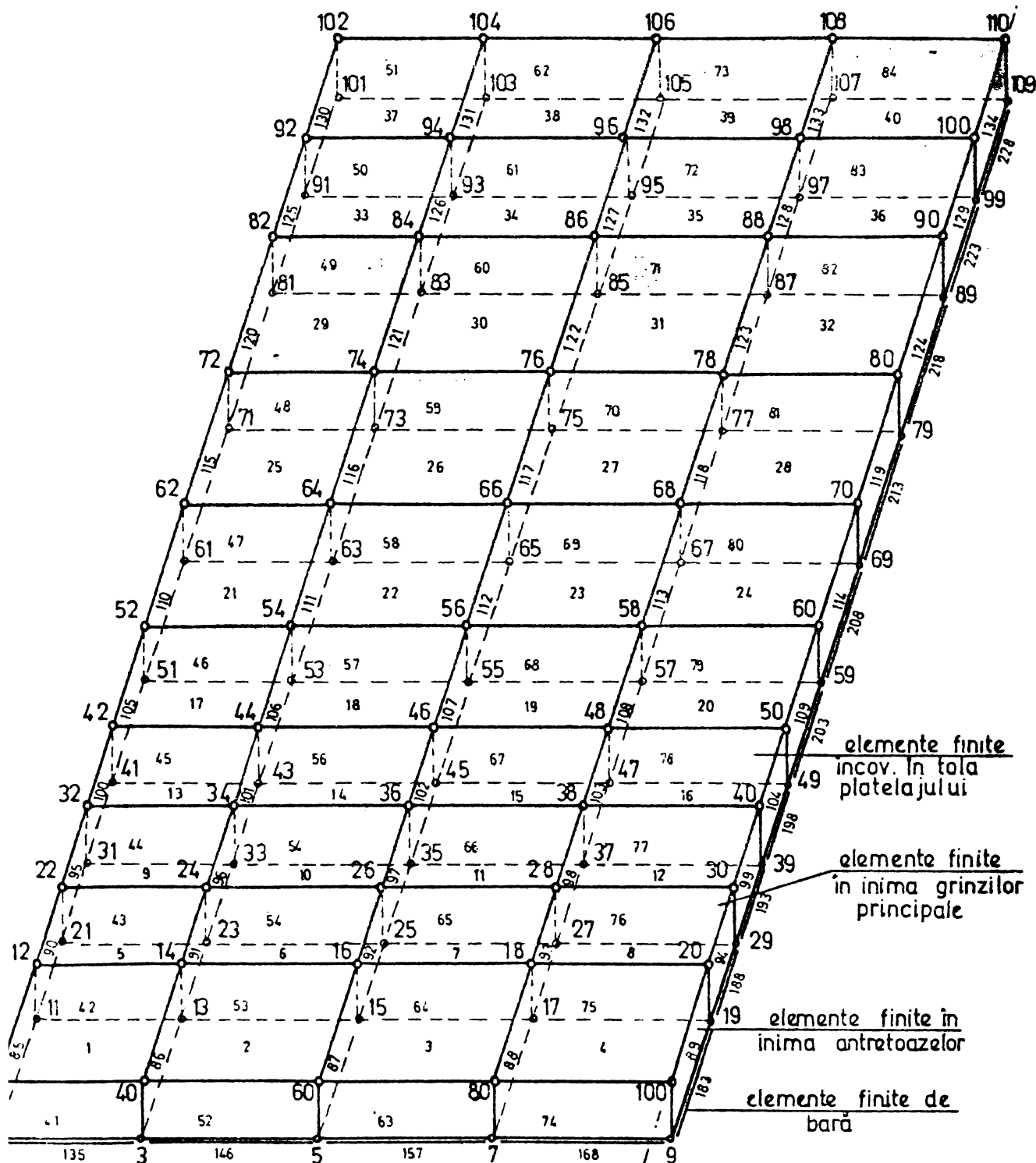
- 40 elemente finite de placă;
- 94 elemente finite în stare plană;
- 94 elemente finite de bară.

Calculul s-a efectuat în două variante de încărcare:

- în prima variantă s-au considerat încărcările verticale din acțiunea apei;
- în a doua variantă componentele datorită înclinării celor două canate ale porții.

Pentru prima variantă de încărcare și pentru tensiunile normale σ_x s-au reprezentat valorile : în fig.V.15. pentru elementele finite în stare plană, din inima grinzilor orizontale; în fig. V.16. pentru elementele finite în stare plană din inima antretoazelor ; în fig.V. 17. diagrama de variație la tensiunile σ_x pentru elementele finite de bară din tălpile grinzilor principale și ale antretoazelor; iar în fig. V.18. pentru elementele finite în încovoiere din tola platelajului.

SCHEMA NUMEROTĂRII NODURILOR SI ALE
ELEMENTELOR FINITE PENTRU CALCULUL MODELULUI PORȚII BRUSCATE
DE ECLUZA SHEN - PORȚILE DE FIER II. (GRUIA)



- : la 1 la 40 → elemente finite de placă (discretizează tola superioară)
- : la 41 la 84 → elemente finite in stare plană (discretizează inima grinzilor princip)
- : la 85 la 134 → elemente finite in stare plană (discretizează inima antretoazelor)
- la 135 la 178 → elemente finite de bară (discretează tăpile inferioare ale grinzilor principale)
- la 179 la 228 → elemente finite de bară (discretizează tăpile inferioare ale antretoazelor)

Fig. V. 14.

VALORILE TENSIUNILOR σ_x IN NODURILE ELEMENTELOR FINITE IN STARE PLANA DIN INIMA GRINZILOR PRINCIPALE

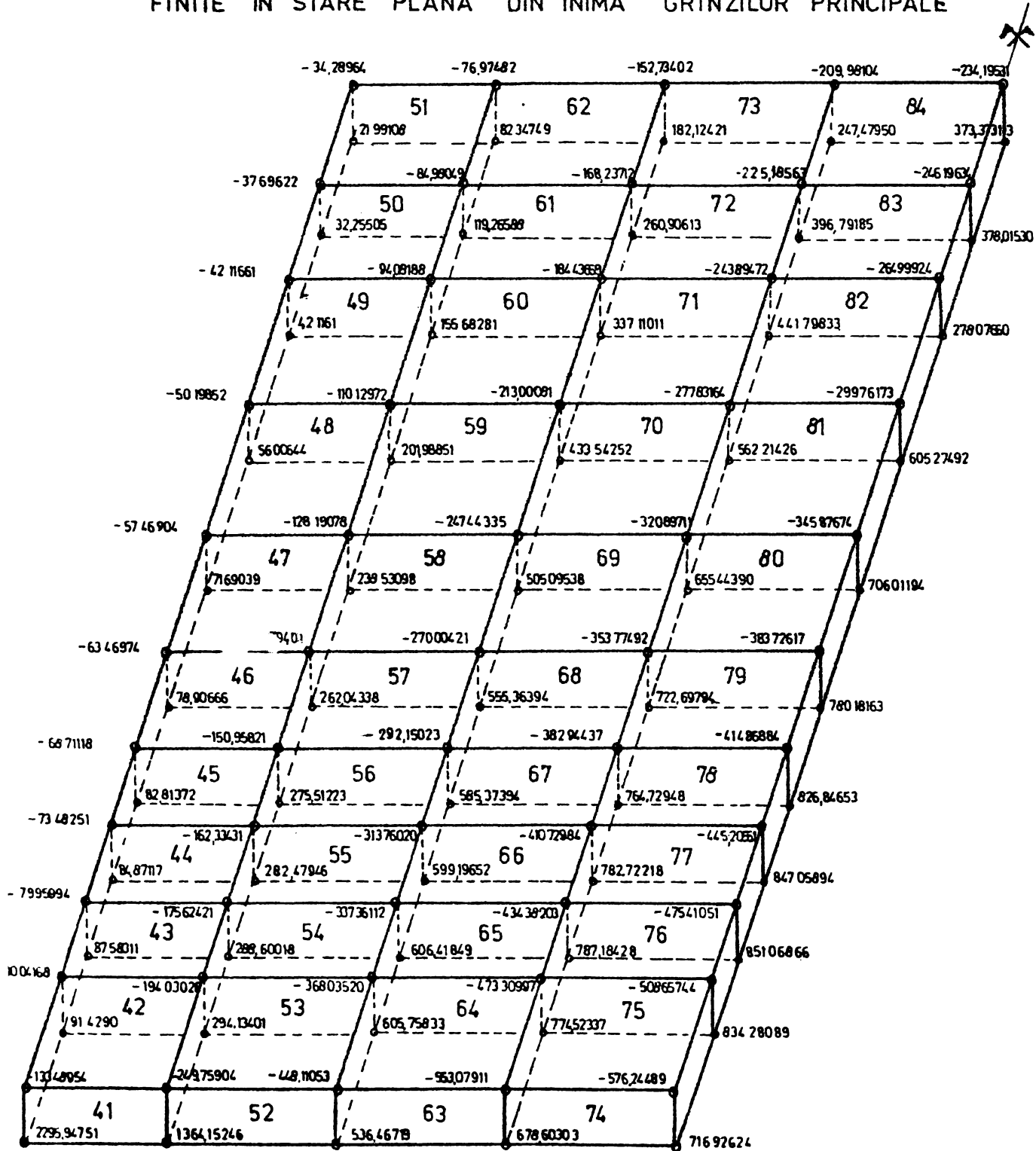


Fig. V. 15

VALORILE TENSIUNILOR σ_x IN NODURILE ELEMENTELOR FINITE IN STARE PLANĂ, DIN INIMA ANTRETOAZELOR

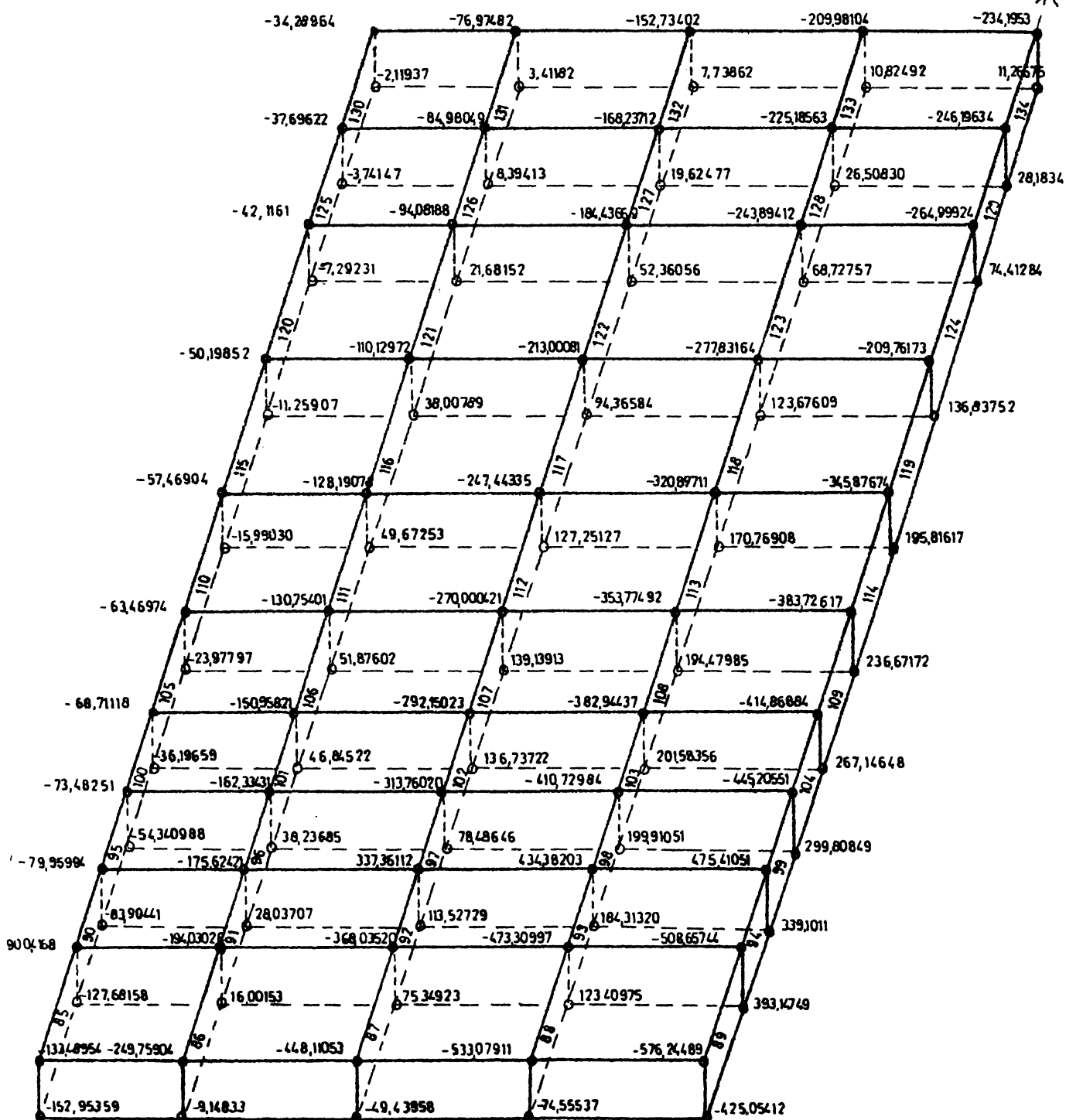


Fig. V. 16.

DIAGRAMA DE VARIATIE A SAGETILOR „W” REZULTATE
DIN CALCULUL CU METODA RETELELOR DE GRINZI

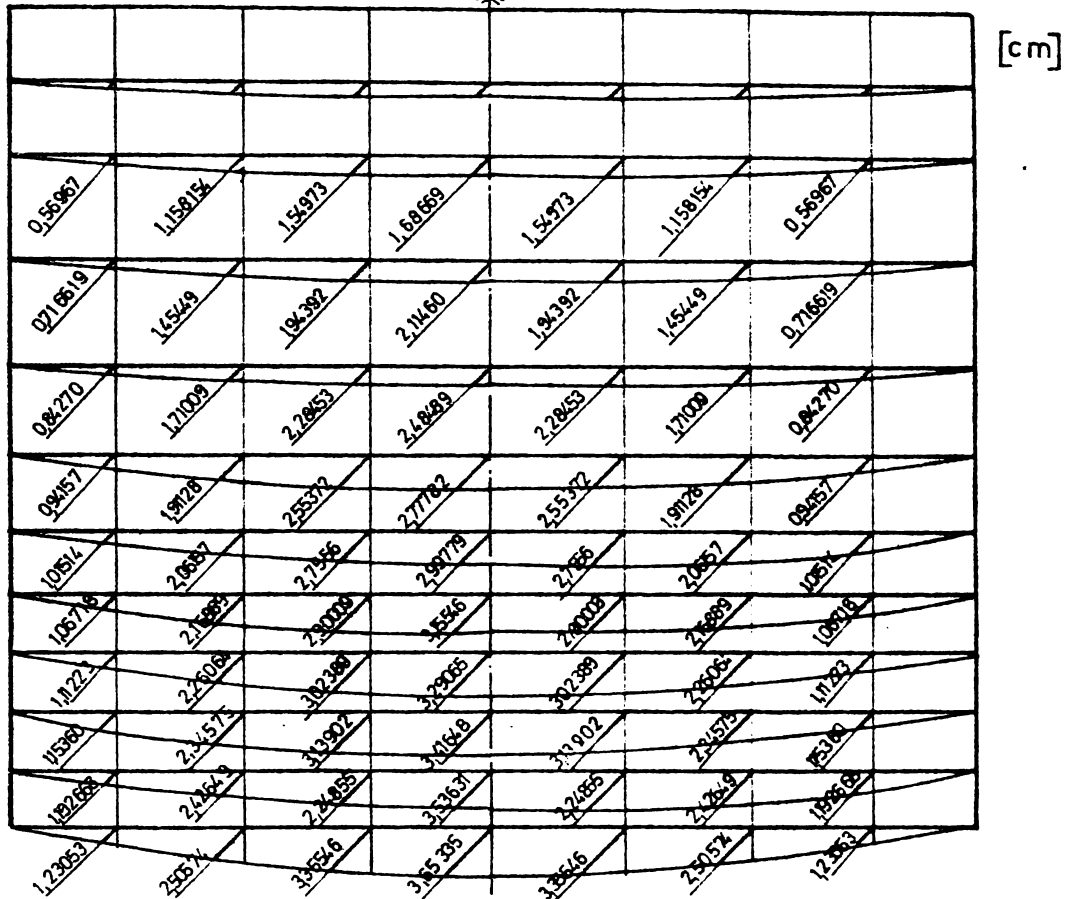


DIAGRAMA DE VARIATIE A MOMENTELOR INCOVOIE-TOARE M_i REZULTATE DIN CALCULUL CU MET. RETEL. DE GRINZI

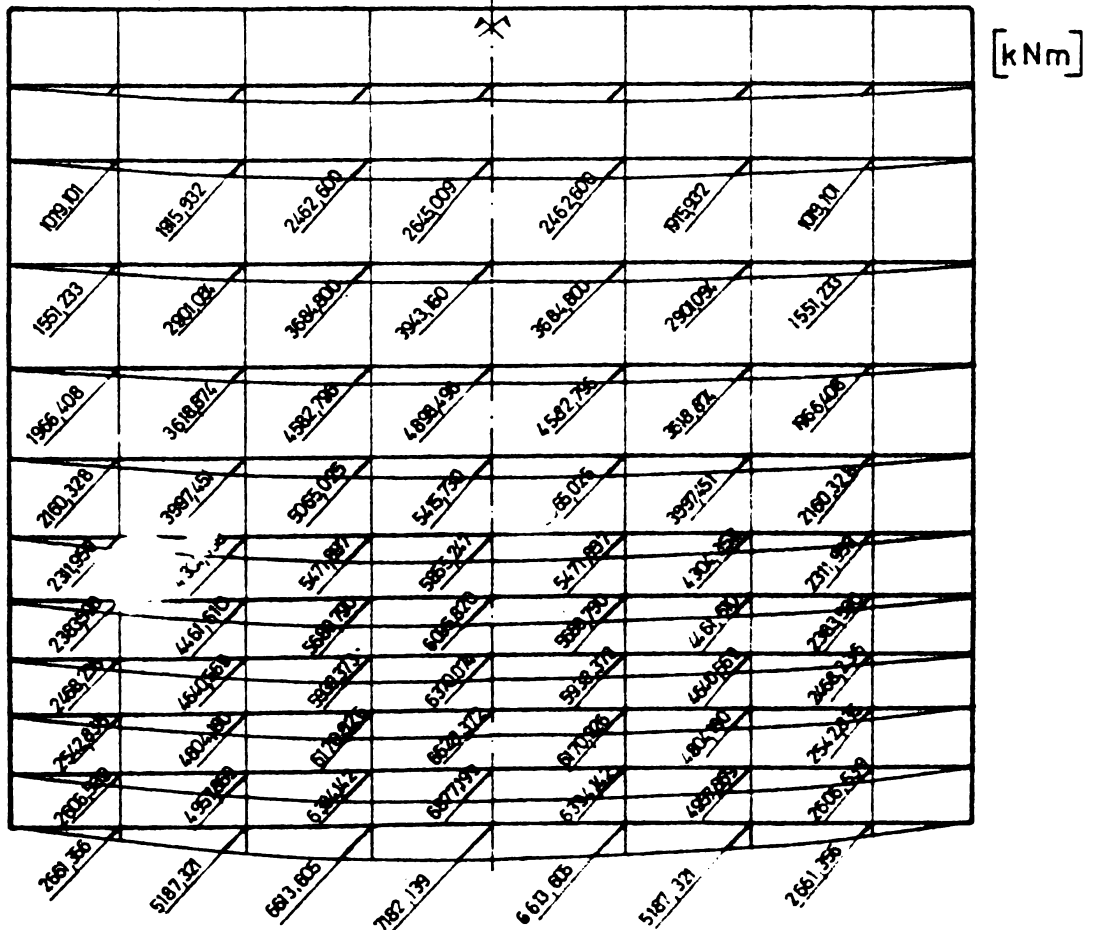


Fig. V. 9.

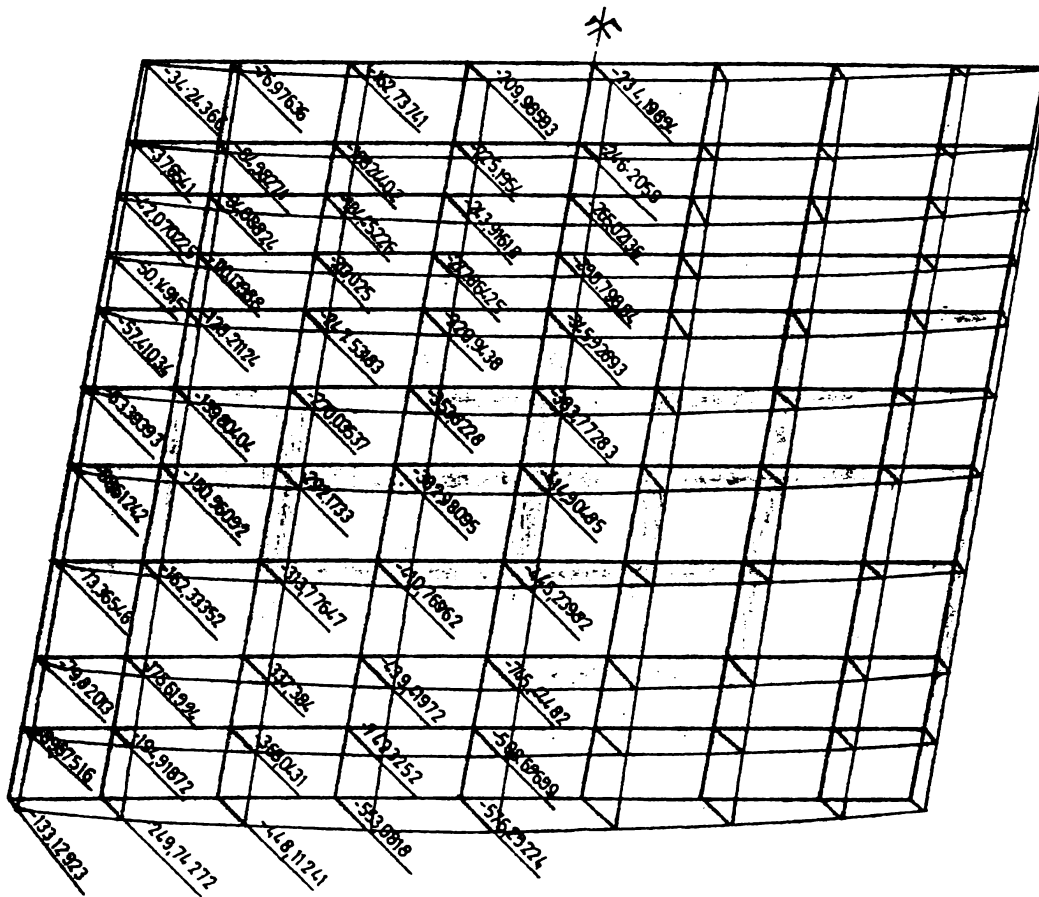


Fig. V. 18.

B I B L I O G R A F I E

1. Agent R. - Sisteme reticulare nedeterminate. Editura tehnică, București, 1970.
2. Beles I.E. - Contribuții la calculul construcțiilor metalice hidrotehnice cu elemente de rigidizare din tablă și grinzi, ținând cont de efectul de conlucrare spațială. Teză de doctorat, I.C.București, 1972.
3. Ciomocoș F.D. - Calculul structurii de rezistență a porților de ecluză cu metoda elementelor finite. Simpozionul colectivului catedrei construcții metalice - I.P. Timișoara, 23 iunie 1978
4. Ciomocoș F. D. - Discretizarea structurii de rezistență a porților de ecluză cu elemente finite identice. Sesiunea jubiliară I.P. Cluj - Napoca 28-29 octombrie 1978.
5. Ciomocoș F.D.,
Ciomocoș G., Konrad S.,
Regep E. - Calculul comparativ a structurii de rezistență a unei porți de ecluză cu două metode de calcul - Sesiunea Jubiliară I.P.Cluj - Napoca 28 - 29 octombrie 1978.
6. Ciomocoș F.D. - Metoda liniilor de sarcină la calculul plăcilor ortotrope. Simpozionul colectivului catedrei construcții metalice - I.P.Timișoara, 23 iunie 1978.
7. Dehouse H.M. - Les bordages orthotropes plans. Calcul d'une porte plane d'ecluse. Memoires du C.S.R.E.S. nr.22 juin, 1967.

8. Deprez J. - La dimensionnement optimum des bordages raidis plans. Application du calcul d'une porte d'ecluse. Collection des Publications nr.13, Liège 1969.
9. Dimo P. - Programarea în Fortan. Ed.Did. și Ped., București, 1971.
10. Prișcu R. - Construcții hidrotehnice, col.I și II. Ed.Did. și Ped., București, 1973.
11. Soare M. - Aplicarea ecuațiilor cu diferențe finite la calculul plăcilor curbe subțiri. Ed.Academiei R.S.R. București - 1968.
12. Timoshenko S.P.,
Woinowski - Krieger - Teoria plăcilor plane și curbe. Ed. tehnică - București - 1968.
13. Visarion V. - Stări de tensiune în teoria plăcilor curbe. Ed. Academiei R.S.R. București, 1967.
14. Visarion V.,
Stănescu C. - Calculul stărilor de tensiune în teoria plăcilor curbe. Ed.Academiei R.S.R., București, 1969.
15. x x x - Manualul inginerului hidrotehnician vol.I și II. Editura tehnică, București - 1969.

C A P I T O L U L

VI

S T U D I I E X P E R I M E N T A L E

1. STUDIUL EXPERIMENTAL PE POARTA BUSCATA
PORTILE DE FIER - I -

1.1. Prezentare

Ipotezele și schematizările la care se face apel în proiectarea unei construcții pot fi îmbunătățite treptat pe baza cunoașterii comportării reală a acesteia. Comportarea reală la rîndul ei poate fi determinată prin observații și măsurători efectuate asupra unor parametrii determinanți, cum sînt deformațiile și tensiunile.

În acest sens s-a pus problema studiului deformațiilor și tensiunilor pe porțile ecluzei SHEN - Porțile de Fier I - în timpul funcționării acesteia, în baza unui contract de cercetare cu C.C.P.E.H - Timișoara, în anul 1973.

Se vor prezenta rezultatele studiului experimental efectuat pe poarta buscată, pentru a fi comparat cu rezultatele calculului teoretic de la aceeași poartă (Cap.V.2.2.).

1.2. Studiul experimental al deformațiilor.

Deoarece proiectantul porții, CCPEH - Timișoara, a pus problema în special a săgeții maxime a grinzilor principale ale porții rezultată în efectul de încovoiere, rotația rezultată din deformațiile axiale ale grinzii a fost considerată ca o deplasare provenită din schimbarea poziției întregii structuri.

Condițiile nefavorabile de măsurare constînd în inaccesibilitatea punctelor luate în studiu, în timpul cît poarta a fost sub sarcină ca și condiția impusă de întreprinderea exploatare de a nu împiedica posibilitatea de manevră a porții prin instalații de măsurare, au exclus posibilitatea utilizării unor metode mecanice sau fizice de mare precizie. S-a recurs la metoda topografică de măsurare a deplasărilor punctelor considerate.

În principiu a fost utilizată metoda intersecțiilor unghiulare determinînd poziția punctelor P_0 , P_i , P_1 , înainte

și după umplerea sasului ecluzei. Sistemul de observare a foat alcătuit din două puncte A și B (fig.V.1.) avînd o

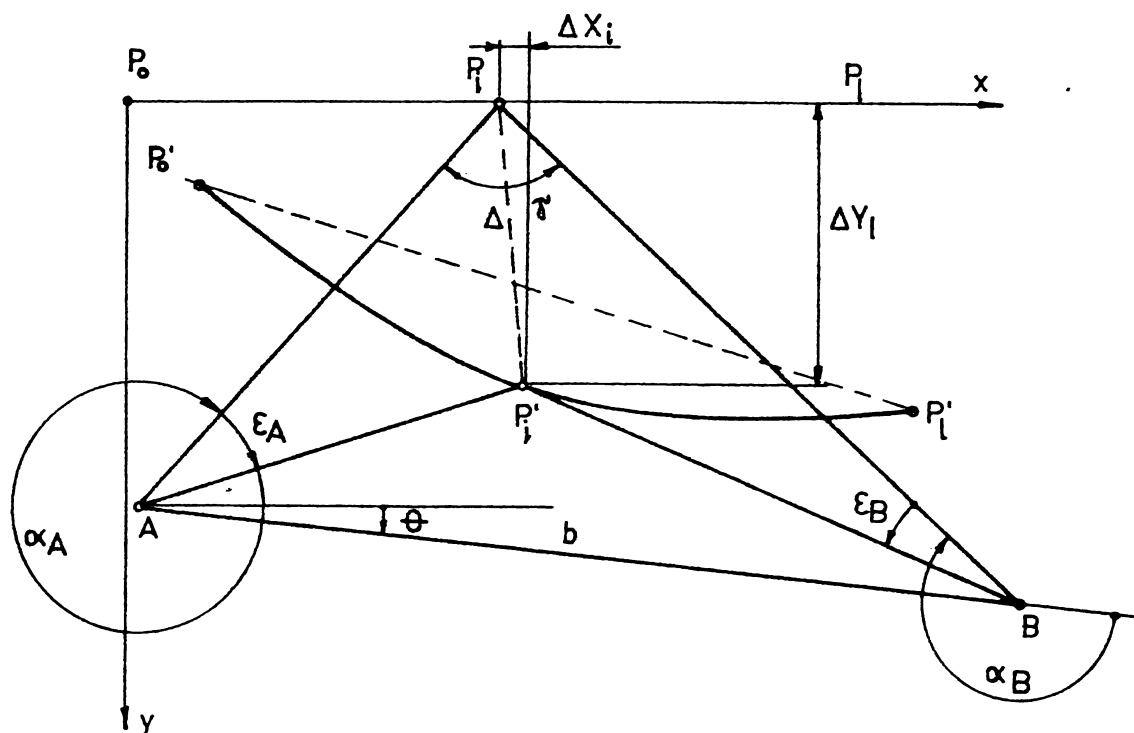


Fig. VI.1.

orientare $\theta_{AB} = 377^{\circ} - 77^{\circ} - 80^{\circ}$ față de direcția axei X a sistemului de calcul. Considerînd originea sistemului de observare în punctul A, și direcția pozitivă a axei absciselor paralelă cu cea a sistemului de calcul a rezultat un sistem traslatat cu aceleași coordonate relative ΔX_i și ΔY_i ca și sistemul de calcul.

Valorile coordonatelor relative au fost determinate cu relațiile:

$$\Delta X_i = X'_i - X_i \quad (VI.1.)$$

$$\Delta Y_i = Y'_i - Y_i \quad (VI.2.)$$

$$X_i = \frac{Y_B + X_B \cdot \text{tg} \theta_{Bi}}{\text{tg} \theta_{Bi} - \text{tg} \theta_{Ai}} ; X'_i = \frac{Y_B + X_B \cdot \text{tg}(\theta_{Bi} + \epsilon_{Bi})}{\text{tg}(\theta_{Bi} + \epsilon_{Bi}) - \text{tg}(\theta_{Ai} + \epsilon_{Ai})} \quad (VI.3)$$

$$Y_i = X_i \cdot \text{tg} \theta_{Ai} ; Y'_i = X'_i \cdot \text{tg}(\theta_{Ai} + \epsilon_{Ai}). \quad (VI.4)$$

Studiul influenței depărtării punctelor P_0 și P_e de punctele de reazem s-a efectuat pornind de la faptul că pentru același tip de încărcare, raportul între săgețile a două

puncte depinde numai de schema statică și de poziția geometrică a celor două puncte.

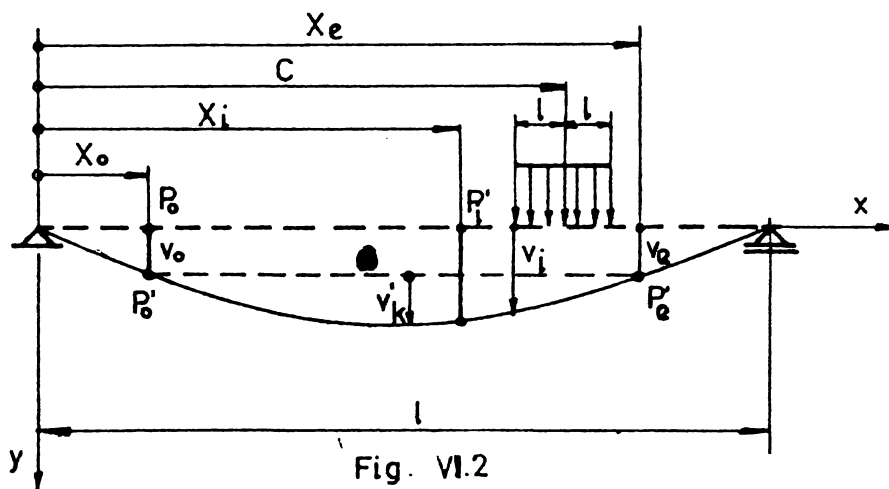
Pentru grinda simplă rezemată acest raport are expresia:

$$k_o = \frac{V_o}{V_i} = \frac{\sum_{n=1}^{\infty} \frac{1}{n^5} \sin \frac{n\tilde{\pi}}{l} c \cdot \sin \frac{n\tilde{\pi}}{l} e \cdot \sin \frac{n\tilde{\pi}}{l} X_o}{\sum_{n=1}^{\infty} \frac{1}{n^5} \cdot \sin \frac{n\tilde{\pi}}{l} c \cdot \sin \frac{n\tilde{\pi}}{l} e \cdot \sin \frac{n\tilde{\pi}}{l} X_i} \quad (VI.5)$$

Particularizînd k_o pentru cazul încărcării uniform distribuite rezultă expresia finală, a săgeții funcție de această constantă și de V_i' :

$$V_i = \frac{l}{1 - k_o - \frac{X_i - X_o}{X_e - X_o} (k_e - k_o)} V_i' \quad (VI.6)$$

unde V_i' este săgeata relativă față de axa $P_o' P_e'$ (fig.VI.2)



Rezultatele obținute sînt redacte în tabelele 1. și 2 .

Tab.1 . Componentele deplasărilor ΔX_i și ΔY_i .

Punctul	X_i mm	Y_i mm	$\Delta H = 4,00$		$\Delta H = 14,5$		Eroarea medie	
			ΔX_i mm	ΔY_i mm	ΔX_i mm	ΔY_i mm	E mm	E mm
P_1	+17972,55	2009,85	-0,41	-4,81	-4,26	-17,43	$\pm 0,50$	$\pm 0,52$
P_2	+9706,51	1975,12	-0,58	-282	-4 19	-14 43	$\pm 0,60$	$\pm 0,70$
P_3	+1849,43	1951,25	-0,51	-0,42	-1,52	-2,39	$\pm 0,80$	$\pm 1,00$

Tab.2. Valorile săgeților din încovoiere.

Punctul	k_{\max}	$\Delta H = 4,00$		$\Delta H = 14,5$		Eroarea medie pătratică E_v mm
		v'_A mm	v_A mm	v'_A mm	v_A mm	
P_1	0,28	-	-0,03	-	1,26	
P_2	1,00	-0,10	-0,13	-4,52	-5,82	$\pm 1,76$ mm
P_3	0,30	-	-0,03	-	1,49	

Componentele ΔX_i și ΔY_i au fost calculate cu relațiile (VI.1,2) iar unghiurile ε_A și ε_B au fost măsurate cu ajutorul unui teodolit de precizie Weld T₃, prin patru reiterate complete. Din cele patru valori obținute a fost calculată eroarea medie a componentelor ΔX_i și ΔY_i .

1.3. Studiul experimental al tensiunilor.

1.3.1. Tehnologia încercării.

Pentru măsurători s-a folosit metoda tensometriei electro - rezistive. S-au utilizat traductorii subacvatici tip D.A.2 (Hottinger) de 120 ohmi, $k = 2,09$, echipați cu cabluri bifilare ecranate. Traductorii au fost lipiți cu adeziv rapid tip X 60 (Hottinger) după tehnologia prescrisă de firma producătoare. De asemenea, s-a utilizat puntea U.M. 111 și cutia de comutare și echilibrare tip U.M. - 121 (R.F.T.).

În figurile care urmează sînt redată aspecte din timpul măsurătorilor.

Fig.VI.3 este o imagine a sasului (camerei) ecluzei care în momentul fotografierii era golit de apă.

Fig.VI.4 redă o vedere din amonte a celor două canale ale porții buscate.

Fig.VI.5 prezintă canalul stîng al porții pe care s-au efectuat încercările tensiometrice. Traductorii tensiometrici au fost amplasați la mijlocul acestui canal (se văd firele care duc de la aparatele tensiometrice la traductorii tensiometrici de pe poartă).

În paragraful următor se vor prezenta rezultatele măsur-



FIG. VI. 3.

INSTITUTIONAL POLITICAL
T. M. Y. W. L. L. P. W. J. J. J. J.
B. L. O. T. E. C. A. L. Y. 1961
B. E. L. I. N. G. S. U. L. A. N. I. N. G.



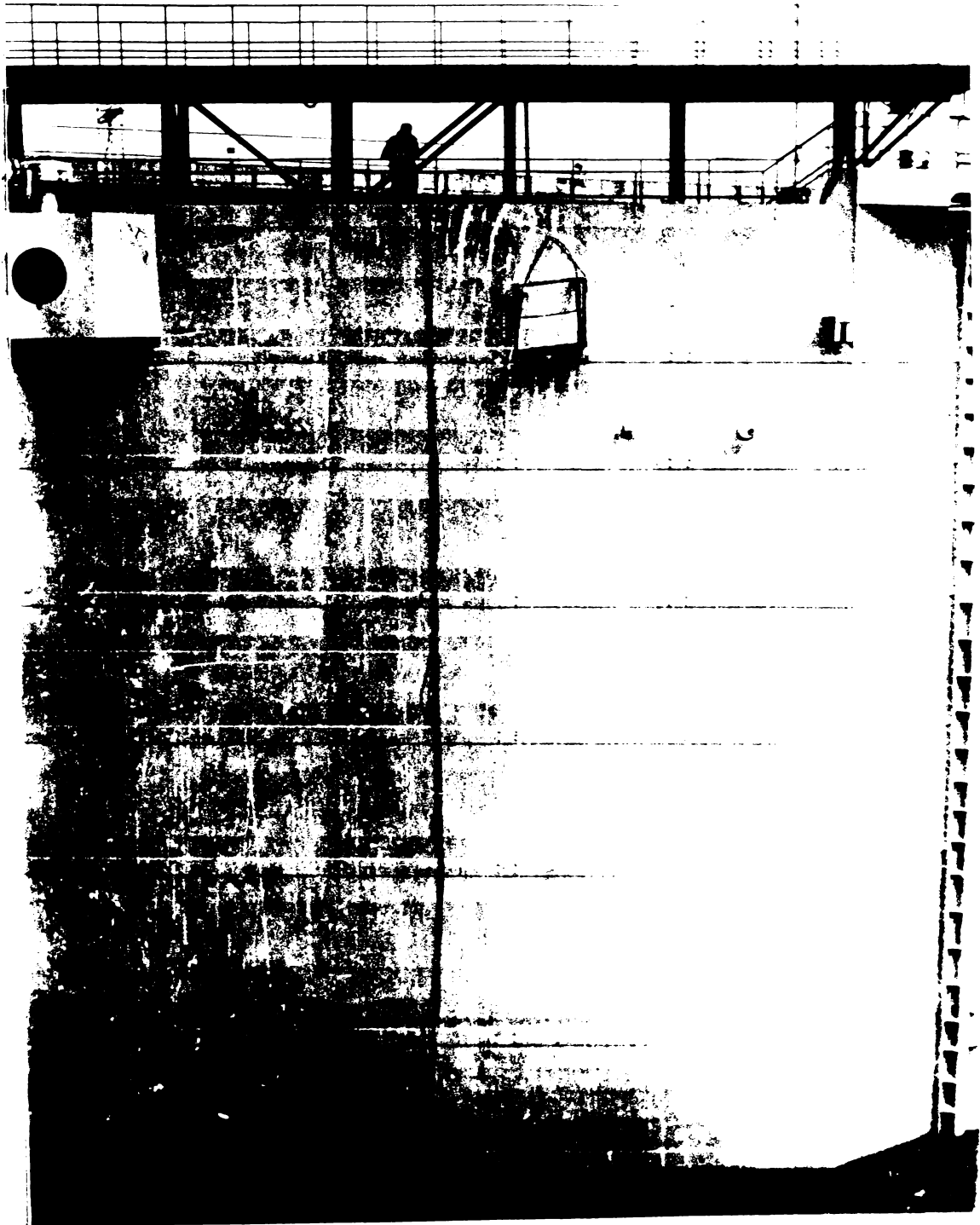


Fig. 3

1.4. Comparații între rezultatele studiilor teoretice și experimentale.

1.4.1. Deformațiile

Din analiza deformațiilor rezultă că acestea sînt foarte mici în raport cu dimensiunile porții. Comparativ deformațiile sînt aproximativ egale, atît din calculul cu metoda rețelelor de grinzi, cît și din calculele din proiect și din încercări experimentale diferențele sînt de aproximativ 2 %.

1.4.2. Tensiunile

În graficul din fig.VI.4. se prezintă comparativ rezultatele obținute atît din calculul analitic, cu metoda rețelelor de grinzi și cu metoda actuală din proiectare, cît și din încercările experimentale.

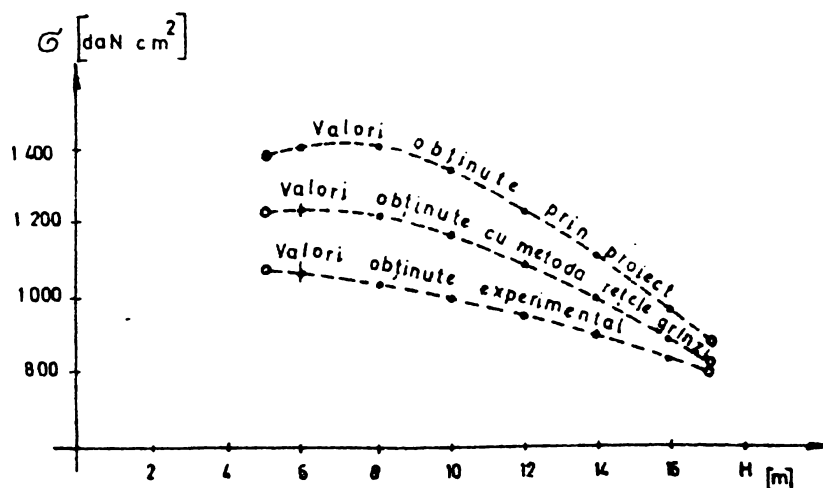


Fig. VI. 4.

Din studiul acestor rezultate reiese că valorile obținute cu metoda rețelelor de grinzi se încadrează între valorile σ obținute din proiect și valorile σ din încercările experimentale.

În concluzie rezultă că metoda rețelelor de grinzi dă rezultate mai apropiate de comportarea reală a porții, fiind în același timp acoperitoare.

2. STUDII EXPERIMENTALE PE MODELUL PORTII
 BUSCATE S.H.E.N. - PORTILE DE FIER II
 GRUIA

2.1. Prezentare

Modelul porții buscate SHEN - Porțile de Fier II - Gruia a fost proiectat de către CCPEH - Timișoara în cadrul fazei 1116 - 78 contract 1196 tema Ac.14.94.73. Modelul reprezintă la scara 1 : 5 dimensiunile porții buscate SHEN - Porțile de Fier II - Gruia. Execuția modelului și a dispozitivului de încărcare a fost realizată tot de către C.C.P.E.H - Timișoara.

Stabilirea dimensiunilor modelului și ale dispozitivului de încărcare a avut ca bază teoria similitudinii.

Se știe că un sistem elastic este caracterizat printr-o funcție implicită de $n = 9$ mărimi fizice (VI.7):

$$f(\sigma, l, P, E, \rho, \delta, \zeta, G, \nu, \mu) = 0 \quad (\text{VI.7})$$

S-au stabilit criteriile de similitudine în baza analizei dimensionale care dă posibilitatea obținerii condițiilor de modelare cunoscând mărimile fizice care intervin în fenomenul respectiv.

La baza analizei dimensionale stă teorema π , care spune că: orice ecuație matematică, ce reprezintă o lege fizică în care intervin k mărimi fundamentale și $(n - k)$ mărimi derivate, poate fi scrisă ca o funcție de $(n - k)$ mărimi adimensionale, numite criterii.

Cum din cele $n = 9$ mărimi fizice dimensionale, care intră în structura fenomenului, $k = 4$ sînt mărimi distincte, rezultă că $(n - k) = 5$ sînt mărimi derivate.

Criteriile de similitudine obținute prin aplicarea teoremei π ecuației (VI.7.) conduc la ecuația criterială (VI.8):

$$\psi\left(\frac{F}{\sigma l^2}; \frac{E}{\sigma}; \frac{\rho l}{\sigma}; \frac{\delta}{\sigma}; \frac{G}{\sigma}; \frac{\nu}{1}; \mu\right) = 0 \quad (\text{VI.8.})$$

Legea modelului implică un sistem de 7 relații între 9 scări :

$$\frac{K_F}{K_G \lambda^2} = 1 ; \quad \frac{K_E}{K_G} = 1 ; \quad \frac{K_{\gamma} \cdot 1}{K_G} = 1 ; \quad \frac{K_{\delta}}{\lambda} = 1 ;$$

$$\frac{K_{\beta}}{K_G} = 1 ; \quad \frac{K_G}{K_G} = 1 ; \quad \frac{\lambda \cdot K_{\psi}}{\lambda} = 1 .$$

S-au ales în mod arbitrar scările K_E și K_{γ} și rezultă:

$$\lambda = \frac{K_E}{K_{\gamma}} ; \quad F_F = \frac{K^3 E}{K_{\gamma}^2} ; \quad K_G = K_E ; \quad K_{\delta} = \frac{K_E}{K_{\gamma}}$$

$$K_{\beta} = K_G = K_E ; \quad K_{\psi} = 1 ; \quad K_{\mu} = 1 . \quad (VI.9)$$

Problema similitudinii sistemelor elastice solicitate static^{se} diversifică după tipul încărcărilor, considerînd sau nu greutatea proprie și după tipul materialului din care se execută modelul (care poate fi diferit sau^{nu} de cel al prototipului).

Dispozitivul de aplicat forțe proiectat a fost conceput pentru un model realizat din același material ca și prototipul, cu neglijarea forțelor de greutate. În acest caz, pentru $\gamma = 0$, relațiile (VI.9.) iau următoarele forme:

$$K_F = \lambda^2 \cdot K_E ; \quad K_G = K_E ; \quad K_{\delta} = \lambda \quad (VI.10.)$$

$$K_G = \frac{K_F}{\lambda^2} ; \quad K_{\delta} = \frac{K_F}{\lambda \cdot K_E} ; \quad K_{\beta} = K_G \quad (VI.11.)$$

Avînd în vedere că modelul s-a executat din același material cu prototipul $K_F = K_E = 1$ iar ecuațiile (VI.10) și (VI.11.) devin :

$$K_F = \lambda^2 ; \quad K_G = 1 ; \quad K_{\delta} = \lambda ; \quad (VI.12.)$$

$$K_G = \frac{F_F}{\lambda^2} ; \quad K_{\delta} = \frac{K_F}{\lambda} ; \quad K_{\beta} = 1 . \quad (VI.13)$$

Ecuațiile (VI.12.) și (VI.13.) reprezintă două legi de modelare importante pentru similitudinea sistemelor elastice.

Legea reprezentată prin ecuația (VI.12.) se enunță în modul următor: "dacă folosind același material, dimensiunile liniare ale unei structuri sînt multiplicat prin λ și dacă forțele aplicate sînt multiplicat prin λ^2 , atunci deformațiile sînt multiplicat tot prin λ , iar tensiunile rîmîn neschimbate.

A doua lege, reprezentată prin ecuația (VI.13.) se enunță astfel: "dacă, folosind același material, dimensiunile liniare ale unei structuri sînt multiplicat prin K_F/λ tensiunile normale sînt multiplicat prin K_F/λ^2 , iar tensiunile tangențiale rîmîn neschimbate.

Dispozitivul de încărcare a fost proiectat în așa fel încît să îndeplinească următoarele condiții:

- să reproducă fără denaturări încărcarea hidrostatică aplicată prototipului;
- să analizeze încărcare continuă sau în trepte;
- să nu se modifice mărimea și direcția forțelor aplicate în timpul procesului de încercare;
- să nu introducă forțe suplimentare.

Dispozitivul aplică forțele necesare prin mecanisme mecanice (cu pîrghii) cu ajutorul sistemelor hidraulice.

Modelul porții împreună cu standul experimental și cu dispozitivul de aplicat forțe este prezentat în fig.VI.6.

2.2. Tehnologia încercării.

Pentru măsurători s-a folosit metoda tensometriei electrozistive. S-au utilizat traductorii de tip Hottinger. Schema aplicării traductorilor tensometriei se poate urmări în fig.VI.7 pentru punctele de pe fața din amonte a celor două canate ale modelului porții și în fig.VI.9 și VI.10 pentru punctele de pe fața din aval a celor două canate ale modelului porții.

Aparatura pentru măsură și înregistrare a deformațiilor specifice ϵ rezultate în urma încărcării modelului este prezentată în fig.VI.8.

Încercarea modelului s-a realizat în trepte avînd ca valoare totală a presiunii aplicată: 20, 40, 60, 80 bar.

Pentru fiecare treaptă de încărcare s-au înregistrat valorile deformațiilor specifice ϵ .

2.3. Rezultatele măsurărilor tensometrice.

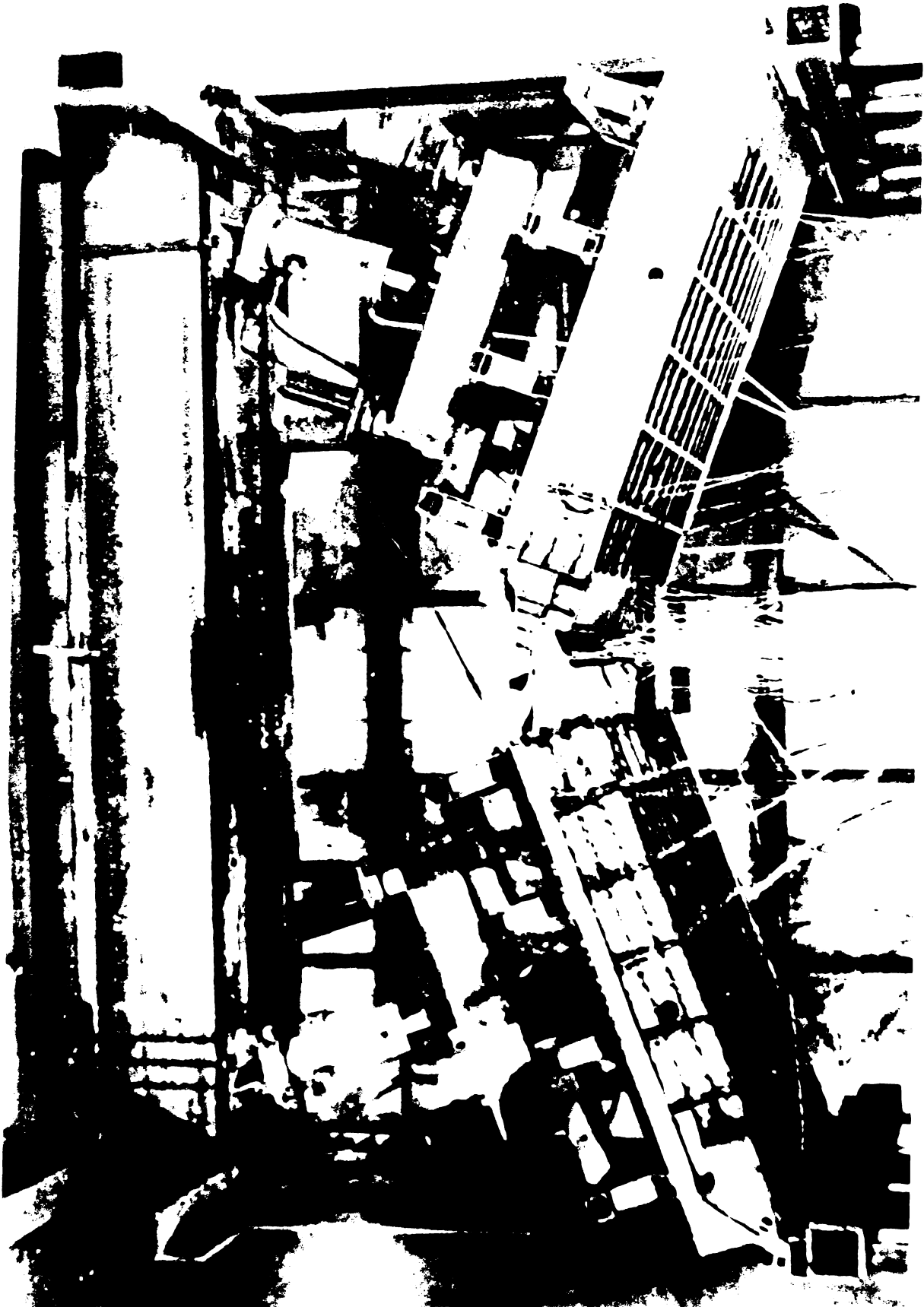
În vederea obținerii valorii tensiunilor normale s-au efectuat mediile a patru încercări. Valorile tensiunilor normale din axa unui canat al modelului porții în punctele în care au fost amplasați traductorii tensometriei, pentru trei trepte de încărcare (40, 60, 80 bar.) sînt prezentate în fig.VI.11.

2.4. Comparații între rezultatele analitice și experimentale.

Pentru cea mai mare treaptă de încărcare (80 bar.) s-au comparat valorile tensiunilor normale σ obținute din calcul cu cele obținute experimental.

În fig.VI.12a s-au trasat diagramele comparative ale valorilor tensiunilor normale σ în axa de simetrie a unui canat al modelului porții pentru punctele unde au fost amplasați traductorii tensometriei, pe fața din amonte.

În fig.VI.12b s-au trasat diagramele comparative ale tensiunilor normale σ pentru fața din aval a unui canat al modelului porții.



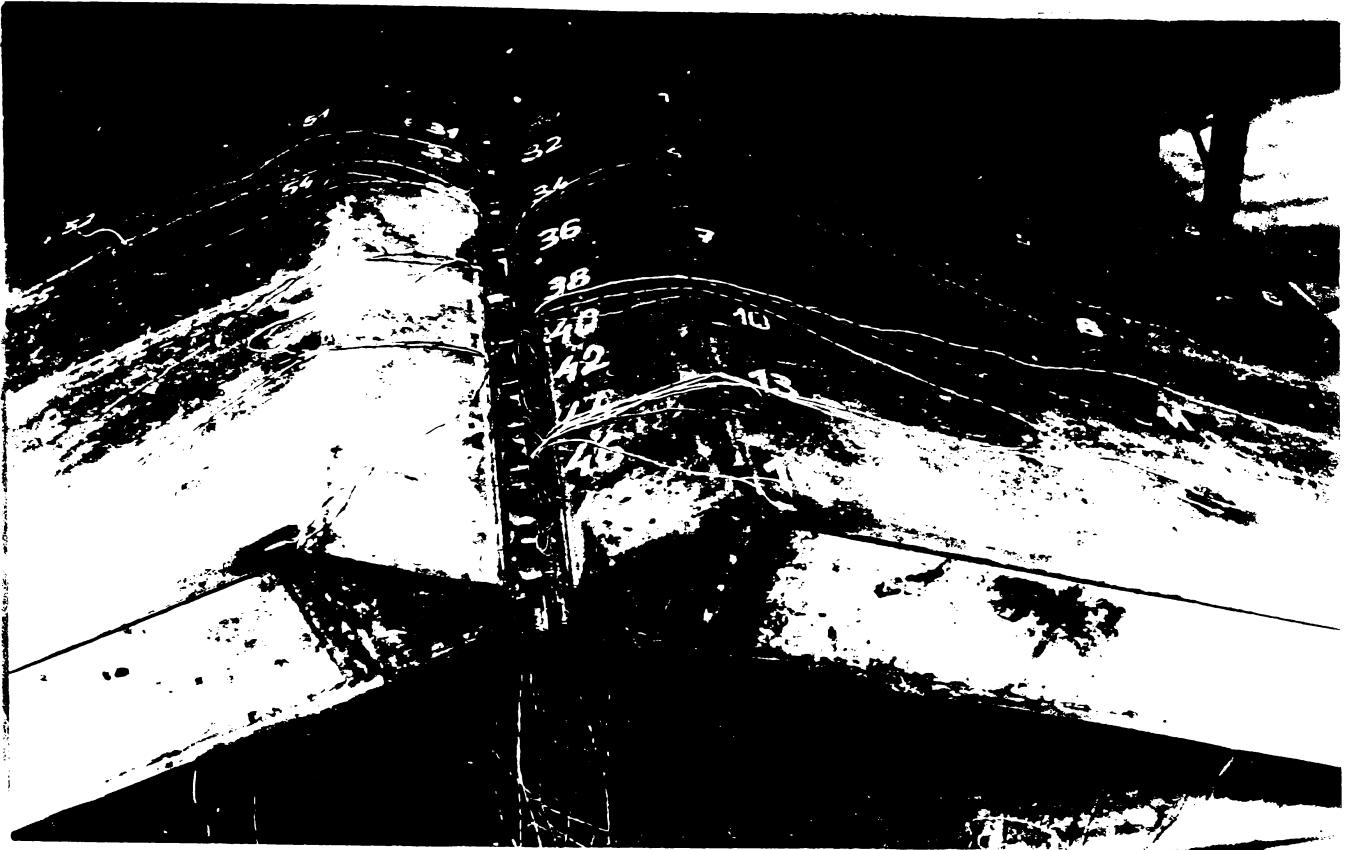


Fig. 1

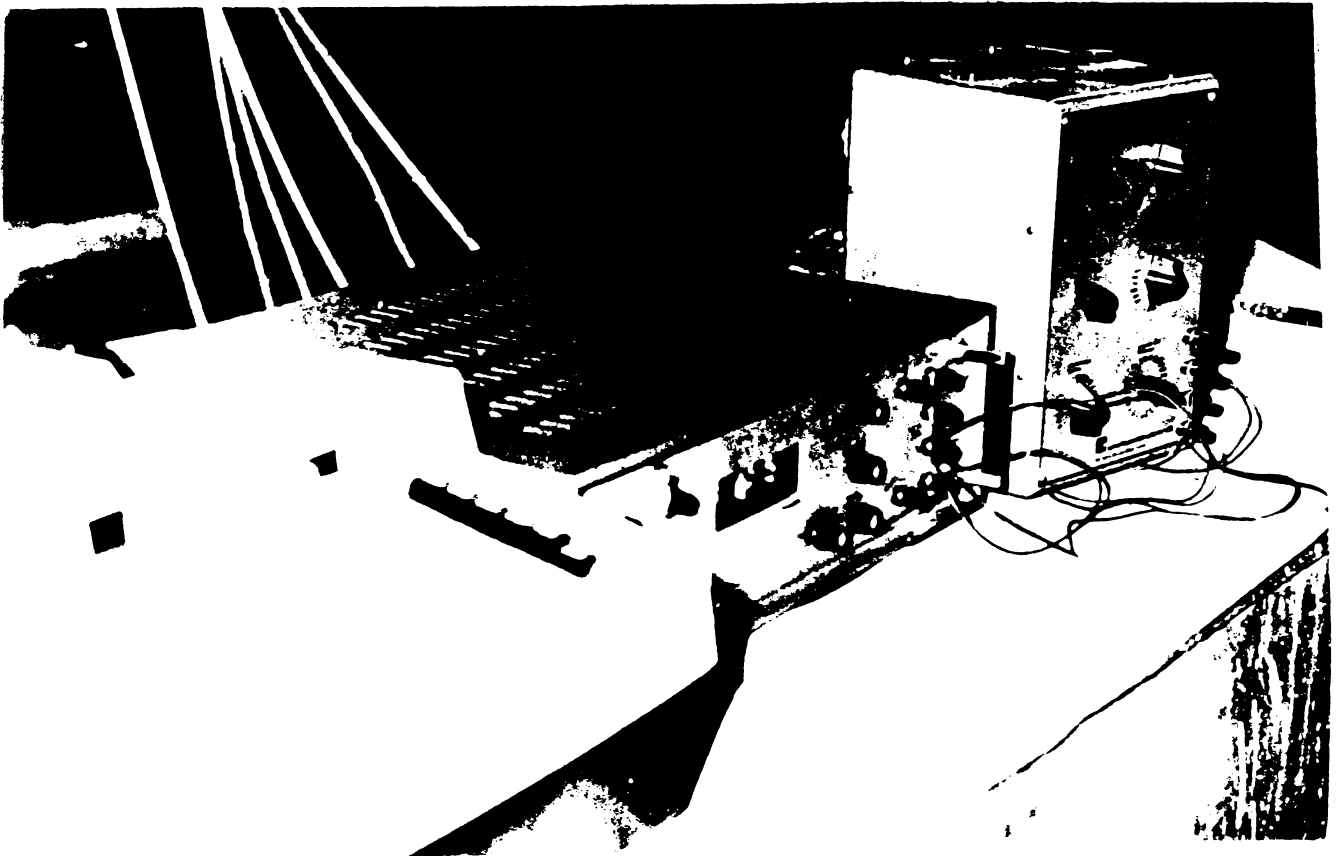
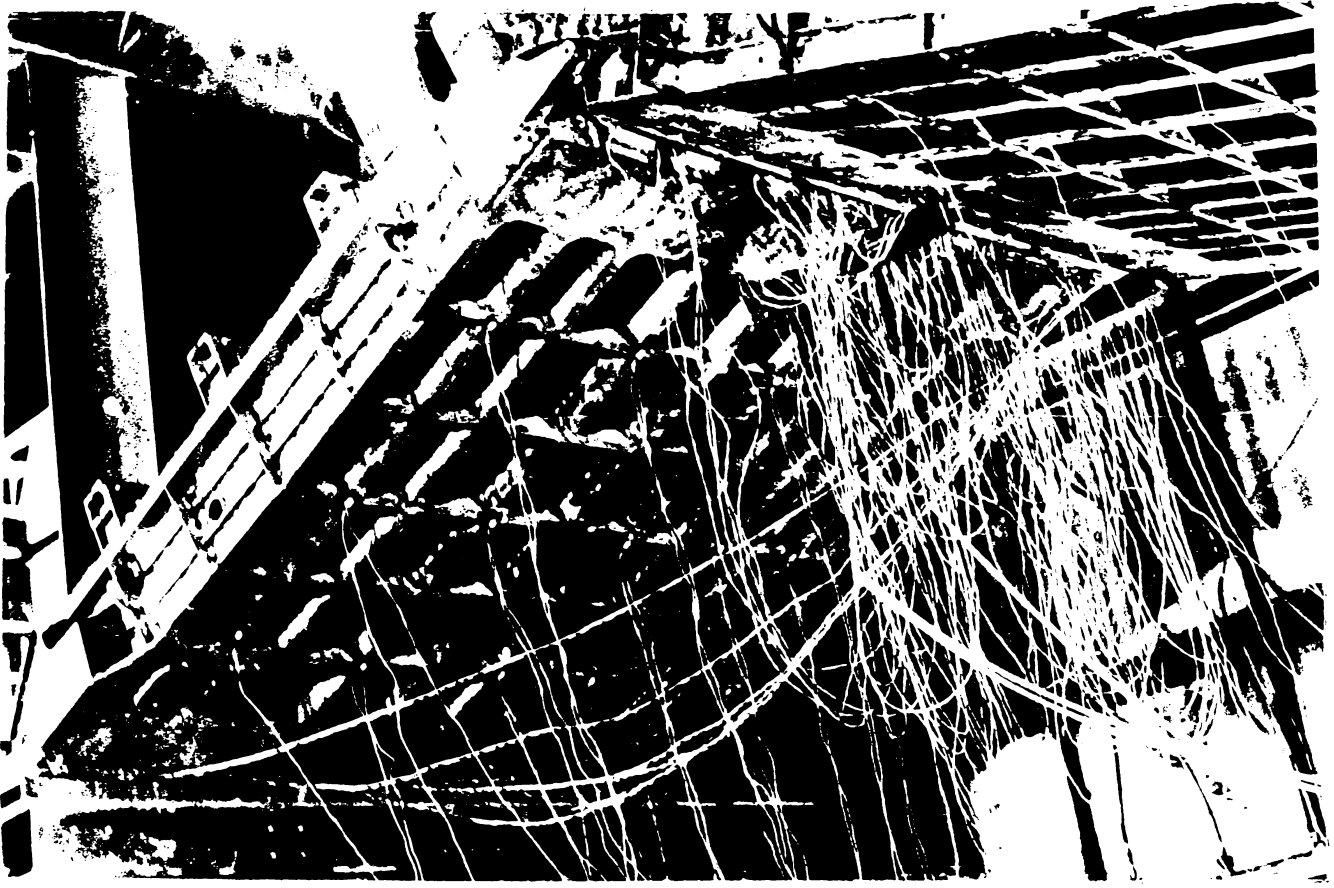
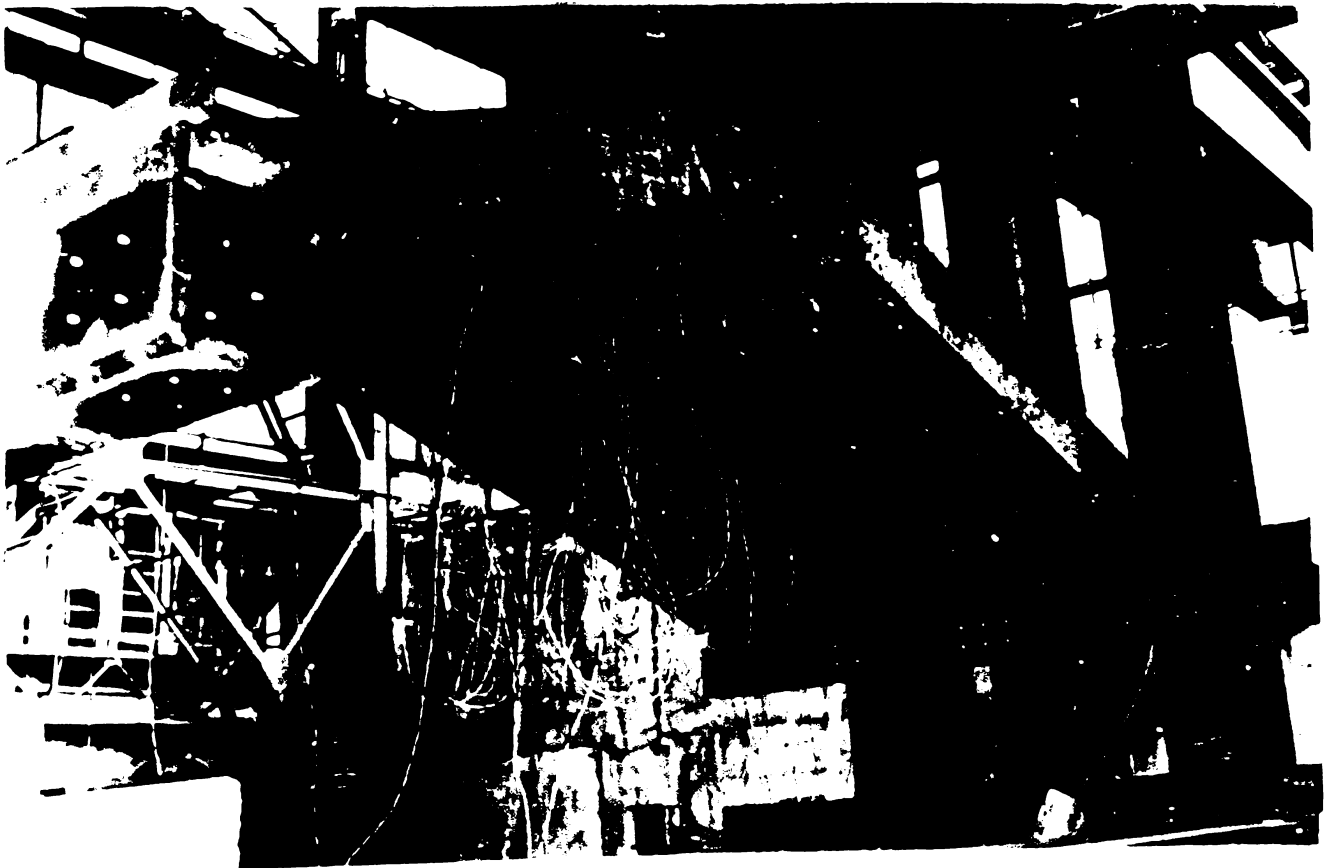


Fig. 2



g. 41



VALORILE TENSIUNILOR NORMALE σ CORESPUNZATOARE
CELOR TREI TREPTE DE INCARCARE IN PUNCTELE DIN AXA
DE SIMETRIE A UNUI CANAT AL MODELULUI IN CARE AU
FOST AMPLASATI TRADUCTORII TENSOMETRICI

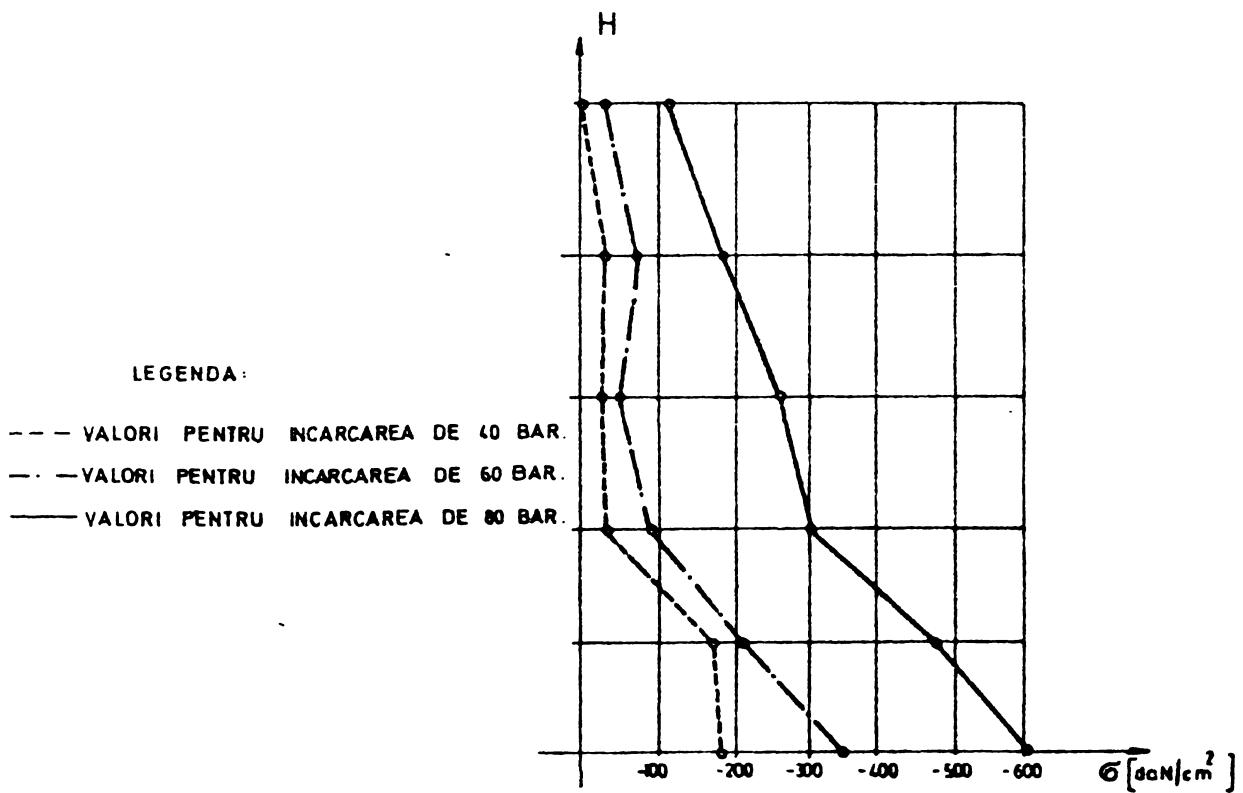
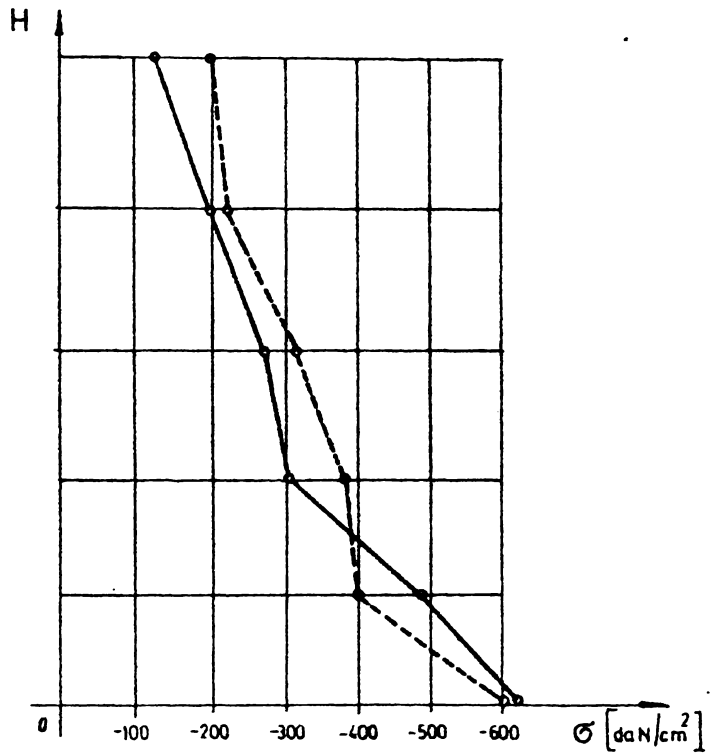


Fig. VI. 11

VALORILE TENSIUNILOR NORMALE σ IN PUNCTELE
DIN AXA DE SIMETRIE A UNUI CANAT AL MODELULUI IN
CARE AU FOST AMPLASATI TRADUCTORII TENSOMETRICI

a) amonte



b) aval

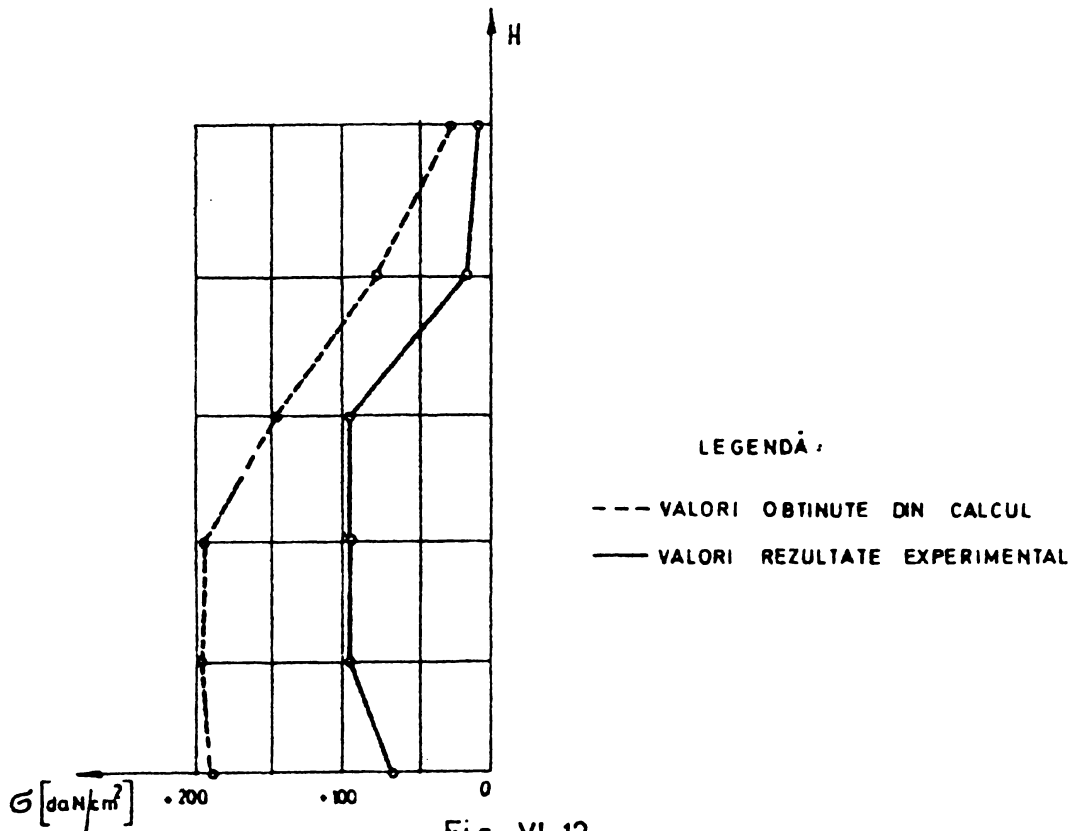


Fig. VI.12

B I B L I O G R A F I E

1. Ciomocoş F.D. - Măsurarea și calculul deformațiilor la o poartă buscată de ecluză. Sesiunea tinerilor ingineri. Timișoara, 24 februarie 1974.
2. Ciomocoş F.D. - Metode geodezice pentru calculul deformației unei construcții în exploatare. Prima conferință de control neconstructiv. București iunie 1974.
3. Ciomocoş F.D.,
Rozenauer I., Regep Z.,
Konrad C., Regep P. - Studiul analitic și experimental al tensiunilor pe poarta buscată a unei ecluze. Bulet. I.P.T. nr.2, 1978.
4. Dehouse N.M. - Les bordages en construction hydraulique. Zürich 1962.
5. Dehouse N.M. - Les bordages raidis en construction hydraulique. Memoires du C.S.R.D.S. nr.1 sept. 1961.
6. Dehouse N.M.,
Depres I. - Les bordages orthotropes plans. Calcul d'une porte plane d'ecluse. Memoires du C.S.R.D.S. nr.22, juin, 1967.
7. Genin C. - Les bordages orthotropes plans. Calcul d'une porte plane d'ecluse par la methode des lignes de charge. Application au cas de l'impact d'un bateau, 1975.
8. Genin C., Hiraprez ..., - Etude sur le role d'une porte metallique d'ecluse, 1976.
9. Ichiro Konishi,
Sadao Komatsu - Theoretical and Experimental Research on Continuous Box Girder Bridges. Memoires Abhandlungen Publications, 1958.
10. Het N.L. - Bendin of partially loaded Simply supported cylindrical shells. Memoires Abhandlungen Publications, 1959.

11. Little G.D. Rowe R.F. - The Effects of Edge - Stiffening and Eccentric Transverse Prestressing in Bridges. Memoires Abhandlungen Publications, 1959.
12. Mateescu D.,
Rezenauer I., Ciomocoș
F.D., Regep T. - Măsurarea și calculul deformațiilor la poarta unei ecluze. Conferința construcției metalice. Timișoara 1974.
13. C.C.P.E.H. -
Timișoara - Breviar de calcul - Poarta plană de ecluză - SHM - Porțile de Fier I.
14. C.C.P.E.H. -
Timișoara - Breviar de calcul - Poarta buscată de ecluză - SHM - Porțile de Fier I.
15. C.C.P.E.H. -
Timișoara - Breviar de calcul - Poarta buscată de ecluză - SHM - Porțile de Fier II - Gruia.
16. C.C.P.E.H. -
Timișoara - Breviar de calcul - Modelul porții buscate de ecluză SHM - Porțile de Fier II - Gruia.

C A P I T O L U L

VII

C O N C L U Z I I

C O N C L U Z I I

Analizând conținutul lucrării, se pot rezuma în continuare, caracteristicile principale ale capitolelor prezentate, evidențierea concluziilor finale ale principalelor rezultate teoretice și experimentale obținute, după cum și prezentarea unor detalii semnificative specifice.

În CAP.I. se evidențiază necesitatea unui studiu amănunțit al calculului structurii de rezistență a porților de ecluză deoarece în literatură de specialitate din țară și din străinătate nu există cercetări în acest domeniu.

CAP.II. după ce prezintă amănunțit toate încărcările care acționează în general asupra porților de ecluză, studiază eforturile care rezultă în timpul menevrării porților buscate de ecluză, eforturi tipice numai acestui tip special de porți de ecluză. Rezultatele obținute dintr-un calcul automat și prezentate în diagramele din acest capitol sînt de un real sprijin în evaluarea eforturilor pentru inginerii din proiectare în acest domeniu.

În legătură cu cele două metode analitice prezentate în Cap.III și Cap.IV se poate evidenția:

a) Utilizînd metoda elementelor finite (dreptunghiulare sau de bară) la discretizarea structurii de rezistență complexă a construcțiilor metalice hidrotehnice de tipul porților de ecluze, cele două metode introduc calculul modern automat, care necesită utilizarea calculatoarelor electronice. Deși metoda elementelor finite este curent utilizată în străinătate, în domeniul porților de ecluză nu există studii în acest sens.

b) O caracteristică importantă a celor două metode prezentate în cele două capitole este aceea că tratează calculul pe ansamblul structurii, ținînd cont de conlucrarea spațială a tuturor elementelor componente ale structurii de rezistență, deci și între placa ortotropă și grinzele principale. În această direcție se poate remarca, că în literatura de specialitate calculul plăcilor ortotrope este studiat fără conlucrarea spațială între

placa ortotropă (tolă și antretoaze și longeroni) și grinzile principale. Grinzile principale se calculează în literatura de specialitate ca grinzi simple rezemate încărcate cu încărcările transmise de la placa ortotropă.

c) Autorul sistematizează alcătuirea matricelor de rigiditate a structurii de rezistență discretizată în elemente finite utilizând un procedeu general în metoda deplasărilor care permite asamblarea oricărui tip de elemente finite în vederea obținerii matricii generale de rigiditate. Procedeul este ușor de programat la calculatorul electronic.

d) Cele două metode prezentate au un caracter general, se pot aplica pentru orice structură spațială, pentru orice tip de rezemare. Aceasta este o caracteristică extrem de importantă deoarece se știe că în general, metodele analitice sînt limitate la diferite condiții particulare de rezemare sau chiar și de încărcare.

Valorosul caracter aplicativ al lucrării de doctorat prin verificarea celor două metode pe structura de rezistență a porților de ecluză buscate - SHEN - Porțile de Fier I, SHEN - Porțile de Fier II, modelul Porților de ecluză SHEN - Porțile de Fier II, proiectate la noi în țară și pe structura de rezistență a porții de ecluză proiectată și executată în Belgia și comparațiile rezultatelor obținute cu aceste metode și rezultatele obținute din proiectare sau cu cele obținute de cercetătorii din Belgia este ilustrat în Cap. V.

Studiile experimentale întreprinse în cele două etape: a) pe structura de rezistență a porții de ecluză SHEN - Porțile de Fier I, deci pe structura porții în timpul funcționării acesteia (în anul 1973); și b) pe modelul porții buscate SHEN - Porțile de Fier II (în anul 1978), prezentate în Cap. VI sînt de o deosebită valoare deoarece a permis autorului compararea rezultatelor analitice și cu cele experimentale.

Avînd în vedere rezultatele obținute, cit și comparațiilor acestor rezultate, cu rezultatele obținute cu alte metode și cu rezultatele experimentale se pot remarca următoarele concluzii referitoare la cele două metode analitice utilizate de autor în prezenta lucrare de doctorat :

a) Rețeaua de bază cu noduri, adică spațierea elementelor finite a fost considerată în ambele metode aceiași . În

consecință nodurile de pe placă ortotropă coincid cu nodurile din rețeaua de grinzi. Aceasta s-a impus în scopul unei analize comparative a rezultatelor obținute cu cele două metode.

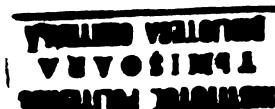
b) S-a constatat că rezultatele obținute cu ambele metode studiate sînt comparabile, fiind chiar mai avantajos a se folosi în unele cazuri metoda rețelelor de grinzi cu utilizarea elementelor finite de bară, deoarece durata de prelucrare la calculator este mai redusă. Aceasta se datorește faptului că semibanda sistemelor de ecuații în cazul metodei rețelelor de grinzi cu utilizarea elementelor finite de bară este mai redusă, decît semibanda obținută în metoda elementelor finite dreptunghiulare (în cazul elementelor finite dreptunghiulare sînt 5 deplasări generalizate la noduri și într-un nod concură opt elemente finite, iar în metoda rețelelor de grinzi cu utilizarea elementelor finite de bară sînt 3 deplasări generalizate la noduri și într-un nod concură numai patru elemente finite).

c) În metoda elementelor finite utilizînd elemente finite dreptunghiulare se obțin din calcul tensiunile (σ și τ) și deformațiile. În metoda rețelelor de grinzi se obțin din calculul la calculator eforturile (M , T , M_t) și deformațiile.

d) În metoda rețelelor de grinzi cu utilizarea elementelor finite de bară se pot calcula forțele tăietoare, amănunt extrem de important în cazul structurii de rezistență a porților de ecluză. Aceasta deoarece din forțele tăietoare obținute în reazemele structurii se calculează componenta care acționează în planul structurii de rezistență. Din această componentă se calculează atît efectul de compresiune axială cît și momentul de sens invers introduse în structura de rezistență datorită înclinării canatelor cu α de 20° și datorită faptului că punctul de rezemare al celor două canate nu se realizează după linia centrelor de greutate.

e) Față de metodele utilizate actualmente în proiectare cele două metode utilizate de autor dau valori ale tensiunilor mai mici cu aproximativ (8 - 10) %.

f) Față de rezultatele experimentale, metodele utilizate de autor dau valori mai mari cu aproximativ (5 - 10) %.



În concluzie autorul consideră că metoda rețelelor de grinzi cu utilizarea elementelor finite de bară ar putea sta la baza calculului porților buscate de ecluză. Metoda permite o mecanizare adecvată pentru calculator cu posibilități de a obține foarte rapid și în detaliu, sub formă numerică (eventual și grafică) starea de eforturi și de deformație în structura de rezistență a porții. Astfel proiectantul ar putea presupune de obicei evaluări inițiale pe bază de experiență în funcție de un tip similar de structură sau folosind calcule analitice simplificatoare. Această structură urmînd a se analiza apoi în detaliu cu metoda rețelelor de grinzi utilizînd elemente finite de bară, la calculator, permițînd proiectantului să efectueze modificări ale structurii cu reluarea analizei de atîtea ori, pînă cînd s-ar obține o proiectare convenabilă din punct de vedere tehnico-economic.

Referitor la metoda elementelor finite cu utilizarea elementelor finite dreptunghiulare se poate remarca avantajul acestuia în cazul cînd se urmărește o detaliere a stării de tensiune în diferite zone ale structurii, sau în cazul structurilor de rezistență încărcate cu sarcini concentrate sau cu sarcini distribuite pe suprafețe mici (cazul podurilor metalice). De asemeni această metodă prezintă avantaje deosebite la determinarea stării de tensiune și deformație la structurile spațiale cînd se urmărește a se ține seama de eforturile inițiale (reziduale) la variații de temperatură, sau în cazul cînd se studiază calculul în domeniul plastic.

Avînd în vedere procedeele elaborate, împreună cu programele utilizate în calcul și cu studiile experimentale lucrarea de doctorat completează sub aspect teoretic, aplicativ și experimental cunoștințele în domeniul calculului structurii plăcilor ortotrope utilizate la porțile de ecluză.

A N B X B

MODELUL PORȚII DE ECLUZĂ BUSCATA S.H.E.N. PORȚILE DE FIER II. DIVIZIA
 - METODA ELEMENTELOR FINITE DREPTUNGHILARE -
 Varianta de încărcare (A)

125	81	71	92	82	1.87000	2.76000	.02500	210.00000	.00100	2
126	83	73	94	84	1.87000	2.76000	.02500	210.00000	.00100	2
127	85	95	96	86	1.87000	2.76000	.02500	210.00000	.00100	2
128	87	97	96	86	1.87000	2.76000	.02500	210.00000	.00100	2
129	89	97	100	90	1.87000	2.76000	.02500	210.00000	.00100	2
130	91	101	102	92	1.87000	2.76000	.02500	210.00000	.00100	2
131	93	103	104	94	1.87000	2.76000	.02500	210.00000	.00100	2
132	95	105	105	96	1.87000	2.76000	.02500	210.00000	.00100	2
133	97	107	108	96	1.87000	2.76000	.02500	210.00000	.00100	2
134	99	109	110	105	1.87000	2.76000	.02500	210.00000	.00100	2
135	1	3	0	0	2.76000	.00000	.00700	210.00000	.00100	2
136	11	13	0	0	2.76000	.00000	.00700	210.00000	.00100	2
137	21	23	0	0	2.76000	.00000	.00700	210.00000	.00100	2
138	31	33	0	0	2.76000	.00000	.00700	210.00000	.00100	2
139	41	43	0	0	2.76000	.00000	.00700	210.00000	.00100	2
140		53	0	0	2.76000	.00000	.00700	210.00000	.00100	2
141		63	0	0	2.76000	.00000	.00700	210.00000	.00100	2
142	71	73	0	0	2.76000	.00000	.00700	210.00000	.00100	2
143	81	83	0	0	2.76000	.00000	.00700	210.00000	.00100	2
144	91	93	0	0	2.76000	.00000	.00700	210.00000	.00100	2
145	1	103	0	0	2.76000	.00000	.00700	210.00000	.00100	2
146	5	5	0	0	2.76000	.00000	.00700	210.00000	.00100	2
147	15	15	0	0	2.76000	.00000	.00700	210.00000	.00100	2
148	25	25	0	0	2.76000	.00000	.00700	210.00000	.00100	2
149	35	35	0	0	2.76000	.00000	.00700	210.00000	.00100	2

